

**UNIVERSIDAD DE CUENCA
Facultad de Ingeniería
Carrera de Ingeniería Eléctrica**



**"Reconfiguración óptima del sistema de distribución con
generación distribuida de la Empresa Eléctrica Regional Centro
Sur C.A."**

Trabajo de titulación previo a la obtención del título de
Ingeniero Eléctrico

Autores:

John Eugenio Peñaloza Morán
CI: 0302054671

Jairo Gonzalo Yumbla Romero
CI: 0302072095

Director:

Ing. Julio César López Quizhpi, Ph.D.
CI: 0104047022

**Cuenca – Ecuador
2018**



RESUMEN

El presente trabajo tiene como propósito general, elaborar una herramienta computacional capaz de optimizar la topología de un sistema de distribución, minimizando las pérdidas de potencia activa a nivel de alimentadores; se busca también, mejorar los perfiles de voltaje en los nodos del sistema que se analice. El método propuesto para el problema de reconfiguración, es el de algoritmos genéticos; metaheurística, cuyo desempeño es bastante bueno para problemas de combinatoria ya que sus operadores (cruzamiento, mutación y selección), generan soluciones diversas y mejoradas con cada iteración de la misma. Luego de realizar los análisis y aplicación en sistemas de prueba IEEE, se puede constatar la efectividad del método propuesto ya que se obtuvieron resultados satisfactorios con respecto a documentos de referencia que se detallan en el desarrollo del trabajo. Adicionalmente, al realizar el estudio para el sistema de distribución de la Empresa Eléctrica Regional Centro Sur, se verifican topologías con menores pérdidas de potencia que las topologías actuales, para cada caso de estudio. Finalmente, se concluye con la comparación de los resultados obtenidos en los sistemas analizados, demostrando que, al realizar la reconfiguración, efectivamente existe una reducción de pérdidas de potencia activa y por lo tanto mejoramiento en los perfiles de voltaje en los nodos.

Palabras Clave: Algoritmo genético; Operadores genéticos; Reconfiguración; Alimentadores; Sistemas de distribución; Flujos de potencia, Pérdidas de potencia; Generación distribuida.



ABSTRACT

The general objective of this work has been develop a computational tool capable to optimize the topology of a distribution system. The tool has the objective function to minimize de active power loss on the feeders; due to this, the voltage profile in each node is improving as well in the system to analyze. The proposed method for the reconfiguration is the genetic algorithms. This metaheuristic; in each iteration, has the characteristic of improve the solutions in combinatorial problems through their operators (crossover, mutation and selection). After carrying out the analysis and testing in IEEE testing systems, the effectiveness of the proposed method can be verified since satisfactory results were obtained with respect to reference documents that are detailed in the development of the work. Also, when carrying out the study for the distribution system of Empresa Eléctrica Regional Centro Sur, topologies with less power losses than the current topologies for each case of study. Finally, we conclude with the comparison of the results obtained in the analyzed systems, demonstrating that, when performing the reconfiguration, there is effectively a reduction of active power losses and therefore improvement in the voltage profiles at the nodes.

Keywords: Genetic algorithm; Genetic operators; Reconfiguration; Feeders; Distribution systems; Power flow; Power loss; Distributed generation.



CONTENIDO

RESUMEN	2
ABSTRACT.....	3
CAPITULO I: INTRODUCCIÓN.....	15
1.1 Antecedentes	18
1.2 Justificación.....	22
1.3 Alcance.....	23
1.4 Objetivos	24
1.4.1 Objetivo general.	24
1.4.2 Objetivos específicos.....	25
2.1 Introducción.....	26
2.2 Métodos de optimización.....	28
2.2.1 Inteligencia artificial.	28
2.2.2 Técnica heurística.	29
2.2.2.1 Algoritmos metaheurísticos.	30
2.3 Problema de reconfiguración de redes eléctricas de distribución.	31
2.3.1 Restricciones:	32
2.4 Sistemas de distribución con generación distribuida.	32
2.4.1 Sistemas tradicionales.....	32
2.4.2 Generación Distribuida.....	34
3.1 Introducción.....	36
3.2 Métodos utilizados para resolver el problema de flujo de carga en sistemas radiales de distribución eléctrica.....	37
3.3 Explicación del método utilizado.	42
3.3.1 Lectura de datos.....	43
3.3.2 Identificación de nodos y ramas adyacentes.	44
3.3.3 Cálculo del flujo de potencia, voltajes, corriente y pérdidas de potencia.....	45
3.3.4 Cálculo de potencia activa y reactiva - barrido hacia atrás.....	45
3.3.5 Cálculo del voltaje - barrido hacia adelante.	46
3.3.6 Cálculo de las pérdidas de potencia y la corriente.....	46
3.3.7 Criterio de convergencia.....	46
3.3.8 Diagrama de flujo del método utilizado (Backward/Forward).....	48
3.4 Análisis de flujos de potencia en sistemas de distribución con el método propuesto (Backward/Forward).....	49
3.4.1 Flujos de potencia sin generación distribuida.	49
3.4.1.1 Sistema de 33 Barras.....	49
3.4.1.2 Sistema de 15 barras.	51
3.4.1.3 Sistema de 69 barras.	53
3.4.2 Flujos de potencia en presencia de generación distribuida	54



3.4.2.1	Sistema de 33 Barras	55
3.4.2.2	Sistema de 69 Barras	57
4.1	Introducción:.....	59
4.2	Algoritmos Genéticos.....	60
4.2.1	Introducción	60
4.2.2	Algoritmo Genético Simple	61
4.2.3	Codificación o representación del problema.	62
4.2.4	Función de adaptación o aptitud.	63
4.2.5	Selección.	64
4.2.5.1	Selección por torneo.....	64
4.2.5.2	Selección por ruleta.....	66
4.2.6	Operadores Genéticos	66
4.2.6.1	Cruce.	66
4.2.6.1.1	Cruce de 1 punto.....	67
4.2.6.1.2	Cruce de 2 puntos.	67
4.2.6.1.3	Cruce Uniforme.	68
4.2.6.2	Copia.	69
4.2.6.3	Mutación.	69
4.3	Algoritmo Genético implementado para la reconfiguración de sistemas de distribución	70
4.3.1	Codificación del problema	70
4.3.2	Generación de la población inicial.....	71
4.3.3	Función de aptitud	71
4.3.4	Selección por torneo.....	72
4.3.5	Cruce de 1 punto	72
4.3.6	Mutación	72
4.4	Reconfiguración de sistemas de distribución.....	74
4.4.1	Reconfiguración del sistema de distribución de 33 barras sin generación distribuida	74
4.4.2	Reconfiguración del sistema de distribución de 33 barras con generación distribuida	79
4.4.3	Reconfiguración del sistema de distribución de 69 barras sin generación distribuida	83
4.4.4	Reconfiguración del sistema de distribución de 69 barras con generación distribuida	87
4.5	Reconfiguración del sistema de distribución de la Empresa Eléctrica Regional Centro Sur.....	91
4.5.1	Caso 1: Reconfiguración de un alimentador	91
4.5.1.1	Reconfiguración del alimentador 0101 de la S/E01	91
4.5.1.2	Reconfiguración del alimentador 0201 de la S/E02	93
4.5.2	Caso 2: Reconfiguración entre alimentadores de una misma subestación	96
4.5.2.1	Reconfiguración de los alimentadores 0101, 0102 y 0103 de la S/E01	96
4.5.2.2	Reconfiguración de los alimentadores 0201, 0202 y 0203 de la S/E02	98
4.5.3	Caso 3: Reconfiguración entre alimentadores de dos subestaciones	101
4.5.3.1	Reconfiguración entre alimentadores de la S/E01 y S/E02	101



UNIVERSIDAD DE CUENCA

5.1 Conclusiones:	104
5.2 Recomendaciones:.....	106
6.1 Datos de sistemas de prueba.	110
6.1.1 Sistema de 15 Barras	110
6.1.2 Sistema de 33 Barras	111
6.1.3 Sistema de 69 Barras.....	112
6.1.4 Alimentador 0101	114
6.1.5 Alimentador 0201	117
6.1.6 Alimentadores 0101, 0102 y 0103.....	120
6.1.7 Alimentadores 0201, 0202 y 0203.....	127
6.1.8 Subestación Eléctrica 01 y 02	135
6.2 Diagramas unifilares utilizados de la EERCS.	150



ÍNDICE DE FIGURAS

Figura 2.1.1 Metodologías de optimización de redes eléctricas. Fuente: [1].....	27
Figura 2.4.1 Concepto tradicional de suministro de energía eléctrica Fuente: [9].....	33
Figura 2.4.2 Sistema de potencia con generación distribuida. Fuente: [9].....	34
Figura 3.2.1 Suma de corrientes nódales en sistema radial. Fuente: [12]	38
Figura 3.2.2 Cálculo de voltajes en cada nodo del sistema radial. Fuente: [12]	39
Figura 3.3.1 Numeración de nodos del Sistema de Distribución. Fuente: Elaboración propia. .	43
Figura 3.3.2 Diagrama de flujo del método utilizado (Backward/Forward). Fuente: Elaboración propia.....	48
Figura 3.4.1 Sistema de prueba - 33B Fuente: [11].....	49
Figura 3.4.2 Comparación de voltajes obtenidos en cada nodo del sistema. Fuente: Elaboración propia.....	50
Figura 3.4.3 Sistema de prueba - 15B Fuente: [10].	52
Figura 3.4.4 Valores de voltaje en cada nodo del sistema. Fuente: Elaboración propia.	52
Figura 3.4.5 Sistema de prueba – 69B Fuente: [11].....	53
Figura 3.4.6 Valores de voltaje en cada nodo del sistema. Fuente: Elaboración propia.	54
Figura 3.4.7 Valores de voltaje en cada nodo del sistema. Fuente: Elaboración propia.	55
Figura 3.4.8 Comparación del sistema con y sin GD. Fuente: Elaboración propia.	56
Figura 3.4.9 Valores de voltaje en cada nodo del sistema. Fuente: Elaboración propia.	57
Figura 3.4.10 Comparación del sistema con y sin GD. Fuente: Elaboración propia.	58
Figura 4.2.1 Algoritmo Genético simple. Fuente: [23].....	61
Figura 4.2.2 Individuo Genético. Fuente: [23]	63
Figura 4.2.3 Operador de cruce basado en 1 punto. Fuente: [23].....	67
Figura 4.2.4 Operador de cruce basado en 2 puntos. Fuente: [23].....	68
Figura 4.2.5 Operador de cruce uniforme. Fuente: [23].....	69
Figura 4.2.6 Operador de mutación. Fuente: [23].....	70
Figura 4.3.1 Codificación del sistema de distribución. Fuente: Elaboración propia	71
Figura 4.3.2 Diagrama de Flujo del Algoritmo Genético implementado. Fuente: Elaboración propia.....	73
Figura 4.4.1 Sistema de distribución - 33B sin generación distribuida (antes de la reconfiguración) Fuente: Elaboración propia.	75
Figura 4.4.2 Proceso de convergencia del algoritmo propuesto en MATLAB. Fuente: Elaboración propia.	77
Figura 4.4.3 Magnitudes de voltaje del sistema de prueba de 33 barras antes y después de la reconfiguración. Fuente: Elaboración propia.	77
Figura 4.4.4 Sistema de distribución - 33B sin generación distribuida (después de la reconfiguración) Fuente: Elaboración propia.	78
Figura 4.4.5 Sistema de distribución - 33B con generación distribuida (antes de la reconfiguración) Fuente: Elaboración propia.	79
Figura 4.4.6 Proceso de convergencia del algoritmo propuesto en MATLAB. Fuente: Elaboración propia.	81
Figura 4.4.7 Magnitudes de voltaje del sistema de prueba de 33 barras antes y después de la reconfiguración. Fuente: Elaboración propia.	81
Figura 4.4.8 Sistema de distribución - 33B con generación distribuida (después de la reconfiguración) Fuente: Elaboración propia.	82



UNIVERSIDAD DE CUENCA

<i>Figura 4.4.9 Sistema de distribución - 69B sin generación distribuida (antes de la reconfiguración) Fuente: Elaboración propia.</i>	83
<i>Figura 4.4.10 Proceso de convergencia del algoritmo propuesto en MATLAB. Fuente: Elaboración propia.</i>	85
<i>Figura 4.4.11 Magnitudes de voltaje del sistema de prueba de 69 barras antes y después de la reconfiguración. Fuente: Elaboración propia.</i>	85
<i>Figura 4.4.12 Sistema de distribución - 69B sin generación distribuida (después de la reconfiguración) Fuente: Elaboración propia.</i>	86
<i>Figura 4.4.13 Sistema de distribución - 69B con generación distribuida (antes de la reconfiguración) Fuente: Elaboración propia.</i>	87
<i>Figura 4.4.14 Proceso de convergencia del algoritmo propuesto en MATLAB. Fuente: Elaboración propia.</i>	89
<i>Figura 4.4.15 Magnitudes de voltaje del sistema de prueba de 69 barras antes y después de la reconfiguración. Fuente: Elaboración propia.</i>	89
<i>Figura 4.4.16 Sistema de distribución - 69B con generación distribuida (después de la reconfiguración) Fuente: Elaboración propia.</i>	90
<i>Figura 4.5.1 Proceso de convergencia del algoritmo propuesto en MATLAB. Fuente: Elaboración propia.</i>	92
<i>Figura 4.5.2 Magnitudes de voltaje del alimentador perteneciente a la EERCS antes y después de la reconfiguración. Fuente: Elaboración propia.</i>	93
<i>Figura 4.5.3 Proceso de convergencia del algoritmo propuesto en MATLAB. Fuente: Elaboración propia.</i>	95
<i>Figura 4.5.4 Magnitudes de voltaje del alimentador perteneciente a la EERCS antes y después de la reconfiguración. Fuente: Elaboración propia.</i>	95
<i>Figura 4.5.5 Proceso de convergencia del algoritmo propuesto en MATLAB. Fuente: Elaboración propia.</i>	97
<i>Figura 4.5.6 Magnitudes de voltaje de los alimentadores pertenecientes a la EERCS antes y después de la reconfiguración. Fuente: Elaboración propia.</i>	98
<i>Figura 4.5.7 Proceso de convergencia del algoritmo propuesto en MATLAB. Fuente: Elaboración propia.</i>	100
<i>Figura 4.5.8 Magnitudes de voltaje de los alimentadores pertenecientes a la EERCS antes y después de la reconfiguración. Fuente: Elaboración propia.</i>	100
<i>Figura 4.5.9 Proceso de convergencia del algoritmo propuesto en MATLAB. Fuente: Elaboración propia.</i>	102
<i>Figura 4.5.10 Magnitudes de voltaje de los alimentadores pertenecientes a la EERCS antes y después de la reconfiguración. Fuente: Elaboración propia.</i>	103



ÍNDICE DE TABLAS

<i>Tabla 3.4.1 Comparación de voltajes obtenidos en cada nodo del sistema. Fuente: Elaboración propia.....</i>	<i>50</i>
<i>Tabla 3.4.2 Comparación de datos importantes entre resultados. Fuente: Elaboración propia. 51</i>	
<i>Tabla 3.4.3 Comparación de datos importantes entre resultados. Fuente: Elaboración propia. 52</i>	
<i>Tabla 3.4.4 Comparación de datos importantes entre resultados. Fuente: Elaboración propia. 54</i>	
<i>Tabla 3.4.5 Capacidad de generación distribuida en el sistema. Fuente: Elaboración propia... 55</i>	
<i>Tabla 3.4.6 Comparación de datos importantes entre resultados. Fuente: Elaboración propia. 56</i>	
<i>Tabla 3.4.7 Capacidad de generación distribuida en el sistema. Fuente: Elaboración propia.. 57</i>	
<i>Tabla 3.4.8 Comparación de datos importantes entre resultados. Fuente: Elaboración propia. 58</i>	
<i>Tabla 4.2.1 Población inicial y función de aptitud. Fuente: Elaboración propia..... 65</i>	
<i>Tabla 4.2.2 Individuos seleccionados aleatoriamente. Fuente: Elaboración propia..... 65</i>	
<i>Tabla 4.2.3 Individuo seleccionado para reproducirse. Fuente: Elaboración propia. 65</i>	
<i>Tabla 4.4.1 Resultados del análisis del caso base obtenidos en MATLAB. Fuente: Elaboración propia..... 75</i>	
<i>Tabla 4.4.2 Comparación de resultados de simulación para el sistema de 33 barras sin generación distribuida. Fuente: Elaboración propia..... 76</i>	
<i>Tabla 4.4.3 Resultados del análisis de reconfiguración obtenido en MATLAB. Fuente: Elaboración propia. 76</i>	
<i>Tabla 4.4.4 Resultados del análisis del caso base obtenidos en MATLAB. 80</i>	
<i>Tabla 4.4.5 Comparación de resultados de simulación para el sistema de 33 barras con generación distribuida. Fuente: Elaboración propia. 80</i>	
<i>Tabla 4.4.6 Resultados del análisis de reconfiguración obtenido en MATLAB. 80</i>	
<i>Tabla 4.4.7 Resultados del análisis del caso base obtenidos en MATLAB. Fuente: Elaboración propia..... 84</i>	
<i>Tabla 4.4.8 Comparación de resultados de simulación para el sistema de 69 barras sin generación distribuida. Fuente: Elaboración propia. 84</i>	
<i>Tabla 4.4.9 Resultados del análisis de reconfiguración obtenido en MATLAB. Fuente: Elaboración propia. 85</i>	
<i>Tabla 4.4.10 Resultados del análisis del caso base obtenidos en MATLAB. Fuente: Elaboración propia..... 88</i>	
<i>Tabla 4.4.11 Comparación de resultados de simulación para el sistema de 69 barras con generación distribuida. Fuente: Elaboración propia. 88</i>	
<i>Tabla 4.4.12 Resultados del análisis de reconfiguración obtenido en MATLAB. Fuente: Elaboración propia. 88</i>	
<i>Tabla 4.5.1 Resultados del análisis del caso base obtenidos en MATLAB. Fuente: Elaboración propia..... 91</i>	
<i>Tabla 4.5.2 Resultados del análisis de reconfiguración obtenido en MATLAB. Fuente: Elaboración propia. 92</i>	
<i>Tabla 4.5.3 Resultados del análisis del caso base obtenidos en MATLAB. Fuente: Elaboración propia. 94</i>	
<i>Tabla 4.5.4 Resultados del análisis de reconfiguración obtenido en MATLAB. Fuente: Elaboración propia. 94</i>	
<i>Tabla 4.5.5 Resultados del análisis del caso base obtenidos en MATLAB. Fuente: Elaboración propia..... 96</i>	



UNIVERSIDAD DE CUENCA

<i>Tabla 4.5.6 Resultados del análisis de reconfiguración obtenido en MATLAB. Fuente: Elaboración propia.</i>	97
<i>Tabla 4.5.7 Resultados del análisis del caso base obtenidos en MATLAB. Fuente: Elaboración propia.</i>	99
<i>Tabla 4.5.8 Resultados del análisis de reconfiguración obtenido en MATLAB. Fuente: Elaboración propia.</i>	99
<i>Tabla 4.5.9 Resultados del análisis del caso base obtenidos en MATLAB. Fuente: Elaboración propia.</i>	101
<i>Tabla 4.5.10 Resultados del análisis de reconfiguración obtenido en MATLAB. Fuente: Elaboración propia.</i>	102
<i>Tabla 6.1.1 Datos del sistema de prueba - 15B Fuente: [10]</i>	110
<i>Tabla 6.1.2 Datos del sistema de prueba - 33B Fuente: [11]</i>	111
<i>Tabla 6.1.3 Datos del sistema de prueba - 69B Fuente: [11]</i>	112
<i>Tabla 6.1.4 Datos del alimentador 0101 perteneciente a la EERCS Fuente: Elaboración propia</i>	114
<i>Tabla 6.1.5 Datos del alimentador 0201 perteneciente a la EERCS Fuente: Elaboración propia</i>	117
<i>Tabla 6.1.6 Datos de los alimentadores 0101, 0102 y 0103 pertenecientes a la EERCS Fuente: Elaboración propia</i>	120
<i>Tabla 6.1.7 Datos de los alimentadores 0201, 0202 y 0203 pertenecientes a la EERCS Fuente: Elaboración propia</i>	127
<i>Tabla 6.1.8 Datos de la S/E01 y S/E02 pertenecientes a la EERCS Fuente: Elaboración propia</i>	135



UNIVERSIDAD DE CUENCA

Cláusula de Propiedad Intelectual

John Eugenio Peñaloza Morán, autor del trabajo de titulación Reconfiguración óptima del sistema de distribución con generación distribuida de la Empresa Eléctrica Regional Centro Sur C.A.", certifico que todas las ideas, opiniones y contenidos expuestos en la presente investigación son de exclusiva responsabilidad de su autor.

Cuenca, 22 de octubre de 2018

A handwritten signature in blue ink, appearing to read "John Eugenio Peñaloza Morán".

John Eugenio Peñaloza Morán

C.I: 0302054671



Clausura de Propiedad Intelectual

Jairo Gonzalo Yumbla Romero, autor del trabajo de titulación Reconfiguración óptima del sistema de distribución con generación distribuida de la Empresa Eléctrica Regional Centro Sur C.A.", certifico que todas las ideas, opiniones y contenidos expuestos en la presente investigación son de exclusiva responsabilidad de su autor.

Cuenca, 22 de octubre de 2018

A handwritten signature in black ink, appearing to read "Jairo Yumbla". It is enclosed in a thin blue oval line.

Jairo Gonzalo Yumbla Romero

C.I: 0302072095



**Cláusula de Licencia y Autorización para Publicación en el Repositorio
Institucional**

John Eugenio Peñaloza Morán en calidad de autor y titular de los derechos morales y patrimoniales del trabajo de titulación "Reconfiguración óptima del sistema de distribución con generación distribuida de la Empresa Eléctrica Regional Centro Sur C.A.", de conformidad con el Art. 114 del CÓDIGO ORGÁNICO DE LA ECONOMÍA SOCIAL DE LOS CONOCIMIENTOS, CREATIVIDAD E INNOVACIÓN reconozco a favor de la Universidad de Cuenca una licencia gratuita, intransferible y no exclusiva para el uso no comercial de la obra, con fines estrictamente académicos.

Asimismo, autorizo a la Universidad de Cuenca para que realice la publicación de este trabajo de titulación en el Repositorio Institucional, de conformidad a lo dispuesto en el Art. 144 de la Ley Orgánica de Educación Superior.

Cuenca, 22 de octubre de 2018

A handwritten signature in blue ink, appearing to read "John Peñaloza Morán". It is written over a horizontal line.

John Eugenio Peñaloza Morán

C.I: 0302054671



**Cláusula de Licencia y Autorización para Publicación en el Repositorio
Institucional**

Jairo Gonzalo Yumbla Romero en calidad de autor y titular de los derechos morales y patrimoniales del trabajo de titulación "Reconfiguración óptima del sistema de distribución con generación distribuida de la Empresa Eléctrica Regional Centro Sur C.A.", de conformidad con el Art. 114 del CÓDIGO ORGÁNICO DE LA ECONOMÍA SOCIAL DE LOS CONOCIMIENTOS, CREATIVIDAD E INNOVACIÓN reconozco a favor de la Universidad de Cuenca una licencia gratuita, intransferible y no exclusiva para el uso no comercial de la obra, con fines estrictamente académicos.

Asimismo, autorizo a la Universidad de Cuenca para que realice la publicación de este trabajo de titulación en el Repositorio Institucional, de conformidad a lo dispuesto en el Art. 144 de la Ley Orgánica de Educación Superior.

Cuenca, 22 de octubre de 2018

A handwritten signature in blue ink, appearing to read "Jairo Gonzalo Yumbla Romero".

Jairo Gonzalo Yumbla Romero

C.I: 0302072095



CAPITULO I: INTRODUCCIÓN

Uno de los problemas de mayor trascendencia que se presenta en los sistemas eléctricos de potencia, y que a la vez se arrastra desde la parte de generación hasta la de distribución de la energía eléctrica, ha sido, desde siempre, la cantidad de pérdidas de potencia, ocasionadas por el efecto Joule (pérdidas técnicas), mismas que ocurren en las líneas de transporte (cables) y se producen debido a que ningún metal es un conductor perfecto; estos poseen un valor de resistencia que depende del coeficiente de resistividad específica del metal, el área transversal del cable y su longitud.

La cantidad de pérdidas que se puedan presentar en un sistema específico, depende tanto de la suma de corrientes que circula por sus conductores, así como también, del calibre de los mismos. Con el paso de los años y las experiencias negativas vividas, se ha pretendido implementar algunas alternativas para disminuir, en la medida de lo posible, las pérdidas de potencia que se puedan dar en cualquier sistema de transporte de energía eléctrica; por ello que, se ha optado por el uso de métodos diversos, tales como la compensación de potencia reactiva, con la puesta en funcionamiento de reactores inductivos o capacitivos, el desarrollo de tecnologías FACTS, la generación de potencia cercana a los centros de carga (generación distribuida), entre otros.

Es importante mencionar que un buen trabajo de optimización, en cuanto a la operación y topología de una red eléctrica, es de gran ayuda para mitigar varios problemas que esta pueda presentar, ya sea desde un enfoque de despacho económico, mejoramiento técnico, planeación futura, etc. Las pérdidas de potencia por efecto Joule, al ser un problema técnico de operación, propio de un sistema en particular, se lo puede analizar desde el punto de vista matemático, y así predecir una mejora en el funcionamiento según los resultados obtenidos dentro de este análisis. El concepto de optimización de



UNIVERSIDAD DE CUENCA

redes eléctricas, parte justamente de esta concepción; es decir, obtener un modelo matemático, el cual es propio de cada red, para luego, según el método que se escoja, encontrar una solución óptima, misma que satisfaga el propósito de minimizar las pérdidas de potencia dentro del sistema eléctrico, cumpliendo con las restricciones impuestas. Esta solución será en términos que reflejen, cuál es el mejor escenario de funcionamiento para dicha red; en otras palabras, el estado topológico de la red que menos cantidad de pérdidas de potencia tenga, luego de variar el estado de los interruptores de potencia disponibles.

Al indagar en diferentes fuentes bibliográficas, sobre el tema de la optimización de redes eléctricas, se han encontrado algunas metodologías que se implementan para cumplir con la finalidad de reducir pérdidas de potencia. Por ejemplo, en [1] se expone un análisis comparativo entre las diferentes metodologías, más comúnmente utilizadas para la optimización de redes eléctricas, tomando en cuenta incluso la opción de aprovechar fuentes de generación distribuida, con el fin de minimizar las pérdidas de potencia aún más y mejorar los perfiles de voltaje. En este artículo se presenta un cuadro sinóptico de los métodos de optimización y se los clasifica en dos grandes grupos: Los métodos de inteligencia artificial y los métodos heurísticos. Dentro de ellos se desarrollan subgrupos de los cuales podemos mencionar, los **Algoritmos de fuegos artificiales** y **Técnicas difusas**, en el campo de los métodos de inteligencia artificial; y, la **Técnica de prueba y error**, así como los **Algoritmos Metaheurísticos**, basados en técnicas metaheurísticas.

En [2], se explica que dentro de los Algoritmos Metaheurísticos está el de solución poblacional, el cual nos devuelve como resultado del análisis una multi-solución simultáneamente. Este método de solución poblacional, se subdivide a su vez en los Algoritmos Evolutivos (EA), Optimización de Colonia de Hormigas (ACO), Optimización de Enjambre de Partículas (PSO), Algoritmo de Búsqueda Armónica (HSA) y Colonia de Abejas Artificiales (ABC) [1]. En la discusión sobre los Algoritmos Genéticos (AG), los cuales son parte de los



UNIVERSIDAD DE CUENCA

algoritmos evolutivos, se concluye que estos ofrecen facilidad de implementación, además de que el esfuerzo computacional es menor en comparación con los otros métodos. También, se concluye como ventaja de utilización de los AG, que es un método que ofrece robustez en cuanto a la búsqueda de la solución óptima, con un tiempo de cálculo computacional razonable.

En [3], se implementa un algoritmo genético, con el cual se pretende determinar la configuración óptima y la correcta ubicación de fuentes de generación distribuida en un sistema de prueba de 16 barras. El procedimiento utilizado, es el de definir cadenas genéticas que representan los interruptores que se encuentran normalmente cerrados en el sistema, en cada una de las topologías aleatorias. A continuación, se define una función de aptitud, que nos ayuda a determinar el costo de operación y otra que nos indica las pérdidas de potencia que tiene cada una de las posibles soluciones; y así, desechar aquellas que no cumplen con la condición de minimización. Posterior a esto se aplican los operadores genéticos que son la selección, recombinación y mutación de las mejores posibles respuestas, con la finalidad de que sus características más importantes se hereden a las siguientes generaciones. El algoritmo genético termina luego de un número de generaciones preestablecidas y probando si se cumple el objetivo propuesto, caso contrario, se puede reiniciar el algoritmo. Como acotaciones finales, se concluye en este estudio que, este método tiene mayor probabilidad de encontrar una solución óptima local de buena calidad, incluso cercana a la óptima global que otros métodos de búsqueda exhaustiva o búsqueda heurística.

En [4], es implementado igualmente el método de algoritmos genéticos por la fiabilidad, poco esfuerzo computacional, y el tiempo necesario para obtener las configuraciones. En este estudio, se usa una metodología similar a la anterior, tomando en cuenta que las restricciones del sistema son: mantener a la red en



forma radial, todos los tramos de los alimentadores deben estar conectados, no debe existir sobrecarga en ninguna parte de la instalación, entre otras.

En este trabajo, se propone implementar el método de algoritmos genéticos a una red de distribución, justificándose con todas las ventajas que este método ofrece y que fueron explicadas en los párrafos anteriores, en referencia a estudios similares que han resultado exitosos en cuanto a las soluciones obtenidas.

Finalmente, lo destacable de los algoritmos genéticos, es que se basan en la evolución y adaptación dentro de la naturaleza, en donde los individuos de mejores características heredan sus aptitudes a las siguientes generaciones. En el enfoque de optimización de redes, estas pueden variar su topología, obteniéndose así múltiples soluciones, según el estado de sus interruptores (abierto/cerrado). El número de soluciones será proporcional al tamaño de la red; pues, al haber más interruptores, existe un problema de combinatoria más extenso. Las soluciones de mayor aptitud se seleccionan, recombinan y mutan entre ellas, para obtener un nuevo grupo de soluciones, las cuales deberán poseer mejores características que las del grupo anterior.

1.1 Antecedentes.

Un reciente trabajo corresponde a Ola Badran, Saad Mekhilef, Hazlie Mokhlis y Wardiah Dahalan (2017), denominado “Optimal reconfiguration of distribution system connected with distributed generations: A review of different methodologies”. El propósito de la publicación es conocer las metodologías de optimización, aplicadas a la búsqueda de una reconfiguración óptima del sistema, a la ubicación y a la capacidad de la generación distribuida dentro del mismo, con la finalidad de reducir pérdidas de potencia y mejorar los perfiles de voltaje en los alimentadores.



UNIVERSIDAD DE CUENCA

Metodologías tales como: Algoritmos Genéticos (GA), Aproximación Global Regularizada (RGA), Programación Evolutiva (EP), Algoritmo de Búsqueda Armónica (HSA) y Optimización de Enjambre de partículas (PSO) son aplicados al sistema de prueba de 33 barras de la IEEE con el propósito de comparar y analizar su comportamiento y efectividad en cuanto al objetivo planteado.

Los resultados obtenidos muestran configuraciones diferentes de red para cada uno de los algoritmos aplicados; en cuanto al voltaje, se cumple con las restricción de permanecer dentro del rango $\pm 5\%$ de su valor para todos los métodos, además, se tiene soluciones para la salida total de potencia de generación distribuida que depende de la topología obtenida con cada método; finalmente, la máxima reducción de pérdidas de potencia se consigue con el Algoritmo de Búsqueda Armónica (HSA), siendo esta de 63.95%.

Simultáneamente la integración de la generación distribuida y la reconfiguración óptima de la red proporcionaron notables mejoras en el perfil de voltaje y una reducción en las pérdidas de potencia con los métodos aplicados, es por ello que este enfoque, según los resultados obtenidos, garantiza una solución confiable para la aplicación de la optimización.

Otro trabajo corresponde a SOUIFI Hayfa, KAHOULI Omar y HADJ ABDALLAH Hsan denominado “Optimal Power Distribution System Reconfiguration using Genetic Algorithm”. Este tiene como propósito principal encontrar una topología óptima radial de un sistema de distribución mediante el uso de un método de optimización, de tal manera que se obtenga una reducción en el costo y en las pérdidas de potencia en las líneas, tomando en consideración restricciones económicas y operacionales del sistema.

La metodología empleada para resolver el problema de optimización se basa en los Algoritmos Genéticos. En donde se parte de una representación gráfica



UNIVERSIDAD DE CUENCA

del sistema de distribución, y con una combinación del análisis del flujo de potencia y el método de optimización, se obtiene una solución óptima, tanto para los costos como la minimización de pérdidas.

La eficiencia del método se corrobora con la aplicación de la metodología antes expuesta a un sistema de prueba de 10 barras y 19 ramas de la IEEE, el cual cuenta con una sola fuente de alimentación y algunas mallas que se forman en el sistema.

Analizando los resultados, el sistema de distribución original, en donde todas las 19 ramas estaban en servicio, contaba con un costo de 855, mientras que, al aplicar el método de optimización de los algoritmos genéticos, se obtuvo un nuevo sistema de distribución con una topología radial que cubre todas las 10 barras del sistema, cumpliendo así con la restricción de radialidad, y obteniendo un costo menor de 265. En cuanto a las pérdidas de potencia activa el sistema de distribución original contaba con 0.0595 p.u., mientras que la nueva topología obtenida presenta con 0.0099 p.u. Por lo tanto, la simulación muestra la eficiencia del método propuesto, obteniendo resultados satisfactorios en la configuración del sistema, en el costo y en las pérdidas de potencia.

Un tercer trabajo corresponde a R. Srinivasa, K. Ravindra, K. Satish y S. V. L. Narasimbam, quienes realizaron una publicación sobre “Power Loss Minimization in Distribution System Using Network Reconfiguration in the Presence of Distributed Generation”. Este trabajo pretende resolver el problema de reconfiguración de sistemas de distribución en presencia de la generación distribuida, con la finalidad de reducir las pérdidas de potencia activa en las líneas y mejorar el perfil de voltaje.

Para lograr el objetivo, esta publicación plantea el uso del Algoritmo de Búsqueda Armónica, para así encontrar una nueva configuración del sistema



UNIVERSIDAD DE CUENCA

de distribución y al mismo tiempo la ubicación óptima de la generación distribuida. La ubicación de la generación distribuida se logra mediante un análisis de sensibilidad.

Para evaluar el desempeño de la metodología propuesta (Reconfiguración del sistema de distribución y la instalación de las unidades de generación distribuida, simultáneamente) se plantea el uso de dos sistemas de distribución, el primero de 33 barras y el segundo de 69 barras. El análisis se realiza para tres niveles de carga diferente (ligero, nominal, sobrecargado), de tal manera que se pueda observar el rendimiento y la efectividad del método propuesto.

En el caso base se tienen pérdidas de potencia activa para los tres niveles de carga, 47.06 kW (ligera), 202.67 kW (nominal), 575.27 kW (sobrecargado); así también para los niveles de voltaje, 0.9583 p.u. (ligero), 0.9131 p.u. (nominal) y 0.8529 p.u. (sobrecargado). Estos resultados son comparados con los obtenidos por la metodología propuesta, siendo estos los siguientes, para el caso de las pérdidas de potencia se tiene: 17.78 kW (ligero), 73.05 kW (nominal), 194.22 kW (sobrecargado); mientras que para los niveles de voltaje se tiene, 0.9859 p.u. (ligero), 0.9700 p.u. (nominal) y 0.9516 p.u. (sobrecargado). Como se puede observar, existe una notable mejora, convirtiendo al método en una herramienta efectiva para resolver este tipo de problemas. Además, esta metodología fue comparada con métodos como Algoritmos Genéticos y Algoritmos Genéticos Refinados, siendo también superior.

Un cuarto trabajo corresponde a Jasna Hivziefendić, Amir Hadžimehmedović y Majda Tešanović denominado “Optimal Network Reconfiguration with Distributed Generation Using NSGA II Algorithm”. Esta publicación plantea una metodología para resolver el problema de la reconfiguración del sistema de distribución en presencia de generación distribuida con el objetivo de minimizar pérdidas de potencia y la función de energía no suministrada.



La metodología presentada se basa en el algoritmo multi-objetivo NSGA II el mismo que encuentra una configuración topológica óptima y minimiza dos funciones-objetivo, simultáneamente, cumpliendo con las restricciones de voltaje y con la capacidad de corriente en las líneas. Las restricciones son incluidas en la evaluación de la función objetivo.

Para demostrar el rendimiento y la eficiencia de la metodología propuesta se evalúa la misma en un sistema de distribución radial de 10 kV que cuenta con 213 barras, 248 líneas, 72 interruptores y generación distribuida de 5 MW.

Los resultados obtenidos para las pérdidas de potencia y la energía no suministrada aplicando la metodología propuesta son 25.8799 kW y 24.2139 kWh, respectivamente. Analizando la línea 211-212 la solución inicial de las pérdidas de potencia es 0.73 kW y obteniendo la solución óptima se tiene unas pérdidas de potencia de 0.49 kW. Para la misma línea sin generación distribuida y con la misma configuración de red óptima se tiene pérdidas de potencia de 0.58 kW. En cuanto a los perfiles de voltaje todos se encuentran dentro de los límites establecidos y las líneas en donde se instaló la generación distribuida tiene un aumento en el voltaje de 0.9723pu a 0.9813pu. Estos resultados muestran la eficiencia del método; y que, tanto la reconfiguración como la generación distribuida ayudan a mejorar el perfil de voltaje y disminuir las pérdidas de potencia.

1.2 Justificación.

Dentro de los sistemas eléctricos de potencia, la parte de distribución cumple con la función de suministrar el requerimiento eléctrico a cada uno de los usuarios, tal y como estos lo demanden en el tiempo. Debido al flujo de potencia existente en la red, se producen pérdidas por el efecto Joule (conocidas también como pérdidas técnicas); las cuales generan un problema considerable dentro de la operación de una red de distribución, cuando sus



UNIVERSIDAD DE CUENCA

valores sobrepasan ciertos límites, haciendo menos eficiente el servicio. Los sistemas de distribución, mientras más grandes son, están expuestos a tener mayores pérdidas, especialmente cuando suministran energía a grandes cargas, ya que esto propicia problemas tanto para los perfiles de voltaje, como para el costo operacional del sistema.

Por lo expuesto, es de vital importancia, dentro de un sistema de distribución, tomar acción en cuanto a las pérdidas de potencia, con el objetivo de minimizarlas en lo posible. Para lograr este propósito, es necesario la búsqueda de una topología óptima de red, mediante el cambio de estado de los interruptores, según sea necesario y tomando en consideración el cumplimiento de las restricciones operacionales del sistema.

Una topología óptima de red, con una característica radial puede brindar ventajas operacionales y económicas a las empresas distribuidoras de energía, entre las cuales se tiene: facilidad de coordinación de protecciones, reducción de pérdidas de energía que conlleva a una mejora en el perfil de voltajes en las barras, una mejora en la prestación del servicio y una reducción de costos de operación del sistema.

Además de las ventajas expuestas, la reducción de las pérdidas de potencia, conduce a una eficiencia energética; ya que, suplir dichas pérdidas será en menor escala, por ende, se dependerá menos de la generación convencional, la cual es causante de las emisiones de gases de efecto invernadero, deterioro del medio ambiente, producto de la explotación de los recursos naturales, daño ambiental y contaminación.

1.3 Alcance.

El trabajo de titulación consta de un análisis del estado actual del sistema de distribución de la Empresa Eléctrica Regional Centro Sur, obteniendo



UNIVERSIDAD DE CUENCA

condiciones de operación tales como, flujos de potencia, niveles de voltaje en barras y pérdidas de potencia, para posteriormente ser comparadas con los resultados de la metodología propuesta.

Se plantea un modelo matemático del sistema de distribución en estudio, que cuente con una función-objetivo, que minimice las pérdidas de potencias y con restricciones operacionales tales como, límite de potencia activa mínima y máxima para la generación distribuida, límite de voltaje mínimo y máximo para cada barra, radialidad del sistema, ecuación de balance de potencia y la potencia inyectada de la generación distribuida.

El problema de optimización se resolverá mediante el método de **Algoritmos Genéticos** que consiste en analizar el estado de los interruptores, conformando así un conjunto de configuraciones iniciales; y, mediante un proceso iterativo, con el uso de operadores genéticos, obtener configuraciones de mejor calidad, hasta alcanzar una solución óptima con mínimas pérdidas de potencia.

Por último, se efectuará un estudio comparativo entre los resultados del análisis del comportamiento natural del sistema, con los obtenidos al realizar la reconfiguración de este. Se propondrán recomendaciones a la Empresa Eléctrica Regional Centro Sur, sobre los beneficios que se pueden obtener con el cambio de la topología de la red de distribución, minimizando pérdidas, mejorando niveles de voltaje y aumentando la eficiencia del servicio.

1.4 Objetivos.

1.4.1 Objetivo general.

Proponer y aplicar el modelo matemático para encontrar la configuración óptima del sistema de distribución eléctrica de la Empresa Eléctrica Centro Sur



UNIVERSIDAD DE CUENCA

C.A., con y sin presencia de generación distribuida, con la finalidad de minimizar las pérdidas de potencia activa y mejorar los perfiles de voltaje en alimentadores, teniendo en cuenta las restricciones operativas de la red.

1.4.2 Objetivos específicos.

1. Obtener datos de pérdidas de potencia y perfiles de voltaje del sistema de distribución de la Empresa Eléctrica Regional Centro Sur C.A., a través de flujos de carga.
2. Formular un modelo matemático con una función objetivo enfocado en minimizar las pérdidas de potencia y las respectivas restricciones operativas del sistema.
3. Aplicar y simular los resultados obtenidos con el algoritmo genético al sistema de distribución en estudio.
4. Analizar y comparar los resultados obtenidos del análisis realizado al sistema de distribución inicial y al sistema de distribución reconfigurado.



CAPÍTULO II: TÉCNICAS UTILIZADAS PARA LA RECONFIGURACIÓN ÓPTIMA DE SISTEMAS DE DISTRIBUCIÓN

2.1 Introducción

La reconfiguración en las redes de distribución es considerada un complejo proceso de optimización combinatoria [5]; por ello, varias metodologías han sido desarrolladas para procurar una solución al respecto. La diferencia entre una y otra radica en la rapidez y eficacia de cada una, sin involucrar un esfuerzo computacional relevante, de modo que se cumpla el objetivo planteado. La función-objetivo puede variar, dependiendo del tipo de estudio que se requiere realizar en un sistema en particular.

Es común encontrar en la literatura que los objetivos más comunes en un proceso de optimización son:

- Encontrar la ruta más óptima entre nodos de una red, dentro de un análisis de planificación en sistemas de transmisión o distribución.
- Optimizar el problema de programación de mantenimiento a generadores, transformadores y otros equipos importantes dentro de los SEP.
- Optimizar el despacho de generación para favorecer costos.
- Reconfigurar de mejor manera las redes de transmisión y distribución para minimizar pérdidas de potencia.
- Reconfigurar de mejor manera las redes de transmisión y distribución para minimizar pérdidas económicas.
- Encontrar la ubicación más adecuada para DG (generación distribuida) y/o subestaciones. Etc.

Para llevar a cabo los estudios antes mencionados, existen varios métodos de optimización, los cuales se desenvuelven uno mejor que otro, según cual sea el problema a tratarse. Es posible que un método sea muy eficiente para

solucionar un problema de planificación, pero no tenga el mismo desempeño en cuanto a optimización de despacho. Esta diferencia radica en la función-objetivo y las restricciones que se manejen en el análisis de redes eléctricas.

En [1], se realiza una explicación de los métodos de optimización más utilizados y convenientes para los problemas de reconfiguración y especialmente, el dimensionamiento de la generación distribuida (DG), tomando en cuenta que no se mencionan los métodos clásicos. Por ello a estos se clasifican en dos grandes grupos. El primero, conocido como de Inteligencia Artificial, el cual es considerado como ciencia que dota de inteligencia a máquinas; por ejemplo, al incorporarles un software lo suficientemente avanzado; y el segundo, el método heurístico, que involucra un proceso de optimización y se utiliza para, en lo posible, alcanzar la solución óptima de un problema que se detecte. A continuación, en la Figura 2.1.1 se presentan los métodos de optimización utilizados para el mejor aprovechamiento de las redes de distribución:

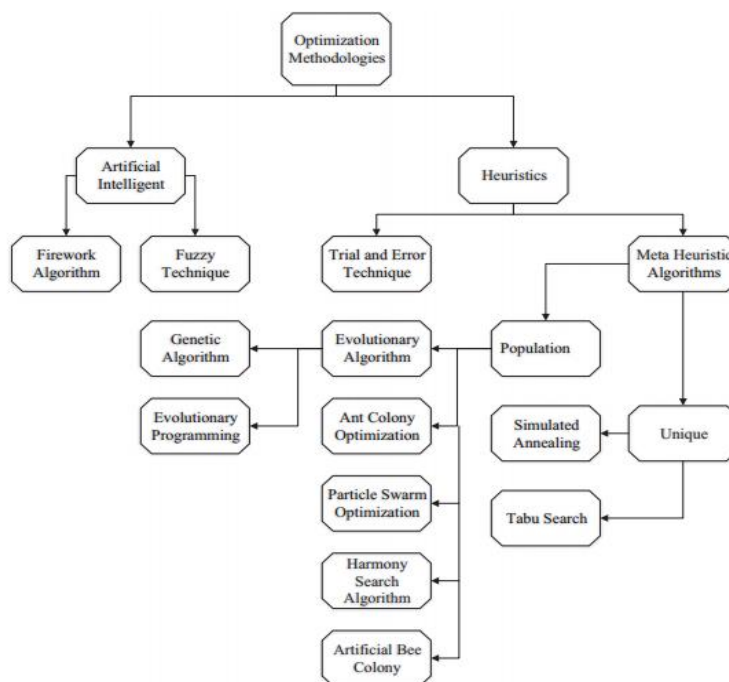


Figura 2.1.1 Metodologías de optimización de redes eléctricas.

Fuente: [1]



2.2 Métodos de optimización.

2.2.1 Inteligencia artificial.

El fundamento de la inteligencia artificial parte de la pregunta “¿Es posible que una máquina posea capacidad de abstracción similar a la inteligencia humana?” [6]. Pretendiendo responder a esta pregunta, es importante tener en cuenta que no es tarea fácil, ya que, hasta el momento, el cerebro humano es el sistema de reconocimiento de patrones más eficiente, complejo y robusto que se conoce.

Para entender la complejidad del funcionamiento del cerebro humano, mencionemos que éste, al realizar las funciones cognitivas que lo caracterizan, lleva a cabo la activación de aproximadamente unas 90.000'000.000 de células del sistema nervioso, las mismas que están conectadas por enlaces sinápticos.

La activación neuronal sigue un ordenado proceso biofísico, que permite un desempeño adaptativo y robusto para realizar actividades como el procesamiento de información sensorial, la regulación fisiológica de los órganos, el lenguaje, la abstracción lógica matemática, entre otras [6]. La neurociencia actual todavía no logra identificar de manera exacta, cómo la actividad neuronal permite formar representaciones simbólicas abstractas. La hipótesis de partida es que la simbología abstracta pueda ser manipulada por sistemas artificiales, sin la ayuda de una base biológica.

Por lo expuesto, se puede definir a la inteligencia artificial, como la posibilidad de manipular expresiones lógicas y esquemas abstractos, mediante sistemas artificiales. En otras palabras, la Inteligencia Artificial es la disciplina académica relacionada con la informática, para emular algunas de las facultades propias del intelecto humano en sistemas artificiales [6].



2.2.2 Técnica heurística.

La heurística, es una técnica de búsqueda de soluciones para problemas complejos de combinatoria; estas soluciones pueden ser óptimas o cercanas al valor óptimo, sin garantizarlo con certeza. Se caracteriza por ser directa y utilizar reglas prácticas favorables, para localizar soluciones mejoradas [7]. La principal ventaja que presenta la técnica heurística es que busca soluciones con rapidez, pero en contraparte no garantiza un conocimiento total sobre la calidad de la solución con respecto a la óptima.

Se considera algoritmo heurístico a un proceso ordenado de pasos para encontrar la solución a un problema; y, es aplicable cuando a pesar de que existe una solución óptima a dicho problema, es demasiado difícil, laborioso e incluso imposible encontrarla con los conocimientos y tecnología tradicionales de optimización [8]. Las soluciones aproximadas encontradas por un algoritmo heurístico, son bastante satisfactorias y es posible medir qué tan precisa es, determinando un porcentaje de optimización. Los resultados obtenidos se garantizan en términos estadísticos o bajo ciertos márgenes de incertidumbre.

Las primeras pruebas de experimentación de la heurística se hicieron con la regla de “búsqueda codiciosa”, que se basa en mejorar el valor de la función-objetivo con cada iteración que se lleve a cabo en el procedimiento del algoritmo.

La heurística codiciosa justifica su desarrollo en un problema de una sola variable y partiendo de un conjunto S de soluciones. Por ejemplo, consideremos la función $z = F(x)$, la cual se puede minimizar o maximizar:

$$z = F(x), \quad x \in S \quad (2.2.1)$$



$F(x)$, es la función-objetivo del problema y el proceso iterativo inicia tomando un valor del conjunto S , aleatoriamente, para luego moverse por la vecindad $N(x_k)$ de este punto, hasta encontrar una mejor solución que la anterior y finalizar luego de k iteraciones cuando ya no son posibles más mejoras.

Si se expande la vecindad de búsqueda, se puede mejorar la calidad de la solución, pero a su vez requiere más cálculos de búsqueda local.

2.2.2.1 Algoritmos metaheurísticos.

Los algoritmos metaheurísticos, nacen a partir de la metaheurística, la misma que es una rama principal de la optimización estocástica. Esta última, es una herramienta que reúne algoritmos y técnicas que tienen un cierto grado de incertidumbre y emplean aleatoriedad para encontrar soluciones óptimas a problemas que tienen un alto grado de complejidad [2]. La técnica metaheurística de optimización, por su carácter iterativo ayuda a la búsqueda de soluciones óptimas, utilizando estrategias de aprendizaje y combinando inteligentemente conceptos que aporten con la explotación y exploración del espacio de búsqueda [1].

El procedimiento básico que siguen los algoritmos metaheurísticos es conocido como “Hill-Climbing”, y sigue la creencia heurística de que soluciones similares, tienden a comportarse de manera similar, por lo que al realizar pequeñas modificaciones aleatorias en una solución buena, esta es propensa a mejorar la calidad de la misma [2]. En este procedimiento se fundamentan casi la mayoría de las metaheurísticas, además de la búsqueda aleatoria.

Tal como se explicó con anterioridad, la heurística codiciosa tiene un comportamiento determinado tal, que en la iteración k , la búsqueda continua en un nuevo punto $x_{(k+1)} \in N(x_k)$, solo si aquel, mejora el valor de la función-



objetivo $z = F(x)$. Si esto no se cumple o si se llega a un número de iteraciones definidas por el usuario, el algoritmo se encuentra atrapado en un óptimo local [7].

La metaheurística se diferencia de la heurística codiciosa, ya que esta última termina cuando se obtiene un óptimo local, mientras que la metaheurística termina solo si se cumple alguno de los siguientes requerimientos:

- Se excede un número determinado de iteraciones.
- Se excede un número determinado de iteraciones luego de la última mejor solución.
- La vecindad correspondiente a un punto de búsqueda actual está vacía o no presenta un nuevo punto de búsqueda viable
- La calidad de la mejor solución actual es aceptable.

Cada metaheurística se caracteriza por la manera en cómo escapa del óptimo local [7].

2.3 Problema de reconfiguración de redes eléctricas de distribución.

Como ya se ha mencionado anteriormente, el problema de reconfiguración de redes de distribución eléctrica, está definido como la búsqueda de la topología más adecuada, la cual cumpla con las condiciones impuestas en el planteamiento del problema; respetando un cierto número de restricciones, las mismas que permiten el funcionamiento del sistema sin anomalías.

Al plantear el problema de reconfiguración, es necesario definir una función-objetivo f , que debe ser minimizada; y, que puede representar el costo de operación del sistema, las pérdidas de potencia activa en las líneas, etc.



$$\textcolor{brown}{F} = \min f \quad (2.3.1)$$

2.3.1 Restricciones:

El planteamiento e importancia de las restricciones es primordial en el problema de reconfiguración, debido a que gracias a estas limitaciones que se impone al sistema, se permite que este opere dentro de las condiciones físicas necesarias. Con las restricciones se pretende mantener los niveles de voltaje de cada barra, dentro de su rango nominal de $\pm 5\%$, se mantiene la topología radial del sistema, se evita llegar al valor máximo de corriente admitido por el conductor de cada rama, etc.

2.4 Sistemas de distribución con generación distribuida.

2.4.1 Sistemas tradicionales

El concepto tradicional de sistema de potencia abarca la generación de energía en grandes plantas cercanas a la fuente primaria y comúnmente alejadas de los centros de carga. Esta potencia generada es suministrada a los usuarios mediante un sistema de transmisión que consta de redes eléctricas de alto, medio y bajo voltaje, siendo el flujo unidireccional tal como se observa en la Figura 2.4.1.

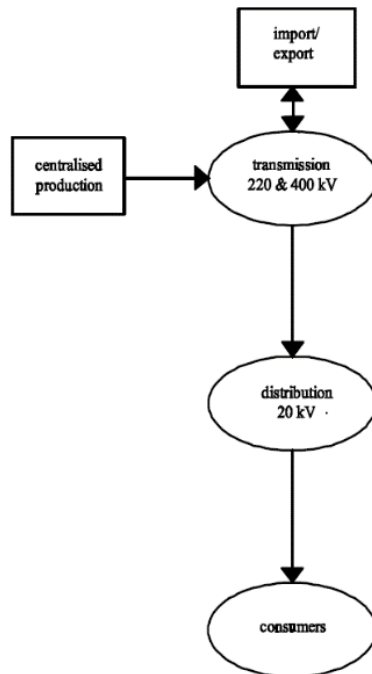


Figura 2.4.1 Concepto tradicional de suministro de energía eléctrica

Fuente: [9]

La demanda eléctrica continuamente crece y por tal motivo es necesario que tal incremento deba ser abastecido. En los sistemas de potencia tradicionales los incrementos de demanda son abastecidos instalando nuevas fuentes de generación en el nivel 1, indicado en la Figura 2.4.1.

Debido a la evolución de la tecnología y a nuevas políticas ambientales se ha promovido nuevos tipos de generación eléctrica usando fuentes de energía renovables; esta generación, usualmente es de baja potencia y se denomina generación distribuida, llegando así a obtener un nuevo concepto de sistema de potencia.

En este nuevo concepto la generación distribuida no se incluye en el nivel 1, sino que son instaladas en zonas cercanas a los centros de carga, teniendo así, que la demanda es abastecida tanto por la generación del nivel 1 como por la generación distribuida. Esto logra un incremento en la confiabilidad del

sistema de distribución. En la Figura 2.4.2, se puede observar un esquema del sistema de potencia con generación distribuida.

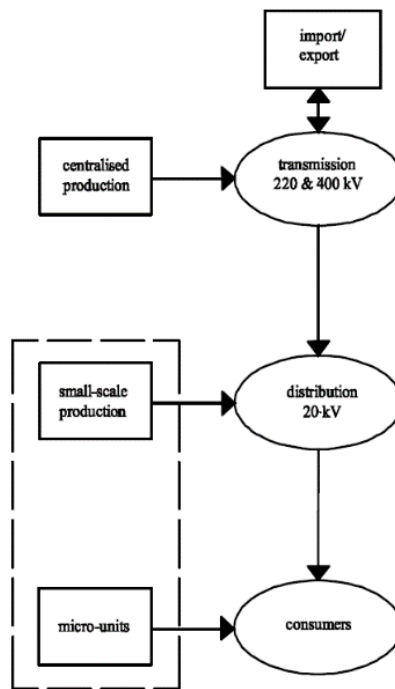


Figura 2.4.2 Sistema de potencia con generación distribuida.
Fuente: [9]

2.4.2 Generación Distribuida

Generación distribuida se considera a las fuentes de potencia de capacidad pequeña, que son conectadas a los sistemas eléctricos en zonas cercanas a las cargas y son consideradas energías renovables provenientes de recursos naturales tales como el viento, rayos solares, olas, mareas, calor geotérmico y biomasa. Entre las tecnologías de generación distribuida se consideran [9]:

- Pequeñas Hidroeléctricas.
- Turbinas Eólicas.
- Paneles fotovoltaicos.
- Gasificación de la biomasa.



UNIVERSIDAD DE CUENCA

- Geotérmicas.
- Energía undimotriz.
- Energía maremotriz.

Conectar la generación distribuida a los sistemas de distribución trae consigo múltiples beneficios tales como [9]:

- Mejora el perfil de voltaje en los alimentadores.
- Reducción de las pérdidas de potencia.
- Mejora en la calidad de potencia.
- Incremento en la confiabilidad del sistema de distribución.

Por otro lado, la conexión de la generación distribuida puede provocar algunos inconvenientes, en el sistema de distribución, tales como [9]:

- Complicaciones en las protecciones de sistema de potencia.
- Incremento en el nivel de falla del sistema.
- Cambios en la potencia de cortocircuito.

Para evitar complicaciones, cada sistema de distribución debe ser estudiado y analizado, de tal manera que haya un correcto dimensionamiento y ubicación de la generación distribuida en dicho sistema.



CAPITULO III. ANÁLISIS DEL SISTEMA DE DISTRIBUCIÓN EN CUESTIÓN Y DEFINICIÓN DE SU ESTADO

3.1 Introducción

En este punto, se realiza el análisis de flujos de potencia, para los sistemas de distribución de prueba radiales IEEE de 15, 33 y 69 barras, cuyos datos se presentan en el Anexo, Tabla 6.1.1, Tabla 6.1.2 y Tabla 6.1.3, respectivamente. Estos alimentadores de prueba de distribución radial y sus datos, son preparados y detallados por el “Subcomité de Análisis de Sistemas de Distribución” IEEE [10]. Del mismo modo, se realiza el análisis de la porción del sistema real, proporcionado por la Empresa Eléctrica Regional Centro Sur.

Para el análisis de flujo de potencia en sistemas de distribución, no es adecuado utilizar métodos tradicionales de cálculo, tales como, Newton-Raphson, Gauss-Seidel o Newton-Raphson desacoplado rápido, debido a la naturaleza radial y la alta relación r/x de los sistemas [11]. Esto reduce la fiabilidad, ya que en este primer método, por ejemplo, al analizarse sistemas radiales, la matriz Jacobiana es muy espaciada, es decir, contiene muchos ceros, y de esta manera se hace difícil la convergencia del método. En contraparte a esto, muchos algoritmos especializados para sistemas de distribución han sido desarrollados y están bien documentados. En [10], se clasifica a estos métodos en dos categorías; la primera, utiliza principalmente los voltajes de nodo o las inyecciones de corriente, como variables de estado, y aquí se encuentran los métodos tales como: método de Z-barra, algoritmos basados en Newton-Raphson y los métodos basados en Newton-Raphson rápido desacoplado. La segunda categoría que se explica es la que adopta a las corrientes de rama o potencias de rama como variables de estado; aquí se encuentran los métodos basados en Backward/Forward y loop impedance.



Por lo antes expuesto, en este trabajo, se utiliza un método Backward/Forward iterativo que consiste en el cálculo de las potencias que fluyen por cada rama del sistema, partiendo desde un nodo terminal; mientras que las magnitudes de voltaje, se calculan desde la barra fuente (subestación), hasta los nodos finales, culminando con el proceso cuando se cumpla la tolerancia especificada. Se parte desde la lectura de datos tabulados ordenadamente para luego identificar la troncal principal y los ramales laterales; de este modo, se empieza con los cálculos del flujo de potencia que existe entre cada par de nodos, de forma que se satisfaga la demanda y las respectivas perdidas de potencia en el conductor. Una vez calculados los valores de potencia, se procede con el cálculo de voltajes en cada nodo del sistema. El algoritmo se repite hasta que la diferencia entre los respectivos voltajes de cada nodo, cumpla con la tolerancia propuesta.

3.2 Métodos utilizados para resolver el problema de flujo de carga en sistemas radiales de distribución eléctrica.

Como ya se explicó en la introducción, actualmente existen numerosos métodos para realizar el análisis de flujos de potencia en sistemas de distribución radial, entre los que podemos destacar, los siguientes:

En [12] se utiliza el método de corrientes nodales para resolver el problema de flujos de potencia en sistemas de distribución. Se explica que, como es común en los procesos de cálculo iterativos, es necesario determinar un conjunto de valores iniciales (X_0); los cuales ayudan a realizar los cálculos correspondientes a la primera iteración, según el método escogido. Para este caso, es necesario fijar un valor inicial de voltaje para cada nodo del sistema en estudio; por conveniencia y facilidad, se asigna a todos el valor de voltaje de la subestación, el cual es un valor conocido (generalmente 1 p.u.). Una vez hecho esto, el método se desarrolla calculando las corrientes nodales; para esto, se

utilizan los valores de voltaje asignados en primera instancia y los valores conocidos de potencia de carga.

Suponiendo un sistema como el siguiente:

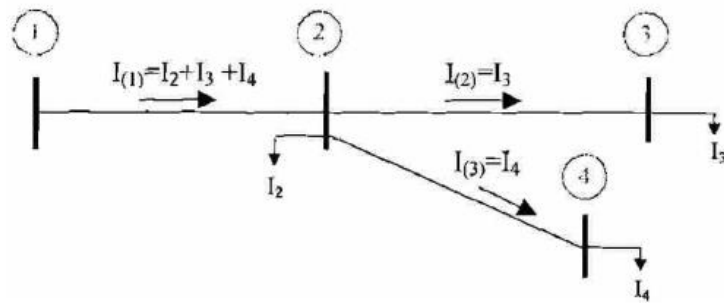


Figura 3.2.1 Suma de corrientes nodales en sistema radial.
Fuente: [12]

Como los valores de carga a suministrar y los voltajes fijados son variables conocidas, basta con aplicar la ecuación (3.2.1), para conocer la corriente que demanda cada carga en los nodos del sistema.

$$I_k = \left(\frac{S_k}{V_k} \right)^* \quad (3.2.1)$$

A esta parte de la solución se la denomina solución hacia atrás, ya que es necesario partir desde un nodo que sea final de una rama y así de manera sucesiva hacia atrás hasta llegar a la rama conectada al nodo fuente, respetando la topología del sistema.

Una vez calculados estos valores de corriente, es posible calcular los voltajes en cada nodo del sistema, partiendo desde el nodo fuente que tiene un valor de voltaje conocido. El procedimiento consiste en restar al voltaje del nodo fuente, la caída de voltaje existente en la primera rama del sistema. Tomando como ejemplo el sistema mostrado con anterioridad, se obtienen los valores de voltaje de la siguiente manera:

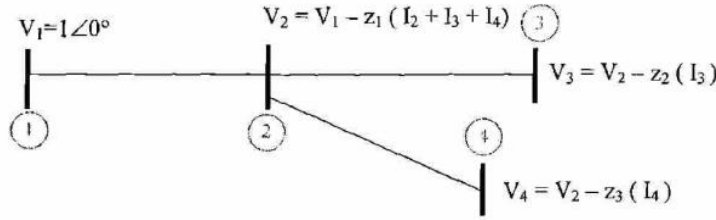


Figura 3.2.2 Cálculo de voltajes en cada nodo del sistema radial.
Fuente: [12]

A esta segunda parte del procedimiento se lo denomina solución hacia adelante, ya que se parte desde el nodo fuente, sucesivamente hasta el nodo n .

Una vez obtenidos estos nuevos valores de voltaje, se los compara con respecto a los valores de la iteración anterior, hasta satisfacer el valor de tolerancia definido al inicio del cálculo.

En [13], M. E. Baran y F. F. Wu (1989), proponen un método basado en el de Newton – Raphson, para la solución de flujos en sistemas de distribución radiales. Es por ello que, aquí se realiza el cálculo de una matriz Jacobiana y las ecuaciones utilizadas para el cálculo de potencias, son diferentes a las utilizadas para los sistemas de transmisión. Por conveniencia, se considera un sistema trifásico balanceado.

Si la potencia entregada por la subestación, $S_0 = P_0 + jQ_0$ es conocida, entonces es posible conocer el voltaje y la potencia en el final de la primera rama, con las siguientes ecuaciones:

$$S_1 = S_0 - S_{loss1} - S_{L1} = S_0 - z_1 \frac{|S_0|^2}{V_0^2} - S_{L1} \quad (3.2.2)$$

$$V_1 \angle \theta_1 = V_0 - z_1 I_0 = V_0 - z_1 \frac{S_0^*}{V_0} \quad (3.2.3)$$



Generalizando estas ecuaciones para todos los nodos del sistema, se obtienen las siguientes formulas recursivas conocidas como ecuaciones de flujo en las ramas y son las siguientes:

$$P_{i+1} = P_i - r_{i+1} \frac{(P_i^2 + Q_i^2)}{V_i^2} - P_{Li+1} \quad (3.2.4)$$

$$Q_{i+1} = Q_i - x_{i+1} \frac{(P_i^2 + Q_i^2)}{V_i^2} - Q_{Li+1} \quad (3.2.5)$$

$$V_{i+1}^2 = V_i^2 - 2(r_{i+1}P_i + x_{i+1}Q_i) + (r_{i+1}^2 + x_{i+1}^2) \frac{(P_i^2 + Q_i^2)}{V_i^2} \quad (3.2.6)$$

En donde:

P_i, Q_i : Es la potencia real y reactiva que fluye desde el extremo emisor de la rama que conecta el nodo i con el nodo $i + 1$.

V_i : Magnitud del voltaje de la barra i .

Las ecuaciones anteriores se pueden escribir de la siguiente manera:

$$X_{0i+1} = f_{0i+1}(X_{0i}) \quad (3.2.7)$$

$$X_{0i} = [P_i, Q_i, |V_i|^2] \quad (3.2.8)$$

Junto con las ecuaciones (3.2.4), (3.2.5) y (3.2.6), se tiene también las condiciones terminales:

1. El voltaje de la subestación especificado V^{sp} :



$$V_0^2 = V^{sp2} \quad (3.2.9)$$

2. Al final del alimentador y cada ramal tenemos:

$$P_n = 0 \quad Q_n = 0 \quad (3.2.10)$$

Estas cinco ecuaciones (3.2.4), (3.2.5), (3.2.6), (3.2.9) y (3.2.10) forman las ecuaciones de flujo de potencia para sistemas de distribución “**DistFlow**” [16].

El algoritmo de solución es el siguiente:

1. Calcular los desajustes $F(S^j)$;
2. Resolver el sistema $J(S^j)\Delta S^k = -F(S^j)$
3. Actualizar las variables S donde $S^{i+1} = S^i + \Delta S^i$
4. Volver al paso 1 hasta cumplir el valor de tolerancia.

Estas ecuaciones de **DistFlow**, han sido tomadas como modelo para numerosos trabajos que proponen diferentes aplicaciones de las mismas; por ejemplo, en [14], se las presenta de diferente forma para que se realice el cálculo desde un nodo hacia el anterior (diferente a lo expuesto en [13], que se parte de un nodo i al nodo $i + 1$). En [15], se realiza una conversión de estas en ecuaciones diferenciales ordinarias “EDO”, con el propósito de que sean más apropiadas para sistemas muy extensos. En [16] y [17], se realiza el cálculo de un flujo de potencia óptimo, definiendo una función objetivo, en base a los resultados obtenidos mediante las ecuaciones **DistFlow**.

En [18], se plantea el problema de flujos como un modelo matemático, haciendo cumplir la ley de Kirchhoff, de que el flujo de potencia tanto activa como reactiva, que ingresa en un nodo debe ser igual al que sale. En [19], se recomienda igualmente el uso de las ecuaciones de las leyes de Kirchhoff,



tanto de corriente y voltaje, mediante la aplicación Backward/Fordward. En [20], se realiza el problema de reconfiguración para reducir los costos operacionales de los sistemas de distribución, para lo cual el flujo de potencia óptimo es parte de las restricciones de la función objetivo. Finalmente, en [21], se plantea el problema de flujos de potencia como parte de las restricciones del problema de optimización.

Según lo antes expuesto, existen numerosos métodos para obtener los valores de flujo de potencia en los sistemas de distribución, por lo que la elección del método puede darse según como mejor se adapte a las necesidades del problema y su implementación. Ventajosamente, existe suficiente documentación para guiarse sobre la efectividad de cada método, y a su vez la información necesaria para corroborar los resultados obtenidos.

3.3 Explicación del método utilizado.

Los métodos clásicos de solución de flujos de potencia por lo general son procesos iterativos que necesitan de la formación de matrices de impedancia, admitancia o Jacobiano para llegar a una solución, esto implica un mayor esfuerzo computacional, convirtiéndolos de esta de manera en métodos lentos cuando se trata de sistemas de dimensiones grandes. Por tal motivo, aprovechando las características radiales de los sistemas de distribución se optó por el uso del método Backward Sweep (Barrido hacia atrás) para el cálculo de los flujos de potencia y un barrido hacia adelante (Fordward Sweep), para el cálculo del voltaje en cada nodo.

El algoritmo planteado para determinar el flujo de potencia, caídas de voltaje, corriente y pérdidas de potencia activa y reactiva está compuesto de tres partes:

3.3.1 Lectura de datos.

Para leer los datos, es necesario enumerar cada nodo del sistema, comenzando desde la subestación (1), hasta el nodo del extremo final del alimentador principal; una vez hecho esto, se enumeran los nodos de las ramas adyacentes al alimentador principal, empezando desde la rama adyacente conectada al nodo de menor numeración y así se prosigue de manera ascendente hasta finalizar con todas las ramas. Un ejemplo del proceso de enumeración de nodos se puede observar en la Figura 3.3.1.

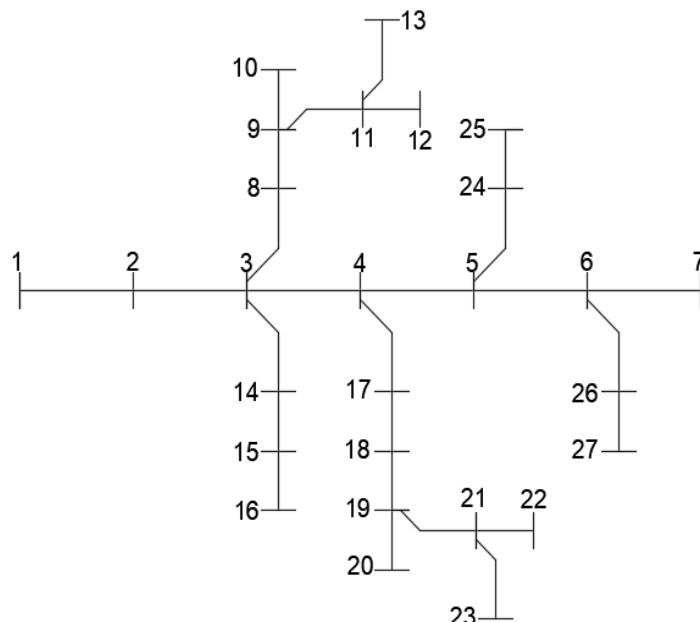


Figura 3.3.1 Numeración de nodos del Sistema de Distribución.
Fuente: Elaboración propia.

Realizada la enumeración de los nodos del sistema se puede identificar fácilmente la potencia de carga y generación activa y reactiva que tiene como demanda cada nodo, así como también, la resistencia y reactancia de cada línea. Para la primera iteración, el perfil de voltaje es constante, siendo 1.0 p.u. en cada nodo. Estos constituyen los datos necesarios para encontrar el flujo de potencia.



UNIVERSIDAD DE CUENCA

3.3.2 Identificación de nodos y ramas adyacentes.

El algoritmo de identificación de nodos y ramas adyacentes determina la topología del sistema de distribución a partir de los datos ingresados en el punto uno. El algoritmo utilizado se presenta a continuación:

Inicialización $i = 0$

Mientras $i \leq nd$

$j = 1$

Mientras $j \leq nb$

Si $i = SE(j)$

$S=S+1$

$Adn(S) = RE(j)$

$Adb(S) = j$

Fin

Si $i = RE(j)$

$S=S+1$

$Adn(S) = SE(j)$

$Adb(S) = j$

Fin

$j = j + 1$

Fin

$MT(i) = S$

$MF(i + 1) = MT(i) + 1$

$i = i + 1$

Fin

Donde:



nd: Número de nodos del Sistema de Distribución.

nb: Número de ramas del Sistema de Distribución.

SE: Vector de nodos de envío.

RE: Vector de nodos receptores.

Adn: Vector de nodos adyacentes.

Adb: Vector de ramas adyacentes.

MT: Memoria de localización hacia

MF: Memoria de localización desde

3.3.3 Cálculo del flujo de potencia, voltajes, corriente y pérdidas de potencia.

Con los datos ingresados en el punto uno y determinada la topología del sistema de distribución, tal como se explica en el punto dos, se procede al cálculo del flujo de potencia, corriente, pérdidas de potencia y voltaje.

3.3.4 Cálculo de potencia activa y reactiva - barrido hacia atrás.

Para realizar el cálculo del flujo de potencia activa y reactiva en las ramas, se empieza desde el nodo extremo final del alimentador principal hacia el nodo de la subestación, considerando los voltajes de la iteración anterior constantes. Como se menciona en líneas anteriores, para la primera iteración los voltajes en los nodos será 1.0p.u. El flujo de potencia activa y reactiva en las ramas del sistema de distribución se calcula utilizando las siguientes ecuaciones:

$$P_i = P_{i+1} + P_{Li+1} + r_j * \frac{(P_{i+1} + P_{Li+1})^2 + (Q_{i+1} + Q_{Li+1})^2}{V_{i+1}^2} \quad (3.3.1)$$

$$Q_i = Q_{i+1} + Q_{Li+1} + x_j * \frac{(P_{i+1} + P_{Li+1})^2 + (Q_{i+1} + Q_{Li+1})^2}{V_{i+1}^2} \quad (3.3.2)$$

3.3.5 Cálculo del voltaje - barrido hacia adelante.

El cálculo de los voltajes en los nodos es obtenido considerando las potencias activas y reactivas, calculadas como se explica en el punto 3.3.4, las mismas que fueron efectuadas con el barrido hacia atrás usando las ecuaciones (3.3.1) y (3.3.2). Los voltajes se determinan mediante la fórmula (3.3.3) iniciando el cálculo desde el nodo de la subestación hasta el extremo final de cada alimentador principal y rama adyacente.

$$V_{i+1} = \left[V_i^2 - 2 * (P_i * r_j + Q_i * x_j) + (r_j^2 + x_j^2) * \frac{P_i^2 + Q_i^2}{V_i^2} \right]^{\frac{1}{2}} \quad (3.3.3)$$

3.3.6 Cálculo de las pérdidas de potencia y la corriente.

El cálculo de las pérdidas de potencia activa, reactiva y la corriente en todas las ramas del sistema de distribución se realiza de manera iterativa simultáneamente con el cálculo de los flujos de potencia, y son determinadas por las siguientes ecuaciones:

$$P_{LOSS} = r_j * \frac{(P_{i+1} + P_{Li+1})^2 + (Q_{i+1} + Q_{Li+1})^2}{V_{i+1}^2} \quad (3.3.4)$$

$$Q_{LOSS} = x_j * \frac{(P_{i+1} + P_{Li+1})^2 + (Q_{i+1} + Q_{Li+1})^2}{V_{i+1}^2} \quad (3.3.5)$$

$$I = \left[\frac{(P_{i+1} + P_{Li+1})^2 + (Q_{i+1} + Q_{Li+1})^2}{V_{i+1}^2} \right]^{\frac{1}{2}} \quad (3.3.6)$$



3.3.7 Criterio de convergencia.

El criterio de convergencia utilizado es mediante la comparación de los voltajes de la iteración k con la iteración siguiente $k+1$, si el error es menor a una tolerancia fijada previamente, las soluciones obtenidas convergen, caso contrario el proceso continúa, es decir,

$$|V_{k-1} - V_k| < \text{Tolerancia} \quad (3.3.7)$$

Generalmente, las tolerancias se establecen como valores pequeños, por ejemplo:

$$\varepsilon \leq 0.00001 \quad (3.3.8)$$

3.3.8 Diagrama de flujo del método utilizado (Backward/Forward)

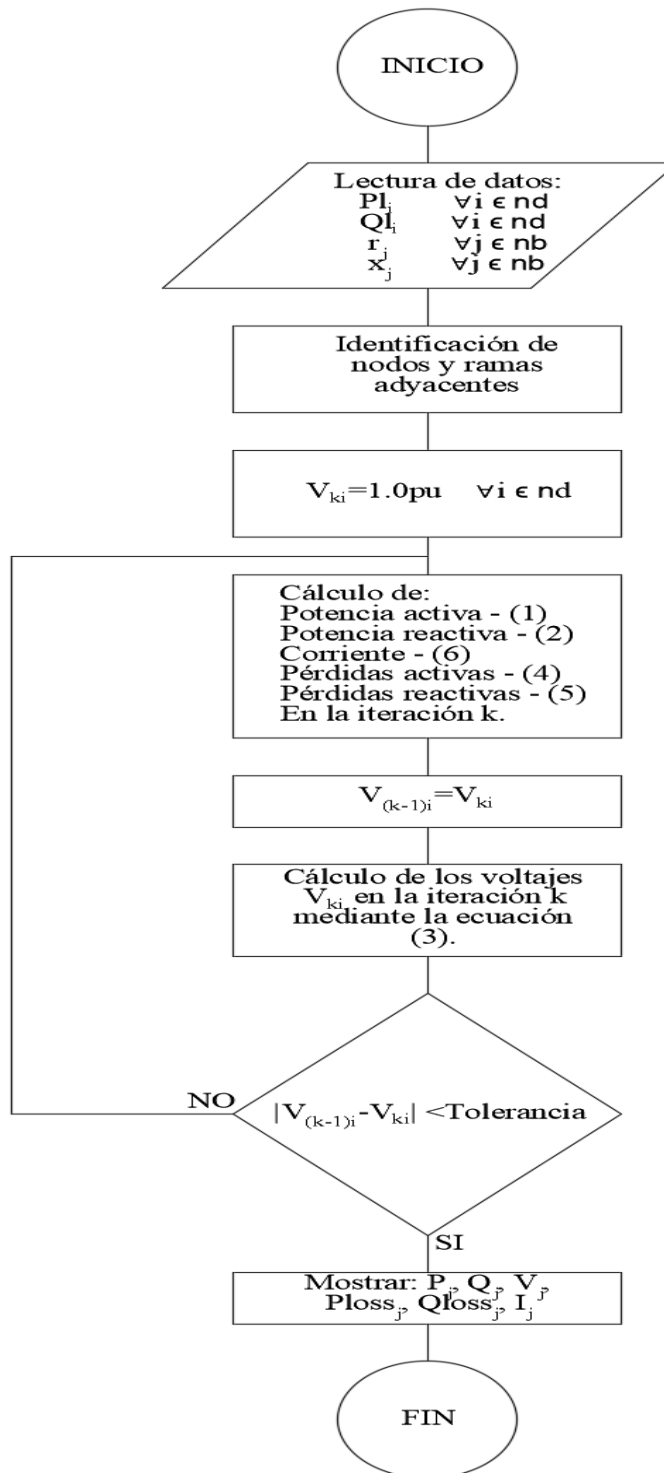


Figura 3.3.2 Diagrama de flujo del método utilizado (Backward/Forward).
Fuente: Elaboración propia.

3.4 Análisis de flujos de potencia en sistemas de distribución con el método propuesto (Backward/Forward).

3.4.1 Flujos de potencia sin generación distribuida.

Aquí se realiza el análisis de flujos de potencia en los sistemas de prueba IEEE de 15, 33 y 69 barras, cuyos datos se encuentran tabulados en Anexos, Tabla 6.1.1, Tabla 6.1.2 y Tabla 6.1.3. Como referencia, para los sistemas de 33 y 69 barras se tomó la información proporcionada en [11], en donde se utiliza un método de cálculo de flujos de barrido hacia atrás, obteniendo la corriente de carga en cada nodo del sistema. Para el sistema de 15 barras se tomó como referencia el trabajo [10], el mismo que también utiliza una metodología de cálculo de corrientes iterativamente.

3.4.1.1 Sistema de 33 Barras.

Para este caso, se realiza una comparación tabulada (Tabla 3.4.1) y gráfica (Figura 3.4.2) entre los resultados mostrados en [11] y los obtenidos en el análisis de flujo de carga desarrollado en este trabajo (Backward/Fordward – B/F).

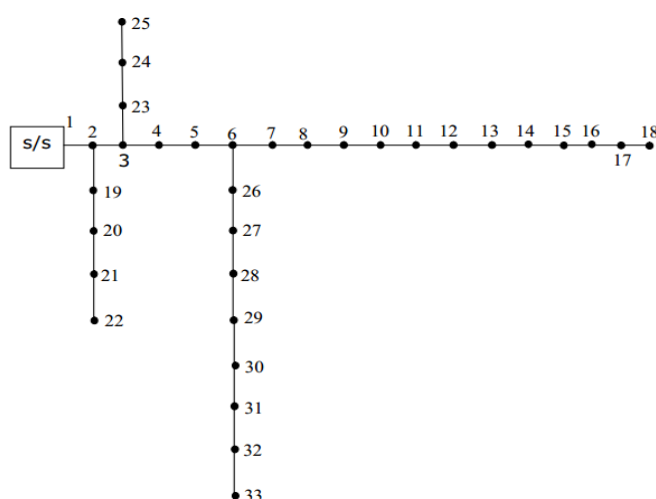


Figura 3.4.1 Sistema de prueba - 33B
Fuente: [11]



UNIVERSIDAD DE CUENCA

Tabla 3.4.1 Comparación de voltajes obtenidos en cada nodo del sistema.

Fuente: Elaboración propia.

NODO	B/F	Ref. [11]	Error	NODO	B/F	Ref. [11]	Error
1	1,0000	1,0000	0,0000	18	0,9132	0,9133	0,0001
2	0,9970	0,9970	0,0000	19	0,9965	0,9965	0,0000
3	0,9829	0,9829	0,0000	20	0,9929	0,9929	0,0000
4	0,9755	0,9755	0,0000	21	0,9922	0,9922	0,0000
5	0,9681	0,9681	0,0000	22	0,9916	0,9916	0,0000
6	0,9497	0,9497	0,0000	23	0,9794	0,9794	0,0000
7	0,9462	0,9462	0,0000	24	0,9727	0,9727	0,0000
8	0,9413	0,9413	0,0000	25	0,9693	0,9694	0,0001
9	0,9351	0,9351	0,0000	26	0,9477	0,9477	0,0000
10	0,9292	0,9294	0,0002	27	0,9452	0,9452	0,0000
11	0,9284	0,9286	0,0002	28	0,9337	0,9337	0,0000
12	0,9269	0,9271	0,0002	29	0,9255	0,9255	0,0000
13	0,9208	0,9209	0,0001	30	0,9220	0,9220	0,0000
14	0,9185	0,9187	0,0002	31	0,9178	0,9178	0,0000
15	0,9171	0,9173	0,0002	32	0,9169	0,9169	0,0000
16	0,9158	0,9159	0,0001	33	0,9166	0,9166	0,0000
17	0,9138	0,9139	0,0001				

Como se puede observar en la Tabla 3.4.1, la similitud entre los valores obtenidos, y los tomados de [11], es amplia; siendo el mayor error $2E10^{-4}$, en 5 nodos.

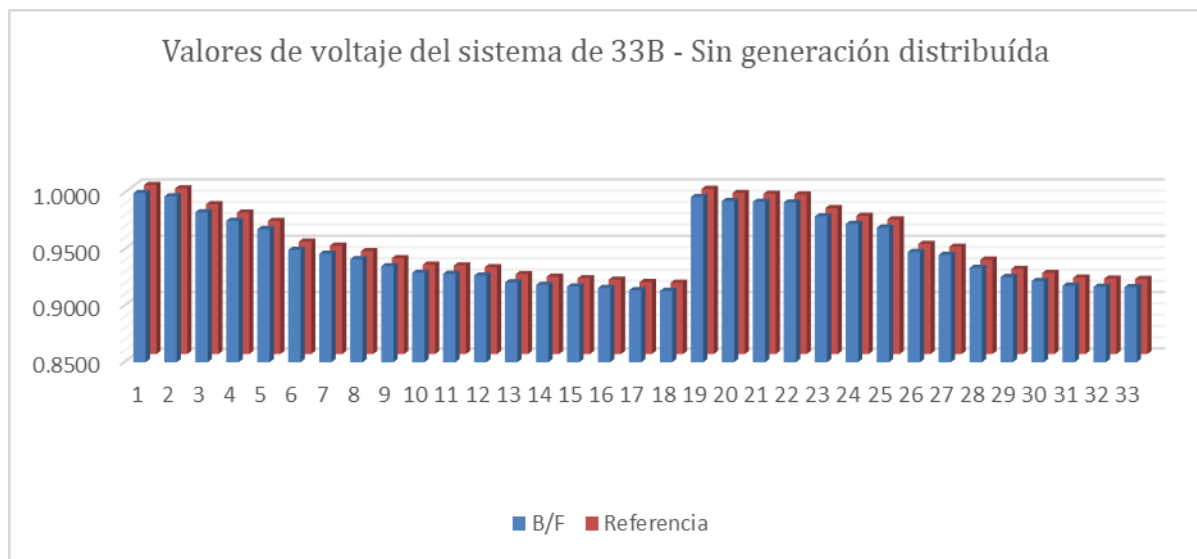


Figura 3.4.2 Comparación de voltajes obtenidos en cada nodo del sistema.
Fuente: Elaboración propia.



Gráficamente se observa que los voltajes más críticos del sistema, cuyos valores salen del rango aceptable de operación de $\pm 5\%$, se tienen a partir del nodo #6 hasta el nodo #18 y del nodo #26 al #33, siendo el nodo #18 el de menor valor con 0.9132 p.u. Esto se debe a que son los puntos de carga que más se alejan de la subestación, además de que el nodo #26 se encuentra conectado al nodo #6, que tiene un nivel de voltaje bajo, tal como se puede observar en la Figura 3.4.1. A continuación, en la Tabla 3.4.2, se presentan las pérdidas totales de potencia activa y reactiva del sistema y su voltaje más crítico.

Tabla 3.4.2 Comparación de datos importantes entre resultados.

Fuente: Elaboración propia.

	Ploss (kW)	Qloss (kVAr)	Vmin ₁₈ (V)
B/F	202,6636	135,1352	0,9132
Ref. [11]	202,5200	135,1300	0,9133
Error	0,1436	0,0052	-0,0001

Realizada la comparación de resultados, se pudo observar que la similitud de los mismos, con los que se han tomado de referencia, evidencia la validez del método aplicado para la solución de flujos de carga. En las siguientes páginas, se realiza el análisis de flujo para otros sistemas.

3.4.1.2 Sistema de 15 barras.

Para este caso, se realiza el análisis de flujo de carga desarrollado en este trabajo (Backward/Fordward – B/F), tomando los datos del sistema publicados en [10], para el sistema mostrado en la Figura 3.4.3.

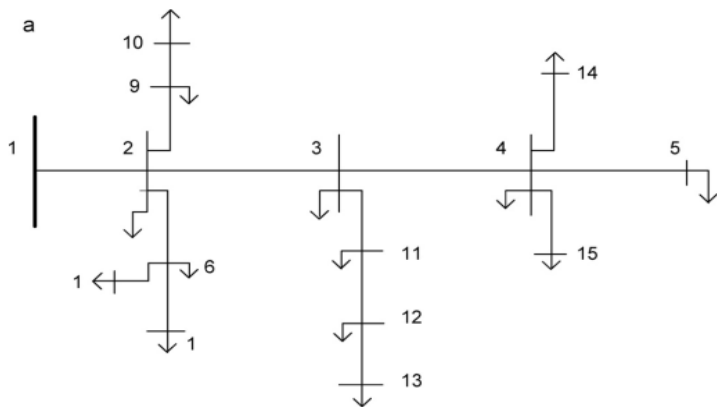


Figura 3.4.3 Sistema de prueba - 15B
Fuente: [10].

Valores de voltaje del sistema de 15B - Sin generación distribuida

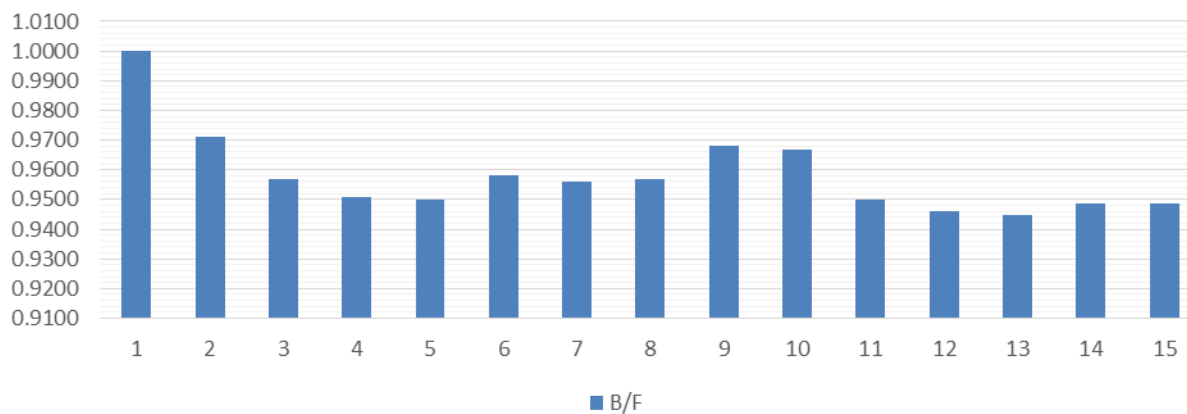


Figura 3.4.4 Valores de voltaje en cada nodo del sistema.
Fuente: Elaboración propia.

Gráficamente, se observa que los valores de voltajes más críticos del sistema, son los cuatro últimos; estos se encuentran fuera del rango aceptable de operación del $\pm 5\%$.

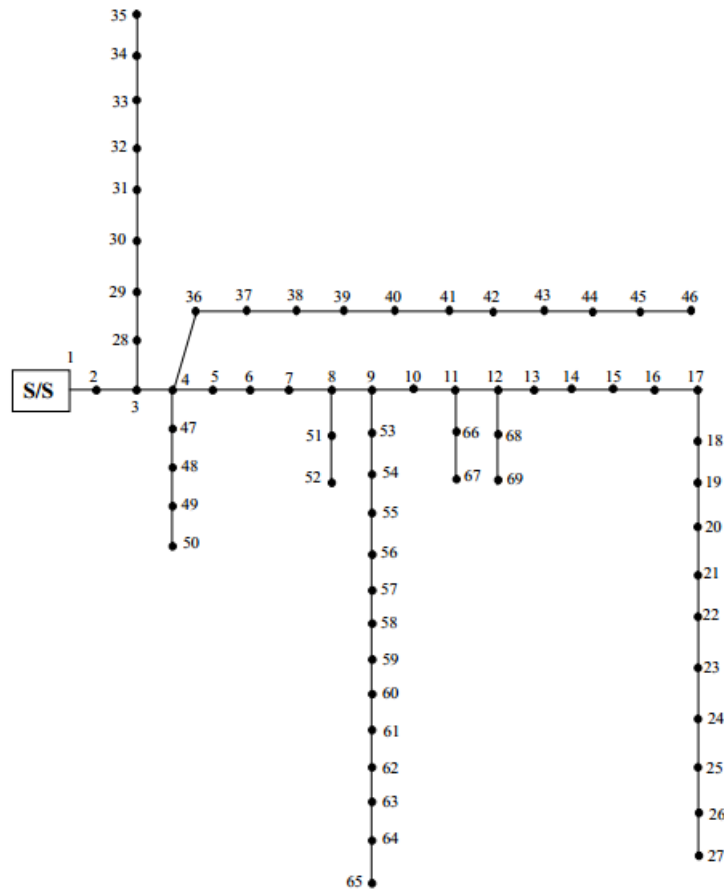
Tabla 3.4.3 Comparación de datos importantes entre resultados.
Fuente: Elaboración propia.

	Ploss (kW)	Qloss (kVAr)	Vmin ₁₃ (V)
B/F	61,7951	57,3125	0,9446
Ref. [10]	61,7803	57,2844	0,9445
Error	0,0148	0,0281	1E-04

En la Tabla 3.4.3, se puede observar los valores totales de pérdidas de potencia activa y reactiva respectivamente, así como el valor de voltaje más crítico, que se encuentra en el nodo #13.

3.4.1.3 Sistema de 69 barras.

Para este caso, se realiza el análisis de flujo de carga desarrollado en este trabajo (Backward/Fordward – B/F), tomando los datos del sistema, publicados en [11], para el sistema mostrado en la Figura 3.4.5.



*Figura 3.4.5 Sistema de prueba – 69B
Fuente: [11]*

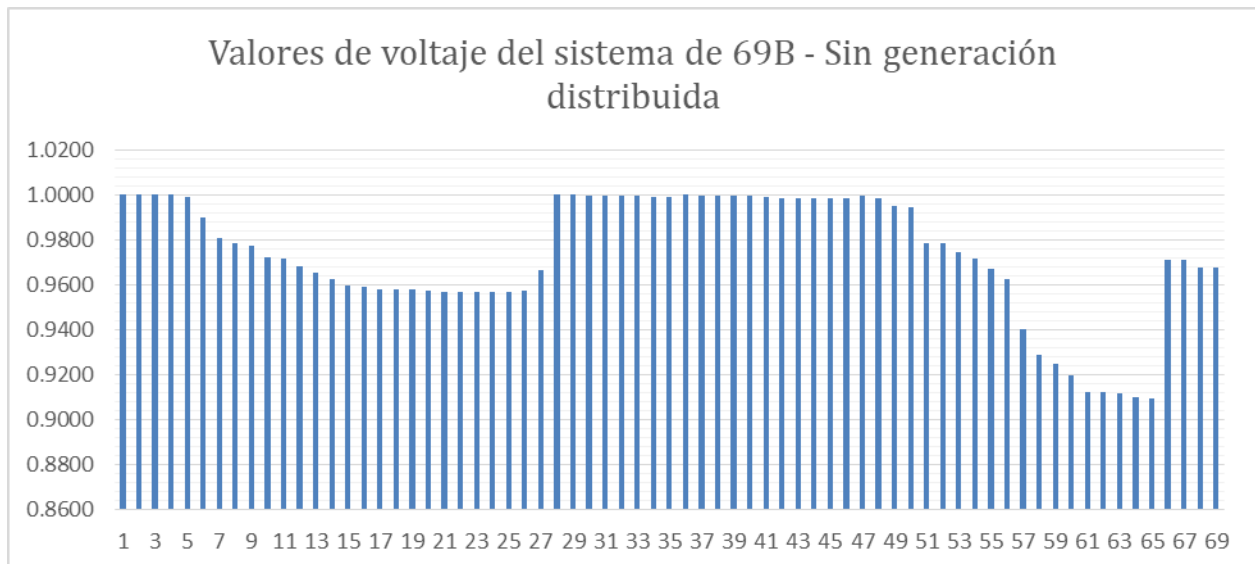


Figura 3.4.6 Valores de voltaje en cada nodo del sistema.

Fuente: Elaboración propia.

Gráficamente, en la Figura 3.4.6 se observa que los valores de voltaje más críticos del sistema, van desde el nodo #57 al nodo #65; estos se encuentran fuera del rango aceptable de operación del $\pm 5\%$.

Tabla 3.4.4 Comparación de datos importantes entre resultados.
Fuente: Elaboración propia.

	Ploss (kW)	Qloss (kVAr)	Vmin ₆₅ (V)
B/F	225,0857	102,279	0,9092
Ref. [11]	224,93	102,13	0,909191
Error	0,1557	0,149	9E-06

En la Tabla 3.4.4, se puede observar los valores totales de pérdidas de potencia activa y reactiva, respectivamente; así como, el valor de voltaje más crítico, que se encuentra en el nodo #65.

3.4.2 Flujos de potencia en presencia de generación distribuida

En presencia de generación distribuida, el perfil de voltajes de cualquier sistema puede mejorar, debido a que se evita el transporte de energía solo desde la subestación, si no también hay aporte de potencia a lo largo de un



sistema. Para el siguiente análisis, se tomó como referencia la información de [22], en donde se presentan los mismos sistemas de 33 y 69 barras respectivamente, con datos de generadores conectados en ciertos nodos de dichos sistemas. Al igual que en el punto 3.4.1, aquí se realiza la comparación de resultados obtenidos con los tomados del texto de referencia.

3.4.2.1 Sistema de 33 Barras.

Para este sistema, se han agregado tres generadores en los nodos 16, 18 y 32 cuyas capacidades de generación son: 398 kW, 389 kW y 801 kW respectivamente, tal como se indica en la Tabla 3.4.5.

Tabla 3.4.5 Capacidad de generación distribuida en el sistema.
Fuente: Elaboración propia.

Barra	P(kW)
16	398
18	389
32	801

Los niveles de voltaje obtenidos en cada nodo del sistema, se muestran en la Figura 3.4.7.

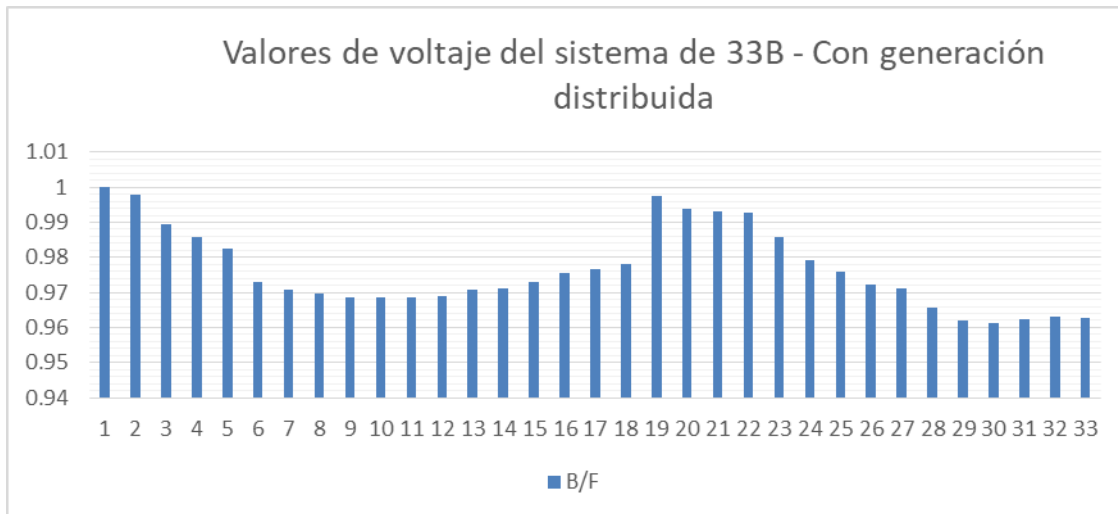


Figura 3.4.7 Valores de voltaje en cada nodo del sistema.
Fuente: Elaboración propia.

Como se puede observar en la Figura 3.4.7, los niveles de voltaje en todos los nodos del sistema se encuentran dentro de su nivel aceptable de operación del $\pm 5\%$. En la Figura 3.4.8 se presenta una comparación de los valores de voltajes del sistema de 33B, sin generación distribuida y con generación distribuida, para identificar la mejora en dichos valores.

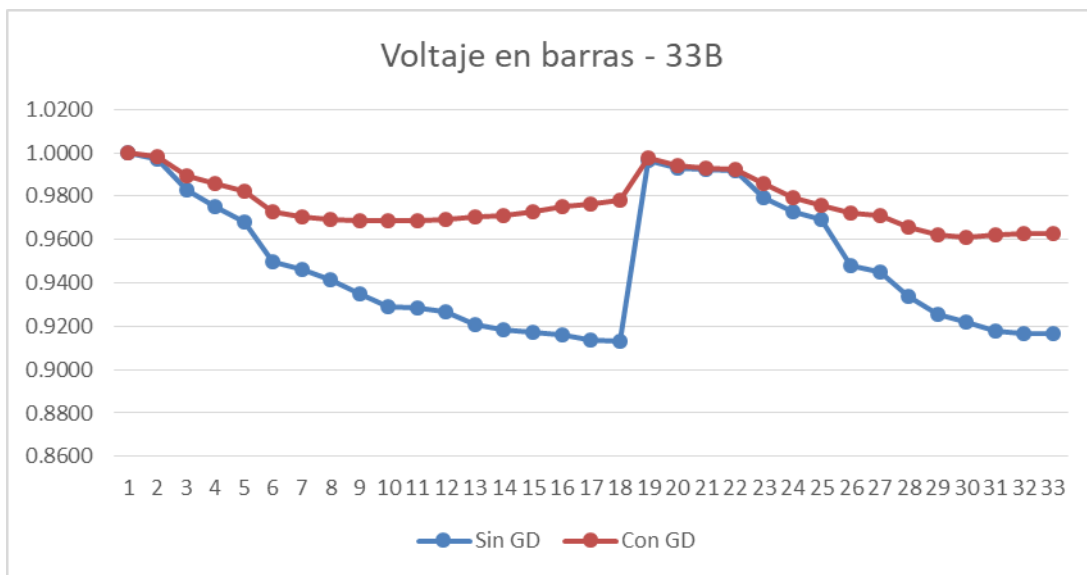


Figura 3.4.8 Comparación del sistema con y sin GD.
Fuente: Elaboración propia.

A continuación, en la Tabla 3.4.6 se muestra las pérdidas totales así como el voltaje mínimo del sistema luego de haber puesto en operación los generadores indicados en la Tabla 3.4.5. Como se observa en la Figura 3.4.7, el valor más bajo de voltaje está presente en el nodo #30 y tiene un valor de 0.9612p.u.

Tabla 3.4.6 Comparación de datos importantes entre resultados.
Fuente: Elaboración propia.

	Ploss (kW)	Vmin ₃₀
B/F	94.2467	0,9612
Ref. [22]	95.63	0,9611
Error	1.3833	0.0001



3.4.2.2 Sistema de 69 Barras.

Para este sistema, se han agregado tres generadores en los nodos 9, 33 y 62 cuyas capacidades de generación son: 500kW, 521kW y 1929kW respectivamente, tal como se indica en la Tabla 3.4.7.

Tabla 3.4.7 Capacidad de generación distribuida en el sistema.

Fuente: Elaboración propia.

Barra	P(kW)
9	500
33	521
62	1929

Los niveles de voltaje obtenidos en cada nodo del sistema, se muestran en la Figura 3.4.9.

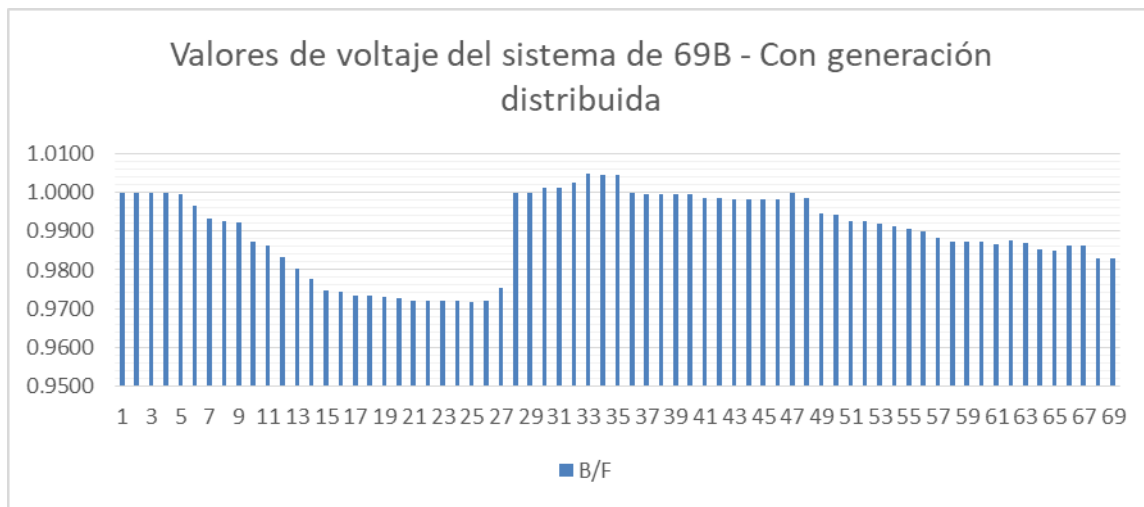


Figura 3.4.9 Valores de voltaje en cada nodo del sistema.

Fuente: Elaboración propia.

Como se muestra en la Figura 3.4.9, los niveles de voltaje en todos los nodos del sistema se encuentran dentro de su nivel aceptable de operación del $\pm 5\%$. En ella se puede establecer una comparación de los valores de voltaje del sistema de 69B, sin generación distribuida y con generación distribuida, para identificar la mejora en dichos valores.

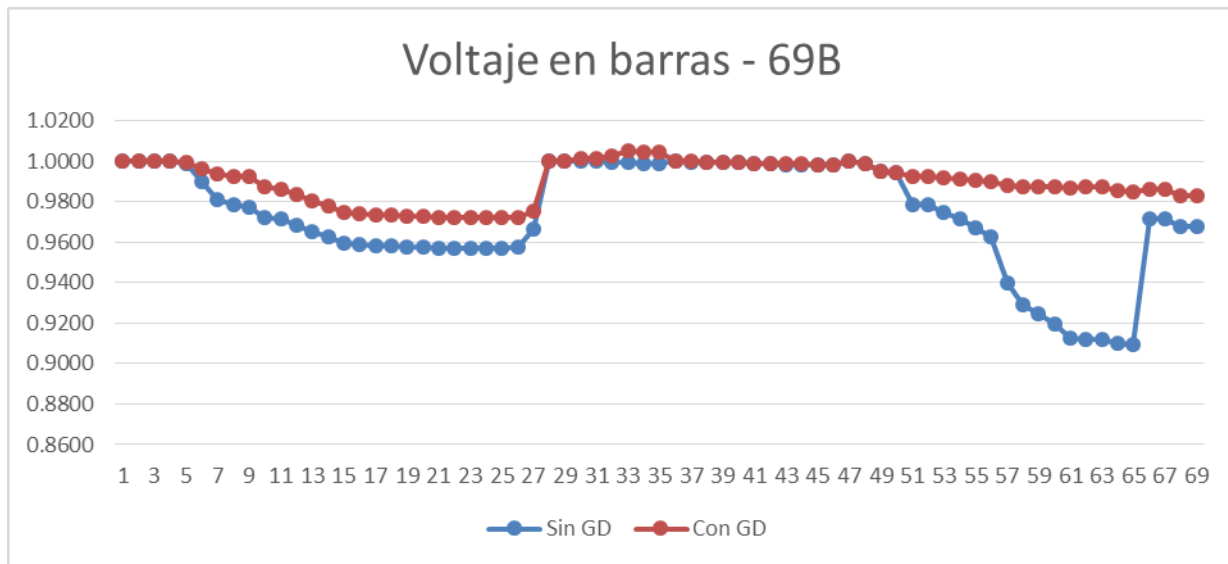


Figura 3.4.10 Comparación del sistema con y sin GD.

Fuente: Elaboración propia.

A continuación, en la Tabla 3.4.8 se presentan las pérdidas totales de potencia, así como el voltaje mínimo del sistema, luego de haber puesto en operación los generadores indicados en la Tabla 3.4.7. Como se observa en la Figura 3.4.9, el valor más bajo de voltaje está presente en el nodo #25 y tiene un valor de 0.9718 p.u.

Tabla 3.4.8 Comparación de datos importantes entre resultados.

Fuente: Elaboración propia.

	Ploss (kW)	Vmin ₂₅
B/F	83.7365	0,9718
Ref.	83.68	0,9716
Error	0,0565	2E-04



CAPÍTULO IV. OBTENCIÓN DE LA TOPOLOGÍA ÓPTIMA DEL SISTEMA DE DISTRIBUCIÓN

4.1 Introducción:

En el ámbito de la optimización existen problemas de ingeniería que tienen un grado de complejidad significativo; éstos son difíciles de resolver por los métodos de optimización convencionales, es por ello que a menudo son aplicados los Algoritmos Evolutivos, los cuales buscan soluciones a este tipo de problemas con la ayuda de principios biológicos, tales como, recombinación, mutación, selección y reproducción.

Los Algoritmos Evolutivos fueron implementados por John Hollan en 1960, quien buscaba la incorporación de los principios biológicos a los problemas de Inteligencia Artificial. A partir de la fecha, han surgido métodos de optimización como los Algoritmos Genéticos y la Programación Evolutiva que basan su metodología en las estrategias evolutivas.

Inicialmente, los Algoritmos Evolutivos parten con una población de individuos, los cuales son sometidos a un proceso de transformación y selección en donde los más aptos serán los más beneficiados. A partir del proceso mencionado, se combinan pares de individuos seleccionados, los mismos que dan lugar a una nueva generación; esta nueva generación es sometida a un proceso de mutación, cambiando los genes de un individuo; por último, se seleccionan algunos miembros de la población que van a ser reemplazados con la nueva generación. El proceso continúa hasta que el criterio de parada sea aplicado.

Los Algoritmos Evolutivos incluyen a los Algoritmos Genéticos y a la Programación Evolutiva, los cuales serán detallados a continuación.



4.2 Algoritmos Genéticos.

4.2.1 Introducción.

John Holland en 1975 plantea el método de resolución de los Algoritmos Genéticos, motivado en cómo la naturaleza conseguía producir seres cada vez más aptos. Es por ello que los Algoritmos Genéticos cimientan sus bases en los procesos genéticos de las especies, en donde las poblaciones evolucionan según los principios de selección natural y la supervivencia del más fuerte, las cuales fueron establecidas por Charles Darwin en el año de 1859.

En un entorno natural los individuos deben ser capaces de conseguir recursos; para ello, es necesario que tengan cierto grado de habilidad de supervivencia. Los individuos que mejor se adapten a este proceso de supervivencia son los que más probabilidad tienen de generar descendencia, cruzándose así con otro individuo seleccionado, formando una nueva generación hereditaria de los genes de sus padres. En el transcurso de este proceso los genes de los individuos que mejor se adaptan son los que más se propagan, de generación en generación, consiguiendo generaciones con mejores cualidades para adaptarse a un entorno natural.

Haciendo una analogía, los Algoritmos Genéticos parten de una población de individuos, en la que cada uno tiene un valor de aptitud que, representado en un entorno natural, es la capacidad que tiene cada uno de sobrevivir y competir para la obtención de recursos. Los individuos con mejores valores de aptitud cruzan su material genético para obtener una nueva población de individuos con mejores características; entonces, cada nueva población reemplaza a la anterior, proporcionando así mayor amplitud de exploración del espacio de búsqueda.



Este método es utilizado para resolver problemas de optimización combinatoria y para la reconfiguración de sistemas de distribución. Tiene la ventaja de ser una herramienta fácil de implementar con un esfuerzo computacional de resolución bajo; es útil, cuando no existe algún método exacto de solución de problemas, capaz de proporcionar una solución óptima o muy cercana a la óptima; también, es un método de búsqueda robusto, para encontrar soluciones óptimas globales. Por el contrario, las desventajas del método son, que puede darse una convergencia prematura hacia un óptimo local cuando un individuo de aptitud muy alta emerge en las iteraciones iniciales reproduciéndose y perdiendo diversidad en la población; esto ocurre en poblaciones en donde el número de individuos es pequeño; por otro lado, la convergencia del método puede ser lenta dependiendo de si el número de individuos en una población es elevado, ya que estos son proporcionales al número de combinaciones que realizará el método [1].

4.2.2 Algoritmo Genético Simple.

El funcionamiento del Algoritmo Genético Simple puede observarse en la Figura 4.2.1.

```

Iniciar población actual aleatoriamente
MIENTRAS no se cumpla el criterio de terminación
    crear población temporal vacía
    SI elitismo: copiar en población temporal mejores individuos
    MIENTRAS población temporal no llena
        seleccionar padres
        cruzar padres con probabilidad Pc
        SI se ha producido el cruce
            mutar uno de los descendientes (prob. Pm)
            evaluar descendientes
            añadir descendientes a la población temporal
        SINO
            añadir padres a la población temporal
    FIN SI
    FIN MIENTRAS
    aumentar contador generaciones
    establecer como nueva población actual la población temporal
FIN MIENTRAS

```

Figura 4.2.1 Algoritmo Genético simple.
Fuente: [23]



El pseudocódigo parte generando una población aleatoriamente, en donde cada individuo representa una posible solución al problema. Dentro del ciclo en donde se analiza los criterios de terminación, se crea una población temporal vacía, la misma que sirve para almacenar las soluciones que vengan de la estrategia de elitismo; es decir, las soluciones que tengan los mejores valores de aptitud de cada generación actual, y las soluciones que generan los operadores de reproducción, que pueden ser de dos tipos, operador de cruce o de copia. El segundo ciclo verifica si la población temporal está llena; para ello, genera nuevas soluciones haciendo uso de los operadores de selección y de cruce. Una vez creadas las nuevas soluciones se les aplica el operador de mutación con una probabilidad P_m , por lo general entre 0.5% y 2%.

El proceso de búsqueda finaliza cuando se cumple algún criterio establecido. Entre los más empleados tenemos: cuando se alcanza el límite máximo de generaciones, cuando para el problema planteado las mejores soluciones son suficientemente buenas o cuando se llega a la convergencia; es decir, cuando para el 95% de la población se tiene un gen que tiene el mismo valor para todos.

Para resolver problemas de optimización por Algoritmos Genéticos se debe tener en consideración tres elementos fundamentales:

1. Codificación o representación del problema.
2. Función de adaptación o aptitud.
3. Operadores Genéticos.

4.2.3 Codificación o representación del problema.

Las soluciones potenciales a un problema pueden ser representadas mediante parámetros que, en términos de los Algoritmos Genéticos se denominan genes. El conjunto de parámetros se codifica para de esa manera obtener un

cromosoma, el mismo que contiene toda la información genética, denominada genotipo. A partir del genotipo, se forma el organismo, que representa la solución real a un problema o también denominado fenotipo.

Con frecuencia, la codificación de las soluciones de un problema se realiza con números binarios, 1 o 0, en donde, cada bit perteneciente a un gen es conocido con el nombre de alelo; cabe recalcar, que el número de bits para cada parámetro codificado no necesariamente tiene que ser el mismo. Por otro lado, se conocen codificaciones en donde cada parámetro se representa con un número entero, real, o un punto flotante. En la Figura 4.2.2 podemos observar la codificación binaria de un individuo que contiene tres genes.

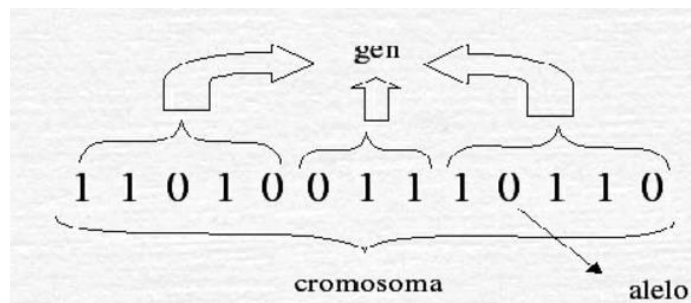


Figura 4.2.2 Individuo Genético.
Fuente: [23]

4.2.4 Función de adaptación o aptitud.

La función de adaptación o aptitud difiere para cada problema y es usada para la evaluación de los cromosomas, por lo cual cada cromosoma adquiere un determinado valor que definirá la capacidad que tiene de adaptarse al problema; es decir, mientras más alto sea el valor de la función, mayor será la probabilidad de adaptación al problema.

Esta medición que se realiza a cada solución del problema, mediante la función de adaptación, es importante debido a que permite tener el control del número de selecciones, cruces, copias y mutaciones que se llevan a cabo.



4.2.5 Selección.

Entre todas las posibles soluciones se debe seleccionar a los individuos más aptos, los cuales tendrán la posibilidad de reproducirse. Es por ello que es necesario el uso de criterios de selección que otorguen mayor probabilidad de ser elegidos a los individuos con mejores valores de función de aptitud, imitando así el comportamiento de la naturaleza. Es importante tener en cuenta que no se debe quitar por completo la posibilidad de que las soluciones con valores de aptitud bajas sean escogidas, ya que, si sucediera lo contrario, en pocas iteraciones se puede llegar a tener una población con soluciones homogéneas.

Los criterios de selección más usados son: selección por torneo y selección por ruleta, los cuales pertenecen al grupo de selección probabilístico, que seleccionan a los individuos al azar, y permiten que las soluciones con valores de aptitud alta sean seleccionadas una mayor cantidad de veces. Por otro lado, existe un segundo grupo que basa su metodología en una selección determinística, entre estos se tiene algunos, tales como, sobrante estocástico, universal estocástico y muestreo determinístico. Este grupo de selección asigna el número de veces que será escogida una solución para el proceso de reproducción, logrando tener una selección más variada entre soluciones con valores de aptitud altos y bajos.

4.2.5.1 Selección por torneo.

La selección por torneo se divide en dos tipos, selección por torneo determinístico y torneo probabilístico. Ambos tipos escogen a los cromosomas mediante la comparación directa entre ellos.



UNIVERSIDAD DE CUENCA

La selección por torneo determinística escoge p individuos de manera aleatoria de una población k , con sus respectivos valores de la función de aptitud. De estas soluciones escogidas, se determina a la que disponga con un mejor valor de función de aptitud, teniendo así tal individuo la oportunidad de reproducirse. A manera de ejemplo la Tabla 4.2.1 muestra una población k , en donde se deben escoger p individuos para el torneo, en este caso p será igual a 2.

*Tabla 4.2.1 Población inicial y función de aptitud.
Fuente: Elaboración propia.*

Individuo	Población Inicial	Función de Aptitud
1	1 0 1 1 1	135
2	1 1 0 1 0	51
3	1 0 0 0 0	75
k	1 1 1 1 0	300

De esta población se deben escoger $p=2$ individuos aleatoriamente, teniendo lo siguiente:

*Tabla 4.2.2 Individuos seleccionados aleatoriamente.
Fuente: Elaboración propia.*

Individuo	Población Inicial	Función de Aptitud
2	1 1 0 1 0	51
k	1 1 1 1 0	300

El individuo k cuenta con un mejor valor de función de aptitud, por ende, será el seleccionado con la oportunidad de reproducirse.

*Tabla 4.2.3 Individuo seleccionado para reproducirse.
Fuente: Elaboración propia.*

Individuo	Población Inicial	Función de Aptitud
k	1 1 1 1 0	300

En cuanto a la selección probabilística esta difiere de la determinística en el proceso de selección de los individuos; en este caso, no se seleccionará al



individuo más apto, sino se generará un valor aleatorio entre 0 y 1, que posteriormente será comparado con un parámetro q , que será establecido para todo el proceso. Si el valor aleatorio es mayor al parámetro q , se escogerá al individuo con la función de aptitud más alta, caso contrario se seleccionará al individuo menos apto. Los valores de q generalmente se toman entre 0.5 y 1.

4.2.5.2 Selección por ruleta.

El proceso de selección es estocástico, similar al juego de la ruleta, en donde a cada individuo se le asigna una parte de la ruleta proporcional a la relación entre el valor de la función de aptitud individual y el valor total de aptitud en la iteración actual. Entonces los individuos mejor adaptados recibirán mayor porción de la ruleta que los menos adaptados. Un individuo será seleccionado generando un número aleatorio entre 0 y 1, y devolviendo el individuo ubicado en esa porción de la ruleta.

4.2.6 Operadores Genéticos.

4.2.6.1 Cruce.

Después de la etapa de selección, el operador de cruce es el encargado de generar la descendencia, mezclando el material genético de los cromosomas padre. Los operadores de cruce pueden actuar de dos maneras. La primera es asumiendo una estrategia destructiva, en donde la descendencia se inserta en la población temporal sin importar si el valor de la función de aptitud de los cromosomas padre es mejor, y la segunda, asumiendo una estrategia no destructiva, en la cual la descendencia será introducida en la población temporal, sólo si su valor de la función de aptitud es mayor al del cromosoma padre o a los de los cromosomas a reemplazar.

La idea principal del operador de cruce es tomar porciones del material genético de cada uno de los cromosomas padre de la población actual y combinarlos para obtener dos descendientes. Para simular este proceso, los Algoritmos Genéticos han implementado algunos métodos, siendo los más empleados los que se mencionan a continuación: Cruce de 1 punto, cruce de 2 puntos y cruce uniforme.

4.2.6.1.1 Cruce de 1 punto.

El operador basado en 1 punto selecciona aleatoriamente un punto de cruce que dividirá los cromosomas padres de tal manera que se obtenga dos subcromosomas por cada uno. Acto seguido se intercambian las partes finales de los cromosomas, generando así dos nuevos cromosomas descendientes hereditarios de los genes. En la Figura 4.2.3 se observa el procedimiento descrito.

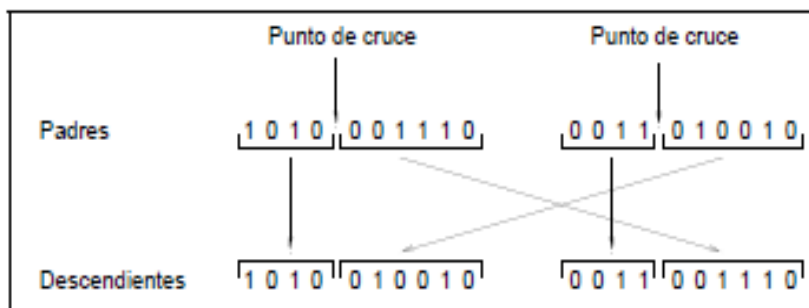


Figura 4.2.3 Operador de cruce basado en 1 punto.
Fuente: [23]

4.2.6.1.2 Cruce de 2 puntos.

En este caso los puntos de corte en los cromosomas padre son dos, evitando que alguno de ellos sea en los extremos, garantizando de esta manera tres segmentos de cromosoma por cada parente. Para la generación de descendencia, se toma el segmento central de un cromosoma parente y los

segmentos laterales del otro cromosoma padre. El procedimiento de este operador se puede observar en la Figura 4.2.4.

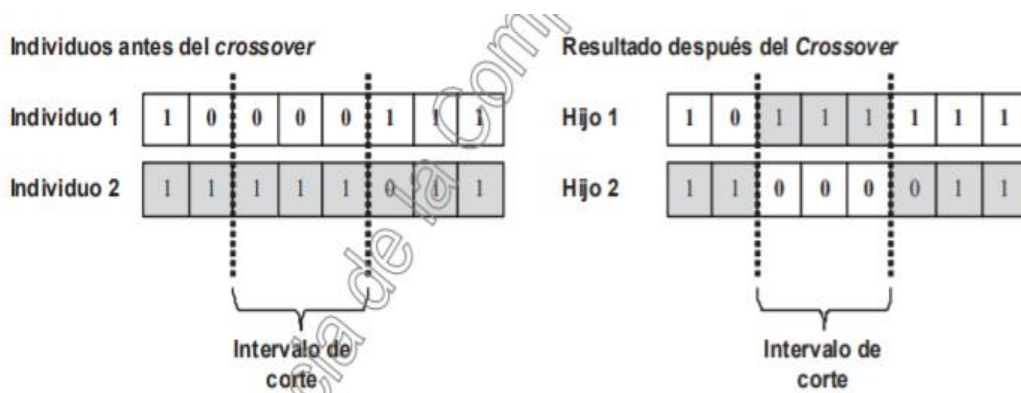


Figura 2.4: Cruce de 2 puntos.

Figura 4.2.4 Operador de cruce basado en 2 puntos.

Fuente: [23]

4.2.6.1.3 Cruce Uniforme.

Para aplicar el operador de cruce uniforme se define claramente cuál será el cromosoma padre número uno y cuál el número dos. Identificado cada cromosoma padre, con su número respectivo se procede a generar de forma aleatoria una máscara de cruce binaria que contenga el mismo número de genes que los cromosomas padres. Esta máscara binaria es usada para seleccionar, de cuál de los cromosomas padre se copiará el gen para el cromosoma hijo; es decir, si en alguna de las posiciones de la máscara hay un 1, el gen de dicha posición del cromosoma padre número uno se copia en el cromosoma hijo, caso contrario, si hay un cero, el gen será copiado del cromosoma padre número dos. Para generar el segundo cromosoma hijo, se invierte la numeración de los cromosomas padre o se cambia la interpretación de la máscara. La siguiente figura explica el procedimiento antes descrito.

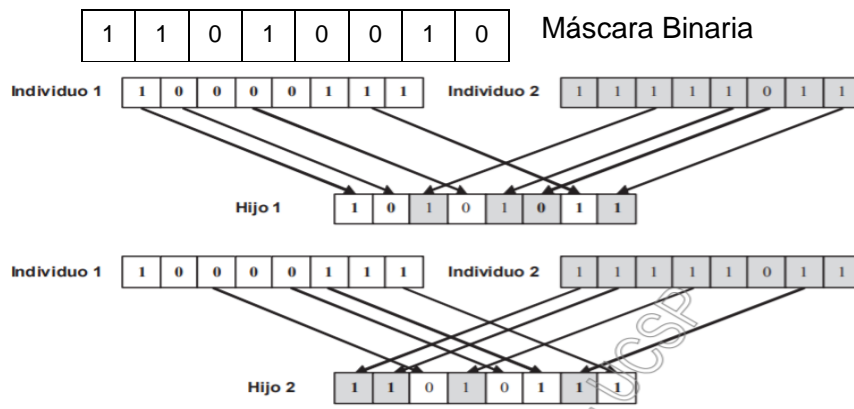


Figura 4.2.5 Operador de cruce uniforme.

Fuente: [23]

4.2.6.2 Copia.

La copia es otro operador de reproducción, que calca un individuo de la población actual a la nueva generación, con un bajo porcentaje de copias, ya que de lo contrario se puede llegar a tener una convergencia prematura hacia un individuo y también la búsqueda se centraría sólo en el entorno de tal.

Comúnmente, se seleccionan dos individuos para el cruce; si no se da tal acción, los individuos son colocados en la nueva generación.

4.2.6.3 Mutación.

El operador de mutación consiste en cambiar de manera aleatoria, con una probabilidad pequeña, generalmente menor al 1%, un gen de cada uno de los cromosomas descendientes; esta mutación asegura que no exista una probabilidad cero de exploración de ningún punto del espacio de búsqueda. La Figura 4.2.6 muestra la mutación de un descendiente proporcionando un nuevo individuo.



Figura 4.2.6 Operador de mutación.

Fuente: [23]

4.3 Algoritmo Genético implementado para la reconfiguración de sistemas de distribución

En esta sección se muestran las características del Algoritmo Genético implementado en Matlab para la resolución del problema de la reconfiguración óptima de sistemas de distribución. El diagrama de flujo utilizado se puede observar en la Figura 4.3.2.

4.3.1 Codificación del problema

Las soluciones potenciales (cromosomas) en el algoritmo implementado, fueron codificadas usando una representación binaria, ceros y unos. En donde, un cero en el cromosoma hace referencia a un seccionador abierto; es decir, la línea entre un par de nodos está abierta, mientras que un uno expresa un seccionador cerrado. El conjunto de ceros y unos conforma una posible solución, es decir una topología del sistema de distribución en estudio. En la Figura 4.3.1 se muestra un ejemplo de lo antes expuesto, en donde las líneas rojas son ramas de enlace, que se encuentran abiertas, SE y RE expresan el nodo de envío y el nodo que recibe, respectivamente.

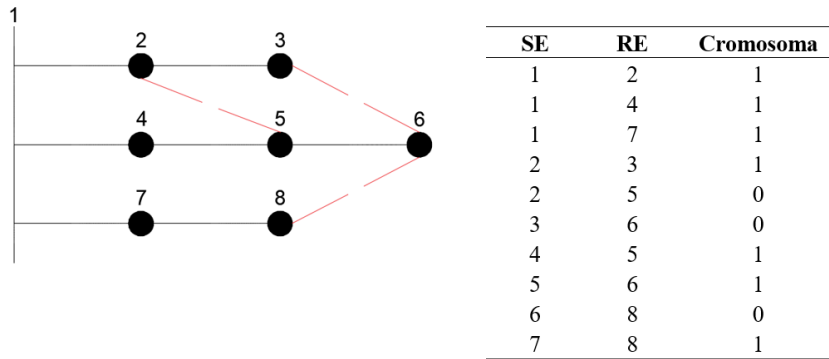


Figura 4.3.1 Codificación del sistema de distribución.
Fuente: Elaboración propia

4.3.2 Generación de la población inicial

Para iniciar con el algoritmo genético es necesario la generación de una población inicial. El algoritmo implementado utiliza una combinación de dos tipos de generación de la población inicial. El primer tipo es una generación aleatoria y el segundo tipo, una generación mediante el algoritmo heurístico Branch-Exchange [13]. La ventaja de usar esta combinación permite tener una población más diversa, la misma que brinda la posibilidad de poder explorar más lugares del espacio de búsqueda.

4.3.3 Función de aptitud

La función de aptitud para el algoritmo implementado se representa mediante las pérdidas de potencia totales de cada una de las posibles configuraciones presentadas en la población. En donde los cromosomas que tengan menores pérdidas de potencia tendrán más posibilidades de adaptarse mejor a la solución del problema. Las pérdidas de potencia totales de cada configuración se determinan cuando se aplica el análisis de flujo de potencia para cada una de ellas, mostrado en el diagrama de flujo. Figura 3.3.2, en donde se resaltan las ecuaciones de las pérdidas de potencia activa y reactiva (3.3.4) y (3.3.5), respectivamente.



4.3.4 Selección por torneo

El objetivo del operador de selección es garantizar más oportunidades de obtener cromosomas con mejor función de aptitud. Cabe recalcar que la selección se realiza tomando en consideración la función de aptitud del cromosoma.

El tipo de selección que se utiliza en el algoritmo implementado es la selección por torneo, en donde el algoritmo selecciona dos grupos, con dos individuos cada uno; esto, de manera aleatoria. Posterior, se selecciona al mejor de cada uno de ellos para la reproducción.

4.3.5 Cruce de 1 punto

El operador de cruce seleccionado para el algoritmo es el operador de cruce de un punto, en donde el punto que divide a cada cromosoma se selecciona de manera aleatoria. Los padres seleccionados en el paso anterior, se cruzan, siempre que cumplan con una probabilidad de cruce, establecida en 70% en el algoritmo; si es el caso, se intercambian las partes finales de los cromosomas de los padres, formando dos descendientes. Para que cada descendiente pueda ingresar a la nueva población se debe verificar que cumplan con todas las restricciones establecidas (Voltaje, corriente y topología radial).

4.3.6 Mutación

En el algoritmo implementado, el operador de mutación se utiliza sólo en el caso en que un nuevo descendiente no cumpla con alguna de las restricciones. Si alguno no cumple, un bit del cromosoma será mutado de manera aleatoria. Cumplida la mutación, nuevamente se comprueba que, el cromosoma mutado cumpla todas las restricciones para poderlo ingresar a la nueva población.

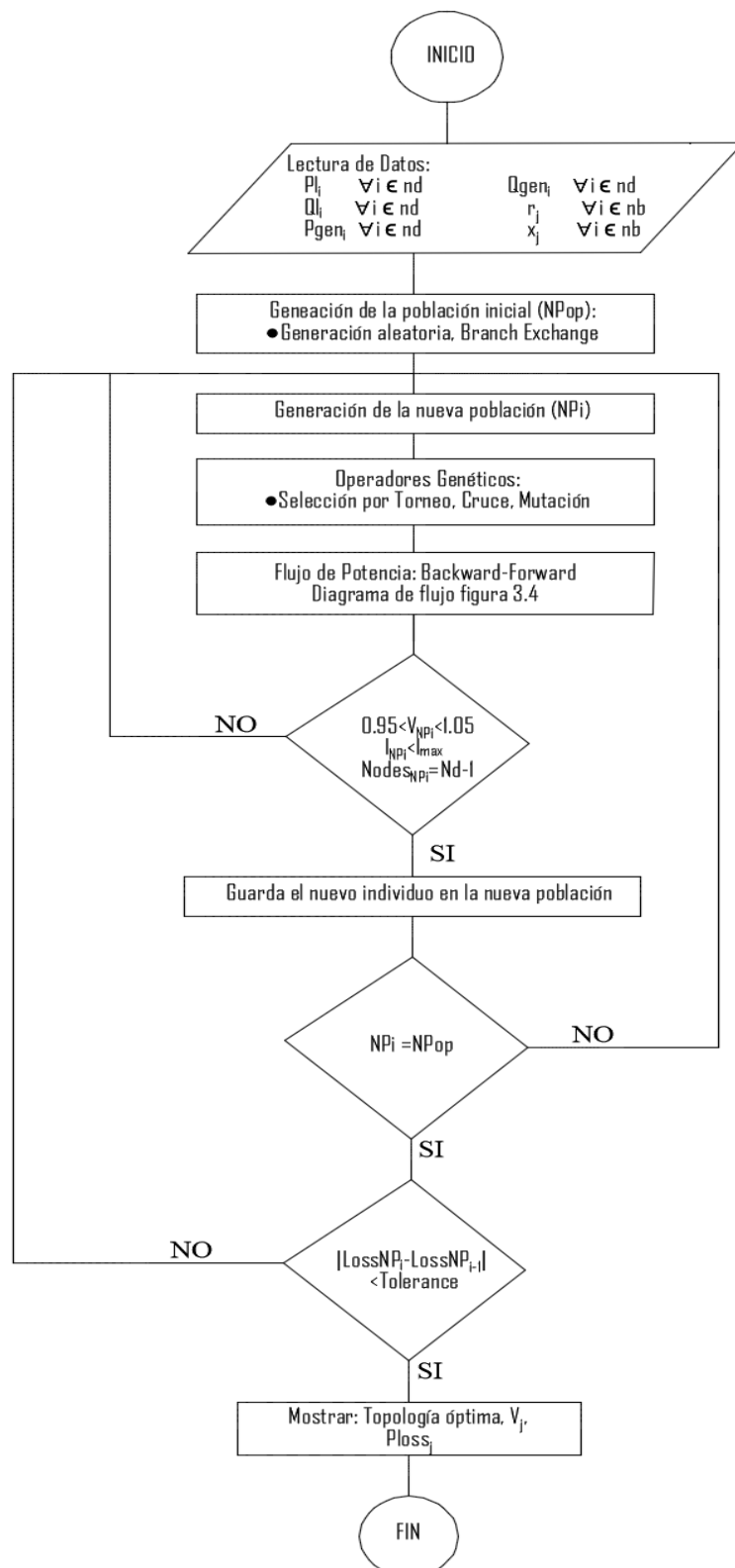


Figura 4.3.2 Diagrama de Flujo del Algoritmo Genético implementado.
Fuente: Elaboración propia



4.4 Reconfiguración de sistemas de distribución.

En el presente punto, se realiza el análisis de los sistemas de prueba a ser reconfigurados, de 33 y 69 barras cuyos datos han sido tomados de [24], cuyo trabajo también propone una solución al problema de reconfiguración, con el objetivo de reducir las pérdidas de potencia. Cabe mencionar que los datos de los sistemas son exactamente los mismos que los tomados de [11] para el análisis de flujo de potencia, a diferencia de que en [24], existen datos de líneas de conexión alternas y de la misma manera, resultados de la reconfiguración para poder realizar la comparación respectiva con los obtenidos en este trabajo.

Además, se destaca que el método propuesto ha sido implementado usando MATLAB software; en una computadora con un procesador *Intel(R) Core(TM) i7 – 5500U CPU @ 2.40GHz* y *8,00 GB* de RAM. En los cálculos, el voltaje de la subestación es asumido como 1 p.u

4.4.1 Reconfiguración del sistema de distribución de 33 barras sin generación distribuida

Uno de los sistemas más comunes de análisis es el de Baran – Wu de 33 barras, cuyos datos y configuración del sistema se muestran en la Tabla 6.1.2 y la Figura 4.4.1, respectivamente. Esta red tiene 5 líneas de enlace y la carga total es de $3.715 + j2.300 \text{ MVA}$. Además, las pérdidas totales del sistema en su configuración inicial son de 202.67 kW , y un voltaje mínimo de 0.91324 p.u., en el nodo 18, tal como se muestra en los resultados obtenidos con el método propuesto en la Tabla 4.4.1.

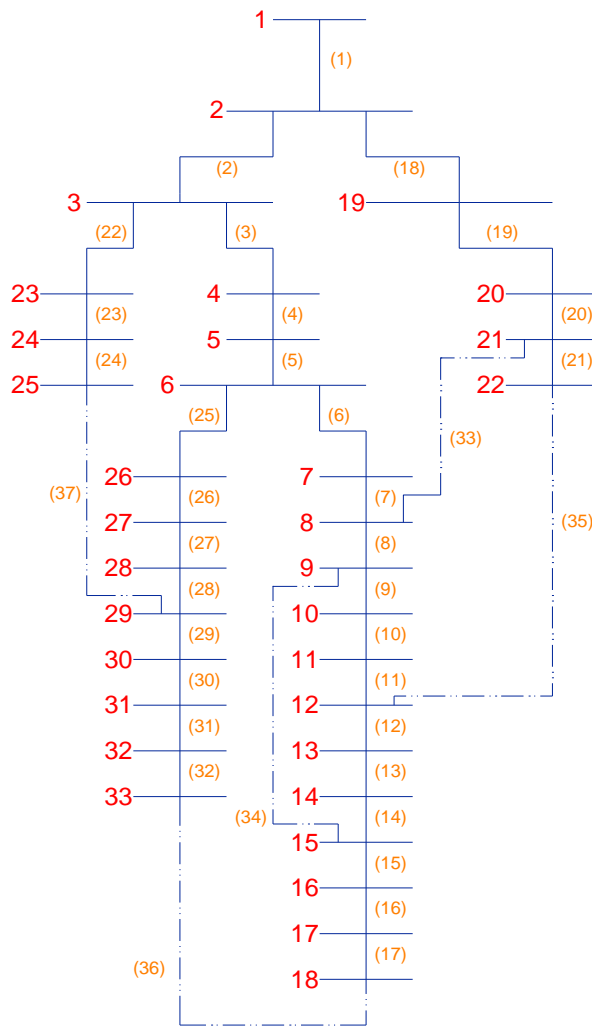


Figura 4.4.1 Sistema de distribución - 33B sin generación distribuida (antes de la reconfiguración)
Fuente: Elaboración propia.

Tabla 4.4.1 Resultados del análisis del caso base obtenidos en MATLAB.
Fuente: Elaboración propia.

RESULTADOS DEL CASO BASE	
Pérdidas de potencia activa:	202.67 kW
Voltaje mínimo:	0.91324 p.u. Nodo: 18
Línea Abierta:	8 – 21
Línea Abierta:	9 – 15
Línea Abierta:	12 – 22
Línea Abierta:	18 – 33
Línea Abierta:	25 – 29



Los resultados obtenidos al aplicar el algoritmo de reconfiguración propuesto, han sido comparados con los publicados en el trabajo de referencia; según se puede observar en la Tabla 4.4.2, en dos de las simulaciones realizadas se han obtenido resultados bastante aproximados.

Tabla 4.4.2 Comparación de resultados de simulación para el sistema de 33 barras sin generación distribuida.

Fuente: Elaboración propia.

Método	Configuración óptima	Pérdidas (kW)
Ref.[24]	7, 9, 14, 32, 37	139.55
	7, 10, 14, 36, 37	142.68
	9, 28, 33, 34, 36	146.37
	7, 9, 14, 28, 32	139.98
	7, 9, 14, 32, 37	139.55
	7, 9, 14, 28, 32	139.98
Propuesto	7, 9, 14, 32, 25	139.55

La mejor configuración obtenida a lo largo de 10 simulaciones fue aquella cuyos resultados se muestran en la Tabla 4.4.3. La reducción de la pérdida de potencia con relación al caso base es de 31.15% y se obtuvo en un tiempo computacional de 3.35 segundos, mientras que el peor caso de voltaje se da en el nodo número 32 con 0.93786 p.u. El proceso de convergencia del algoritmo, las magnitudes de voltaje en cada nodo y la configuración óptima del sistema de distribución de 33 barras se muestra en la Figura 4.4.2, Figura 4.4.3 y Figura 4.4.4, respectivamente.

Tabla 4.4.3 Resultados del análisis de reconfiguración obtenido en MATLAB.

Fuente: Elaboración propia.

RESULTADOS DE LA RECONFIGURACIÓN	
Pérdidas de potencia activa:	139.55 kW
Voltaje mínimo:	0.93786p.u. Nodo: 32
Línea Abierta:	7 – 8
Línea Abierta:	9 – 10
Línea Abierta:	14 – 15
Línea Abierta:	32 – 33
Línea Abierta:	25 – 29

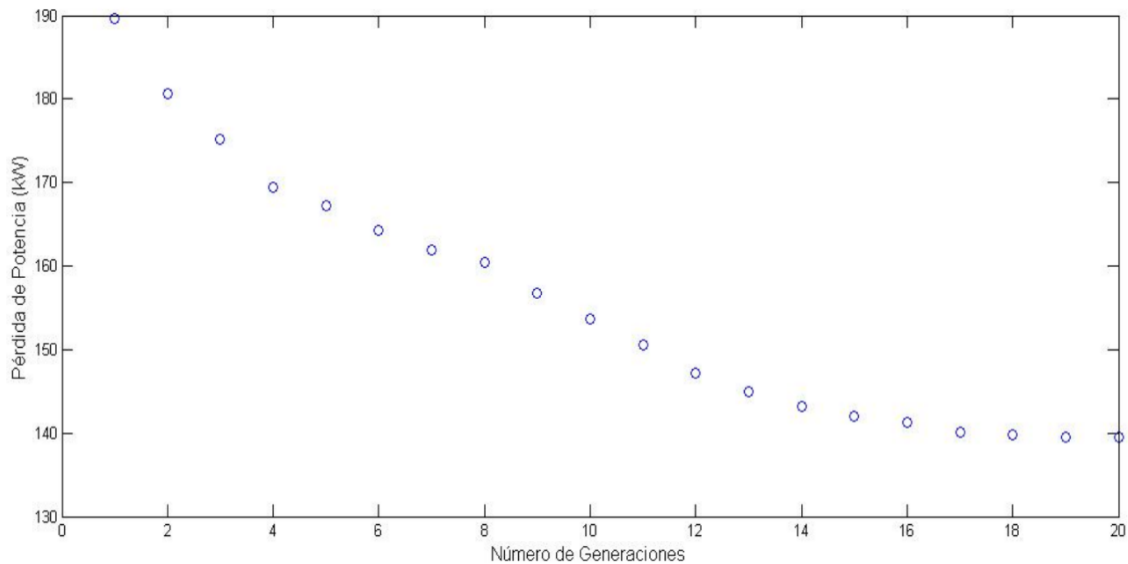


Figura 4.4.2 Proceso de convergencia del algoritmo propuesto en MATLAB.
Fuente: Elaboración propia.

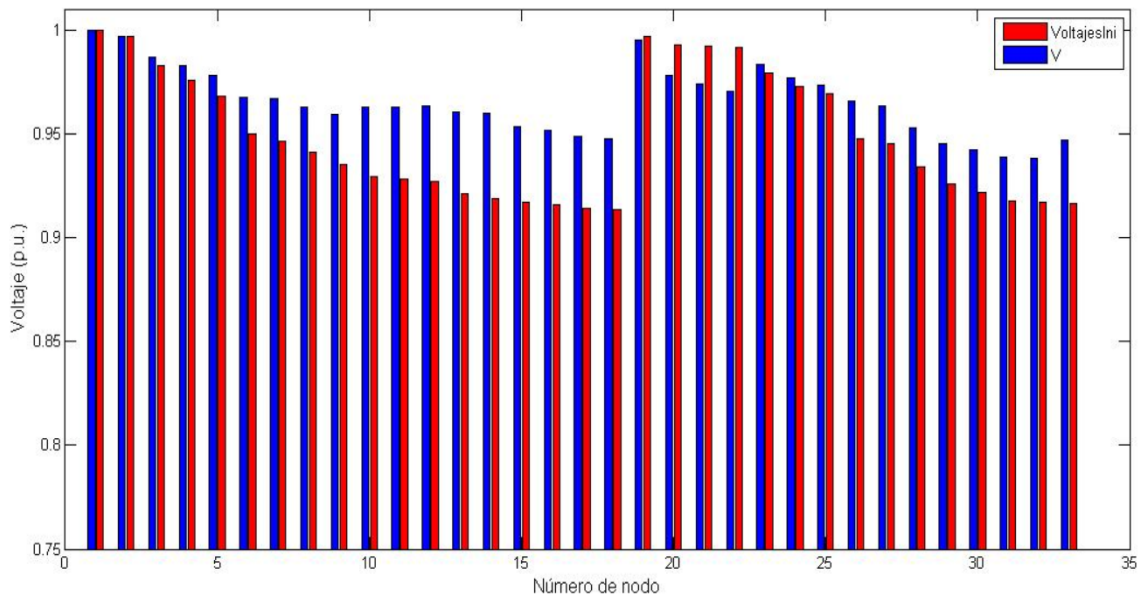


Figura 4.4.3 Magnitudes de voltaje del sistema de prueba de 33 barras antes y después de la reconfiguración.
Fuente: Elaboración propia.

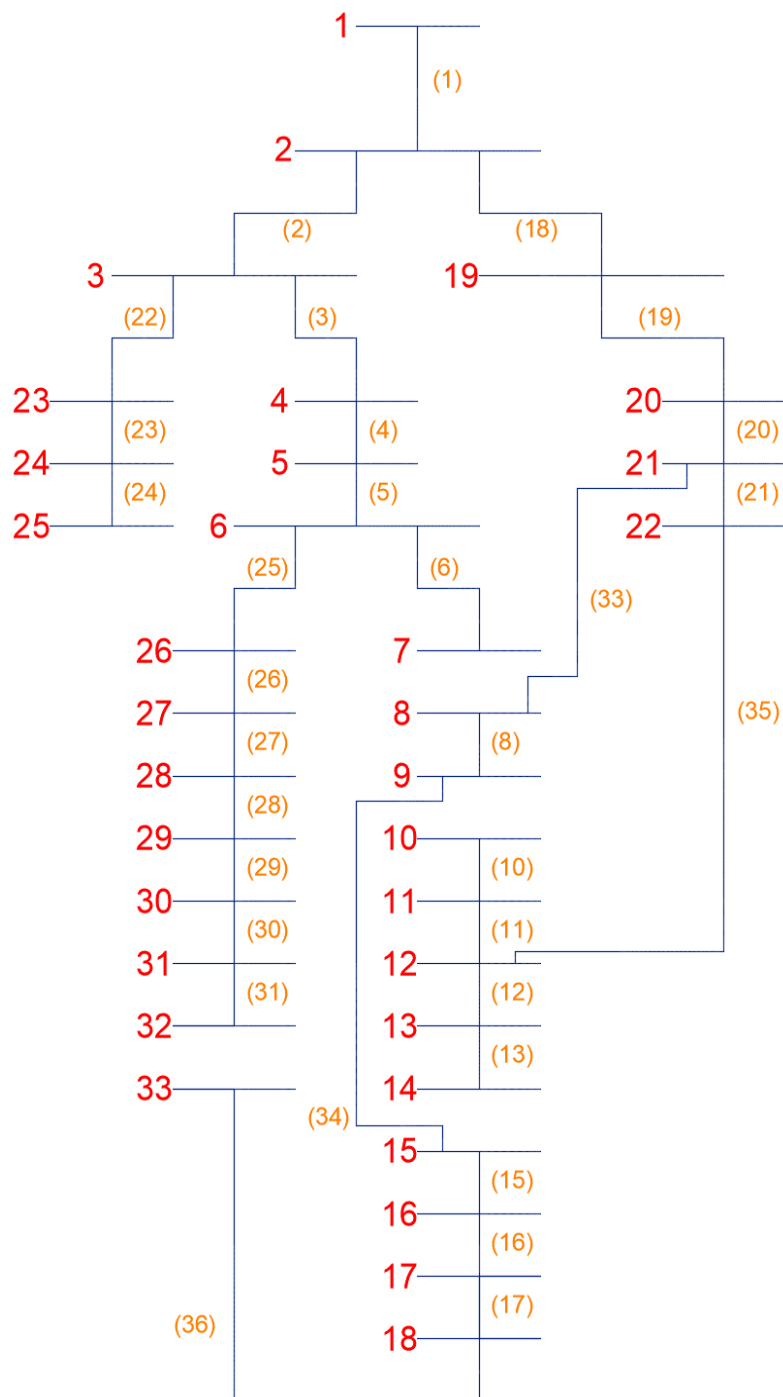


Figura 4.4.4 Sistema de distribución - 33B sin generación distribuida (después de la reconfiguración)
Fuente: Elaboración propia.

4.4.2 Reconfiguración del sistema de distribución de 33 barras con generación distribuida

Para el análisis del sistema de distribución de 33 barras con generación distribuida se consideran las mismas características de línea y carga, activa y reactiva, citadas en el punto anterior. Para este caso de estudio se asume cuatro generadores, distribuidos de 100 kW, los mismos que estarán conectados en los nodos 17, 18, 32 y 33, respectivamente, tal como se puede observar en la Figura 4.4.5. Las pérdidas de potencia para el caso base son de 155.92 kW, con un voltaje mínimo de 0.92903p.u., en el nodo 33, como se puede observar en la Tabla 4.4.4.

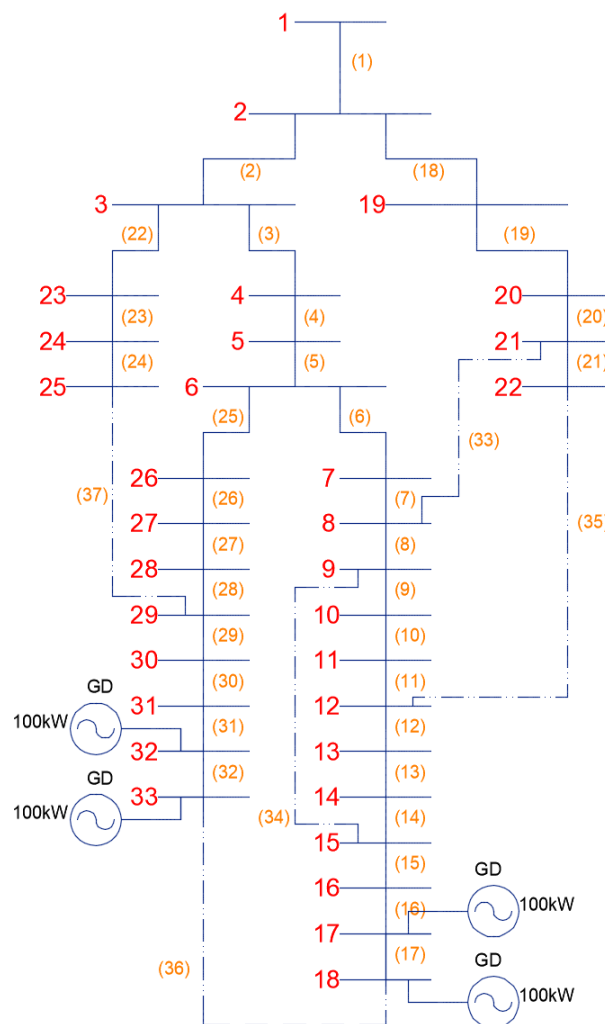


Figura 4.4.5 Sistema de distribución - 33B con generación distribuida (antes de la reconfiguración)
Fuente: Elaboración propia.



*Tabla 4.4.4 Resultados del análisis del caso base obtenidos en MATLAB.
Fuente: Elaboración propia.*

RESULTADOS DEL CASO BASE	
Pérdidas de potencia activa:	155.92 kW
Voltaje mínimo:	0.92903p.u. Nodo: 33
Línea Abierta:	8 – 21
Línea Abierta:	9 – 15
Línea Abierta:	12 – 22
Línea Abierta:	18 – 33
Línea Abierta:	25 – 29

Al aplicar el algoritmo de reconfiguración al sistema de distribución de 33 barras con generación distribuida, se pueden corroborar en la Tabla 4.4.5, que los resultados obtenidos son bastante aproximados, comparado con los publicados en el trabajo de referencia.

*Tabla 4.4.5 Comparación de resultados de simulación para el sistema de 33 barras con generación distribuida.
Fuente: Elaboración propia.*

Método	Configuración óptima	Pérdidas (kW)
Ref.[24]	7, 9, 14, 31, 37	108.5535
Propuesto	7, 9, 14, 31, 37	108.5545

Los resultados de la mejor configuración obtenida, en un tiempo computacional de 19.28 segundos, se pueden observar en la Tabla 4.4.6. La reducción de la pérdida de potencia que se logró con relación al caso base es de 30.38%, mientras que el peor caso de voltaje se da en el nodo 32 con un valor de 0.95035p.u. El proceso de convergencia del algoritmo, las magnitudes de voltaje en cada nodo y el sistema de distribución de 33 barras con generación distribuida reconfigurado se muestra en la Figura 4.4.6, Figura 4.4.7 y Figura 4.4.8, respectivamente.

*Tabla 4.4.6 Resultados del análisis de reconfiguración obtenido en MATLAB.
Fuente: Elaboración propia.*

RESULTADOS DE LA RECONFIGURACIÓN	
Pérdidas de potencia activa:	108.5545 kW
Voltaje mínimo:	0.95035p.u. Nodo: 31
Línea Abierta:	7 – 8
Línea Abierta:	9 – 10
Línea Abierta:	14 – 15
Línea Abierta:	31 – 32
Línea Abierta:	25 – 29

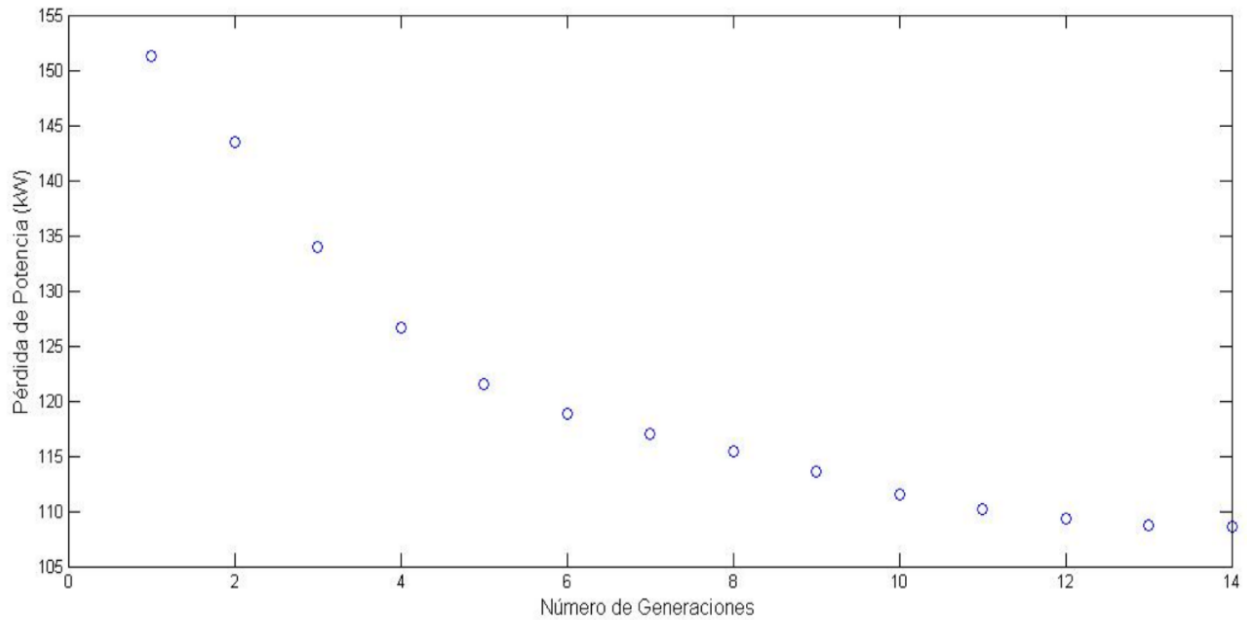


Figura 4.4.6 Proceso de convergencia del algoritmo propuesto en MATLAB.
Fuente: Elaboración propia.

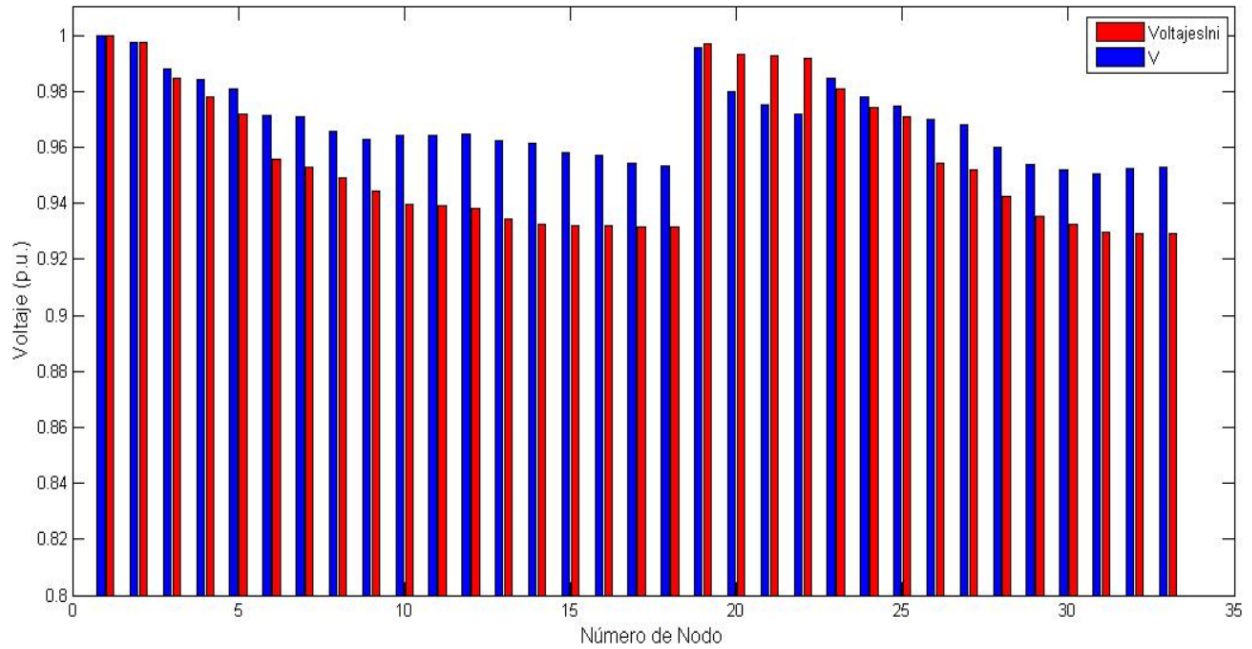


Figura 4.4.7 Magnitudes de voltaje del sistema de prueba de 33 barras antes y después de la reconfiguración.
Fuente: Elaboración propia.

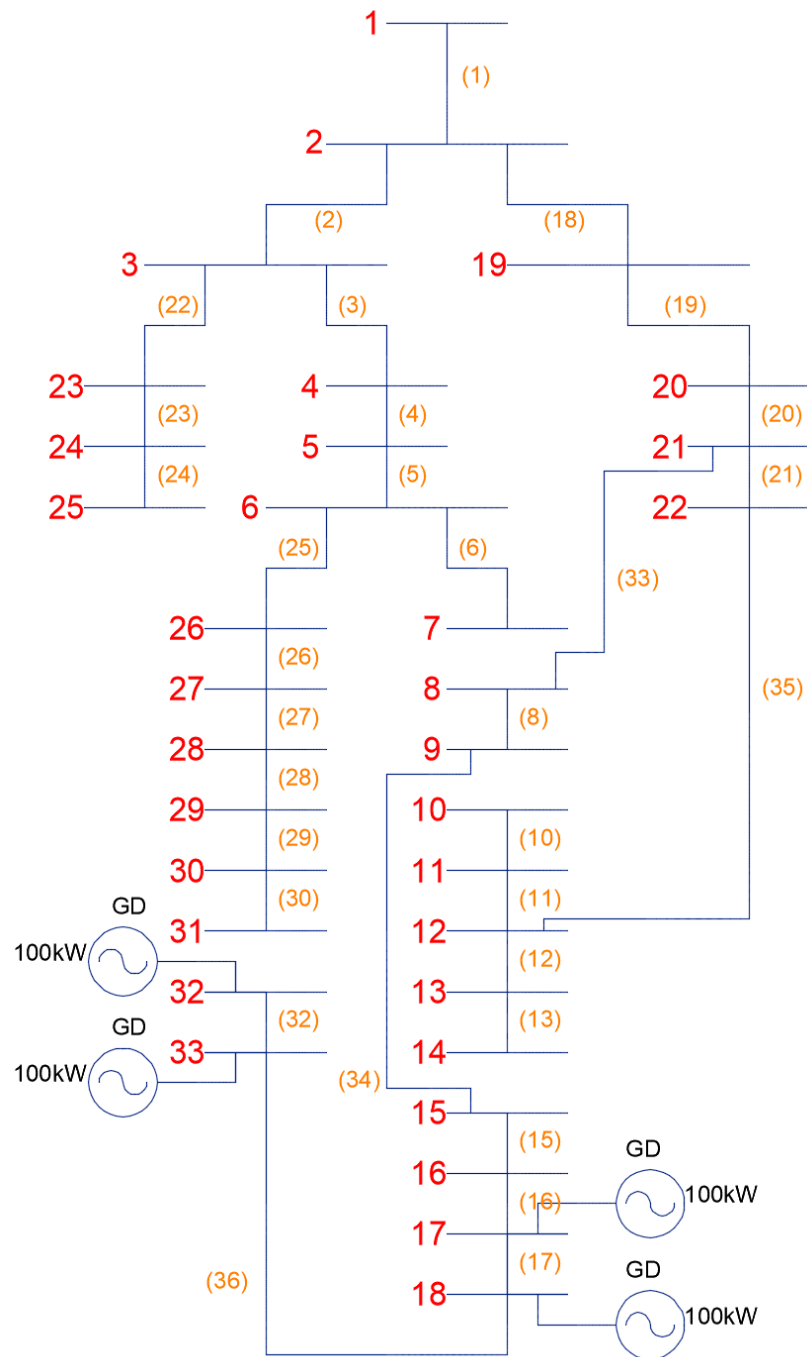


Figura 4.4.8 Sistema de distribución - 33B con generación distribuida (después de la reconfiguración)
 Fuente: Elaboración propia.

4.4.3 Reconfiguración del sistema de distribución de 69 barras sin generación distribuida

Los datos y la configuración inicial del sistema de 69 barras están dados en la Tabla 6.1.3 y Figura 4.4.9, respectivamente. Este sistema también se encuentra conformado por 5 líneas de enlace y tiene una carga total de 3,802 MW y 3,696 MVar. Las pérdidas de potencia activa totales en el caso base de funcionamiento del sistema son de 225.0368 kW, y un voltaje mínimo de 0.90927p.u en el nodo 54, tal como se muestra en los resultados obtenidos con el método propuesto en la Tabla 4.4.7.

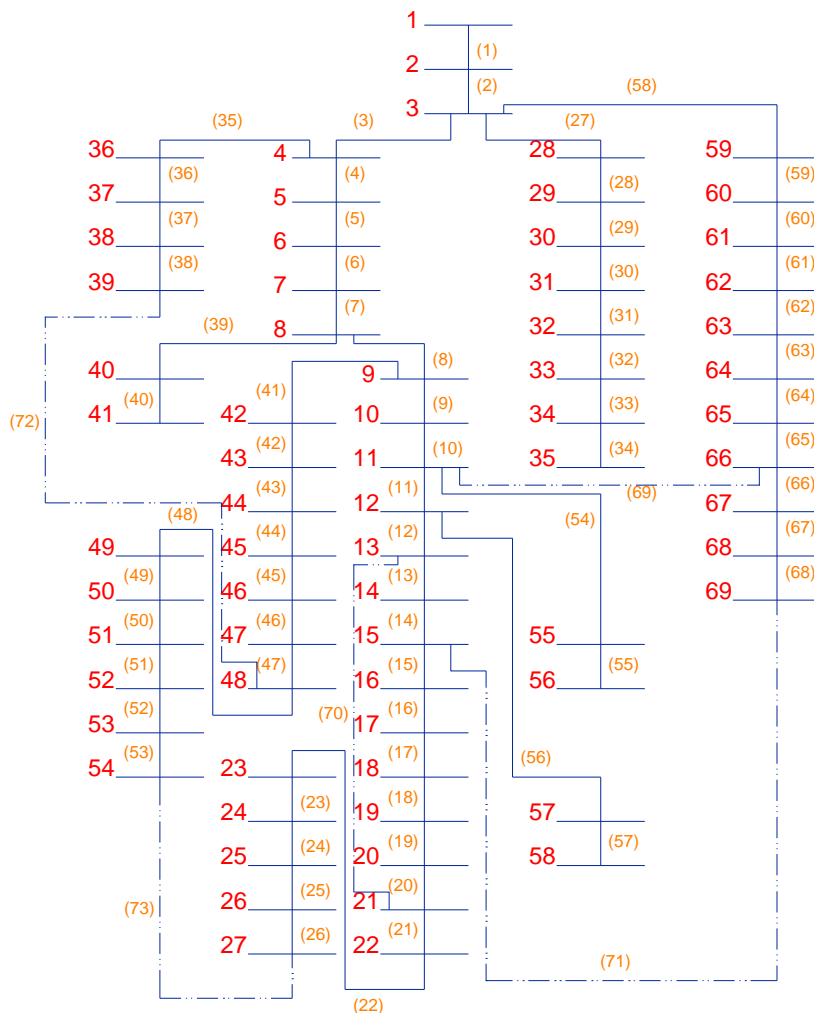


Figura 4.4.9 Sistema de distribución - 69B sin generación distribuida (antes de la reconfiguración)
Fuente: Elaboración propia.



*Tabla 4.4.7 Resultados del análisis del caso base obtenidos en MATLAB.
Fuente: Elaboración propia.*

RESULTADOS DEL CASO BASE	
Pérdidas de potencia activa: 225.0368 kW	
Voltaje mínimo: 0.90927p.u. Nodo: 54	
Línea Abierta:	11 – 66
Línea Abierta:	13 – 21
Línea Abierta:	15 – 69
Línea Abierta:	39 – 48
Línea Abierta:	27 – 54

Los resultados obtenidos aplicando el algoritmo de reconfiguración, han sido comparados con los publicados en el trabajo de referencia; según se puede observar en la Tabla 4.4.8, en dos de las simulaciones realizadas, se han obtenido resultados bastante aproximados.

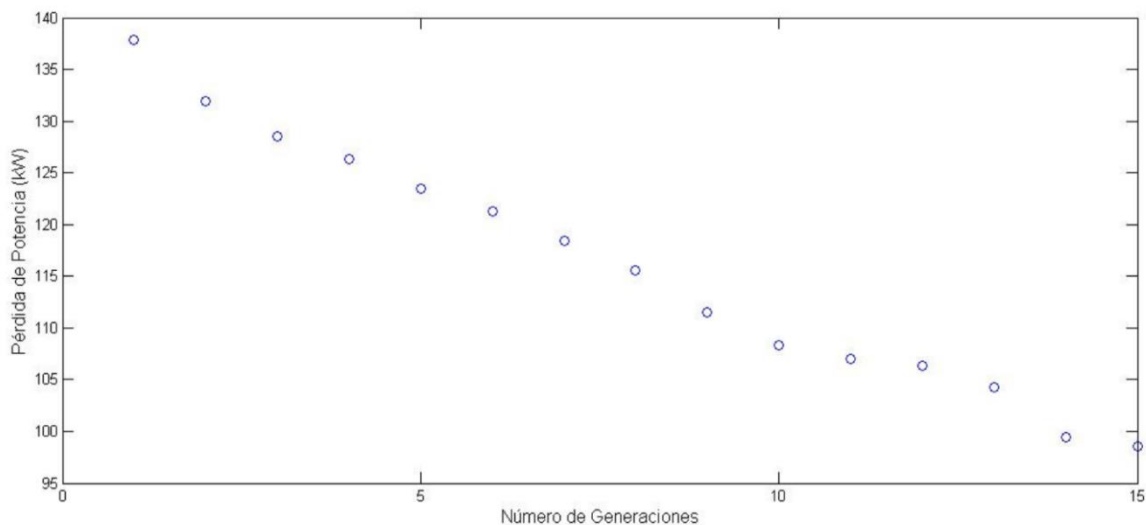
*Tabla 4.4.8 Comparación de resultados de simulación para el sistema de 69 barras sin generación distribuida.
Fuente: Elaboración propia.*

Método	Configuración óptima	Pérdidas (kW)
Ref. [24]	69, 70, 14, 45, 52	99.6209
	69, 18, 13, 45, 50	105.2404
	69, 70, 14, 45, 50	98.6174
	69, 70, 14, 47, 50	98.6174
	69, 70, 14, 45, 50	98.6174
	69, 70, 14, 44, 50	98.6174
	69, 70, 14, 46, 50	98.6174
	69, 70, 14, 47, 50	98.5943
Propuesto		

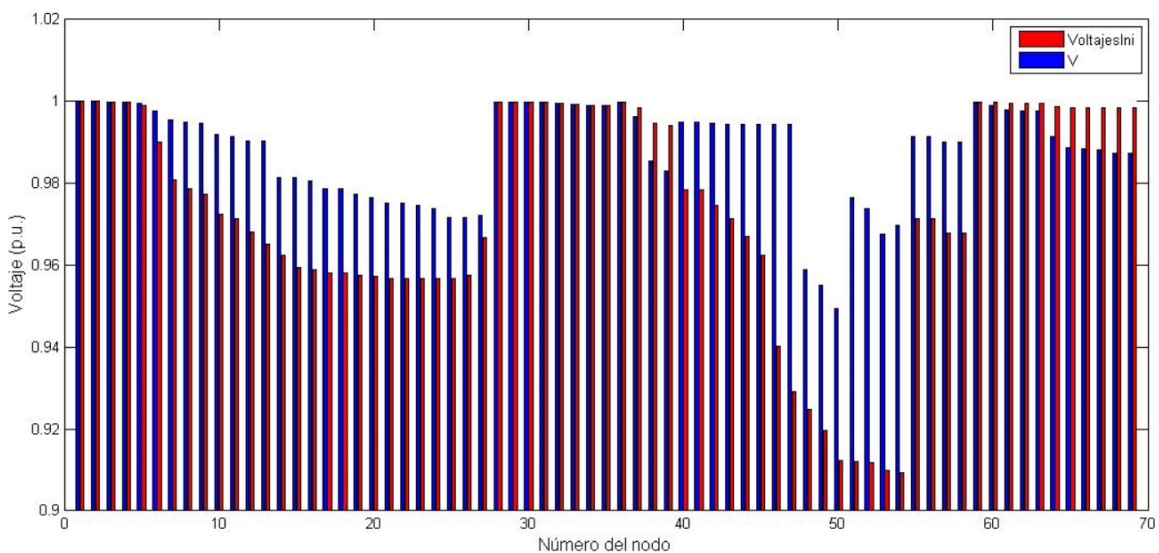
La mejor configuración obtenida a lo largo de 10 simulaciones fue aquella cuyos resultados se muestran en la Tabla 4.4.9. La reducción de la pérdida de potencia con relación al caso base es de 56.19%, se obtuvo en un tiempo computacional de 52.82 segundos, mientras que el peor caso de voltaje se da en el nodo número 50 con 0.94947p.u. El proceso de convergencia del algoritmo, las magnitudes de voltaje en cada nodo y el sistema de distribución de 69 barras reconfigurado se muestra en la Figura 4.4.10, Figura 4.4.11 y Figura 4.4.12, respectivamente.

*Tabla 4.4.9 Resultados del análisis de reconfiguración obtenido en MATLAB.
Fuente: Elaboración propia.*

RESULTADOS DE LA RECONFIGURACIÓN	
Pérdidas de potencia activa: 98.5943 kW	
Voltaje mínimo: 0.94947p.u.	Nodo: 50
Línea Abierta:	14 – 15
Línea Abierta:	47 – 48
Línea Abierta:	50 – 51
Línea Abierta:	11 – 66
Línea Abierta:	13 – 21



*Figura 4.4.10 Proceso de convergencia del algoritmo propuesto en MATLAB.
Fuente: Elaboración propia.*



*Figura 4.4.11 Magnitudes de voltaje del sistema de prueba de 69 barras antes y después de la reconfiguración.
Fuente: Elaboración propia.*

UNIVERSIDAD DE CUENCA

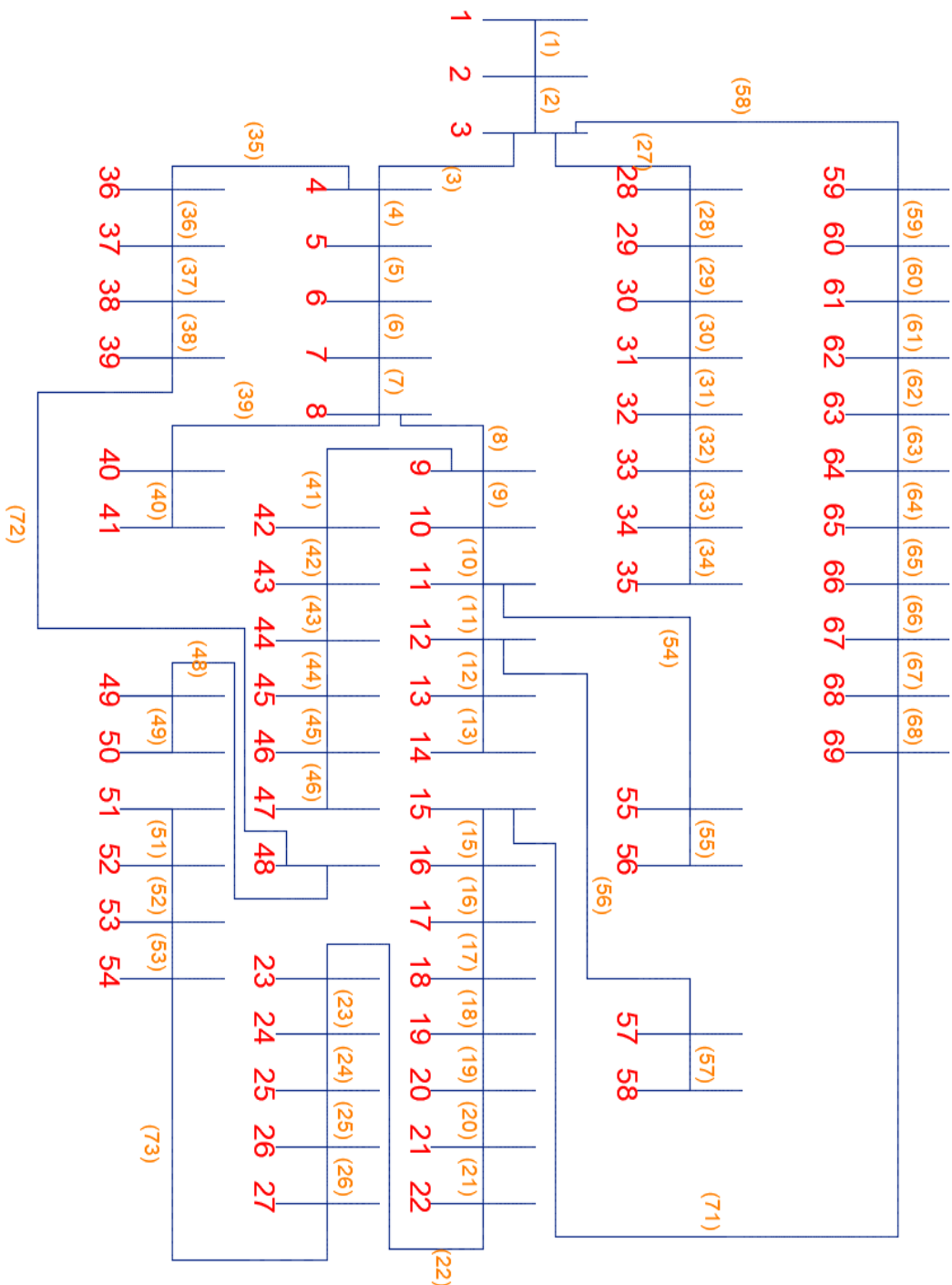


Figura 4.4.12 Sistema de distribución - 69B sin generación distribuida (después de la reconfiguración)
Fuente: Elaboración propia.

4.4.4 Reconfiguración del sistema de distribución de 69 barras con generación distribuida

El análisis de la reconfiguración del sistema de distribución de 69 barras con generación distribuida se realiza con las mismas características de línea y carga citadas en el punto anterior. Para este caso de estudio se consideran seis generadores distribuidos, cada uno de 450kW, los mismos que estarán ubicados en los nodos 11, 39, 49, 50, 51 y 53, respectivamente, tal como se muestra en la Figura 4.4.13. Las pérdidas de potencia para el caso base son de 74.6073kW, con un voltaje mínimo de 0.97371p.u., en el nodo 25, como se puede observar en la Tabla 4.4.10.

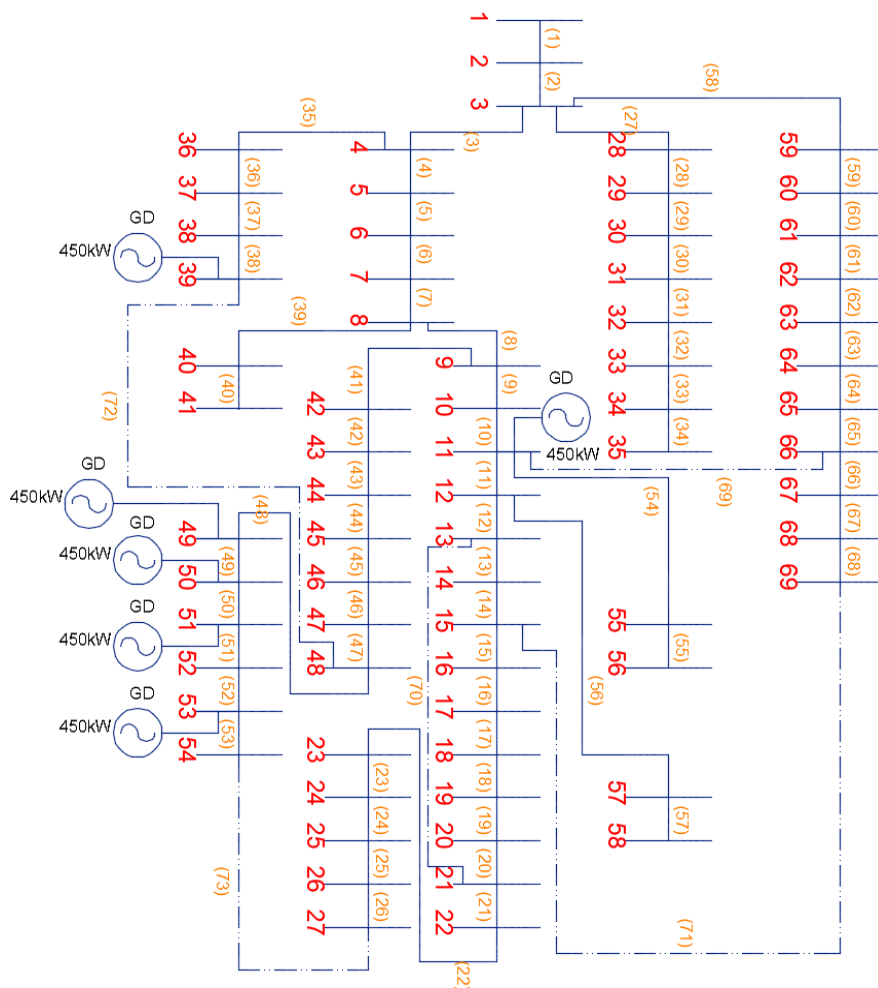


Figura 4.4.13 Sistema de distribución - 69B con generación distribuida (antes de la reconfiguración)
Fuente: Elaboración propia.



UNIVERSIDAD DE CUENCA

Tabla 4.4.10 Resultados del análisis del caso base obtenidos en MATLAB.

Fuente: Elaboración propia.

RESULTADOS DEL CASO BASE	
Pérdidas de potencia activa:	74.6073kW
Voltaje mínimo:	0.97371p.u. Nodo: 25
Línea Abierta:	11 – 66
Línea Abierta:	13 – 21
Línea Abierta:	15 – 69
Línea Abierta:	39 – 48
Línea Abierta:	27 – 54

Aplicando el algoritmo de reconfiguración al sistema de distribución de 69 barras con generación distribuida, se pueden corroborar en la Tabla 4.4.11, que los resultados obtenidos son bastante aproximados, comparado con los publicados en el trabajo de referencia.

Tabla 4.4.11 Comparación de resultados de simulación para el sistema de 69 barras con generación distribuida.

Fuente: Elaboración propia.

Método	Configuración óptima	Pérdidas (kW)
Ref.[24]	47, 52, 14, 70, 69	34.9366
Propuesto	47, 52, 14, 70, 69	34.9284

Los resultados se obtuvieron en un tiempo computacional de 47.39 segundos y se pueden observar en la Tabla 4.4.12. La reducción de la pérdida de potencia se logró en un 53.18% en relación al caso base, mientras que el voltaje más bajo se da en el nodo 50 con un valor de 0.97834p.u. El proceso de convergencia del algoritmo, las magnitudes de voltaje en cada nodo y el sistema de distribución de 69 barras con generación distribuida reconfigurado se muestra en la Figura 4.4.14, Figura 4.4.15, y Figura 4.4.16, respectivamente.

Tabla 4.4.12 Resultados del análisis de reconfiguración obtenido en MATLAB.

Fuente: Elaboración propia.

RESULTADOS DE LA RECONFIGURACIÓN	
Pérdidas de potencia activa:	34.9284kW
Voltaje mínimo:	0.97834p.u. Nodo: 50
Línea Abierta:	14 – 15
Línea Abierta:	47 – 48
Línea Abierta:	52 – 53
Línea Abierta:	11 – 66
Línea Abierta:	13 – 21

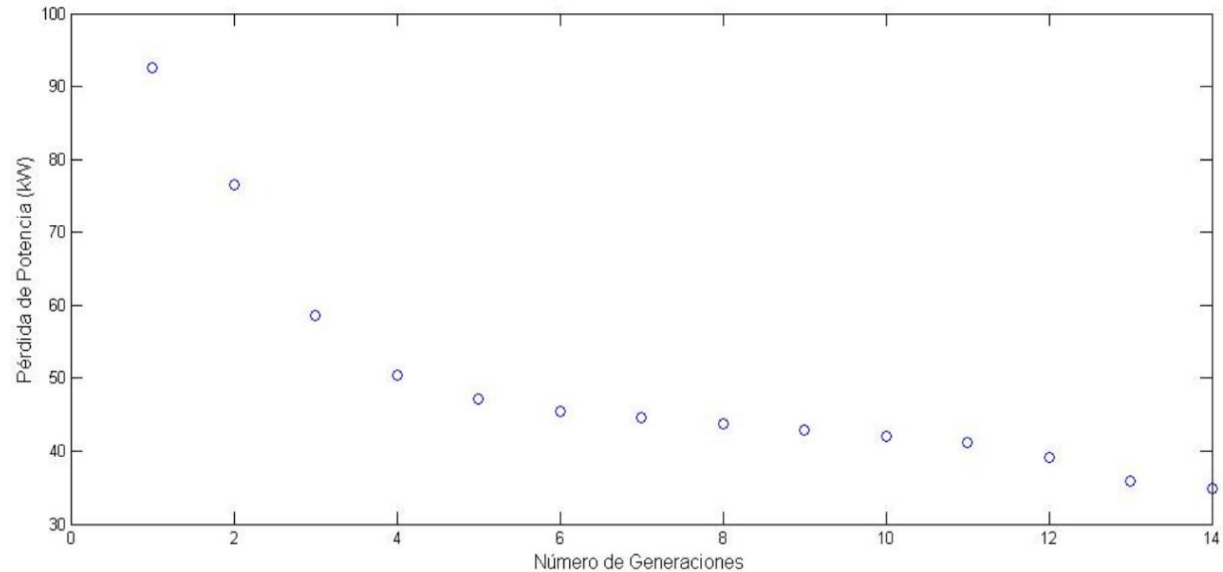


Figura 4.4.14 Proceso de convergencia del algoritmo propuesto en MATLAB.
Fuente: Elaboración propia.

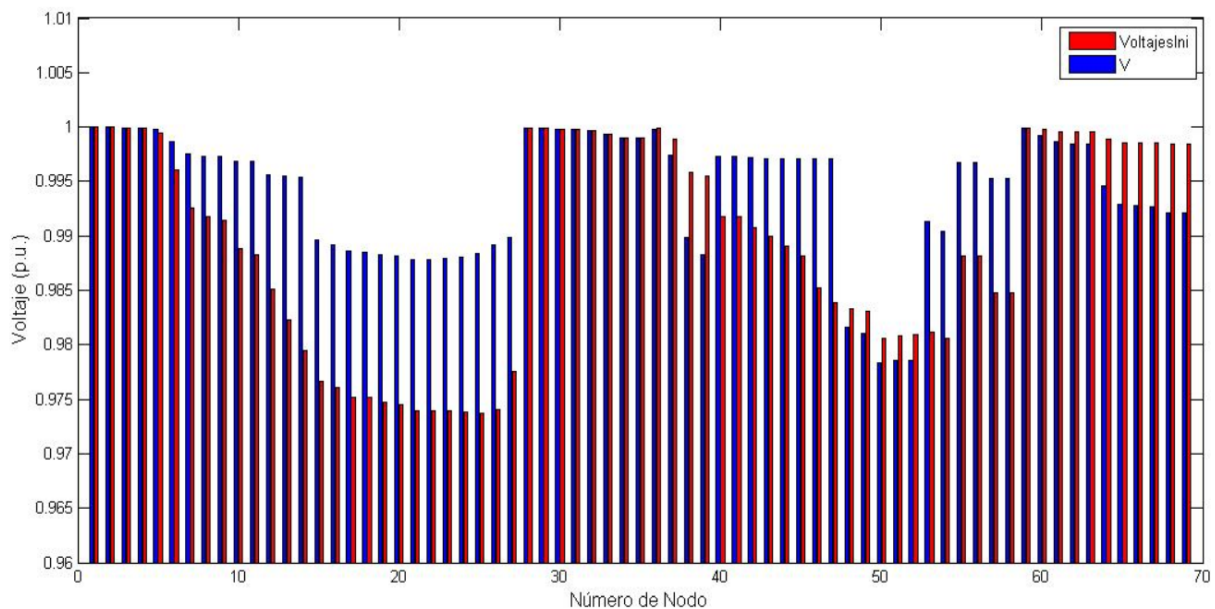


Figura 4.4.15 Magnitudes de voltaje del sistema de prueba de 69 barras antes y después de la reconfiguración.
Fuente: Elaboración propia.

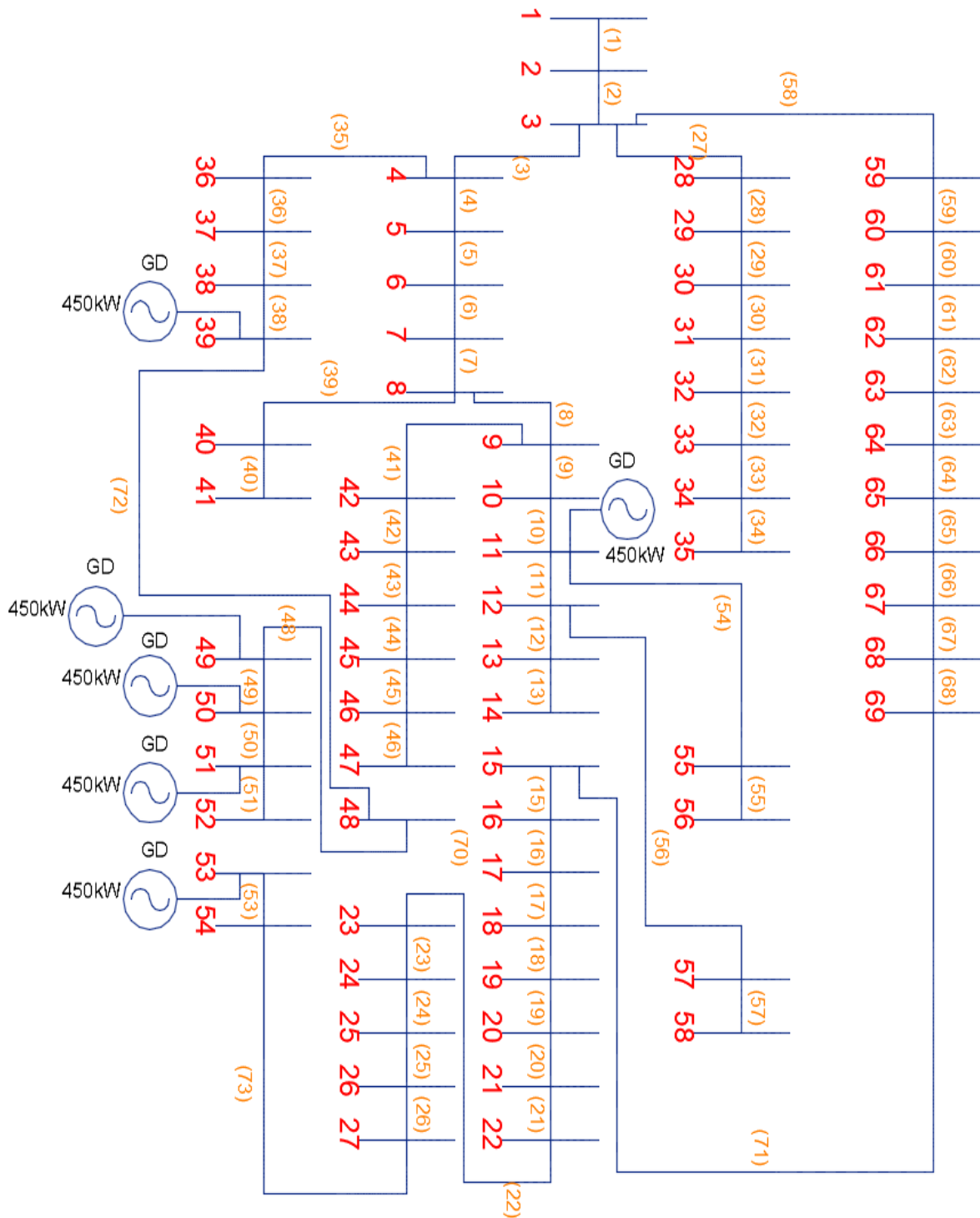


Figura 4.4.16 Sistema de distribución - 69B con generación distribuida (después de la reconfiguración)
 Fuente: Elaboración propia.



4.5 Reconfiguración del sistema de distribución de la Empresa Eléctrica Regional Centro Sur

Corroborada la validez del algoritmo de reconfiguración implementado con los sistemas de testeo de la IEEE, en esta sección se analizará la reconfiguración del sistema de distribución de la Empresa Eléctrica Regional Centro Sur, tomando en consideración tres casos de estudio. En el primero se analiza la reconfiguración de un alimentador del sistema de distribución, en el segundo caso se procede a reconfigurar alimentadores que provienen de una misma subestación; y, por último, se analiza la reconfiguración entre alimentadores de dos subestaciones.

4.5.1 Caso 1: Reconfiguración de un alimentador

4.5.1.1 Reconfiguración del alimentador 0101 de la S/E01

En este caso de estudio se analiza el alimentador 0101 de la subestación 01 perteneciente a la Empresa Eléctrica Regional Centro Sur, cuyos datos se muestran en la Tabla 6.1.4, mientras que la configuración inicial se puede observar en Anexos en la Figura 6.2.1. Este alimentador cuenta con 159 nodos, una línea de enlace, una carga total de 495.30 kW y 146.57 kVar , y dos condensadores de 50 kVar cada uno, ubicados en el nodo 14 (MTS_S_2906 – Nomenclatura EERCS) y 146 (MTS_S_2945), respectivamente. Además, las pérdidas totales del sistema en el caso base son de 3.0019 kW , y un voltaje mínimo de 0.98583p.u en el nodo 111 (MTS_L_2928), tal como se muestra en la Tabla 4.5.1.

Tabla 4.5.1 Resultados del análisis del caso base obtenidos en MATLAB.

Fuente: Elaboración propia.

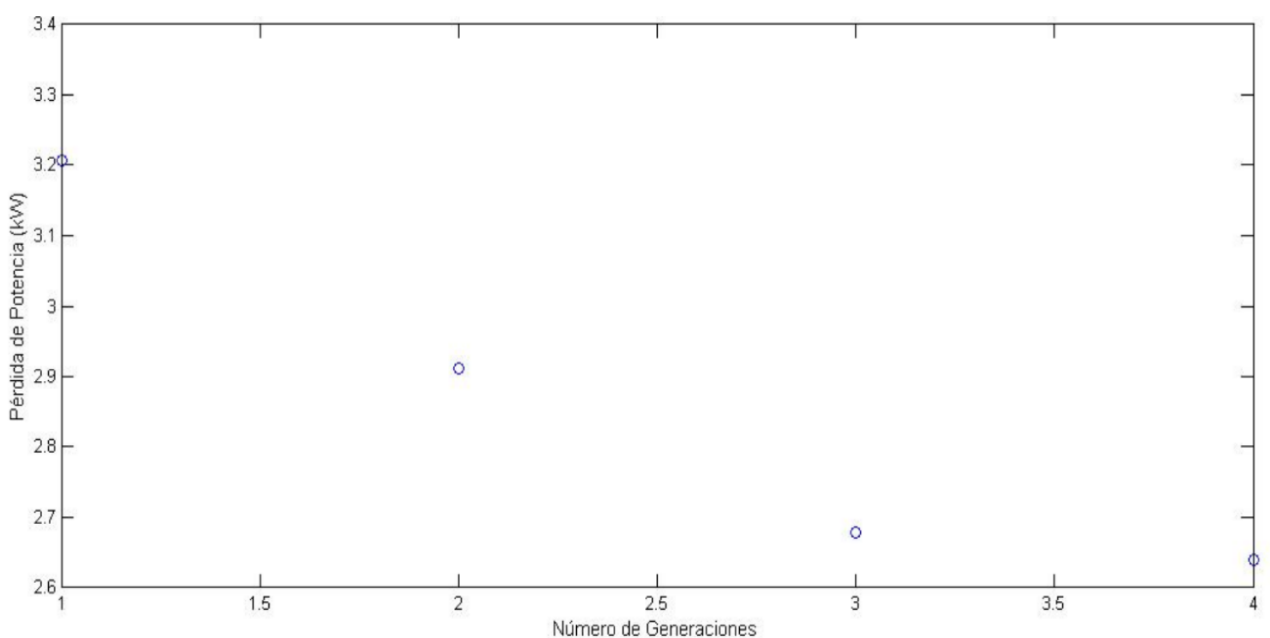
RESULTADOS DEL CASO BASE	
Pérdidas de potencia activa:	3.0019kW
Voltaje mínimo:	0.98583p.u. Nodo: 111 (MTS_L_2928)
Línea Abierta:	44 – 108 (MTS_S_37659 - 4715_BARRA)



Aplicando el algoritmo de reconfiguración propuesto al alimentador en estudio, se obtuvo en un tiempo computacional de 2.65 segundos, una reducción de las pérdidas de potencia del 12.06%, en relación al caso base, mientras que el voltaje más bajo después de la reconfiguración se da en el nodo 30 (MTS_S_38791), con un valor por unidad de 0.99905; estos resultados se pueden observar en la Tabla 4.5.2. El proceso de convergencia del algoritmo y las magnitudes de voltaje en cada nodo se muestran en la Figura 4.5.1 y Figura 4.5.2, respectivamente. Además el alimentador reconfigurado se muestra en Anexos en la Figura 6.2.2.

*Tabla 4.5.2 Resultados del análisis de reconfiguración obtenido en MATLAB.
Fuente: Elaboración propia.*

RESULTADOS DE LA RECONFIGURACIÓN	
Pérdidas de potencia activa:	2.6398kW
Voltaje mínimo:	0.99905p.u. Nodo: 30 (MTS_S_38791)
Línea Abierta:	106 – 107 (MTS_S_38461 - MTS_S_4407)



*Figura 4.5.1 Proceso de convergencia del algoritmo propuesto en MATLAB.
Fuente: Elaboración propia.*

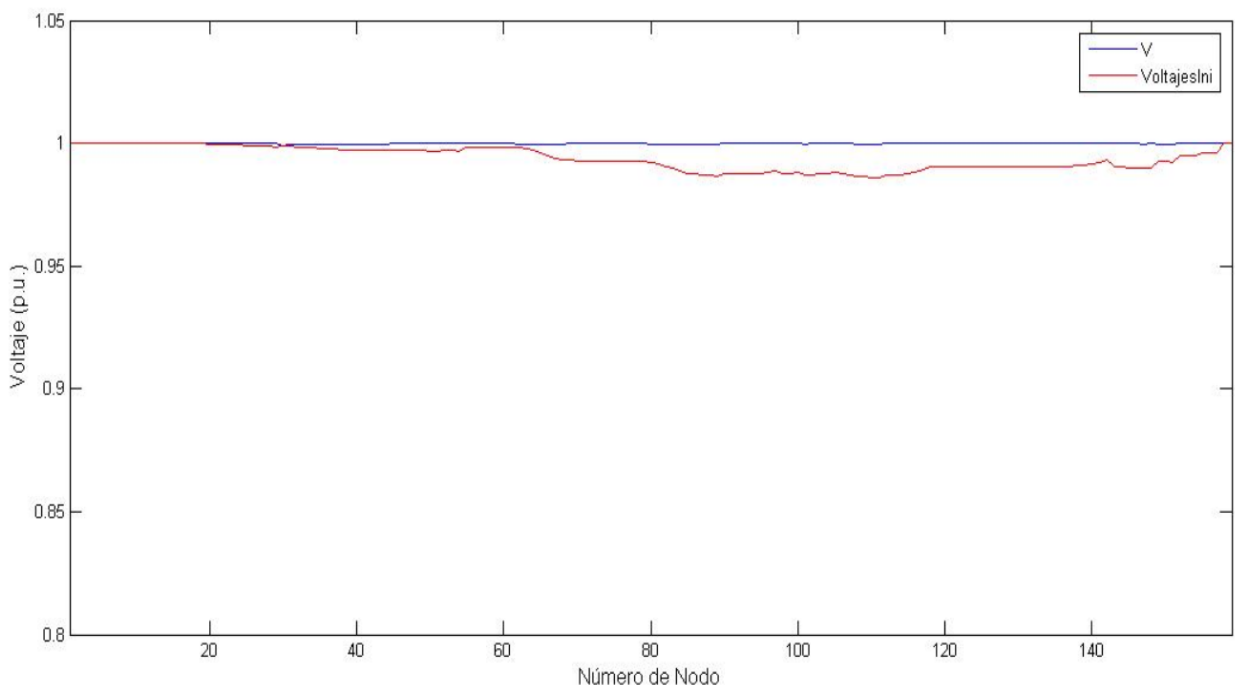


Figura 4.5.2 Magnitudes de voltaje del alimentador perteneciente a la EERCS antes y después de la reconfiguración.

Fuente: Elaboración propia.

4.5.1.2 Reconfiguración del alimentador 0201 de la S/E02

Esta sección analiza la reconfiguración para el alimentador 0201 de la subestación 02, el mismo que pertenece Empresa Eléctrica Regional Centro Sur y se muestra en Anexos en la Figura 6.2.3. Las características de las líneas y las cargas se pueden observar en Tabla 6.1.5. El alimentador en estudio tiene 166 nodos, dos líneas de enlace, una carga total de 362.7416 kW y 125.4658 kVAr , y un condensador de 50 kVAr ubicado en el nodo 11. Además, las pérdidas totales del sistema en su configuración inicial son de 1.7339 kW , y un voltaje mínimo de 0.99013p.u en el nodo 120 (MTS_L_5488), tal como se indica en la Tabla 4.5.3.



UNIVERSIDAD DE CUENCA

Tabla 4.5.3 Resultados del análisis del caso base obtenidos en MATLAB.

Fuente: Elaboración propia.

RESULTADOS DEL CASO BASE	
Pérdidas de potencia activa:	1.7339kW
Voltaje mínimo:	0.99013p.u. Nodo: 120 (MTS_L_5488)
Línea Abierta:	100 – 24 (MTS_S_76064 - MTA_L_322971)
Línea Abierta:	87 – 127 (MTS_S_37642 - 4707_BARRA)

Al aplicar el algoritmo de reconfiguración al alimentador 0201 se obtuvo una reducción de las pérdidas de potencia en un 6.07%, mientras que el peor caso de voltaje se da en el nodo 161 (MTS_L_3212) con un valor por unidad de 0.98771. Estos resultados se obtuvieron en un tiempo computacional de 1.61 segundos y pueden ser observados en la Tabla 4.5.4. El proceso de convergencia del algoritmo y las magnitudes de voltaje en cada nodo se muestran en la Figura 4.5.3 y Figura 4.5.4, respectivamente. Además, el alimentador con su nueva configuración se presenta en Anexos en la Figura 6.2.4.

Tabla 4.5.4 Resultados del análisis de reconfiguración obtenido en MATLAB.

Fuente: Elaboración propia.

RESULTADOS DE LA RECONFIGURACIÓN	
Pérdidas de potencia activa:	1.6294kW
Voltaje mínimo:	0.98771p.u. Nodo: 161 (MTS_L_3212)
Línea Abierta:	105 – 106 (MTS_S_4404 - MTS_S_4383)
Línea Abierta:	100 – 24 (MTS_S_76064 - MTA_L_322971)



UNIVERSIDAD DE CUENCA

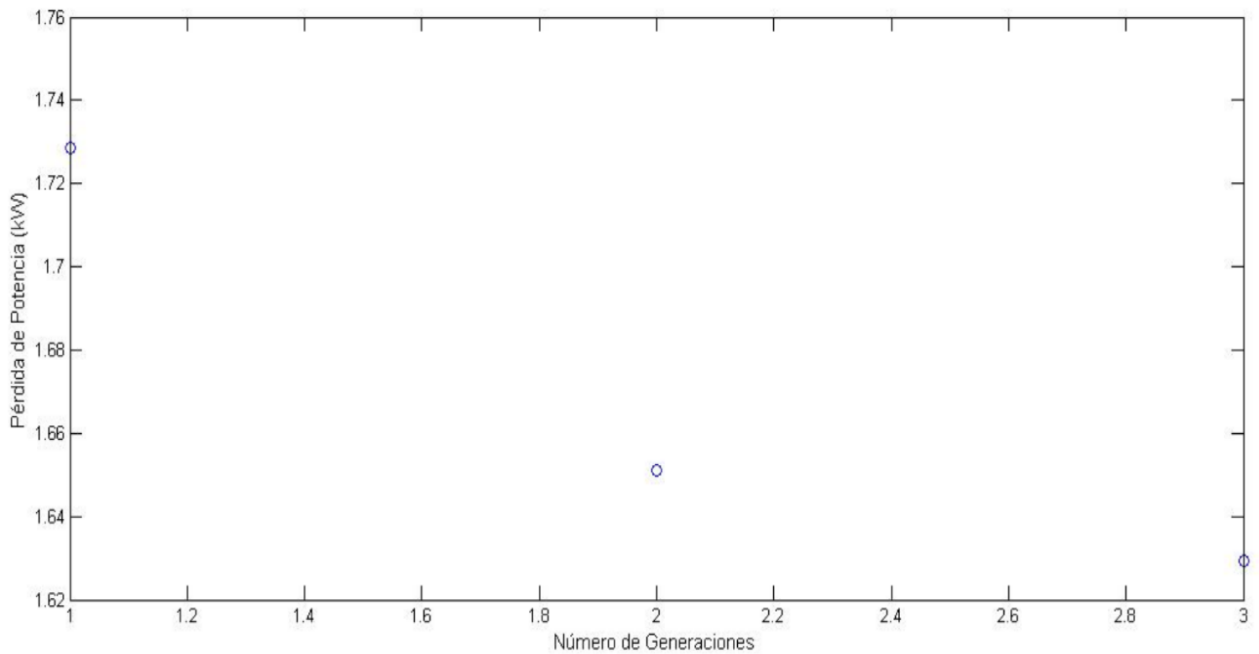


Figura 4.5.3 Proceso de convergencia del algoritmo propuesto en MATLAB.
Fuente: Elaboración propia.

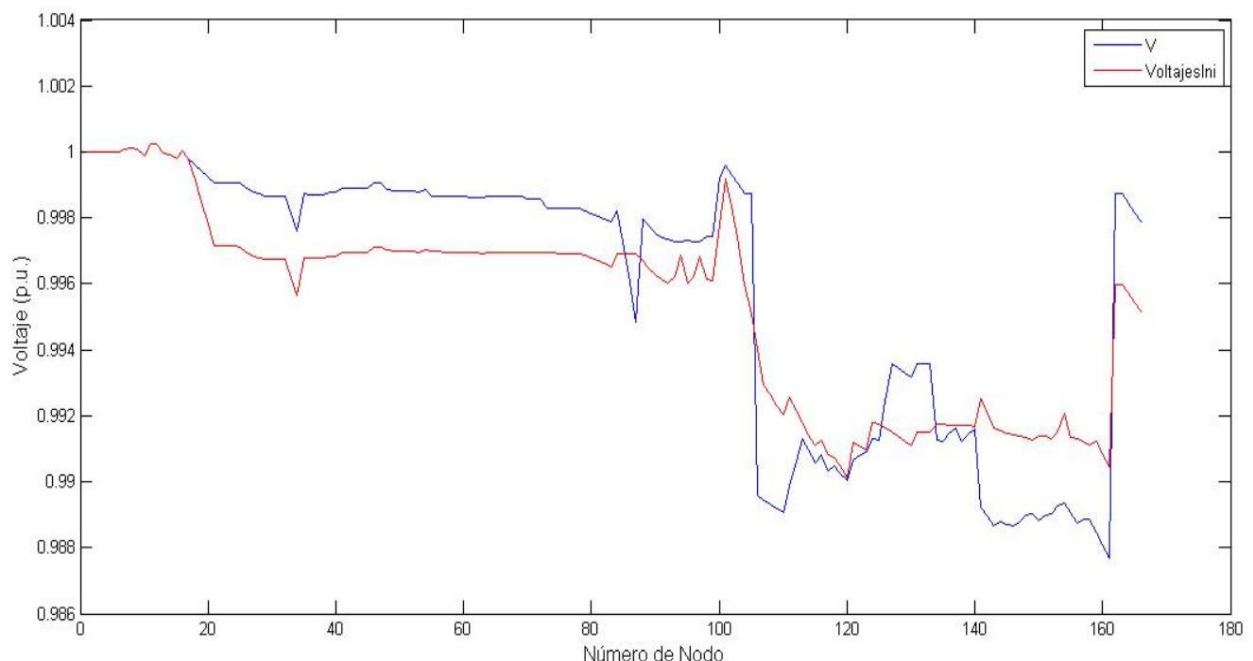


Figura 4.5.4 Magnitudes de voltaje del alimentador perteneciente a la EERCS antes y después de la reconfiguración.
Fuente: Elaboración propia.



4.5.2 Caso 2: Reconfiguración entre alimentadores de una misma subestación

4.5.2.1 Reconfiguración de los alimentadores 0101, 0102 y 0103 de la S/E01

En esta sección se analiza la reconfiguración de los alimentadores 0101, 0102 y 0103 de la S/E01, pertenecientes a la Empresa Eléctrica Regional Centro Sur, cuyos datos se pueden observar en la Tabla 6.1.6 y su configuración inicial en Anexos en la Figura 6.2.5. El sistema que se analiza cuenta con 415 barras, cuatro líneas de enlace, una carga total de 1387.78 kW y 238.58 kVAr , y cinco condensadores de 50 kVAr cada uno, ubicado en los nodos 14 (MTS_S_2906), 146 (MTS_S_2945), 168 (MTS_S_3779), 298 (MTS_S_3787) y 414 (MTS_S_3783), respectivamente. Además, las pérdidas totales del sistema en su configuración inicial son de 15.3106 kW , y un voltaje mínimo de 0.97739p.u. en el nodo 221 (MTS_S_3132), tal como se muestra en la Tabla 4.5.5.

Tabla 4.5.5 Resultados del análisis del caso base obtenidos en MATLAB.
Fuente: Elaboración propia.

RESULTADOS DEL CASO BASE	
Pérdidas de potencia activa:	15.3106kW
Voltaje mínimo:	0.97739p.u. Nodo: 221 (MTS_S_3132)
Línea Abierta:	44 – 108 (MTS_S_37659 - 4715_BARRA)
Línea Abierta:	261 – 216 (MTS_S_3775 - MTS_L_3774)
Línea Abierta:	381 – 172 (10763_BARRA - MTS_L_37583)
Línea Abierta:	176 – 79 (MTS_S_2886 - MTS_L_2886)

Al aplicar el algoritmo de reconfiguración al sistema de tres alimentadores se obtuvo una reducción de las pérdidas de potencia de 7.95%, mientras que el voltaje más bajo se da en el nodo 218 (MTS_S_37666) con un valor por unidad de 0.98014. Estos resultados se obtuvieron en un tiempo computacional de 53.80 segundos y pueden ser observados en la Tabla 4.5.6. El proceso de convergencia del algoritmo y las magnitudes de voltaje en cada nodo se

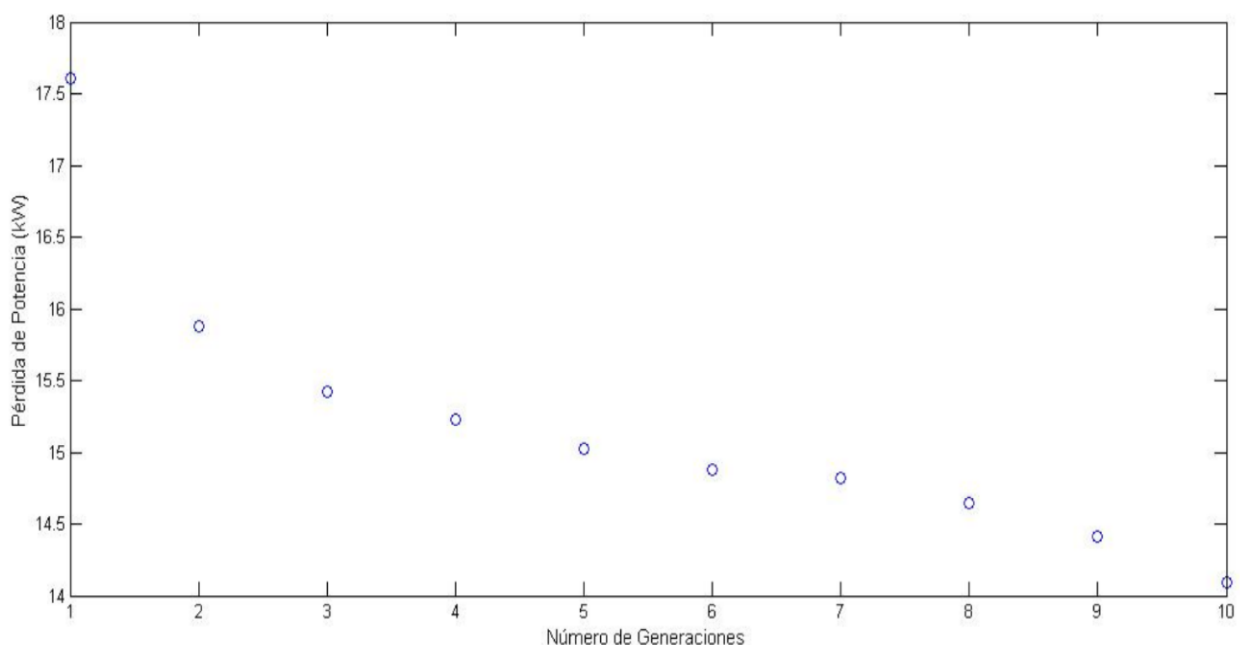


UNIVERSIDAD DE CUENCA

muestran en la Figura 4.5.5 y Figura 4.5.6, respectivamente. Además, la nueva topología obtenida para los tres alimentadores en estudio se presenta en Anexos en la Figura 6.2.6.

*Tabla 4.5.6 Resultados del análisis de reconfiguración obtenido en MATLAB.
Fuente: Elaboración propia.*

RESULTADOS DE LA RECONFIGURACIÓN		
Pérdidas de potencia activa: 14.094kW		
Voltaje mínimo: 0.98014p.u.	Nodo: 218	(MTS_S_37666)
Línea Abierta:	191 – 192	(MTS_S_3127 - MTS_S_3158)
Línea Abierta:	44 – 108	(MTS_S_37659 - 4715_BARRA)
Línea Abierta:	381 – 172	(10763_BARRA - MTS_L_37583)
Línea Abierta:	176 – 79	(MTS_S_2886 - MTS_L_2886)



*Figura 4.5.5 Proceso de convergencia del algoritmo propuesto en MATLAB.
Fuente: Elaboración propia.*

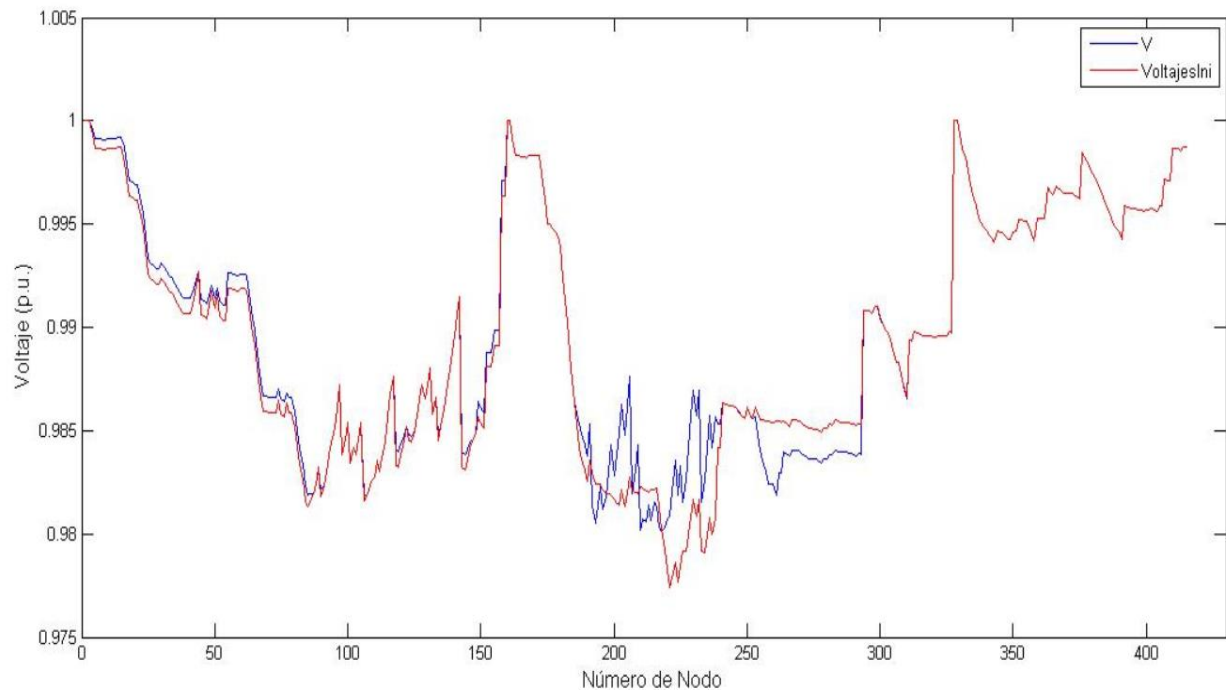


Figura 4.5.6 Magnitudes de voltaje de los alimentadores pertenecientes a la EERCS antes y después de la reconfiguración.

Fuente: Elaboración propia.

4.5.2.2 Reconfiguración de los alimentadores 0201, 0202 y 0203 de la S/E02

En esta sección se analiza la reconfiguración de los alimentadores 0201, 0202 y 0203 de la S/E02, pertenecientes a la Empresa Eléctrica Regional Centro Sur, los mismos que se pueden apreciar en Anexos en la Figura 6.2.7. Las características de las líneas y las cargas de este sistema se pueden observar en la Tabla 6.1.7. El sistema cuenta con 465 barras, cuatro líneas de enlace, una carga total de 1237.65 kW y 365.04 kVAr , y cuatro condensadores de 50 kVAr cada uno, ubicado en los nodos 11 (MTS_S_4082), 175 (MTS_S_3791), 196 (MTS_S_3788) y 461 (MTS_S_3793), respectivamente. Además, las pérdidas totales del sistema en su configuración inicial son de 9.5442 kW , y un voltaje mínimo de 0.97911 p.u. , en el nodo 120 (MTS_L_5488), tal como se muestra en la Tabla 4.5.7.



UNIVERSIDAD DE CUENCA

Tabla 4.5.7 Resultados del análisis del caso base obtenidos en MATLAB.

Fuente: Elaboración propia.

RESULTADOS DEL CASO BASE		
Pérdidas de potencia activa: 9.5442kW		
Voltaje mínimo: 0.97911p.u.	Nodo: 120	(MTS_L_5488)
Línea Abierta: 87 – 127	(MTS_S_37642 - 4707_BARRA)	
Línea Abierta: 100 – 24	(MTS_S_76064 - MTA_L_322971)	
Línea Abierta: 338 – 221	(MTS_S_3245 - MTS_S_3246)	
Línea Abierta: 310 – 163	(MTS_S_3040 - MTS_L_3190)	

Aplicando el algoritmo de reconfiguración al sistema de tres alimentadores, se obtuvo una reducción de las pérdidas de potencia de 6.87%, mientras que el voltaje más bajo se da en el nodo 141 (MTS_S_4028) con un valor en por unidad de 0.98228. Estos resultados se obtuvieron en un tiempo computacional de 72.07 segundos y pueden ser observados en la Tabla 4.5.8. El proceso de convergencia del algoritmo y las magnitudes de voltaje en cada nodo se muestran en la Figura 4.5.7 y Figura 4.5.8, respectivamente. Adicionalmente, la topología del sistema en estudio reconfigurado se presenta en Anexos en la Figura 6.2.8.

Tabla 4.5.8 Resultados del análisis de reconfiguración obtenido en MATLAB.

Fuente: Elaboración propia.

RESULTADOS DE LA RECONFIGURACIÓN		
Pérdidas de potencia activa: 8.8884kW		
Voltaje mínimo: 0.98228p.u.	Nodo: 141	(MTS_S_4028)
Línea Abierta: 103 – 104	(MTS_S_4408 - 4712_BARRA)	
Línea Abierta: 87 – 127	(MTS_S_37642 - 4707_BARRA)	
Línea Abierta: 100 – 24	(MTS_S_76064 - MTA_L_322971)	
Línea Abierta: 338 – 221	(MTS_S_3245 - MTS_S_3246)	

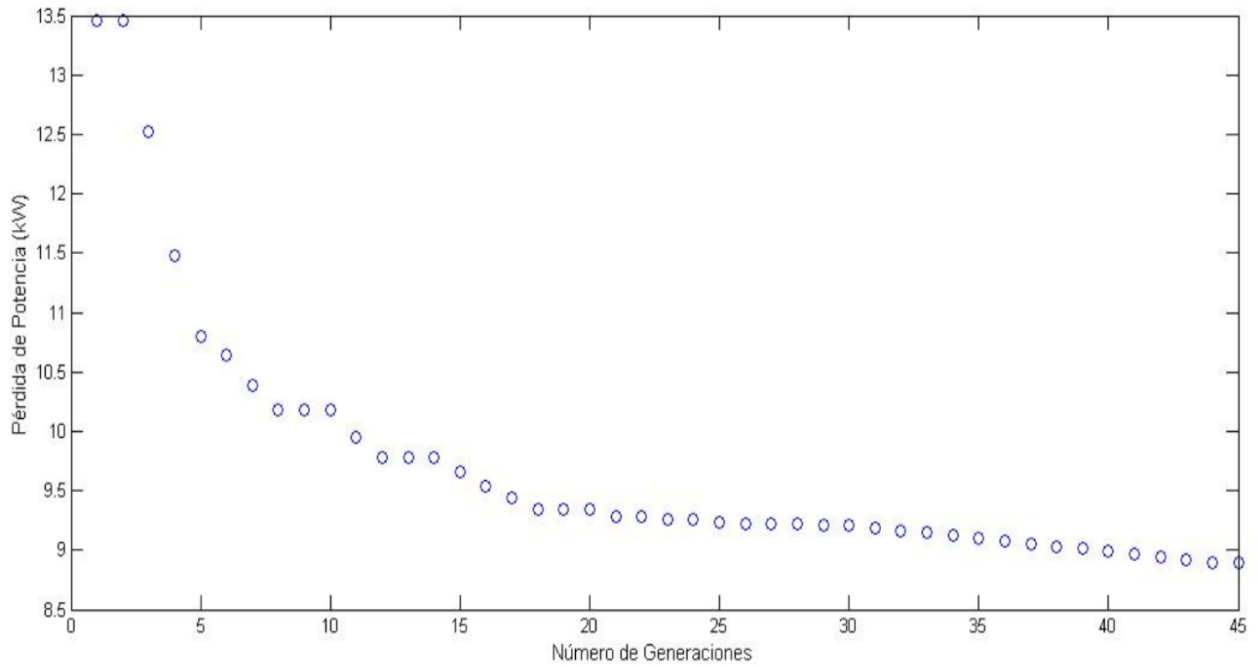


Figura 4.5.7 Proceso de convergencia del algoritmo propuesto en MATLAB.
Fuente: Elaboración propia.

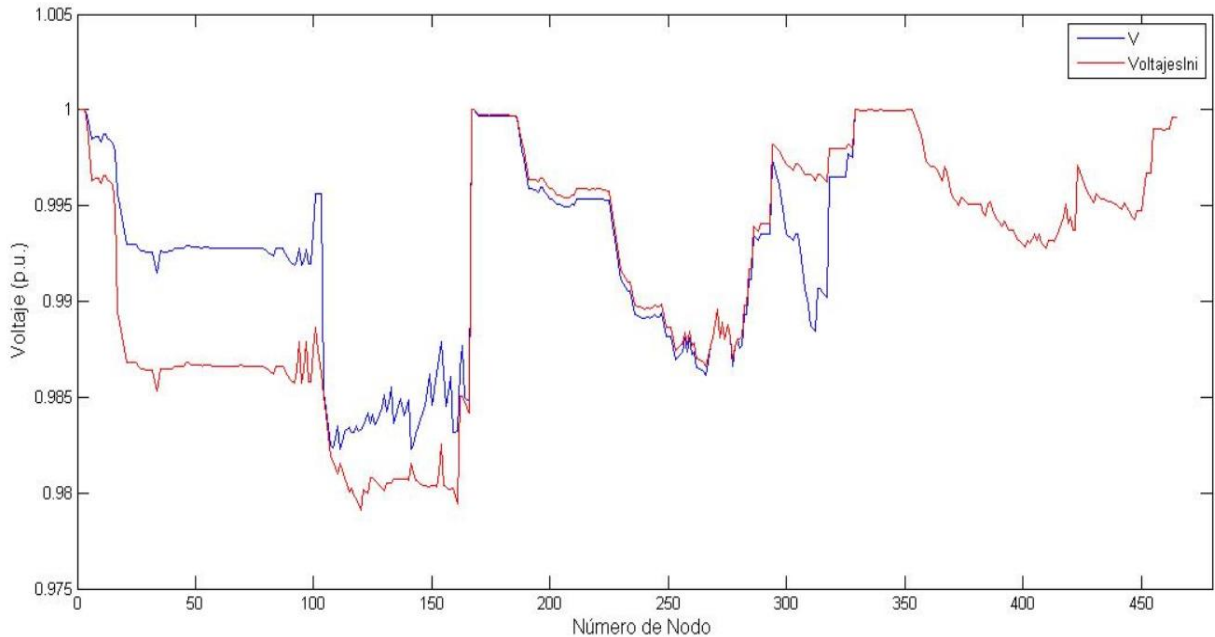


Figura 4.5.8 Magnitudes de voltaje de los alimentadores pertenecientes a la EERCS antes y después de la reconfiguración.
Fuente: Elaboración propia.



4.5.3 Caso 3: Reconfiguración entre alimentadores de dos subestaciones

4.5.3.1 Reconfiguración entre alimentadores de la S/E01 y S/E02

En esta sección se analiza la reconfiguración de la S/E01 y S/E02, cada una con tres alimentadores, pertenecientes a la Empresa Eléctrica Regional Centro Sur, cuyas características pueden ser observadas en la Tabla 6.1.8 y su configuración inicial en Anexos en la Figura 6.2.9. Las dos subestaciones que se van a reconfigurar tienen un total de 880 barras, trece líneas de enlace, una carga total de 2625.4307 kW y 603.6173 kVAr , y nueve condensadores de 50 kVAr cada uno, ubicados en los nodos 14 (MTS_S_2906), 146 (MTS_S_2945), 168 (MTS_S_3779), 298 (MTS_S_3787), 414 (MTS_S_3783), 427 (MTS_L_4082), 591 (MTS_L_3791), 612 (MTS_L_3788) y 877 (MTS_L_3793), respectivamente. Además, las pérdidas totales del sistema en su configuración inicial son de 24.8548 kW , y un voltaje mínimo de 0.97739p.u en el nodo 221 (MTS_S_3132), tal como se muestra en la Tabla 4.5.9.

Tabla 4.5.9 Resultados del análisis del caso base obtenidos en MATLAB.
Fuente: Elaboración propia.

RESULTADOS DEL CASO BASE		
Pérdidas de potencia activa: 24.8548kW		
Voltaje mínimo: 0.97739p.u.	Nodo: 221 (MTS_S_3132)	
Línea Abierta:	44 – 108	(MTS_S_37659 - 4715_BARRA)
Línea Abierta:	261 – 216	(MTS_S_3775 - MTS_L_3774)
Línea Abierta:	381 – 172	(10763_BARRA - MTS_L_37583)
Línea Abierta:	176 – 79	(MTS_S_2886 - MTS_L_2886)
Línea Abierta:	502 – 542	(MTS_S_37642 - 4707_BARRA)
Línea Abierta:	515 – 439	(MTS_S_76064 - MTA_L_322971)
Línea Abierta:	753 – 636	(MTS_S_3245 - MTS_S_3246)
Línea Abierta:	725 – 578	(MTS_S_3040 - MTS_L_3190)
Línea Abierta:	558 – 123	(4664_BARRA - MTS_L_37542)
Línea Abierta:	616 – 244	(MTS_S_4030 - MTS_L_4030)
Línea Abierta:	570 – 280	(MTS_S_4394 - MTS_L_4394)
Línea Abierta:	397 – 688	(MTS_S_2526 - MTS_L_2525)
Línea Abierta:	803 – 350	(4710_BARRA - MTS_L_3164)

Al aplicar el algoritmo de reconfiguración a las dos subestaciones se obtuvo una reducción de las pérdidas de potencia de 4.90%, mientras que el voltaje



más bajo se da en el nodo 535 (MTS_L_5488) con un valor por unidad de 0.97911. Estos resultados se obtuvieron en un tiempo computacional de 465.51 segundos y pueden ser observados en la Tabla 4.5.10. El proceso de convergencia del algoritmo y las magnitudes de voltaje en cada nodo se muestran en la Figura 4.5.9 y Figura 4.5.10, respectivamente. Adicionalmente, la nueva topología obtenida se presenta en Anexos en la Figura 6.2.10.

Tabla 4.5.10 Resultados del análisis de reconfiguración obtenido en MATLAB.
Fuente: Elaboración propia.

RESULTADOS DE LA RECONFIGURACIÓN	
Pérdidas de potencia activa: 23.6381kW	
Voltaje mínimo: 0.97911p.u.	Nodo: 535 (MTS_L_5488)
Línea Abierta:	191 – 192 (MTS_S_3127 - MTS_S_3158)
Línea Abierta:	44 – 108 (MTS_S_37659 - 4715_BARRA)
Línea Abierta:	381 – 172 (10763_BARRA - MTS_L_37583)
Línea Abierta:	176 – 79 (MTS_S_2886 - MTS_L_2886)
Línea Abierta:	502 – 542 (MTS_S_37642 - 4707_BARRA)
Línea Abierta:	515 – 439 (MTS_S_76064 - MTA_L_322971)
Línea Abierta:	753 – 636 (MTS_S_3245 - MTS_S_3246)
Línea Abierta:	725 – 578 (MTS_S_3040 - MTS_L_3190)
Línea Abierta:	558 – 123 (4664_BARRA - MTS_L_37542)
Línea Abierta:	616 – 244 (MTS_S_4030 - MTS_L_4030)
Línea Abierta:	570 – 280 (MTS_S_4394 - MTS_L_4394)
Línea Abierta:	397 – 688 (MTS_S_2526 - MTS_L_2525)
Línea Abierta:	803 – 350 (4710_BARRA - MTS_L_3164)

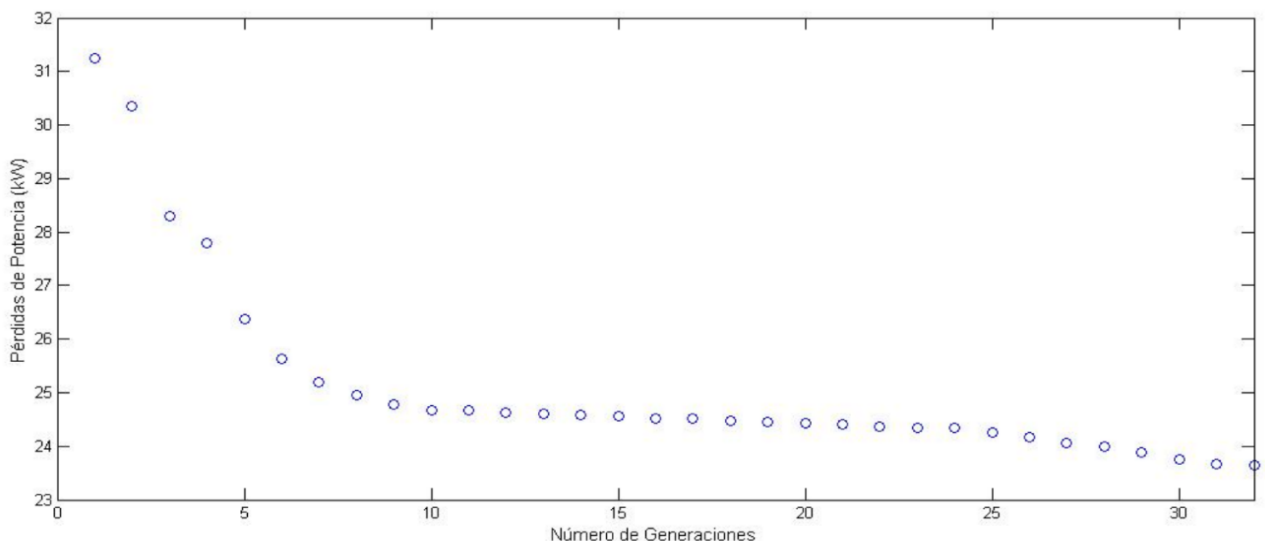


Figura 4.5.9 Proceso de convergencia del algoritmo propuesto en MATLAB.
Fuente: Elaboración propia.

UNIVERSIDAD DE CUENCA

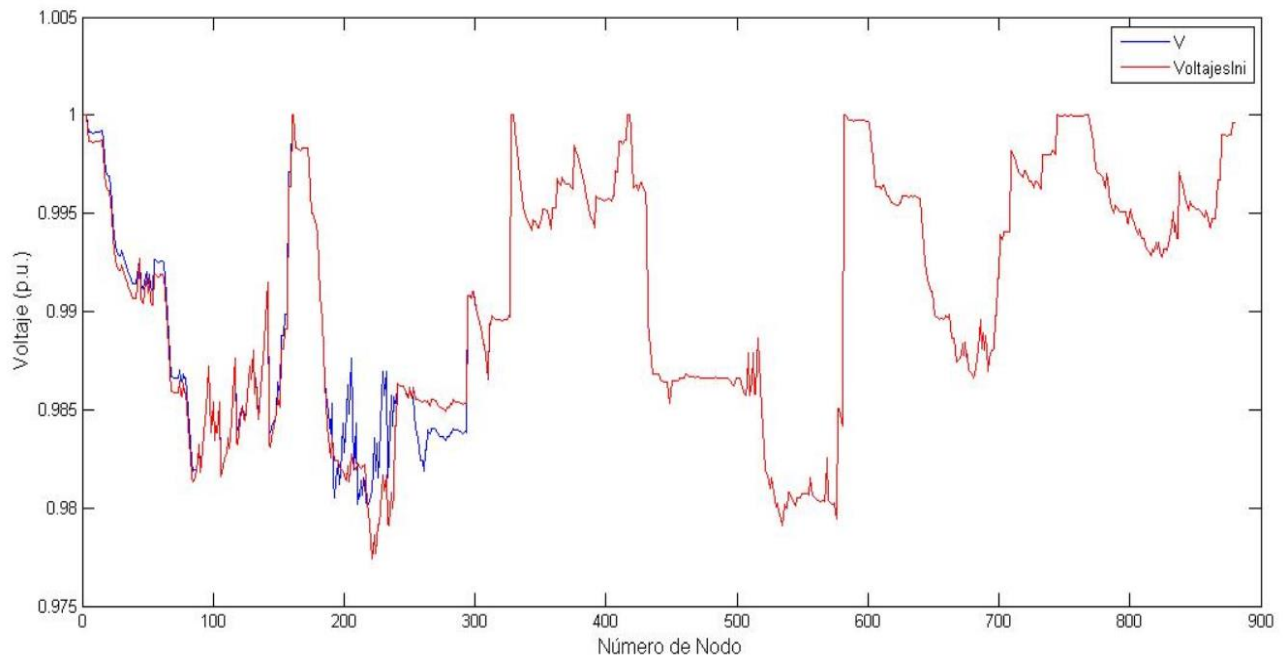


Figura 4.5.10 Magnitudes de voltaje de los alimentadores pertenecientes a la EERCS antes y después de la reconfiguración.

Fuente: Elaboración propia.



CAPITULO V: CONCLUSIONES Y RECOMENDACIONES

5.1 Conclusiones:

- Para obtener los resultados de las pérdidas de potencia y niveles de voltaje de los sistemas de distribución se implementó un algoritmo de análisis de flujo de carga (Backward/Forward), el mismo que posterior a su validación fue utilizado en el sistema de distribución de la EERCS para obtener dichos resultados. Para verificar la validez del algoritmo fue necesario utilizar los sistemas de testeo de 15, 33 y 69 barras, sin generación distribuida y con la inclusión de la misma, presentados en los trabajos de referencia. Los resultados que se obtuvieron de la aplicación del algoritmo implementado comparados con los publicados en los trabajos de referencia tuvieron una gran similitud.
- Se formuló un modelo matemático basado en la heurística de Algoritmos Genéticos capaz de reconfigurar sistemas de distribución rigiéndose en una función-objetivo, enfocada en minimizar las pérdidas de potencia, y en las restricciones operativas del sistema. El modelo propuesto fue utilizado con los sistema de testeo de 33 y 69 barras de la IEEE, sin generación distribuida y con la inclusión de la misma, con la finalidad de comparar los resultados con otras metodologías utilizadas en los trabajos de referencia. Los resultados obtenidos de la reconfiguración de los sistemas muestran que efectivamente se cumple con la minimización de las pérdidas de potencia y un mejoramiento en los niveles de voltaje; comparando estos resultados, con los trabajos de referencia, se observó que existe una gran similitud, en la topología de la red reconfigurada, en las pérdidas de potencia y en los niveles de voltaje, lo que implica la validez del método propuesto para dicho propósito.



UNIVERSIDAD DE CUENCA

- El algoritmo de reconfiguración propuesto se aplicó al sistema de distribución de la EERCS en tres casos de estudio. En el primero se analizó la reconfiguración de un alimentador, en el segundo caso se planteó el análisis para realizar la reconfiguración entre alimentadores de una misma subestación; y, por último, se analizó la reconfiguración entre dos subestaciones. Para todos los casos de estudio, las nuevas topologías obtenidas mostraron entre sus resultados una reducción de las pérdidas de potencia, niveles de voltaje dentro del $\pm 5\%$ según la regulación y la capacidad de corriente entre los límites de cada línea.
- En el primer caso de estudio, se procedió a reconfigurar el alimentador 0101 de la S/E01 en donde hubo una reducción de las pérdidas de potencia del 12.06% y un voltaje mínimo con un valor en por unidad de 0.99905; además, en el mismo caso de estudio se reconfiguró el alimentador 0201 de la S/E02 obteniendo una reducción de las pérdidas de potencia del 6.07% y un voltaje mínimo de 0.98771p.u.; en las dos situaciones se logró una mejora en el perfil de voltaje y una capacidad máxima de potencia para cada línea dentro de los límites permitidos. En el segundo caso de estudio, se plantea la reconfiguración de alimentadores de una misma subestación, reconfigurando así los alimentadores 0101, 0102 y 0103 de la SE/01 y logrando una reducción de las pérdidas de potencia del 7.95%, con el peor caso de voltaje de 0.98014p.u.; también se reconfiguraron los alimentadores 0201, 0202 y 0203 de la S/E02, teniendo como resultados una reducción de las pérdidas de potencia de 6.87% y un voltaje mínimo de 0.98228p.u.; en este caso de estudio se cumplió con la función-objetivo de minimizar las pérdidas y al mismo tiempo se obtuvo una mejora en el perfil de voltaje para las dos situaciones. En el último caso de estudio se propone reconfigurar la S/E01 y S/E02 con los alimentadores mencionados en el caso dos; los resultados obtenidos indican que la pérdida de potencia se redujo en un 4.90% y se obtuvo un voltaje mínimo de 0.97911 por unidad, logrando así también una mejora en el perfil de voltaje.



5.2 Recomendaciones:

- Se recomienda la aplicación del algoritmo como una herramienta de apoyo para realizar el análisis de la reconfiguración de sistemas de distribución, ya que es un algoritmo que se ajusta a las características de operación de la EERCS.
- Los resultados obtenidos en los casos de estudio que se planteó para EERCS muestran una disminución de pérdidas y un mejoramiento en el perfil de voltaje, cumpliendo todas las restricciones operativas, con las nuevas topologías obtenidas; por ello se recomienda la implementación de este proyecto como una herramienta de apoyo.
- El algoritmo implementado muestra varias ventajas para realizar análisis técnicos, tales como, flujo de carga y reconfiguración de sistemas de distribución con generación distribuida y sin la misma; por ello que se recomienda continuar con este proyecto reforzando el algoritmo implementado, con la finalidad de prestar un mejor servicio y un análisis completo de los sistemas distribución.



REFERENCIAS

- [1] O. Badran, S. Mekhilef, H. Mokhlis, y W. Dahalan, «Optimal reconfiguration of distribution system connected with distributed generations: A review of different methodologies», *Renew. Sustain. Energy Rev.*, vol. 73, pp. 854-867, jun. 2017.
- [2] S. Luke, *Essentials of metaheuristics: a set of undergraduate lecture notes*, Second edition, Online version 2.0. Morrisville, N.C.: lulu.com, 2013.
- [3] M. R. Cruz, S. F. Santos, D. Z. Fitiwi, y J. P. Catalão, «Coordinated distribution network reconfiguration and distributed generation allocation via genetic algorithm», en *Environment and Electrical Engineering and 2017 IEEE Industrial and Commercial Power Systems Europe (EEEIC/I&CPS Europe), 2017 IEEE International Conference on*, 2017, pp. 1–6.
- [4] S. Hayfa, K. Omar, y H. A. Hsan, «Optimal power distribution system reconfiguration using genetic algorithm», en *2015 16th International Conference on Sciences and Techniques of Automatic Control and Computer Engineering (STA)*, 2015, pp. 521-526.
- [5] R. S. Rao, K. Ravindra, K. Satish, y S. V. L. Narasimham, «Power Loss Minimization in Distribution System Using Network Reconfiguration in the Presence of Distributed Generation», *IEEE Trans. Power Syst.*, vol. 28, n.º 1, pp. 317-325, feb. 2013.
- [6] R. Benítez, G. Escudero, S. Kanaan, y D. M. Rodó, *Inteligencia artificial avanzada*. Editorial UOC, 2014.
- [7] H. A. Taha y R. Navarro Salas, *Investigación de operaciones*. Mexico, D.F.: Pearson Educación, 2015.
- [8] G. D. Eppen, Á. C. González Ruiz, y G. Sánchez García, *Investigación de operaciones en la ciencia administrativa: construcción de modelos para la toma de decisiones con hojas de cálculo electrónicas*. México: Prentice-Hall, 2000.
- [9] L. I. Dulău, M. Abrudean, y D. Bică, «Effects of Distributed Generation on Electric Power Systems», *Procedia Technol.*, vol. 12, pp. 681-686, 2014.
- [10] A. R. Abul'Wafa, «A network-topology-based load flow for radial distribution networks with composite and exponential load», *Electr. Power Syst. Res.*, vol. 91, pp. 37-43, oct. 2012.



- [11] A. Saxena y S. G. Ghosh, «Load flow analysis of radial distribution networks with reduced data preparation», PhD Thesis, 2008.
- [12] J. Izquierdo Franco, «Estudio de flujos de potencia y análisis de fallas en sistemas eléctricos de distribución radial», PhD Thesis, Universidad Autónoma de Nuevo León, 2002.
- [13] M. E. Baran y F. F. Wu, «Network reconfiguration in distribution systems for loss reduction and load balancing», *IEEE Trans. Power Deliv.*, vol. 4, n.º 2, pp. 1401-1407, abr. 1989.
- [14] M. A. Yadav, D. S. Reddy, K. S. N. Hitesh, y M. Tajuddin, «Performance Improvement of the Radial Distribution System by using Switched Capacitor Banks», *Int. J. Recent Trends Eng. Technol.*, vol. 10, n.º 2, p. 229, 2014.
- [15] R. Fan, S. Greiner, A. Jasim, W. Peng, y C. Yang, «Energy Flow in Electrical Grids», 2014.
- [16] L. Gan y S. H. Low, «An Online Gradient Algorithm for Optimal Power Flow on Radial Networks», *IEEE J. Sel. Areas Commun.*, vol. 34, n.º 3, pp. 625-638, mar. 2016.
- [17] J. Franco, L. Ochoa, y R. Romero, «AC OPF for Smart Distribution Networks: An Efficient and Robust Quadratic Approach», *IEEE Trans. Smart Grid*, pp. 1-1, 2017.
- [18] F. V. Dantas, D. Z. Fitiwi, S. F. Santos, y J. P. S. Catalão, «Dynamic reconfiguration of distribution network systems: A key flexibility option for RES integration», en *Environment and Electrical Engineering and 2017 IEEE Industrial and Commercial Power Systems Europe (EEEIC/I&CPS Europe), 2017 IEEE International Conference on*, 2017, pp. 1–6.
- [19] K. Vasudevan, K. Balaraman, y C. S. R. Atla, «Optimal switch placement for automatic reconfiguration of distribution system in presence of DGs», en *Power and Energy Systems: Towards Sustainable Energy (PESTSE), 2016 Biennial International Conference on*, 2016, pp. 1–6.
- [20] C. Lee, C. Liu, S. Mehrotra, y Z. Bie, «Robust Distribution Network Reconfiguration», *IEEE Trans. Smart Grid*, vol. 6, n.º 2, pp. 836-842, mar. 2015.
- [21] A. Tiguercha, A. A. Ladjici, y M. Boudour, «Optimal radial distribution network reconfiguration based on multi objective differential evolution algorithm», en *PowerTech, 2017 IEEE Manchester*, 2017, pp. 1–6.



UNIVERSIDAD DE CUENCA

- [22] H. Manafi, N. Ghadimi, M. Ojaroudi, y P. Farhadi, «Optimal Placement of Distributed Generations in Radial Distribution Systems Using Various PSO and DE Algorithms», *Electron. Electr. Eng.*, vol. 19, n.º 10, dic. 2013.
- [23] M. Gestal, Universidade da Coruña, y Servizo de Publicacións, *Introducción a los algoritmos genéticos y la programación genética*. Corunya: Universidade da Coruña. Servizo de Publicacións, 2010.
- [24] S. A. Taher y M. H. Karimi, «Optimal reconfiguration and DG allocation in balanced and unbalanced distribution systems», *Ain Shams Eng. J.*, vol. 5, n.º 3, pp. 735-749, sep. 2014.



ANEXOS

6.1 Datos de sistemas de prueba.

6.1.1 Sistema de 15 Barras

*Tabla 6.1.1 Datos del sistema de prueba - 15B
Fuente: [10]*

Rama N°	Barra de envío	Barra receptora	R(p.u.)	X(p.u.)	P(p.u.) - Barra r.	Q(p.u.) - Barra r.
1	1	2	1,1183	1,0938	0,0004	0,0004
2	2	3	0,9671	0,9460	0,0007	0,0007
3	3	4	0,6951	0,6799	0,0014	0,0014
4	4	5	1,2591	0,8493	0,0004	0,0004
5	2	6	2,1134	1,4255	0,0014	0,0014
6	6	7	0,8993	0,6392	0,0014	0,0014
7	6	8	1,0342	0,6976	0,0007	0,0007
8	2	9	1,6638	1,1222	0,0007	0,0007
9	9	10	1,3940	0,9402	0,0004	0,0004
10	3	11	1,4839	1,0008	0,0014	0,0014
11	11	12	2,0235	1,3649	0,0007	0,0007
12	12	13	1,6638	1,1222	0,0004	0,0004
13	4	14	1,8436	1,2436	0,0007	0,0007
14	4	15	0,9893	0,6673	0,0014	0,0014

Valores base: 11kV y 100MVA



6.1.2 Sistema de 33 Barras

Tabla 6.1.2 Datos del sistema de prueba - 33B

Fuente: [11]

Rama N°	Barra de envío	Barra receptoría	R(Ω)	X(Ω)	P(kW) – Barra r.	Q(kVAr) – Barra r.
1	1	2	0.0922	0.0470	100.0000	60.0000
2	2	3	0.4930	0.2511	90.0000	40.0000
3	3	4	0.3660	0.1864	120.0000	80.0000
4	4	5	0.3811	0.1941	60.0000	30.0000
5	5	6	0.8190	0.7070	60.0000	20.0000
6	6	7	0.1872	0.6188	200.0000	100.0000
7	7	8	0.7114	0.2351	200.0000	100.0000
8	8	9	1.0300	0.7400	60.0000	20.0000
9	9	10	1.0440	0.7400	60.0000	20.0000
10	10	11	0.1966	0.0650	45.0000	30.0000
11	11	12	0.3744	0.1238	60.0000	35.0000
12	12	13	1.4680	1.1550	60.0000	35.0000
13	13	14	0.5416	0.7129	120.0000	80.0000
14	14	15	0.5910	0.5260	60.0000	10.0000
15	15	16	0.7463	0.5450	60.0000	20.0000
16	16	17	1.2890	1.7210	60.0000	20.0000
17	17	18	0.7320	0.5740	90.0000	40.0000
18	2	19	0.1640	0.1565	90.0000	40.0000
19	19	20	1.5042	1.3554	90.0000	40.0000
20	20	21	0.4095	0.4784	90.0000	40.0000
21	21	22	0.7089	0.9373	90.0000	40.0000
22	3	23	0.4512	0.3083	90.0000	50.0000
23	23	24	0.8980	0.7091	420.0000	200.0000
24	24	25	0.8960	0.7011	420.0000	200.0000
25	6	26	0.2031	0.1034	60.0000	25.0000
26	26	27	0.2842	0.1447	60.0000	25.0000
27	27	28	1.0590	0.9337	60.0000	20.0000
28	28	29	0.8042	0.7006	120.0000	70.0000
29	29	30	0.5075	0.2585	200.0000	600.0000
30	30	31	0.9744	0.9630	150.0000	70.0000
31	31	32	0.3105	0.3619	210.0000	100.0000
32	32	33	0.3410	0.5302	60.0000	40.0000
33	8	21	2.0000	2.0000		
34	9	15	2.0000	2.0000		
35	12	22	2.0000	2.0000		
36	18	33	0.5000	0.5000		
37	25	29	0.5000	0.5000		

Valores base: 12.66kV y 100MVA



6.1.3 Sistema de 69 Barras

Tabla 6.1.3 Datos del sistema de prueba - 69B

Fuente: [11]

Rama N°	Barra de envío	Barra receptoría	R(Ω)	X(Ω)	P(kW) – Barra r.	Q(kVAr) – Barra r.
1	1	2	0.0005	0.0012	0.0000	0.0000
2	2	3	0.0005	0.0012	0.0000	0.0000
3	3	4	0.0015	0.0036	0.0000	0.0000
4	4	5	0.0251	0.0294	0.0000	0.0000
5	5	6	0.3660	0.1864	2.6000	2.2000
6	6	7	0.3811	0.1941	40.4000	30.0000
7	7	8	0.0922	0.0470	75.0000	54.0000
8	8	9	0.0493	0.0251	30.0000	22.0000
9	9	10	0.8190	0.2707	28.0000	19.0000
10	10	11	0.1872	0.0619	145.0000	104.0000
11	11	12	0.7114	0.2351	145.0000	104.0000
12	12	13	1.0300	0.3400	8.0000	5.5000
13	13	14	1.0440	0.3450	8.0000	5.5000
14	14	15	1.0580	0.3496	0.0000	0.0000
15	15	16	0.1966	0.0650	45.5000	30.0000
16	16	17	0.3744	0.1238	60.0000	35.0000
17	17	18	0.0047	0.0016	60.0000	35.0000
18	18	19	0.3276	0.1083	0.0000	0.0000
19	19	20	0.2106	0.0696	1.0000	0.6000
20	20	21	0.3416	0.1129	114.0000	81.0000
21	21	22	0.0140	0.0046	5.5000	3.5000
22	22	23	0.1591	0.0526	0.0000	0.0000
23	23	24	0.3463	0.1145	28.0000	20.0000
24	24	25	0.7488	0.2475	0.0000	0.0000
25	25	26	0.3089	0.1021	14.0000	10.0000
26	26	27	0.1732	0.0572	14.0000	10.0000
27	3	28	0.0044	0.0108	26.0000	18.6000
28	28	29	0.0640	0.1565	26.0000	18.6000
29	29	30	0.3978	0.1315	0.0000	0.0000
30	30	31	0.0702	0.0232	0.0000	0.0000
31	31	32	0.3510	0.1160	0.0000	0.0000
32	32	33	0.8390	0.2816	14.0000	10.0000
33	33	34	1.7080	0.5646	19.5000	14.0000
34	34	35	1.4740	0.4873	6.0000	4.0000
35	4	36	0.0034	0.0084	0.0000	0.0000
36	36	37	0.0851	0.2083	79.0000	56.4000
37	37	38	0.2898	0.0791	384.7000	274.5000
38	38	39	0.0822	0.0211	384.7000	274.5000
39	8	40	0.0928	0.0473	40.5000	28.3000
40	40	41	0.3319	0.1114	3.6000	3.7000
41	9	42	0.1740	0.0886	4.3500	3.5000
42	42	43	0.2030	0.1034	26.4000	19.0000
43	43	44	0.2842	0.1447	24.0000	17.2000
44	44	45	0.2813	0.1433	0.0000	0.0000
45	45	46	1.5900	0.5337	0.0000	0.0000
46	46	47	0.7837	0.2630	0.0000	0.0000
47	47	48	0.3042	0.1006	100.0000	72.0000
48	48	49	0.3861	0.1172	0.0000	0.0000
49	49	50	0.5075	0.2585	1244.0000	888.0000
50	50	51	0.0974	0.0496	32.0000	23.0000
51	51	52	0.1450	0.0738	0.0000	0.0000
52	52	53	0.7105	0.3619	227.0000	162.0000
53	53	54	1.0410	0.5302	59.0000	42.0000



UNIVERSIDAD DE CUENCA

54	11	55	0.2012	0.0611	18.0000	13.0000
55	55	56	0.0047	0.0014	18.0000	13.0000
56	12	57	0.7394	0.2444	28.0000	20.0000
57	57	58	0.0047	0.0016	28.0000	20.0000
58	3	59	0.0044	0.0108	26.0000	18.5500
59	59	60	0.0640	0.1565	26.0000	18.5500
60	60	61	0.1053	0.1230	0.0000	0.0000
61	61	62	0.0304	0.0355	24.0000	17.0000
62	62	63	0.0018	0.0021	24.0000	17.0000
63	63	64	0.7283	0.8509	1.2000	1.0000
64	64	65	0.3100	0.3623	0.0000	0.0000
65	65	66	0.0410	0.0478	6.0000	4.3000
66	66	67	0.0092	0.0116	0.0000	0.0000
67	67	68	0.1089	0.1373	39.2200	26.3000
68	68	69	0.0009	0.0012	39.2200	26.3000
69	11	66	0.5000	0.5000		
70	13	21	0.5000	0.5000		
71	15	69	1.0000	0.5000		
72	39	48	2.0000	1.0000		
73	27	54	1.0000	0.5000		

Valores base: 12.66kV y 100MVA



UNIVERSIDAD DE CUENCA

6.1.4 Alimentador 0101

Tabla 6.1.4 Datos del alimentador 0101 perteneciente a la EERCS

Fuente: Elaboración propia

Rama N°	Barra de envío	Barra receptoría	R(Ω)	X(Ω)	P(kW) – Barra r.	Q(kVAr) – Barra r.	Pg(kW) – Barra r.	Qg(kVAr) – Barra r.
1	1	2	0.0000	0.0000	0.0000	0.0000	0.0000	0.0000
2	1	3	0.0000	0.0000	0.0000	0.0000	0.0000	0.0000
3	3	4	0.0300	0.0299	0.0000	0.0000	0.0000	0.0000
4	4	5	0.0305	0.0304	0.0000	0.0000	0.0000	0.0000
5	5	6	0.0308	0.0307	0.0000	0.0000	0.0000	0.0000
6	6	7	0.0309	0.0309	0.0000	0.0000	0.0000	0.0000
7	7	8	0.1073	0.0599	0.0000	0.0000	0.0000	0.0000
8	8	9	0.1080	0.0603	18.0200	5.3300	0.0000	0.0000
9	5	10	0.0305	0.0305	0.0000	0.0000	0.0000	0.0000
10	10	11	0.0307	0.0306	0.0000	0.0000	0.0000	0.0000
11	11	12	0.0308	0.0308	0.0000	0.0000	0.0000	0.0000
12	12	13	0.0309	0.0308	39.7700	11.7700	0.0000	0.0000
13	12	14	0.0310	0.0309	0.0000	0.0000	0.0000	50.0000
14	14	15	0.0310	0.0310	0.0000	0.0000	0.0000	0.0000
15	5	16	0.0308	0.0307	0.0000	0.0000	0.0000	0.0000
16	16	17	0.0617	0.0616	0.0000	0.0000	0.0000	0.0000
17	17	18	0.0618	0.0617	0.0000	0.0000	0.0000	0.0000
18	18	19	0.0620	0.0618	0.0000	0.0000	0.0000	0.0000
19	19	20	0.0620	0.0619	0.0000	0.0000	0.0000	0.0000
20	20	21	0.0621	0.0620	46.7700	13.8400	0.0000	0.0000
21	18	22	0.0620	0.0619	0.0000	0.0000	0.0000	0.0000
22	22	23	0.0678	0.0677	0.0000	0.0000	0.0000	0.0000
23	23	24	0.0973	0.0971	0.0000	0.0000	0.0000	0.0000
24	24	25	0.0973	0.0971	0.0000	0.0000	0.0000	0.0000
25	25	26	0.0975	0.0973	0.0000	0.0000	0.0000	0.0000
26	26	27	0.0976	0.0974	0.0000	0.0000	0.0000	0.0000
27	27	28	0.0976	0.0975	0.0000	0.0000	0.0000	0.0000
28	28	29	0.0977	0.0975	50.7500	15.0200	0.0000	0.0000
29	25	30	0.0974	0.0972	0.0000	0.0000	0.0000	0.0000
30	30	31	0.0975	0.0973	0.0000	0.0000	0.0000	0.0000
31	31	32	0.0976	0.0975	0.0000	0.0000	0.0000	0.0000
32	32	33	0.0985	0.0983	0.0000	0.0000	0.0000	0.0000
33	33	34	0.1004	0.1002	0.0000	0.0000	0.0000	0.0000
34	34	35	0.1145	0.1143	0.0000	0.0000	0.0000	0.0000
35	35	36	0.1163	0.1161	0.0000	0.0000	0.0000	0.0000
36	36	37	0.1290	0.1288	0.0000	0.0000	0.0000	0.0000
37	37	38	0.1290	0.1288	0.0000	0.0000	0.0000	0.0000
38	38	39	0.1293	0.1290	0.0000	0.0000	0.0000	0.0000
39	39	40	0.1293	0.1291	0.0000	0.0000	0.0000	0.0000
40	40	41	0.1625	0.1622	0.0000	0.0000	0.0000	0.0000
41	41	42	0.1649	0.1646	0.0000	0.0000	0.0000	0.0000
42	42	43	0.1671	0.1668	0.0000	0.0000	0.0000	0.0000
43	43	44	0.1672	0.1669	0.0000	0.0000	0.0000	0.0000
44	38	45	0.1291	0.1289	0.0000	0.0000	0.0000	0.0000
45	45	46	0.1292	0.1290	0.0000	0.0000	0.0000	0.0000
46	46	47	0.3069	0.1714	0.0000	0.0000	0.0000	0.0000
47	47	48	0.3071	0.1716	0.0000	0.0000	0.0000	0.0000
48	48	49	0.3074	0.1717	0.0400	0.0100	0.0000	0.0000
49	47	50	0.3083	0.1722	0.0000	0.0000	0.0000	0.0000
50	50	51	0.3086	0.1724	15.8300	4.6800	0.0000	0.0000
51	38	52	0.1293	0.1290	0.0000	0.0000	0.0000	0.0000
52	52	53	0.1293	0.1291	0.0000	0.0000	0.0000	0.0000



UNIVERSIDAD DE CUENCA

53	53	54	0.1294	0.1292	39.7800	11.7700	0.0000	0.0000
54	32	55	0.2143	0.1197	0.0000	0.0000	0.0000	0.0000
55	55	56	0.2663	0.1488	0.0000	0.0000	0.0000	0.0000
56	56	57	0.2940	0.1642	0.0000	0.0000	0.0000	0.0000
57	57	58	0.2982	0.1666	0.0000	0.0000	0.0000	0.0000
58	58	59	0.1361	0.1359	5.1400	1.5200	0.0000	0.0000
59	56	60	0.1215	0.1212	0.0000	0.0000	0.0000	0.0000
60	60	61	0.1215	0.1213	1.4600	0.4300	0.0000	0.0000
61	25	62	0.0975	0.0973	0.0000	0.0000	0.0000	0.0000
62	62	63	0.0995	0.0993	0.0000	0.0000	0.0000	0.0000
63	63	64	0.1150	0.1148	0.0000	0.0000	0.0000	0.0000
64	64	65	0.1165	0.1163	0.0000	0.0000	0.0000	0.0000
65	65	66	0.1329	0.1327	0.0000	0.0000	0.0000	0.0000
66	66	67	0.1336	0.1334	0.0000	0.0000	0.0000	0.0000
67	67	68	0.1336	0.1334	0.0000	0.0000	0.0000	0.0000
68	68	69	0.1337	0.1335	0.0000	0.0000	0.0000	0.0000
69	69	70	0.1338	0.1335	0.0000	0.0000	0.0000	0.0000
70	70	71	0.1340	0.1338	0.0000	0.0000	0.0000	0.0000
71	71	72	0.2940	0.1642	0.0000	0.0000	0.0000	0.0000
72	72	73	0.3566	0.1992	0.0000	0.0000	0.0000	0.0000
73	73	74	0.3568	0.1993	0.5400	0.1600	0.0000	0.0000
74	71	75	0.5753	0.1801	0.0000	0.0000	0.0000	0.0000
75	75	76	0.6530	0.2044	0.0000	0.0000	0.0000	0.0000
76	76	77	0.6535	0.2046	5.3000	1.5700	0.0000	0.0000
77	71	78	0.1341	0.1338	0.0000	0.0000	0.0000	0.0000
78	78	79	0.1734	0.1731	0.0000	0.0000	0.0000	0.0000
79	68	80	0.1337	0.1335	0.0000	0.0000	0.0000	0.0000
80	80	81	0.1617	0.1614	0.0000	0.0000	0.0000	0.0000
81	81	82	0.1618	0.1615	0.0000	0.0000	0.0000	0.0000
82	82	83	0.1618	0.1615	0.0000	0.0000	0.0000	0.0000
83	83	84	0.2064	0.2061	0.0000	0.0000	0.0000	0.0000
84	84	85	0.2065	0.2061	0.0000	0.0000	0.0000	0.0000
85	85	86	0.2065	0.2062	0.0000	0.0000	0.0000	0.0000
86	86	87	0.2066	0.2062	0.0000	0.0000	0.0000	0.0000
87	87	88	0.2066	0.2063	0.0000	0.0000	0.0000	0.0000
88	88	89	0.2067	0.2063	54.1300	16.0200	0.0000	0.0000
89	85	90	0.2065	0.2061	0.0000	0.0000	0.0000	0.0000
90	90	91	0.2066	0.2062	0.0000	0.0000	0.0000	0.0000
91	91	92	0.2068	0.2064	0.0000	0.0000	0.0000	0.0000
92	93	92	0.3368	0.2286	0.0000	0.0000	0.0000	0.0000
93	94	93	0.3418	0.2321	0.0000	0.0000	0.0000	0.0000
94	95	94	1.0267	0.3214	0.0000	0.0000	0.0000	0.0000
95	95	96	1.0270	0.3214	0.0000	0.0000	0.0000	0.0000
96	96	97	1.0272	0.3215	6.2500	1.8500	0.0000	0.0000
97	92	98	0.8877	0.2778	0.0000	0.0000	0.0000	0.0000
98	98	99	0.9774	0.3059	0.0000	0.0000	0.0000	0.0000
99	99	100	0.9799	0.3067	0.2700	0.0800	0.0000	0.0000
100	92	101	0.9700	0.3036	0.0000	0.0000	0.0000	0.0000
101	101	102	0.2262	0.2257	16.8400	4.9800	0.0000	0.0000
102	92	103	0.8878	0.2779	0.0000	0.0000	0.0000	0.0000
103	103	104	0.9809	0.3070	0.0000	0.0000	0.0000	0.0000
104	104	105	0.2287	0.2283	0.5000	0.1500	0.0000	0.0000
105	85	106	0.2066	0.2062	0.0000	0.0000	0.0000	0.0000
106	106	107	0.2343	0.2339	0.0000	0.0000	0.0000	0.0000
107	107	108	0.2344	0.2339	0.0000	0.0000	0.0000	0.0000
108	108	109	0.2346	0.2341	0.0000	0.0000	0.0000	0.0000
109	109	110	0.2347	0.2343	0.0000	0.0000	0.0000	0.0000
110	110	111	0.2348	0.2344	60.7600	17.9800	0.0000	0.0000
111	108	112	0.2345	0.2341	0.0000	0.0000	0.0000	0.0000
112	112	113	0.2346	0.2342	0.0000	0.0000	0.0000	0.0000
113	113	114	0.5196	0.2902	0.0000	0.0000	0.0000	0.0000
114	114	115	0.5250	0.2933	0.0000	0.0000	0.0000	0.0000
115	115	116	0.5410	0.3022	0.0000	0.0000	0.0000	0.0000



UNIVERSIDAD DE CUENCA

116	116	117	0.2468	0.2464	0.1100	0.0300	0.0000	0.0000
117	82	118	0.1619	0.1616	0.0000	0.0000	0.0000	0.0000
118	118	119	0.1619	0.1616	0.0000	0.0000	0.0000	0.0000
119	119	120	0.1622	0.1619	0.0000	0.0000	0.0000	0.0000
120	120	121	0.3916	0.2187	0.0000	0.0000	0.0000	0.0000
121	121	122	0.1787	0.1784	0.7200	0.2100	0.0000	0.0000
122	120	123	0.2126	0.2122	0.0000	0.0000	0.0000	0.0000
123	120	124	0.4368	0.2440	0.0000	0.0000	0.0000	0.0000
124	124	125	0.5565	0.2339	0.0000	0.0000	0.0000	0.0000
125	125	126	0.5898	0.2479	0.0000	0.0000	0.0000	0.0000
126	126	127	0.2174	0.2170	0.0000	0.0000	0.0000	0.0000
127	127	128	0.2174	0.2170	4.7800	1.4200	0.0000	0.0000
128	126	129	0.5992	0.2519	0.0000	0.0000	0.0000	0.0000
129	129	130	0.6433	0.2704	0.0000	0.0000	0.0000	0.0000
130	130	131	0.2373	0.2369	1.6200	0.4800	0.0000	0.0000
131	125	132	0.5601	0.2354	0.0000	0.0000	0.0000	0.0000
132	132	133	0.2066	0.2062	1.0700	0.3200	0.0000	0.0000
133	120	134	0.6978	0.2184	0.0000	0.0000	0.0000	0.0000
134	134	135	0.7012	0.2195	0.0000	0.0000	0.0000	0.0000
135	135	136	0.7097	0.2221	0.0000	0.0000	0.0000	0.0000
136	136	137	0.7230	0.2263	0.0000	0.0000	0.0000	0.0000
137	137	138	0.7301	0.2285	0.0000	0.0000	0.0000	0.0000
138	138	139	0.7653	0.2395	0.0000	0.0000	0.0000	0.0000
139	139	140	0.7662	0.2398	0.0000	0.0000	0.0000	0.0000
140	140	141	0.7665	0.2399	0.0000	0.0000	0.0000	0.0000
141	141	142	0.7668	0.2400	0.0300	0.0100	0.0000	0.0000
142	82	143	0.1619	0.1616	0.0000	0.0000	0.0000	0.0000
143	143	144	0.1620	0.1617	0.0000	0.0000	0.0000	0.0000
144	144	145	0.1620	0.1617	0.0000	0.0000	0.0000	0.0000
145	145	146	0.1620	0.1617	0.0000	0.0000	0.0000	50.0000
146	146	147	0.1621	0.1618	61.8400	18.3000	0.0000	0.0000
147	146	148	0.1621	0.1618	0.0000	0.0000	0.0000	0.0000
148	68	149	0.1338	0.1336	0.0000	0.0000	0.0000	0.0000
149	149	150	0.1338	0.1336	0.0000	0.0000	0.0000	0.0000
150	150	151	0.1339	0.1337	62.9800	18.6400	0.0000	0.0000
151	66	152	0.5723	0.1308	0.0000	0.0000	0.0000	0.0000
152	152	153	0.5725	0.1309	0.0000	0.0000	0.0000	0.0000
153	153	154	0.5727	0.1309	0.0000	0.0000	0.0000	0.0000
154	65	155	0.1587	0.1003	0.0000	0.0000	0.0000	0.0000
155	155	156	0.5194	0.1187	0.0000	0.0000	0.0000	0.0000
156	156	157	0.5196	0.1188	0.0000	0.0000	0.0000	0.0000
157	18	158	0.0619	0.0618	0.0000	0.0000	0.0000	0.0000
158	158	159	0.0619	0.0618	0.0000	0.0000	0.0000	0.0000
159	44	108	0.2346	0.2342				

Valores base: 6.3kV y 100MVA



UNIVERSIDAD DE CUENCA

6.1.5 Alimentador 0201

Tabla 6.1.5 Datos del alimentador 0201 perteneciente a la EERCS

Fuente: Elaboración propia

Rama N°	Barra de envío	Barra receptoría	R(Ω)	X(Ω)	P(kW) – Barra r.	Q(kVAr) – Barra r.	Pg(kW) – Barra r.	Qg(kVAr) – Barra r.
1	1	2	0.0000	0.0000	0.0000	0.0000	0.0000	0.0000
2	1	3	0.0001	0.0001	0.0000	0.0000	0.0000	0.0000
3	3	4	0.0662	0.0660	0.0000	0.0000	0.0000	0.0000
4	4	5	0.1309	0.1307	0.0000	0.0000	0.0000	0.0000
5	5	6	0.1309	0.1307	0.0000	0.0000	0.0000	0.0000
6	6	7	0.1310	0.1307	0.0000	0.0000	0.0000	0.0000
7	7	8	0.1310	0.1308	0.0000	0.0000	0.0000	0.0000
8	8	9	0.3560	0.1497	0.0000	0.0000	0.0000	0.0000
9	9	10	0.3561	0.1497	22.1206	7.6511	0.0000	0.0000
10	9	11	0.1313	0.1310	0.0000	0.0000	0.0000	50.0000
11	11	12	0.1313	0.1311	0.0000	0.0000	0.0000	0.0000
12	6	13	0.1309	0.1307	0.0000	0.0000	0.0000	0.0000
13	13	14	0.1310	0.1308	0.0000	0.0000	0.0000	0.0000
14	14	15	0.5884	0.1842	7.8643	2.7201	0.0000	0.0000
15	6	16	0.1310	0.1307	0.0000	0.0000	0.0000	0.0000
16	16	17	0.5621	0.1759	0.0000	0.0000	0.0000	0.0000
17	17	18	0.1310	0.1307	0.0000	0.0000	0.0000	0.0000
18	18	19	0.1385	0.1383	0.0000	0.0000	0.0000	0.0000
19	19	20	0.1391	0.1389	0.0000	0.0000	0.0000	0.0000
20	20	21	0.1393	0.1390	0.0000	0.0000	0.0000	0.0000
21	21	22	0.0006	0.0005	0.0000	0.0000	0.0000	0.0000
22	22	23	0.0006	0.0005	0.0000	0.0000	0.0000	0.0000
23	23	24	0.0006	0.0005	0.0000	0.0000	0.0000	0.0000
24	22	25	0.0067	0.0064	0.0000	0.0000	0.0000	0.0000
25	25	26	0.0680	0.0649	0.0000	0.0000	0.0000	0.0000
26	26	27	0.0490	0.0468	0.0000	0.0000	0.0000	0.0000
27	27	28	0.0214	0.0204	0.0000	0.0000	0.0000	0.0000
28	28	29	0.0497	0.0475	0.0000	0.0000	0.0000	0.0000
29	29	30	0.0285	0.0272	0.0000	0.0000	0.0000	0.0000
30	29	31	0.8263	0.2586	0.0000	0.0000	0.0000	0.0000
31	31	32	0.8264	0.2587	0.0000	0.0000	0.0000	0.0000
32	29	33	0.5311	0.2232	0.0000	0.0000	0.0000	0.0000
33	33	34	0.5319	0.2236	34.9678	12.0947	0.0000	0.0000
34	28	35	0.0361	0.0219	0.0000	0.0000	0.0000	0.0000
35	35	36	0.0375	0.0228	0.0000	0.0000	0.0000	0.0000
36	36	37	0.0002	0.0001	0.0000	0.0000	0.0000	0.0000
37	37	38	0.0002	0.0001	10.0694	3.4828	0.0000	0.0000
38	27	39	0.0001	0.0001	0.0000	0.0000	0.0000	0.0000
39	39	40	0.0001	0.0001	28.1611	9.7404	0.0000	0.0000
40	26	41	0.0079	0.0093	0.0000	0.0000	0.0000	0.0000
41	41	42	0.0001	0.0002	0.0000	0.0000	0.0000	0.0000
42	42	43	0.2396	0.1627	0.0000	0.0000	0.0000	0.0000
43	43	44	0.1803	0.1800	0.0000	0.0000	0.0000	0.0000
44	44	45	0.2679	0.1819	0.0000	0.0000	0.0000	0.0000
45	25	46	0.0089	0.0085	0.0000	0.0000	0.0000	0.0000
46	46	47	0.0002	0.0002	12.3991	4.2886	0.0000	0.0000
47	25	48	0.0435	0.0416	0.0000	0.0000	0.0000	0.0000
48	48	49	0.0640	0.0611	0.0000	0.0000	0.0000	0.0000
49	49	50	0.0001	0.0001	0.0000	0.0000	0.0000	0.0000
50	50	51	0.0001	0.0001	16.4152	5.6777	0.0000	0.0000
51	49	52	0.3755	0.1918	0.0000	0.0000	0.0000	0.0000
52	52	53	0.3756	0.1918	1.7894	0.6189	0.0000	0.0000



UNIVERSIDAD DE CUENCA

53	48	54	0.0077	0.0074	0.0000	0.0000	0.0000	0.0000
54	48	55	0.0438	0.0418	0.0000	0.0000	0.0000	0.0000
55	55	56	0.0076	0.0073	0.0000	0.0000	0.0000	0.0000
56	56	57	0.0146	0.0139	0.0000	0.0000	0.0000	0.0000
57	57	58	0.0140	0.0134	0.0000	0.0000	0.0000	0.0000
58	58	59	0.0172	0.0164	0.0000	0.0000	0.0000	0.0000
59	59	60	0.0048	0.0045	0.0000	0.0000	0.0000	0.0000
60	60	61	0.0145	0.0139	0.0000	0.0000	0.0000	0.0000
61	61	62	0.0002	0.0002	0.0000	0.0000	0.0000	0.0000
62	62	63	0.0002	0.0002	6.0127	2.0797	0.0000	0.0000
63	59	64	0.0126	0.0120	0.0000	0.0000	0.0000	0.0000
64	64	65	0.0002	0.0002	0.0000	0.0000	0.0000	0.0000
65	65	66	0.0002	0.0002	3.1214	1.0796	0.0000	0.0000
66	59	67	0.0088	0.0084	0.0000	0.0000	0.0000	0.0000
67	57	68	0.0002	0.0002	0.0000	0.0000	0.0000	0.0000
68	68	69	0.0002	0.0002	3.2266	1.1160	0.0000	0.0000
69	55	70	0.0153	0.0146	0.0000	0.0000	0.0000	0.0000
70	70	71	0.0002	0.0002	0.0000	0.0000	0.0000	0.0000
71	71	72	0.0002	0.0002	6.7154	2.3227	0.0000	0.0000
72	70	73	0.0522	0.0498	0.0000	0.0000	0.0000	0.0000
73	73	74	0.0131	0.0126	0.0000	0.0000	0.0000	0.0000
74	73	75	0.0120	0.0115	0.0000	0.0000	0.0000	0.0000
75	75	76	0.0240	0.0229	0.0000	0.0000	0.0000	0.0000
76	76	77	0.0002	0.0002	0.0000	0.0000	0.0000	0.0000
77	77	78	0.0002	0.0002	4.8791	1.6876	0.0000	0.0000
78	75	79	0.7896	0.2472	0.0000	0.0000	0.0000	0.0000
79	79	80	0.7907	0.2475	0.0000	0.0000	0.0000	0.0000
80	80	81	0.8133	0.2546	0.0000	0.0000	0.0000	0.0000
81	81	82	0.8134	0.2546	0.0000	0.0000	0.0000	0.0000
82	82	83	0.8136	0.2547	3.4152	1.1813	0.0000	0.0000
83	73	84	0.0148	0.0141	0.0000	0.0000	0.0000	0.0000
84	84	85	0.1846	0.1843	0.0000	0.0000	0.0000	0.0000
85	85	86	0.2429	0.2425	0.0000	0.0000	0.0000	0.0000
86	86	87	0.2430	0.2425	0.0000	0.0000	0.0000	0.0000
87	84	88	0.7929	0.2482	0.0000	0.0000	0.0000	0.0000
88	88	89	0.7937	0.2484	0.0000	0.0000	0.0000	0.0000
89	89	90	0.8056	0.2522	0.0000	0.0000	0.0000	0.0000
90	90	91	0.8345	0.2612	0.0000	0.0000	0.0000	0.0000
91	91	92	0.8639	0.2704	0.0000	0.0000	0.0000	0.0000
92	92	93	0.8641	0.2705	0.0000	0.0000	0.0000	0.0000
93	93	94	0.0003	0.0002	2.5234	0.8728	0.0000	0.0000
94	91	95	0.8450	0.2645	0.0000	0.0000	0.0000	0.0000
95	95	96	0.8452	0.2645	0.0000	0.0000	0.0000	0.0000
96	96	97	0.0003	0.0002	2.9204	1.0101	0.0000	0.0000
97	90	98	0.8058	0.2522	0.0000	0.0000	0.0000	0.0000
98	98	99	0.0003	0.0002	4.6340	1.6028	0.0000	0.0000
99	20	100	0.1393	0.1390	0.0000	0.0000	0.0000	0.0000
100	17	101	0.1310	0.1307	0.0000	0.0000	0.0000	0.0000
101	101	102	0.1776	0.1773	0.0000	0.0000	0.0000	0.0000
102	102	103	0.1812	0.1809	0.0000	0.0000	0.0000	0.0000
103	103	104	0.1812	0.1809	0.0000	0.0000	0.0000	0.0000
104	104	105	0.1813	0.1810	0.0000	0.0000	0.0000	0.0000
105	105	106	0.2159	0.2155	0.0000	0.0000	0.0000	0.0000
106	106	107	0.2159	0.2155	0.0000	0.0000	0.0000	0.0000
107	107	108	0.2160	0.2156	0.0000	0.0000	0.0000	0.0000
108	108	109	0.2161	0.2157	0.0000	0.0000	0.0000	0.0000
109	109	110	0.2162	0.2158	41.0646	14.2035	0.0000	0.0000
110	107	111	0.2160	0.2156	0.0000	0.0000	0.0000	0.0000
111	111	112	0.2160	0.2156	0.0000	0.0000	0.0000	0.0000
112	112	113	0.2162	0.2158	0.0000	0.0000	0.0000	0.0000
113	113	114	0.9671	0.3027	0.0000	0.0000	0.0000	0.0000
114	114	115	0.9675	0.3028	12.7370	4.4055	0.0000	0.0000
115	113	116	0.9657	0.3023	0.0000	0.0000	0.0000	0.0000



UNIVERSIDAD DE CUENCA

116	116	117	0.9826	0.3075	0.0000	0.0000	0.0000	0.0000
117	117	118	1.0173	0.3184	3.7028	1.2807	0.0000	0.0000
118	117	119	1.0244	0.3206	0.0000	0.0000	0.0000	0.0000
119	119	120	1.0247	0.3207	12.0425	4.1653	0.0000	0.0000
120	116	121	1.0142	0.3175	0.0000	0.0000	0.0000	0.0000
121	121	122	1.0145	0.3176	0.0000	0.0000	0.0000	0.0000
122	122	123	1.0148	0.3176	3.2038	1.1081	0.0000	0.0000
123	113	124	0.2219	0.2215	0.0000	0.0000	0.0000	0.0000
124	124	125	0.2221	0.2217	0.6653	0.2301	0.0000	0.0000
125	113	126	0.2532	0.2527	0.0000	0.0000	0.0000	0.0000
126	126	127	0.2532	0.2527	0.0000	0.0000	0.0000	0.0000
127	127	128	0.2532	0.2528	0.0000	0.0000	0.0000	0.0000
128	128	129	0.2533	0.2528	0.0000	0.0000	0.0000	0.0000
129	129	130	0.2534	0.2530	15.7252	5.4391	0.0000	0.0000
130	127	131	0.2533	0.2528	0.0000	0.0000	0.0000	0.0000
131	131	132	0.2533	0.2529	0.0000	0.0000	0.0000	0.0000
132	132	133	0.2534	0.2529	0.0000	0.0000	0.0000	0.0000
133	113	134	0.2294	0.2289	0.0000	0.0000	0.0000	0.0000
134	134	135	0.2294	0.2290	0.0000	0.0000	0.0000	0.0000
135	135	136	1.0577	0.3311	0.0000	0.0000	0.0000	0.0000
136	136	137	0.2466	0.2461	0.9105	0.3149	0.0000	0.0000
137	134	138	0.2296	0.2292	0.0000	0.0000	0.0000	0.0000
138	138	139	0.2297	0.2293	0.0000	0.0000	0.0000	0.0000
139	139	140	0.2298	0.2294	3.0658	1.0604	0.0000	0.0000
140	107	141	0.2159	0.2155	0.0000	0.0000	0.0000	0.0000
141	141	142	0.2527	0.2522	0.0000	0.0000	0.0000	0.0000
142	142	143	0.2527	0.2523	0.0000	0.0000	0.0000	0.0000
143	143	144	0.2528	0.2523	0.0000	0.0000	0.0000	0.0000
144	144	145	0.2528	0.2523	0.0000	0.0000	0.0000	0.0000
145	145	146	0.2534	0.2530	0.0000	0.0000	0.0000	0.0000
146	146	147	1.0453	0.2389	0.0000	0.0000	0.0000	0.0000
147	147	148	1.0455	0.2390	0.0000	0.0000	0.0000	0.0000
148	148	149	1.0457	0.2390	1.1951	0.4134	0.0000	0.0000
149	146	150	0.5559	0.3105	0.0000	0.0000	0.0000	0.0000
150	150	151	0.6085	0.3399	0.0000	0.0000	0.0000	0.0000
151	151	152	1.2336	0.3861	0.0000	0.0000	0.0000	0.0000
152	152	153	1.2342	0.3863	0.0000	0.0000	0.0000	0.0000
153	153	154	0.2881	0.2876	1.2266	0.4243	0.0000	0.0000
154	151	155	0.2777	0.2772	0.0000	0.0000	0.0000	0.0000
155	146	156	0.5559	0.3105	0.0000	0.0000	0.0000	0.0000
156	156	157	0.5880	0.3284	0.0000	0.0000	0.0000	0.0000
157	157	158	0.2687	0.2682	5.8801	2.0338	0.0000	0.0000
158	143	159	0.2528	0.2523	0.0000	0.0000	0.0000	0.0000
159	159	160	0.2529	0.2524	0.0000	0.0000	0.0000	0.0000
160	160	161	0.2529	0.2524	44.5975	15.4255	0.0000	0.0000
161	104	162	0.1813	0.1809	0.0000	0.0000	0.0000	0.0000
162	162	163	0.1813	0.1810	0.0000	0.0000	0.0000	0.0000
163	104	164	0.1813	0.1810	0.0000	0.0000	0.0000	0.0000
164	164	165	0.1814	0.1810	0.0000	0.0000	0.0000	0.0000
165	165	166	0.1815	0.1811	45.4896	15.7340	0.0000	0.0000
166	100	24	0.1394	0.1392				
167	87	127	0.2533	0.2528				

Valores base: 6.3kV y 100MVA



UNIVERSIDAD DE CUENCA

6.1.6 Alimentadores 0101, 0102 y 0103

Tabla 6.1.6 Datos de los alimentadores 0101, 0102 y 0103 pertenecientes a la EERCS

Fuente: Elaboración propia

Rama N°	Barra de envío	Barra receptoría	R(Ω)	X(Ω)	P(kW) – Barra r.	Q(kVAr) – Barra r.	Pg(kW) – Barra r.	Qg(kVAr) – Barra r.
1	1	2	0.0000	0.0000	0.0000	0.0000	0.0000	0.0000
2	1	3	0.0000	0.0000	0.0000	0.0000	0.0000	0.0000
3	3	4	0.0300	0.0299	0.0000	0.0000	0.0000	0.0000
4	4	5	0.0305	0.0304	0.0000	0.0000	0.0000	0.0000
5	5	6	0.0308	0.0307	0.0000	0.0000	0.0000	0.0000
6	6	7	0.0309	0.0309	0.0000	0.0000	0.0000	0.0000
7	7	8	0.1073	0.0599	18.0200	5.3300	0.0000	0.0000
8	8	9	0.1080	0.0603	0.0000	0.0000	0.0000	0.0000
9	5	10	0.0305	0.0305	0.0000	0.0000	0.0000	0.0000
10	10	11	0.0307	0.0306	0.0000	0.0000	0.0000	0.0000
11	11	12	0.0308	0.0308	39.7700	11.7700	0.0000	0.0000
12	12	13	0.0309	0.0308	0.0000	0.0000	0.0000	0.0000
13	12	14	0.0310	0.0309	0.0000	0.0000	0.0000	50.0000
14	14	15	0.0310	0.0310	0.0000	0.0000	0.0000	0.0000
15	5	16	0.0308	0.0307	0.0000	0.0000	0.0000	0.0000
16	16	17	0.0617	0.0616	0.0000	0.0000	0.0000	0.0000
17	17	18	0.0618	0.0617	0.0000	0.0000	0.0000	0.0000
18	18	19	0.0620	0.0618	0.0000	0.0000	0.0000	0.0000
19	19	20	0.0620	0.0619	46.7700	13.8400	0.0000	0.0000
20	20	21	0.0621	0.0620	0.0000	0.0000	0.0000	0.0000
21	18	22	0.0620	0.0619	0.0000	0.0000	0.0000	0.0000
22	22	23	0.0678	0.0677	0.0000	0.0000	0.0000	0.0000
23	23	24	0.0973	0.0971	0.0000	0.0000	0.0000	0.0000
24	24	25	0.0973	0.0971	0.0000	0.0000	0.0000	0.0000
25	25	26	0.0975	0.0973	0.0000	0.0000	0.0000	0.0000
26	26	27	0.0976	0.0974	0.0000	0.0000	0.0000	0.0000
27	27	28	0.0976	0.0975	50.7500	15.0200	0.0000	0.0000
28	28	29	0.0977	0.0975	0.0000	0.0000	0.0000	0.0000
29	25	30	0.0974	0.0972	0.0000	0.0000	0.0000	0.0000
30	30	31	0.0975	0.0973	0.0000	0.0000	0.0000	0.0000
31	31	32	0.0976	0.0975	0.0000	0.0000	0.0000	0.0000
32	32	33	0.0985	0.0983	0.0000	0.0000	0.0000	0.0000
33	33	34	0.1004	0.1002	0.0000	0.0000	0.0000	0.0000
34	34	35	0.1145	0.1143	0.0000	0.0000	0.0000	0.0000
35	35	36	0.1163	0.1161	0.0000	0.0000	0.0000	0.0000
36	36	37	0.1290	0.1288	0.0000	0.0000	0.0000	0.0000
37	37	38	0.1290	0.1288	0.0000	0.0000	0.0000	0.0000
38	38	39	0.1293	0.1290	0.0000	0.0000	0.0000	0.0000
39	39	40	0.1293	0.1291	0.0000	0.0000	0.0000	0.0000
40	40	41	0.1625	0.1622	0.0000	0.0000	0.0000	0.0000
41	41	42	0.1649	0.1646	0.0000	0.0000	0.0000	0.0000
42	42	43	0.1671	0.1668	0.0000	0.0000	0.0000	0.0000
43	43	44	0.1672	0.1669	0.0000	0.0000	0.0000	0.0000
44	38	45	0.1291	0.1289	0.0000	0.0000	0.0000	0.0000
45	45	46	0.1292	0.1290	0.0000	0.0000	0.0000	0.0000
46	46	47	0.3069	0.1714	0.0000	0.0000	0.0000	0.0000
47	47	48	0.3071	0.1716	0.0400	0.0100	0.0000	0.0000
48	48	49	0.3074	0.1717	0.0000	0.0000	0.0000	0.0000
49	47	50	0.3083	0.1722	15.8300	4.6800	0.0000	0.0000
50	50	51	0.3086	0.1724	0.0000	0.0000	0.0000	0.0000
51	38	52	0.1293	0.1290	0.0000	0.0000	0.0000	0.0000
52	52	53	0.1293	0.1291	39.7800	11.7700	0.0000	0.0000



UNIVERSIDAD DE CUENCA

53	53	54	0.1294	0.1292	0.0000	0.0000	0.0000	0.0000
54	32	55	0.2143	0.1197	0.0000	0.0000	0.0000	0.0000
55	55	56	0.2663	0.1488	0.0000	0.0000	0.0000	0.0000
56	56	57	0.2940	0.1642	0.0000	0.0000	0.0000	0.0000
57	57	58	0.2982	0.1666	5.1400	1.5200	0.0000	0.0000
58	58	59	0.1361	0.1359	0.0000	0.0000	0.0000	0.0000
59	56	60	0.1215	0.1212	1.4600	0.4300	0.0000	0.0000
60	60	61	0.1215	0.1213	0.0000	0.0000	0.0000	0.0000
61	25	62	0.0975	0.0973	0.0000	0.0000	0.0000	0.0000
62	62	63	0.0995	0.0993	0.0000	0.0000	0.0000	0.0000
63	63	64	0.1150	0.1148	0.0000	0.0000	0.0000	0.0000
64	64	65	0.1165	0.1163	0.0000	0.0000	0.0000	0.0000
65	65	66	0.1329	0.1327	0.0000	0.0000	0.0000	0.0000
66	66	67	0.1336	0.1334	0.0000	0.0000	0.0000	0.0000
67	67	68	0.1336	0.1334	0.0000	0.0000	0.0000	0.0000
68	68	69	0.1337	0.1335	0.0000	0.0000	0.0000	0.0000
69	69	70	0.1338	0.1335	0.0000	0.0000	0.0000	0.0000
70	70	71	0.1340	0.1338	0.0000	0.0000	0.0000	0.0000
71	71	72	0.2940	0.1642	0.0000	0.0000	0.0000	0.0000
72	72	73	0.3566	0.1992	0.5400	0.1600	0.0000	0.0000
73	73	74	0.3568	0.1993	0.0000	0.0000	0.0000	0.0000
74	71	75	0.5753	0.1801	0.0000	0.0000	0.0000	0.0000
75	75	76	0.6530	0.2044	5.3000	1.5700	0.0000	0.0000
76	76	77	0.6535	0.2046	0.0000	0.0000	0.0000	0.0000
77	71	78	0.1341	0.1338	0.0000	0.0000	0.0000	0.0000
78	78	79	0.1734	0.1731	0.0000	0.0000	0.0000	0.0000
79	68	80	0.1337	0.1335	0.0000	0.0000	0.0000	0.0000
80	80	81	0.1617	0.1614	0.0000	0.0000	0.0000	0.0000
81	81	82	0.1618	0.1615	0.0000	0.0000	0.0000	0.0000
82	82	83	0.1618	0.1615	0.0000	0.0000	0.0000	0.0000
83	83	84	0.2064	0.2061	0.0000	0.0000	0.0000	0.0000
84	84	85	0.2065	0.2061	0.0000	0.0000	0.0000	0.0000
85	85	86	0.2065	0.2062	0.0000	0.0000	0.0000	0.0000
86	86	87	0.2066	0.2062	0.0000	0.0000	0.0000	0.0000
87	87	88	0.2066	0.2063	54.1300	16.0200	0.0000	0.0000
88	88	89	0.2067	0.2063	0.0000	0.0000	0.0000	0.0000
89	85	90	0.2065	0.2061	0.0000	0.0000	0.0000	0.0000
90	90	91	0.2066	0.2062	0.0000	0.0000	0.0000	0.0000
91	91	92	0.2068	0.2064	0.0000	0.0000	0.0000	0.0000
92	93	92	0.3368	0.2286	0.0000	0.0000	0.0000	0.0000
93	94	93	0.3418	0.2321	0.0000	0.0000	0.0000	0.0000
94	95	94	1.0267	0.3214	0.0000	0.0000	0.0000	0.0000
95	95	96	1.0270	0.3214	6.2500	1.8500	0.0000	0.0000
96	96	97	1.0272	0.3215	0.0000	0.0000	0.0000	0.0000
97	92	98	0.8877	0.2778	0.0000	0.0000	0.0000	0.0000
98	98	99	0.9774	0.3059	0.2700	0.0800	0.0000	0.0000
99	99	100	0.9799	0.3067	0.0000	0.0000	0.0000	0.0000
100	92	101	0.9700	0.3036	16.8400	4.9800	0.0000	0.0000
101	101	102	0.2262	0.2257	0.0000	0.0000	0.0000	0.0000
102	92	103	0.8878	0.2779	0.0000	0.0000	0.0000	0.0000
103	103	104	0.9809	0.3070	0.5000	0.1500	0.0000	0.0000
104	104	105	0.2287	0.2283	0.0000	0.0000	0.0000	0.0000
105	85	106	0.2066	0.2062	0.0000	0.0000	0.0000	0.0000
106	106	107	0.2343	0.2339	0.0000	0.0000	0.0000	0.0000
107	107	108	0.2344	0.2339	0.0000	0.0000	0.0000	0.0000
108	108	109	0.2346	0.2341	0.0000	0.0000	0.0000	0.0000
109	109	110	0.2347	0.2343	60.7600	17.9800	0.0000	0.0000
110	110	111	0.2348	0.2344	0.0000	0.0000	0.0000	0.0000
111	108	112	0.2345	0.2341	0.0000	0.0000	0.0000	0.0000
112	112	113	0.2346	0.2342	0.0000	0.0000	0.0000	0.0000
113	113	114	0.5196	0.2902	0.0000	0.0000	0.0000	0.0000
114	114	115	0.5250	0.2933	0.0000	0.0000	0.0000	0.0000
115	115	116	0.5410	0.3022	0.0000	0.0000	0.0000	0.0000



UNIVERSIDAD DE CUENCA

116	116	117	0.2468	0.2464	0.1100	0.0300	0.0000	0.0000
117	82	118	0.1619	0.1616	0.0000	0.0000	0.0000	0.0000
118	118	119	0.1619	0.1616	0.0000	0.0000	0.0000	0.0000
119	119	120	0.1622	0.1619	0.0000	0.0000	0.0000	0.0000
120	120	121	0.3916	0.2187	0.0000	0.0000	0.0000	0.0000
121	121	122	0.1787	0.1784	0.7200	0.2100	0.0000	0.0000
122	120	123	0.2126	0.2122	0.0000	0.0000	0.0000	0.0000
123	120	124	0.4368	0.2440	0.0000	0.0000	0.0000	0.0000
124	124	125	0.5565	0.2339	0.0000	0.0000	0.0000	0.0000
125	125	126	0.5898	0.2479	0.0000	0.0000	0.0000	0.0000
126	126	127	0.2174	0.2170	0.0000	0.0000	0.0000	0.0000
127	127	128	0.2174	0.2170	4.7800	1.4200	0.0000	0.0000
128	126	129	0.5992	0.2519	0.0000	0.0000	0.0000	0.0000
129	129	130	0.6433	0.2704	0.0000	0.0000	0.0000	0.0000
130	130	131	0.2373	0.2369	1.6200	0.4800	0.0000	0.0000
131	125	132	0.5601	0.2354	0.0000	0.0000	0.0000	0.0000
132	132	133	0.2066	0.2062	1.0700	0.3200	0.0000	0.0000
133	120	134	0.6978	0.2184	0.0000	0.0000	0.0000	0.0000
134	134	135	0.7012	0.2195	0.0000	0.0000	0.0000	0.0000
135	135	136	0.7097	0.2221	0.0000	0.0000	0.0000	0.0000
136	136	137	0.7230	0.2263	0.0000	0.0000	0.0000	0.0000
137	137	138	0.7301	0.2285	0.0000	0.0000	0.0000	0.0000
138	138	139	0.7653	0.2395	0.0000	0.0000	0.0000	0.0000
139	139	140	0.7662	0.2398	0.0000	0.0000	0.0000	0.0000
140	140	141	0.7665	0.2399	0.0000	0.0000	0.0000	0.0000
141	141	142	0.7668	0.2400	0.0300	0.0100	0.0000	0.0000
142	82	143	0.1619	0.1616	0.0000	0.0000	0.0000	0.0000
143	143	144	0.1620	0.1617	0.0000	0.0000	0.0000	0.0000
144	144	145	0.1620	0.1617	0.0000	0.0000	0.0000	0.0000
145	145	146	0.1620	0.1617	0.0000	0.0000	0.0000	50.0000
146	146	147	0.1621	0.1618	61.8400	18.3000	0.0000	0.0000
147	146	148	0.1621	0.1618	0.0000	0.0000	0.0000	0.0000
148	68	149	0.1338	0.1336	0.0000	0.0000	0.0000	0.0000
149	149	150	0.1338	0.1336	0.0000	0.0000	0.0000	0.0000
150	150	151	0.1339	0.1337	62.9800	18.6400	0.0000	0.0000
151	66	152	0.5723	0.1308	0.0000	0.0000	0.0000	0.0000
152	152	153	0.5725	0.1309	0.0000	0.0000	0.0000	0.0000
153	153	154	0.5727	0.1309	0.0000	0.0000	0.0000	0.0000
154	65	155	0.1587	0.1003	0.0000	0.0000	0.0000	0.0000
155	155	156	0.5194	0.1187	0.0000	0.0000	0.0000	0.0000
156	156	157	0.5196	0.1188	0.0000	0.0000	0.0000	0.0000
157	18	158	0.0619	0.0618	0.0000	0.0000	0.0000	0.0000
158	158	159	0.0619	0.0618	0.0000	0.0000	0.0000	0.0000
159	1	160	0.0000	0.0000	0.0000	0.0000	0.0000	0.0000
160	1	161	0.0000	0.0000	0.0000	0.0000	0.0000	0.0000
161	161	162	0.0619	0.0618	0.0000	0.0000	0.0000	0.0000
162	162	163	0.0620	0.0619	0.0000	0.0000	0.0000	0.0000
163	163	164	0.0622	0.0620	0.0000	0.0000	0.0000	0.0000
164	164	165	0.0622	0.0621	0.0000	0.0000	0.0000	0.0000
165	165	166	0.0624	0.0623	0.0000	0.0000	0.0000	0.0000
166	166	167	0.0624	0.0623	49.7300	8.3500	0.0000	0.0000
167	166	168	0.0625	0.0624	0.0000	0.0000	0.0000	50.0000
168	168	169	0.0626	0.0625	0.0000	0.0000	0.0000	0.0000
169	163	170	0.0621	0.0620	0.0000	0.0000	0.0000	0.0000
170	170	171	0.0622	0.0621	0.0000	0.0000	0.0000	0.0000
171	171	172	0.0944	0.0943	0.0000	0.0000	0.0000	0.0000
172	163	173	0.0622	0.0621	0.0000	0.0000	0.0000	0.0000
173	173	174	0.0932	0.0930	0.0000	0.0000	0.0000	0.0000
174	174	175	0.0932	0.0931	0.0000	0.0000	0.0000	0.0000
175	175	176	0.0933	0.0931	0.0000	0.0000	0.0000	0.0000
176	175	177	0.0933	0.0932	0.0000	0.0000	0.0000	0.0000
177	177	178	0.0934	0.0932	0.0000	0.0000	0.0000	0.0000
178	178	179	0.0935	0.0933	66.3500	11.1400	0.0000	0.0000



UNIVERSIDAD DE CUENCA

179	175	180	0.0933	0.0931	0.0000	0.0000	0.0000	0.0000
180	180	181	0.1362	0.1360	0.0000	0.0000	0.0000	0.0000
181	181	182	0.1362	0.1360	0.0000	0.0000	0.0000	0.0000
182	182	183	0.1363	0.1360	0.0000	0.0000	0.0000	0.0000
183	183	184	0.1715	0.1712	0.0000	0.0000	0.0000	0.0000
184	184	185	0.1715	0.1712	0.0000	0.0000	0.0000	0.0000
185	185	186	0.2114	0.2111	0.0000	0.0000	0.0000	0.0000
186	186	187	0.2115	0.2111	0.0000	0.0000	0.0000	0.0000
187	187	188	0.2115	0.2111	0.0000	0.0000	0.0000	0.0000
188	188	189	0.2116	0.2112	0.0000	0.0000	0.0000	0.0000
189	189	190	0.2117	0.2113	84.3100	14.1500	0.0000	0.0000
190	187	191	0.2115	0.2111	0.0000	0.0000	0.0000	0.0000
191	191	192	0.2116	0.2112	0.0000	0.0000	0.0000	0.0000
192	192	193	0.2117	0.2114	0.0000	0.0000	0.0000	0.0000
193	193	194	0.2152	0.2148	0.0000	0.0000	0.0000	0.0000
194	194	195	0.2153	0.2149	0.1300	0.0200	0.0000	0.0000
195	193	196	0.2189	0.2185	0.0000	0.0000	0.0000	0.0000
196	196	197	0.2304	0.2300	0.0000	0.0000	0.0000	0.0000
197	197	198	0.2304	0.2300	0.0000	0.0000	0.0000	0.0000
198	198	199	0.2305	0.2301	1.0300	0.1700	0.0000	0.0000
199	197	200	0.2304	0.2300	0.0000	0.0000	0.0000	0.0000
200	200	201	0.2438	0.2434	0.0000	0.0000	0.0000	0.0000
201	201	202	0.2438	0.2434	0.0000	0.0000	0.0000	0.0000
202	202	203	0.2439	0.2435	12.7700	2.1400	0.0000	0.0000
203	201	204	0.2438	0.2434	0.0000	0.0000	0.0000	0.0000
204	204	205	0.2513	0.2509	0.0000	0.0000	0.0000	0.0000
205	205	206	0.2514	0.2510	19.5600	3.2800	0.0000	0.0000
206	196	207	0.9461	0.2961	0.0000	0.0000	0.0000	0.0000
207	207	208	0.9463	0.2962	0.0000	0.0000	0.0000	0.0000
208	208	209	0.9465	0.2962	3.1600	0.5300	0.0000	0.0000
209	193	210	0.2119	0.2115	0.0000	0.0000	0.0000	0.0000
210	210	211	0.2232	0.2228	0.0000	0.0000	0.0000	0.0000
211	211	212	0.2240	0.2236	0.0000	0.0000	0.0000	0.0000
212	212	213	0.2240	0.2236	12.8100	2.1500	0.0000	0.0000
213	211	214	0.2232	0.2228	0.0000	0.0000	0.0000	0.0000
214	214	215	0.2232	0.2228	2.9500	0.5000	0.0000	0.0000
215	211	216	0.2232	0.2228	0.0000	0.0000	0.0000	0.0000
216	193	217	0.9475	0.2966	0.0000	0.0000	0.0000	0.0000
217	217	218	0.9477	0.2966	0.0000	0.0000	0.0000	0.0000
218	218	219	0.9478	0.2967	0.0000	0.0000	0.0000	0.0000
219	219	220	0.9480	0.2967	0.0000	0.0000	0.0000	0.0000
220	220	221	0.9489	0.2970	0.0000	0.0000	0.0000	0.0000
221	221	222	0.9498	0.2973	0.0000	0.0000	0.0000	0.0000
222	222	223	0.2213	0.2209	14.3500	2.4100	0.0000	0.0000
223	221	224	0.9645	0.3019	0.0000	0.0000	0.0000	0.0000
224	224	225	0.2248	0.2244	21.2000	3.5600	0.0000	0.0000
225	219	226	0.9480	0.2967	0.0000	0.0000	0.0000	0.0000
226	226	227	0.2243	0.2239	0.0000	0.0000	0.0000	0.0000
227	227	228	0.2243	0.2239	0.0000	0.0000	0.0000	0.0000
228	228	229	0.2318	0.2314	0.0000	0.0000	0.0000	0.0000
229	229	230	0.2319	0.2314	1.0000	0.1700	0.0000	0.0000
230	228	231	0.2244	0.2240	0.0000	0.0000	0.0000	0.0000
231	231	232	0.2245	0.2240	1.4900	0.2500	0.0000	0.0000
232	219	233	0.9481	0.2967	0.0000	0.0000	0.0000	0.0000
233	233	234	0.2213	0.2209	0.0000	0.0000	0.0000	0.0000
234	234	235	0.9685	0.3032	0.0000	0.0000	0.0000	0.0000
235	235	236	0.9687	0.3032	0.3800	0.0600	0.0000	0.0000
236	234	237	0.2261	0.2257	0.0000	0.0000	0.0000	0.0000
237	237	238	0.2262	0.2258	2.7100	0.4600	0.0000	0.0000
238	187	239	0.2115	0.2111	0.0000	0.0000	0.0000	0.0000
239	239	240	0.2116	0.2112	0.0000	0.0000	0.0000	0.0000
240	185	241	0.1716	0.1713	0.0000	0.0000	0.0000	0.0000
241	241	242	0.1867	0.1863	0.0000	0.0000	0.0000	0.0000



UNIVERSIDAD DE CUENCA

242	242	243	0.1867	0.1864	0.0000	0.0000	0.0000	0.0000
243	243	244	0.1868	0.1864	0.0000	0.0000	0.0000	0.0000
244	243	245	0.4096	0.2288	0.0000	0.0000	0.0000	0.0000
245	243	246	0.4096	0.2288	0.0000	0.0000	0.0000	0.0000
246	246	247	0.4097	0.2288	0.0000	0.0000	0.0000	0.0000
247	247	248	0.4108	0.2294	0.0000	0.0000	0.0000	0.0000
248	248	249	0.4108	0.2295	13.5300	2.2700	0.0000	0.0000
249	185	250	0.1716	0.1713	0.0000	0.0000	0.0000	0.0000
250	250	251	0.1716	0.1713	0.0000	0.0000	0.0000	0.0000
251	251	252	0.1717	0.1714	55.0500	9.2400	0.0000	0.0000
252	185	253	0.1715	0.1712	0.0000	0.0000	0.0000	0.0000
253	253	254	0.1716	0.1713	0.0000	0.0000	0.0000	0.0000
254	254	255	0.1718	0.1715	0.0000	0.0000	0.0000	0.0000
255	255	256	0.1718	0.1715	0.0000	0.0000	0.0000	0.0000
256	256	257	0.1786	0.1783	0.0000	0.0000	0.0000	0.0000
257	257	258	0.1894	0.1891	0.0000	0.0000	0.0000	0.0000
258	258	259	0.1895	0.1891	0.0000	0.0000	0.0000	0.0000
259	259	260	0.1895	0.1891	4.8600	0.8200	0.0000	0.0000
260	258	261	0.1895	0.1891	0.0000	0.0000	0.0000	0.0000
261	257	262	0.1836	0.1833	0.0000	0.0000	0.0000	0.0000
262	262	263	0.1836	0.1833	2.8400	0.4800	0.0000	0.0000
263	255	264	0.1719	0.1715	0.0000	0.0000	0.0000	0.0000
264	264	265	0.1819	0.1816	0.0000	0.0000	0.0000	0.0000
265	265	266	0.1819	0.1816	19.8300	3.3300	0.0000	0.0000
266	255	267	0.1718	0.1715	0.0000	0.0000	0.0000	0.0000
267	267	268	0.1868	0.1865	0.0000	0.0000	0.0000	0.0000
268	268	269	0.1868	0.1865	2.6600	0.4500	0.0000	0.0000
269	255	270	0.1719	0.1715	0.0000	0.0000	0.0000	0.0000
270	270	271	0.1864	0.1861	0.0000	0.0000	0.0000	0.0000
271	271	272	0.1864	0.1861	0.0000	0.0000	0.0000	0.0000
272	272	273	0.2068	0.2064	0.0000	0.0000	0.0000	0.0000
273	273	274	0.2068	0.2064	0.0000	0.0000	0.0000	0.0000
274	274	275	0.2147	0.2143	0.0000	0.0000	0.0000	0.0000
275	275	276	0.2147	0.2143	1.6100	0.2700	0.0000	0.0000
276	273	277	0.2068	0.2064	0.0000	0.0000	0.0000	0.0000
277	277	278	0.2068	0.2065	16.7700	2.8100	0.0000	0.0000
278	273	279	0.2068	0.2064	0.0000	0.0000	0.0000	0.0000
279	279	280	0.2310	0.2306	0.0000	0.0000	0.0000	0.0000
280	271	281	0.1864	0.1861	0.0000	0.0000	0.0000	0.0000
281	281	282	0.1864	0.1861	2.3400	0.3900	0.0000	0.0000
282	255	283	0.1719	0.1716	0.0000	0.0000	0.0000	0.0000
283	283	284	0.1791	0.1788	0.0000	0.0000	0.0000	0.0000
284	284	285	0.1791	0.1788	0.0000	0.0000	0.0000	0.0000
285	285	286	0.1792	0.1788	0.0000	0.0000	0.0000	0.0000
286	286	287	0.1792	0.1789	0.1100	0.0200	0.0000	0.0000
287	285	288	0.1802	0.1799	0.0000	0.0000	0.0000	0.0000
288	288	289	0.1802	0.1799	0.0000	0.0000	0.0000	0.0000
289	289	290	0.1802	0.1799	0.0000	0.0000	0.0000	0.0000
290	290	291	0.1803	0.1799	6.7600	1.1300	0.0000	0.0000
291	289	292	0.1959	0.1955	0.0000	0.0000	0.0000	0.0000
292	292	293	0.1959	0.1956	0.5000	0.0800	0.0000	0.0000
293	182	294	0.1363	0.1360	0.0000	0.0000	0.0000	0.0000
294	294	295	0.1363	0.1361	0.0000	0.0000	0.0000	0.0000
295	295	296	0.1364	0.1362	0.0000	0.0000	0.0000	0.0000
296	296	297	0.1364	0.1362	41.1900	6.9100	0.0000	0.0000
297	296	298	0.1365	0.1362	0.0000	0.0000	0.0000	50.0000
298	298	299	0.1365	0.1363	0.0000	0.0000	0.0000	0.0000
299	182	300	0.1363	0.1361	0.0000	0.0000	0.0000	0.0000
300	300	301	0.1364	0.1361	0.0000	0.0000	0.0000	0.0000
301	301	302	0.1408	0.1405	0.0000	0.0000	0.0000	0.0000
302	302	303	0.1408	0.1406	0.0000	0.0000	0.0000	0.0000
303	303	304	0.1739	0.1736	0.0000	0.0000	0.0000	0.0000
304	304	305	0.7476	0.2340	0.0000	0.0000	0.0000	0.0000



UNIVERSIDAD DE CUENCA

305	305	306	0.7477	0.2340	0.0000	0.0000	0.0000	0.0000
306	306	307	0.1742	0.1739	1.9100	0.3200	0.0000	0.0000
307	306	308	0.7479	0.2341	0.0000	0.0000	0.0000	0.0000
308	308	309	0.8324	0.2605	0.0000	0.0000	0.0000	0.0000
309	309	310	0.8352	0.2614	26.8800	4.5100	0.0000	0.0000
310	304	311	0.1739	0.1736	0.0000	0.0000	0.0000	0.0000
311	311	312	0.1739	0.1736	13.2900	2.2300	0.0000	0.0000
312	302	313	0.1408	0.1405	0.0000	0.0000	0.0000	0.0000
313	313	314	0.1445	0.1443	0.0000	0.0000	0.0000	0.0000
314	314	315	0.1445	0.1443	0.0000	0.0000	0.0000	0.0000
315	315	316	0.5744	0.1313	0.0000	0.0000	0.0000	0.0000
316	316	317	0.5747	0.1313	1.4200	0.2400	0.0000	0.0000
317	315	318	0.1497	0.1494	0.0000	0.0000	0.0000	0.0000
318	318	319	0.1497	0.1494	0.0000	0.0000	0.0000	0.0000
319	319	320	0.1507	0.1505	0.0000	0.0000	0.0000	0.0000
320	320	321	0.1508	0.1505	6.4900	1.0900	0.0000	0.0000
321	318	322	0.1497	0.1494	0.0000	0.0000	0.0000	0.0000
322	322	323	0.1497	0.1495	2.9900	0.5000	0.0000	0.0000
323	315	324	0.1446	0.1443	0.0000	0.0000	0.0000	0.0000
324	324	325	0.1446	0.1443	7.5300	1.2600	0.0000	0.0000
325	302	326	0.1408	0.1405	0.0000	0.0000	0.0000	0.0000
326	326	327	0.1408	0.1406	15.3900	2.5800	0.0000	0.0000
327	1	328	0.0000	0.0000	0.0000	0.0000	0.0000	0.0000
328	1	329	0.0000	0.0000	0.0000	0.0000	0.0000	0.0000
329	329	330	0.0846	0.0845	0.0000	0.0000	0.0000	0.0000
330	330	331	0.0846	0.0845	0.0000	0.0000	0.0000	0.0000
331	331	332	0.0847	0.0846	0.0000	0.0000	0.0000	0.0000
332	332	333	0.1338	0.1336	0.0000	0.0000	0.0000	0.0000
333	333	334	0.1338	0.1336	0.0000	0.0000	0.0000	0.0000
334	334	335	0.1339	0.1337	0.0000	0.0000	0.0000	0.0000
335	335	336	0.1743	0.1740	0.0000	0.0000	0.0000	0.0000
336	336	337	0.1744	0.1740	0.0000	0.0000	0.0000	0.0000
337	337	338	0.1744	0.1741	0.0000	0.0000	0.0000	0.0000
338	338	339	0.2115	0.2111	0.0000	0.0000	0.0000	0.0000
339	339	340	0.2115	0.2111	0.0000	0.0000	0.0000	0.0000
340	340	341	0.2116	0.2112	0.0000	0.0000	0.0000	0.0000
341	341	342	0.2116	0.2113	0.0000	0.0000	0.0000	0.0000
342	342	343	0.2117	0.2113	33.2224	0.1630	0.0000	0.0000
343	340	344	0.2116	0.2112	0.0000	0.0000	0.0000	0.0000
344	344	345	0.2116	0.2112	0.0000	0.0000	0.0000	0.0000
345	345	346	0.2118	0.2114	0.0000	0.0000	0.0000	0.0000
346	346	347	0.9091	0.2846	0.0000	0.0000	0.0000	0.0000
347	347	348	0.9379	0.2936	0.0000	0.0000	0.0000	0.0000
348	348	349	0.2186	0.2182	6.1136	0.0300	0.0000	0.0000
349	346	350	0.2545	0.2541	0.0000	0.0000	0.0000	0.0000
350	340	351	0.2116	0.2112	0.0000	0.0000	0.0000	0.0000
351	337	352	0.1744	0.1741	0.0000	0.0000	0.0000	0.0000
352	352	353	0.1745	0.1742	0.0000	0.0000	0.0000	0.0000
353	353	354	0.1819	0.1816	0.0000	0.0000	0.0000	0.0000
354	354	355	0.1821	0.1818	8.4470	0.0414	0.0000	0.0000
355	337	356	0.1745	0.1742	0.0000	0.0000	0.0000	0.0000
356	356	357	0.1745	0.1742	0.0000	0.0000	0.0000	0.0000
357	357	358	0.1746	0.1743	83.2499	0.4084	0.0000	0.0000
358	337	359	0.7486	0.2343	0.0000	0.0000	0.0000	0.0000
359	359	360	0.8710	0.2726	0.0000	0.0000	0.0000	0.0000
360	360	361	0.8715	0.2728	0.0000	0.0000	0.0000	0.0000
361	361	362	0.8719	0.2729	0.0000	0.0000	0.0000	0.0000
362	334	363	0.1339	0.1336	0.0000	0.0000	0.0000	0.0000
363	363	364	0.1339	0.1337	0.0000	0.0000	0.0000	0.0000
364	364	365	0.1340	0.1338	43.0789	0.2113	0.0000	0.0000
365	334	366	0.1339	0.1337	0.0000	0.0000	0.0000	0.0000
366	366	367	0.1340	0.1337	0.0000	0.0000	0.0000	0.0000
367	367	368	0.1630	0.1627	0.0000	0.0000	0.0000	0.0000



UNIVERSIDAD DE CUENCA

368	368	369	0.1630	0.1627	0.0000	0.0000	0.0000	0.0000
369	369	370	0.1631	0.1628	0.0000	0.0000	0.0000	0.0000
370	369	371	0.1631	0.1628	0.0000	0.0000	0.0000	0.0000
371	371	372	0.1631	0.1628	0.0000	0.0000	0.0000	0.0000
372	369	373	0.1631	0.1628	0.0000	0.0000	0.0000	0.0000
373	373	374	0.1631	0.1628	0.0000	0.0000	0.0000	0.0000
374	374	375	0.1632	0.1629	24.6718	0.1210	0.0000	0.0000
375	331	376	0.0847	0.0845	0.0000	0.0000	0.0000	0.0000
376	376	377	0.0847	0.0846	0.0000	0.0000	0.0000	0.0000
377	377	378	0.0913	0.0912	0.0000	0.0000	0.0000	0.0000
378	378	379	0.1027	0.1025	0.0000	0.0000	0.0000	0.0000
379	379	380	0.1131	0.1129	0.0000	0.0000	0.0000	0.0000
380	380	381	0.1132	0.1130	0.0000	0.0000	0.0000	0.0000
381	381	382	0.1133	0.1130	0.0000	0.0000	0.0000	0.0000
382	382	383	0.1133	0.1131	0.0000	0.0000	0.0000	0.0000
383	383	384	0.1503	0.1500	0.0000	0.0000	0.0000	0.0000
384	384	385	0.1503	0.1500	0.0000	0.0000	0.0000	0.0000
385	385	386	0.1504	0.1502	0.0000	0.0000	0.0000	0.0000
386	386	387	0.1505	0.1502	0.0000	0.0000	0.0000	0.0000
387	387	388	0.1505	0.1502	0.0000	0.0000	0.0000	0.0000
388	388	389	0.1506	0.1503	61.2286	0.3004	0.0000	0.0000
389	388	390	0.6531	0.2044	0.0000	0.0000	0.0000	0.0000
390	390	391	0.6533	0.2045	21.2955	0.1045	0.0000	0.0000
391	385	392	0.1504	0.1501	0.0000	0.0000	0.0000	0.0000
392	392	393	0.1504	0.1502	0.0000	0.0000	0.0000	0.0000
393	393	394	0.1507	0.1505	0.0000	0.0000	0.0000	0.0000
394	394	395	0.1508	0.1505	0.0000	0.0000	0.0000	0.0000
395	395	396	0.1580	0.1577	0.0000	0.0000	0.0000	0.0000
396	396	397	0.1787	0.1784	0.0000	0.0000	0.0000	0.0000
397	397	398	0.1788	0.1784	0.0000	0.0000	0.0000	0.0000
398	398	399	0.1788	0.1785	6.0498	0.0297	0.0000	0.0000
399	396	400	0.1668	0.1665	0.0000	0.0000	0.0000	0.0000
400	400	401	0.1668	0.1665	1.6429	0.0081	0.0000	0.0000
401	394	402	0.1508	0.1505	0.0000	0.0000	0.0000	0.0000
402	402	403	0.6723	0.2104	0.0000	0.0000	0.0000	0.0000
403	403	404	0.6732	0.2107	3.4855	0.0171	0.0000	0.0000
404	385	405	0.1504	0.1501	0.0000	0.0000	0.0000	0.0000
405	405	406	0.1504	0.1501	0.0000	0.0000	0.0000	0.0000
406	381	407	0.1133	0.1131	0.0000	0.0000	0.0000	0.0000
407	407	408	0.1133	0.1131	0.0000	0.0000	0.0000	0.0000
408	408	409	0.1134	0.1132	6.5323	0.0320	0.0000	0.0000
409	331	410	0.0847	0.0845	0.0000	0.0000	0.0000	0.0000
410	410	411	0.0847	0.0846	0.0000	0.0000	0.0000	0.0000
411	411	412	0.0848	0.0847	0.0000	0.0000	0.0000	0.0000
412	412	413	0.0848	0.0847	55.5864	0.2727	0.0000	0.0000
413	412	414	0.0849	0.0847	0.0000	0.0000	0.0000	50.0000
414	414	415	0.0849	0.0848	0.0000	0.0000	0.0000	0.0000
415	44	108	0.2346	0.2342				
416	261	216	0.2029	0.2025				
417	381	172	0.1133	0.1131				
418	176	79	0.0934	0.0932				

Valores base: 6.3kV y 100MVA



UNIVERSIDAD DE CUENCA

6.1.7 Alimentadores 0201, 0202 y 0203

Tabla 6.1.7 Datos de los alimentadores 0201, 0202 y 0203 pertenecientes a la EERCS

Fuente: Elaboración propia

Rama N°	Barra de envío	Barra receptoría	R(Ω)	X(Ω)	P(kW) – Barra r.	Q(kVAr) – Barra r.	Pg(kW) – Barra r.	Qg(kVAr) – Barra r.
1	1	2	0.0000	0.0000	0.0000	0.0000	0.0000	0.0000
2	1	3	0.0001	0.0001	0.0000	0.0000	0.0000	0.0000
3	3	4	0.0662	0.0660	0.0000	0.0000	0.0000	0.0000
4	4	5	0.1309	0.1307	0.0000	0.0000	0.0000	0.0000
5	5	6	0.1309	0.1307	0.0000	0.0000	0.0000	0.0000
6	6	7	0.1310	0.1307	0.0000	0.0000	0.0000	0.0000
7	7	8	0.1310	0.1308	0.0000	0.0000	0.0000	0.0000
8	8	9	0.3560	0.1497	0.0000	0.0000	0.0000	0.0000
9	9	10	0.3561	0.1497	22.1206	7.6511	0.0000	0.0000
10	9	11	0.1313	0.1310	0.0000	0.0000	0.0000	50.0000
11	11	12	0.1313	0.1311	0.0000	0.0000	0.0000	0.0000
12	6	13	0.1309	0.1307	0.0000	0.0000	0.0000	0.0000
13	13	14	0.1310	0.1308	0.0000	0.0000	0.0000	0.0000
14	14	15	0.5884	0.1842	7.8643	2.7201	0.0000	0.0000
15	6	16	0.1310	0.1307	0.0000	0.0000	0.0000	0.0000
16	16	17	0.5621	0.1759	0.0000	0.0000	0.0000	0.0000
17	17	18	0.1310	0.1307	0.0000	0.0000	0.0000	0.0000
18	18	19	0.1385	0.1383	0.0000	0.0000	0.0000	0.0000
19	19	20	0.1391	0.1389	0.0000	0.0000	0.0000	0.0000
20	20	21	0.1393	0.1390	0.0000	0.0000	0.0000	0.0000
21	21	22	0.0006	0.0005	0.0000	0.0000	0.0000	0.0000
22	22	23	0.0006	0.0005	0.0000	0.0000	0.0000	0.0000
23	23	24	0.0006	0.0005	0.0000	0.0000	0.0000	0.0000
24	22	25	0.0067	0.0064	0.0000	0.0000	0.0000	0.0000
25	25	26	0.0680	0.0649	0.0000	0.0000	0.0000	0.0000
26	26	27	0.0490	0.0468	0.0000	0.0000	0.0000	0.0000
27	27	28	0.0214	0.0204	0.0000	0.0000	0.0000	0.0000
28	28	29	0.0497	0.0475	0.0000	0.0000	0.0000	0.0000
29	29	30	0.0285	0.0272	0.0000	0.0000	0.0000	0.0000
30	29	31	0.8263	0.2586	0.0000	0.0000	0.0000	0.0000
31	31	32	0.8264	0.2587	0.0000	0.0000	0.0000	0.0000
32	29	33	0.5311	0.2232	0.0000	0.0000	0.0000	0.0000
33	33	34	0.5319	0.2236	34.9678	12.0947	0.0000	0.0000
34	28	35	0.0361	0.0219	0.0000	0.0000	0.0000	0.0000
35	35	36	0.0375	0.0228	0.0000	0.0000	0.0000	0.0000
36	36	37	0.0002	0.0001	0.0000	0.0000	0.0000	0.0000
37	37	38	0.0002	0.0001	10.0694	3.4828	0.0000	0.0000
38	27	39	0.0001	0.0001	0.0000	0.0000	0.0000	0.0000
39	39	40	0.0001	0.0001	28.1611	9.7404	0.0000	0.0000
40	26	41	0.0079	0.0093	0.0000	0.0000	0.0000	0.0000
41	41	42	0.0001	0.0002	0.0000	0.0000	0.0000	0.0000
42	42	43	0.2396	0.1627	0.0000	0.0000	0.0000	0.0000
43	43	44	0.1803	0.1800	0.0000	0.0000	0.0000	0.0000
44	44	45	0.2679	0.1819	0.0000	0.0000	0.0000	0.0000
45	25	46	0.0089	0.0085	0.0000	0.0000	0.0000	0.0000
46	46	47	0.0002	0.0002	12.3991	4.2886	0.0000	0.0000
47	25	48	0.0435	0.0416	0.0000	0.0000	0.0000	0.0000
48	48	49	0.0640	0.0611	0.0000	0.0000	0.0000	0.0000
49	49	50	0.0001	0.0001	0.0000	0.0000	0.0000	0.0000
50	50	51	0.0001	0.0001	16.4152	5.6777	0.0000	0.0000
51	49	52	0.3755	0.1918	0.0000	0.0000	0.0000	0.0000
52	52	53	0.3756	0.1918	1.7894	0.6189	0.0000	0.0000



UNIVERSIDAD DE CUENCA

53	48	54	0.0077	0.0074	0.0000	0.0000	0.0000	0.0000
54	48	55	0.0438	0.0418	0.0000	0.0000	0.0000	0.0000
55	55	56	0.0076	0.0073	0.0000	0.0000	0.0000	0.0000
56	56	57	0.0146	0.0139	0.0000	0.0000	0.0000	0.0000
57	57	58	0.0140	0.0134	0.0000	0.0000	0.0000	0.0000
58	58	59	0.0172	0.0164	0.0000	0.0000	0.0000	0.0000
59	59	60	0.0048	0.0045	0.0000	0.0000	0.0000	0.0000
60	60	61	0.0145	0.0139	0.0000	0.0000	0.0000	0.0000
61	61	62	0.0002	0.0002	0.0000	0.0000	0.0000	0.0000
62	62	63	0.0002	0.0002	6.0127	2.0797	0.0000	0.0000
63	59	64	0.0126	0.0120	0.0000	0.0000	0.0000	0.0000
64	64	65	0.0002	0.0002	0.0000	0.0000	0.0000	0.0000
65	65	66	0.0002	0.0002	3.1214	1.0796	0.0000	0.0000
66	59	67	0.0088	0.0084	0.0000	0.0000	0.0000	0.0000
67	57	68	0.0002	0.0002	0.0000	0.0000	0.0000	0.0000
68	68	69	0.0002	0.0002	3.2266	1.1160	0.0000	0.0000
69	55	70	0.0153	0.0146	0.0000	0.0000	0.0000	0.0000
70	70	71	0.0002	0.0002	0.0000	0.0000	0.0000	0.0000
71	71	72	0.0002	0.0002	6.7154	2.3227	0.0000	0.0000
72	70	73	0.0522	0.0498	0.0000	0.0000	0.0000	0.0000
73	73	74	0.0131	0.0126	0.0000	0.0000	0.0000	0.0000
74	73	75	0.0120	0.0115	0.0000	0.0000	0.0000	0.0000
75	75	76	0.0240	0.0229	0.0000	0.0000	0.0000	0.0000
76	76	77	0.0002	0.0002	0.0000	0.0000	0.0000	0.0000
77	77	78	0.0002	0.0002	4.8791	1.6876	0.0000	0.0000
78	75	79	0.7896	0.2472	0.0000	0.0000	0.0000	0.0000
79	79	80	0.7907	0.2475	0.0000	0.0000	0.0000	0.0000
80	80	81	0.8133	0.2546	0.0000	0.0000	0.0000	0.0000
81	81	82	0.8134	0.2546	0.0000	0.0000	0.0000	0.0000
82	82	83	0.8136	0.2547	3.4152	1.1813	0.0000	0.0000
83	73	84	0.0148	0.0141	0.0000	0.0000	0.0000	0.0000
84	84	85	0.1846	0.1843	0.0000	0.0000	0.0000	0.0000
85	85	86	0.2429	0.2425	0.0000	0.0000	0.0000	0.0000
86	86	87	0.2430	0.2425	0.0000	0.0000	0.0000	0.0000
87	84	88	0.7929	0.2482	0.0000	0.0000	0.0000	0.0000
88	88	89	0.7937	0.2484	0.0000	0.0000	0.0000	0.0000
89	89	90	0.8056	0.2522	0.0000	0.0000	0.0000	0.0000
90	90	91	0.8345	0.2612	0.0000	0.0000	0.0000	0.0000
91	91	92	0.8639	0.2704	0.0000	0.0000	0.0000	0.0000
92	92	93	0.8641	0.2705	0.0000	0.0000	0.0000	0.0000
93	93	94	0.0003	0.0002	2.5234	0.8728	0.0000	0.0000
94	91	95	0.8450	0.2645	0.0000	0.0000	0.0000	0.0000
95	95	96	0.8452	0.2645	0.0000	0.0000	0.0000	0.0000
96	96	97	0.0003	0.0002	2.9204	1.0101	0.0000	0.0000
97	90	98	0.8058	0.2522	0.0000	0.0000	0.0000	0.0000
98	98	99	0.0003	0.0002	4.6340	1.6028	0.0000	0.0000
99	20	100	0.1393	0.1390	0.0000	0.0000	0.0000	0.0000
100	17	101	0.1310	0.1307	0.0000	0.0000	0.0000	0.0000
101	101	102	0.1776	0.1773	0.0000	0.0000	0.0000	0.0000
102	102	103	0.1812	0.1809	0.0000	0.0000	0.0000	0.0000
103	103	104	0.1812	0.1809	0.0000	0.0000	0.0000	0.0000
104	104	105	0.1813	0.1810	0.0000	0.0000	0.0000	0.0000
105	105	106	0.2159	0.2155	0.0000	0.0000	0.0000	0.0000
106	106	107	0.2159	0.2155	0.0000	0.0000	0.0000	0.0000
107	107	108	0.2160	0.2156	0.0000	0.0000	0.0000	0.0000
108	108	109	0.2161	0.2157	0.0000	0.0000	0.0000	0.0000
109	109	110	0.2162	0.2158	41.0646	14.2035	0.0000	0.0000
110	107	111	0.2160	0.2156	0.0000	0.0000	0.0000	0.0000
111	111	112	0.2160	0.2156	0.0000	0.0000	0.0000	0.0000
112	112	113	0.2162	0.2158	0.0000	0.0000	0.0000	0.0000
113	113	114	0.9671	0.3027	0.0000	0.0000	0.0000	0.0000
114	114	115	0.9675	0.3028	12.7370	4.4055	0.0000	0.0000
115	113	116	0.9657	0.3023	0.0000	0.0000	0.0000	0.0000



UNIVERSIDAD DE CUENCA

116	116	117	0.9826	0.3075	0.0000	0.0000	0.0000	0.0000
117	117	118	1.0173	0.3184	3.7028	1.2807	0.0000	0.0000
118	117	119	1.0244	0.3206	0.0000	0.0000	0.0000	0.0000
119	119	120	1.0247	0.3207	12.0425	4.1653	0.0000	0.0000
120	116	121	1.0142	0.3175	0.0000	0.0000	0.0000	0.0000
121	121	122	1.0145	0.3176	0.0000	0.0000	0.0000	0.0000
122	122	123	1.0148	0.3176	3.2038	1.1081	0.0000	0.0000
123	113	124	0.2219	0.2215	0.0000	0.0000	0.0000	0.0000
124	124	125	0.2221	0.2217	0.6653	0.2301	0.0000	0.0000
125	113	126	0.2532	0.2527	0.0000	0.0000	0.0000	0.0000
126	126	127	0.2532	0.2527	0.0000	0.0000	0.0000	0.0000
127	127	128	0.2532	0.2528	0.0000	0.0000	0.0000	0.0000
128	128	129	0.2533	0.2528	0.0000	0.0000	0.0000	0.0000
129	129	130	0.2534	0.2530	15.7252	5.4391	0.0000	0.0000
130	127	131	0.2533	0.2528	0.0000	0.0000	0.0000	0.0000
131	131	132	0.2533	0.2529	0.0000	0.0000	0.0000	0.0000
132	132	133	0.2534	0.2529	0.0000	0.0000	0.0000	0.0000
133	113	134	0.2294	0.2289	0.0000	0.0000	0.0000	0.0000
134	134	135	0.2294	0.2290	0.0000	0.0000	0.0000	0.0000
135	135	136	1.0577	0.3311	0.0000	0.0000	0.0000	0.0000
136	136	137	0.2466	0.2461	0.9105	0.3149	0.0000	0.0000
137	134	138	0.2296	0.2292	0.0000	0.0000	0.0000	0.0000
138	138	139	0.2297	0.2293	0.0000	0.0000	0.0000	0.0000
139	139	140	0.2298	0.2294	3.0658	1.0604	0.0000	0.0000
140	107	141	0.2159	0.2155	0.0000	0.0000	0.0000	0.0000
141	141	142	0.2527	0.2522	0.0000	0.0000	0.0000	0.0000
142	142	143	0.2527	0.2523	0.0000	0.0000	0.0000	0.0000
143	143	144	0.2528	0.2523	0.0000	0.0000	0.0000	0.0000
144	144	145	0.2528	0.2523	0.0000	0.0000	0.0000	0.0000
145	145	146	0.2534	0.2530	0.0000	0.0000	0.0000	0.0000
146	146	147	1.0453	0.2389	0.0000	0.0000	0.0000	0.0000
147	147	148	1.0455	0.2390	0.0000	0.0000	0.0000	0.0000
148	148	149	1.0457	0.2390	1.1951	0.4134	0.0000	0.0000
149	146	150	0.5559	0.3105	0.0000	0.0000	0.0000	0.0000
150	150	151	0.6085	0.3399	0.0000	0.0000	0.0000	0.0000
151	151	152	1.2336	0.3861	0.0000	0.0000	0.0000	0.0000
152	152	153	1.2342	0.3863	0.0000	0.0000	0.0000	0.0000
153	153	154	0.2881	0.2876	1.2266	0.4243	0.0000	0.0000
154	151	155	0.2777	0.2772	0.0000	0.0000	0.0000	0.0000
155	146	156	0.5559	0.3105	0.0000	0.0000	0.0000	0.0000
156	156	157	0.5880	0.3284	0.0000	0.0000	0.0000	0.0000
157	157	158	0.2687	0.2682	5.8801	2.0338	0.0000	0.0000
158	143	159	0.2528	0.2523	0.0000	0.0000	0.0000	0.0000
159	159	160	0.2529	0.2524	0.0000	0.0000	0.0000	0.0000
160	160	161	0.2529	0.2524	44.5975	15.4255	0.0000	0.0000
161	104	162	0.1813	0.1809	0.0000	0.0000	0.0000	0.0000
162	162	163	0.1813	0.1810	0.0000	0.0000	0.0000	0.0000
163	104	164	0.1813	0.1810	0.0000	0.0000	0.0000	0.0000
164	164	165	0.1814	0.1810	0.0000	0.0000	0.0000	0.0000
165	165	166	0.1815	0.1811	45.4896	15.7340	0.0000	0.0000
166	1	167	0.0000	0.0000	0.0000	0.0000	0.0000	0.0000
167	167	168	0.0001	0.0001	0.0000	0.0000	0.0000	0.0000
168	168	169	0.0101	0.0101	0.0000	0.0000	0.0000	0.0000
169	169	170	0.0101	0.0101	0.0000	0.0000	0.0000	0.0000
170	170	171	0.0102	0.0102	0.0000	0.0000	0.0000	0.0000
171	171	172	0.0102	0.0102	0.0000	0.0000	0.0000	0.0000
172	172	173	0.0103	0.0103	0.0000	0.0000	0.0000	0.0000
173	173	174	0.0103	0.0103	41.8995	10.8497	0.0000	0.0000
174	173	175	0.0104	0.0104	0.0000	0.0000	0.0000	50.0000
175	175	176	0.0105	0.0104	0.0000	0.0000	0.0000	0.0000
176	170	177	0.0102	0.0102	0.0000	0.0000	0.0000	0.0000
177	177	178	0.0464	0.0145	0.0000	0.0000	0.0000	0.0000
178	178	179	0.0512	0.0160	0.0000	0.0000	0.0000	0.0000



UNIVERSIDAD DE CUENCA

179	179	180	0.0613	0.0192	0.0000	0.0000	0.0000	0.0000
180	180	181	0.0759	0.0238	0.0000	0.0000	0.0000	0.0000
181	181	182	0.0772	0.0241	0.0000	0.0000	0.0000	0.0000
182	182	183	0.0877	0.0275	0.0000	0.0000	0.0000	0.0000
183	183	184	0.0879	0.0275	0.0000	0.0000	0.0000	0.0000
184	184	185	0.0881	0.0276	0.8037	0.2081	0.0000	0.0000
185	170	186	0.0102	0.0102	0.0000	0.0000	0.0000	0.0000
186	186	187	0.0473	0.0472	0.0000	0.0000	0.0000	0.0000
187	187	188	0.0473	0.0472	0.0000	0.0000	0.0000	0.0000
188	188	189	0.0474	0.0473	0.0000	0.0000	0.0000	0.0000
189	189	190	0.0899	0.0897	0.0000	0.0000	0.0000	0.0000
190	190	191	0.0900	0.0899	0.0000	0.0000	0.0000	0.0000
191	191	192	0.0901	0.0899	0.0000	0.0000	0.0000	0.0000
192	192	193	0.0901	0.0900	0.0000	0.0000	0.0000	0.0000
193	193	194	0.0902	0.0900	0.0000	0.0000	0.0000	0.0000
194	194	195	0.0902	0.0901	43.6336	11.2987	0.0000	0.0000
195	194	196	0.0902	0.0901	0.0000	0.0000	0.0000	50.0000
196	196	197	0.0903	0.0901	0.0000	0.0000	0.0000	0.0000
197	191	198	0.0901	0.0899	0.0000	0.0000	0.0000	0.0000
198	199	198	0.0901	0.0899	0.0000	0.0000	0.0000	0.0000
199	200	199	0.0902	0.0900	0.0000	0.0000	0.0000	0.0000
200	200	201	0.0902	0.0900	0.0000	0.0000	0.0000	0.0000
201	200	202	0.0902	0.0901	0.0000	0.0000	0.0000	0.0000
202	202	203	0.1088	0.1086	0.0000	0.0000	0.0000	0.0000
203	203	204	0.4804	0.1504	0.0000	0.0000	0.0000	0.0000
204	204	205	0.4809	0.1505	2.1707	0.5621	0.0000	0.0000
205	203	206	0.1089	0.1087	41.0690	10.6346	0.0000	0.0000
206	206	207	0.1090	0.1088	0.0000	0.0000	0.0000	0.0000
207	207	208	0.1092	0.1090	0.0000	0.0000	0.0000	0.0000
208	203	209	0.1258	0.1256	0.0000	0.0000	0.0000	0.0000
209	209	210	0.1260	0.1257	4.9842	1.2906	0.0000	0.0000
210	200	211	0.0902	0.0900	0.0000	0.0000	0.0000	0.0000
211	211	212	0.0938	0.0936	0.0000	0.0000	0.0000	0.0000
212	212	213	0.0941	0.0939	2.1657	0.5608	0.0000	0.0000
213	200	214	0.0902	0.0901	0.0000	0.0000	0.0000	0.0000
214	214	215	0.1080	0.1078	0.0000	0.0000	0.0000	0.0000
215	215	216	0.1082	0.1080	0.0000	0.0000	0.0000	0.0000
216	216	217	0.1084	0.1082	2.3975	0.6208	0.0000	0.0000
217	215	218	0.1259	0.1256	0.0000	0.0000	0.0000	0.0000
218	218	219	0.1260	0.1258	0.6532	0.1691	0.0000	0.0000
219	220	200	0.0902	0.0901	0.0000	0.0000	0.0000	0.0000
220	221	220	0.0950	0.0949	0.0000	0.0000	0.0000	0.0000
221	200	222	0.3873	0.1212	0.0000	0.0000	0.0000	0.0000
222	222	223	0.4556	0.1426	0.0000	0.0000	0.0000	0.0000
223	223	224	0.4558	0.1427	3.1270	0.8097	0.0000	0.0000
224	191	225	0.0901	0.0899	0.0000	0.0000	0.0000	0.0000
225	225	226	0.1282	0.1279	0.0000	0.0000	0.0000	0.0000
226	226	227	0.1282	0.1280	0.0000	0.0000	0.0000	0.0000
227	227	228	0.1283	0.1281	0.0000	0.0000	0.0000	0.0000
228	228	229	0.1455	0.1452	0.0000	0.0000	0.0000	0.0000
229	229	230	0.1455	0.1452	0.0000	0.0000	0.0000	0.0000
230	230	231	0.1457	0.1454	0.0000	0.0000	0.0000	0.0000
231	231	232	0.1457	0.1454	0.0000	0.0000	0.0000	0.0000
232	232	233	0.1458	0.1455	46.4177	12.0196	0.0000	0.0000
233	230	234	0.1456	0.1454	0.0000	0.0000	0.0000	0.0000
234	234	235	0.1457	0.1454	0.0000	0.0000	0.0000	0.0000
235	235	236	0.1458	0.1455	0.0000	0.0000	0.0000	0.0000
236	236	237	0.1458	0.1456	0.0000	0.0000	0.0000	0.0000
237	237	238	0.1459	0.1456	0.0000	0.0000	0.0000	0.0000
238	238	239	0.1604	0.1601	0.0000	0.0000	0.0000	0.0000
239	239	240	0.1604	0.1601	0.0000	0.0000	0.0000	0.0000
240	240	241	0.1606	0.1603	9.4409	2.4447	0.0000	0.0000
241	239	242	0.7283	0.2280	0.0000	0.0000	0.0000	0.0000



UNIVERSIDAD DE CUENCA

242	242	243	0.7285	0.2280	0.0000	0.0000	0.0000	0.0000
243	243	244	0.7287	0.2281	2.3526	0.6092	0.0000	0.0000
244	238	245	0.7085	0.2218	0.0000	0.0000	0.0000	0.0000
245	245	246	0.7091	0.2220	0.0000	0.0000	0.0000	0.0000
246	246	247	0.7096	0.2221	0.0000	0.0000	0.0000	0.0000
247	236	248	0.1458	0.1456	0.0000	0.0000	0.0000	0.0000
248	248	249	0.1544	0.1541	0.0000	0.0000	0.0000	0.0000
249	249	250	0.1555	0.1552	0.0000	0.0000	0.0000	0.0000
250	250	251	0.1557	0.1554	0.0000	0.0000	0.0000	0.0000
251	249	252	0.1564	0.1561	0.0000	0.0000	0.0000	0.0000
252	252	253	0.1575	0.1572	0.0000	0.0000	0.0000	0.0000
253	253	254	0.1648	0.1645	0.0000	0.0000	0.0000	0.0000
254	254	255	0.1792	0.1789	0.0000	0.0000	0.0000	0.0000
255	255	256	0.1809	0.1805	0.0000	0.0000	0.0000	0.0000
256	256	257	0.1810	0.1807	3.9521	1.0234	0.0000	0.0000
257	255	258	0.1794	0.1791	0.0000	0.0000	0.0000	0.0000
258	258	259	0.1795	0.1792	1.0704	0.2772	0.0000	0.0000
259	254	260	0.1650	0.1647	0.0000	0.0000	0.0000	0.0000
260	260	261	0.1651	0.1648	2.5358	0.6566	0.0000	0.0000
261	253	262	0.1591	0.1589	0.0000	0.0000	0.0000	0.0000
262	262	263	0.1592	0.1589	0.0000	0.0000	0.0000	0.0000
263	263	264	0.1593	0.1590	43.7354	11.3250	0.0000	0.0000
264	262	265	0.1626	0.1623	0.0000	0.0000	0.0000	0.0000
265	265	266	0.1639	0.1636	0.0000	0.0000	0.0000	0.0000
266	266	267	0.1716	0.1713	0.0000	0.0000	0.0000	0.0000
267	267	268	0.1717	0.1714	0.0000	0.0000	0.0000	0.0000
268	268	269	0.1719	0.1715	0.0000	0.0000	0.0000	0.0000
269	269	270	0.1731	0.1728	0.0000	0.0000	0.0000	0.0000
270	270	271	0.1733	0.1730	4.0213	1.0413	0.0000	0.0000
271	268	272	0.1719	0.1716	0.0000	0.0000	0.0000	0.0000
272	272	273	0.2105	0.2101	0.0000	0.0000	0.0000	0.0000
273	268	274	0.1719	0.1716	0.0000	0.0000	0.0000	0.0000
274	274	275	0.1720	0.1717	11.7308	3.0376	0.0000	0.0000
275	268	276	0.1720	0.1717	0.0000	0.0000	0.0000	0.0000
276	266	277	0.1640	0.1637	51.7066	13.3891	0.0000	0.0000
277	277	278	0.1642	0.1639	0.0000	0.0000	0.0000	0.0000
278	278	279	0.1643	0.1640	0.0000	0.0000	0.0000	0.0000
279	252	280	0.1575	0.1572	0.0000	0.0000	0.0000	0.0000
280	280	281	0.1577	0.1574	0.7602	0.1968	0.0000	0.0000
281	236	282	0.1458	0.1456	0.0000	0.0000	0.0000	0.0000
282	282	283	0.1586	0.1583	0.0000	0.0000	0.0000	0.0000
283	230	284	0.1456	0.1453	0.0000	0.0000	0.0000	0.0000
284	284	285	0.1808	0.1805	0.0000	0.0000	0.0000	0.0000
285	227	286	0.1284	0.1282	0.0000	0.0000	0.0000	0.0000
286	286	287	0.1284	0.1282	0.0000	0.0000	0.0000	0.0000
287	287	288	0.1285	0.1283	29.7324	7.6990	0.0000	0.0000
288	227	289	0.1283	0.1281	0.0000	0.0000	0.0000	0.0000
289	289	290	0.6526	0.2043	0.0000	0.0000	0.0000	0.0000
290	290	291	0.6527	0.2043	0.0000	0.0000	0.0000	0.0000
291	291	292	0.6527	0.2043	0.0000	0.0000	0.0000	0.0000
292	292	293	0.6529	0.2044	0.1840	0.0476	0.0000	0.0000
293	188	294	0.0473	0.0472	0.0000	0.0000	0.0000	0.0000
294	294	295	0.0474	0.0473	0.0000	0.0000	0.0000	0.0000
295	295	296	0.0476	0.0475	0.0000	0.0000	0.0000	0.0000
296	296	297	0.0476	0.0476	0.0000	0.0000	0.0000	0.0000
297	297	298	0.0894	0.0892	0.0000	0.0000	0.0000	0.0000
298	298	299	0.0985	0.0983	0.0000	0.0000	0.0000	0.0000
299	299	300	0.0985	0.0983	0.0000	0.0000	0.0000	0.0000
300	300	301	0.0986	0.0984	0.0000	0.0000	0.0000	0.0000
301	301	302	0.0986	0.0984	0.0000	0.0000	0.0000	0.0000
302	302	303	0.0987	0.0985	31.7778	8.2287	0.0000	0.0000
303	300	304	0.0985	0.0984	0.0000	0.0000	0.0000	0.0000
304	304	305	0.0986	0.0984	0.0000	0.0000	0.0000	0.0000



UNIVERSIDAD DE CUENCA

305	300	306	0.0986	0.0984	0.0000	0.0000	0.0000	0.0000
306	306	307	0.1268	0.1266	0.0000	0.0000	0.0000	0.0000
307	307	308	0.1268	0.1266	0.0000	0.0000	0.0000	0.0000
308	308	309	0.1269	0.1267	0.0000	0.0000	0.0000	0.0000
309	309	310	0.1560	0.1557	0.0000	0.0000	0.0000	0.0000
310	310	311	0.7221	0.2260	0.0000	0.0000	0.0000	0.0000
311	311	312	0.7231	0.2263	6.8644	1.7775	0.0000	0.0000
312	308	313	0.1269	0.1266	0.0000	0.0000	0.0000	0.0000
313	313	314	0.1269	0.1267	0.0000	0.0000	0.0000	0.0000
314	308	315	0.1269	0.1267	0.0000	0.0000	0.0000	0.0000
315	315	316	0.1269	0.1267	0.0000	0.0000	0.0000	0.0000
316	316	317	0.1270	0.1268	37.7579	9.7772	0.0000	0.0000
317	296	318	0.2044	0.0640	0.0000	0.0000	0.0000	0.0000
318	318	319	0.2126	0.0666	0.0000	0.0000	0.0000	0.0000
319	319	320	0.2128	0.0666	0.0000	0.0000	0.0000	0.0000
320	320	321	0.2130	0.0667	0.0000	0.0000	0.0000	0.0000
321	296	322	0.1045	0.0584	0.0000	0.0000	0.0000	0.0000
322	322	323	0.1168	0.0652	0.0000	0.0000	0.0000	0.0000
323	323	324	0.2768	0.0866	0.0000	0.0000	0.0000	0.0000
324	324	325	0.0646	0.0645	0.7488	0.1939	0.0000	0.0000
325	188	326	0.0474	0.0473	0.0000	0.0000	0.0000	0.0000
326	326	327	0.0474	0.0473	0.0000	0.0000	0.0000	0.0000
327	327	328	0.0475	0.0474	71.4345	18.4976	0.0000	0.0000
328	168	329	0.0377	0.0376	0.0000	0.0000	0.0000	0.0000
329	329	330	0.1625	0.0509	0.0000	0.0000	0.0000	0.0000
330	330	331	0.1628	0.0510	0.0000	0.0000	0.0000	0.0000
331	331	332	0.2216	0.0694	0.0000	0.0000	0.0000	0.0000
332	332	333	0.0517	0.0516	0.0000	0.0000	0.0000	0.0000
333	333	334	0.0518	0.0517	0.6111	0.1583	0.0000	0.0000
334	329	335	0.0382	0.0382	0.0000	0.0000	0.0000	0.0000
335	335	336	0.0387	0.0386	1.2487	0.3233	0.0000	0.0000
336	329	337	0.0588	0.0587	0.0000	0.0000	0.0000	0.0000
337	337	338	0.0753	0.0752	0.0000	0.0000	0.0000	0.0000
338	337	339	0.0611	0.0610	2.5979	0.6727	0.0000	0.0000
339	168	340	0.0001	0.0001	0.0000	0.0000	0.0000	0.0000
340	340	341	0.0286	0.0286	0.0000	0.0000	0.0000	0.0000
341	341	342	0.0786	0.0439	0.0000	0.0000	0.0000	0.0000
342	342	343	0.0361	0.0360	0.0000	0.0000	0.0000	0.0000
343	343	344	0.0501	0.0500	0.0000	0.0000	0.0000	0.0000
344	344	345	0.0502	0.0501	3.9286	1.0173	0.0000	0.0000
345	342	346	0.0361	0.0360	0.0000	0.0000	0.0000	0.0000
346	346	347	0.2342	0.0733	0.0000	0.0000	0.0000	0.0000
347	347	348	0.2363	0.0740	2.3476	0.6079	0.0000	0.0000
348	342	349	0.0360	0.0359	0.0000	0.0000	0.0000	0.0000
349	349	350	0.0361	0.0360	6.3060	1.6329	0.0000	0.0000
350	1	351	0.0000	0.0000	0.0000	0.0000	0.0000	0.0000
351	1	352	0.0000	0.0000	0.0000	0.0000	0.0000	0.0000
352	1	353	0.0001	0.0001	0.0000	0.0000	0.0000	0.0000
353	353	354	0.0321	0.0320	0.0000	0.0000	0.0000	0.0000
354	354	355	0.0324	0.0323	0.0000	0.0000	0.0000	0.0000
355	355	356	0.0324	0.0323	0.0000	0.0000	0.0000	0.0000
356	356	357	0.0324	0.0324	0.0000	0.0000	0.0000	0.0000
357	357	358	0.0656	0.0655	0.0000	0.0000	0.0000	0.0000
358	358	359	0.0657	0.0655	0.0000	0.0000	0.0000	0.0000
359	359	360	0.0657	0.0656	0.0000	0.0000	0.0000	0.0000
360	360	361	0.0658	0.0656	0.0000	0.0000	0.0000	0.0000
361	361	362	0.0658	0.0657	0.0000	0.0000	0.0000	0.0000
362	362	363	0.0659	0.0657	26.1613	7.7238	0.0000	0.0000
363	361	364	0.2929	0.0917	0.0000	0.0000	0.0000	0.0000
364	364	365	0.2930	0.0917	0.0000	0.0000	0.0000	0.0000
365	365	366	0.2932	0.0918	31.7624	9.3775	0.0000	0.0000
366	359	367	0.0657	0.0656	0.0000	0.0000	0.0000	0.0000
367	367	368	0.0658	0.0657	0.0000	0.0000	0.0000	0.0000



UNIVERSIDAD DE CUENCA

368	368	369	0.1222	0.1219	0.0000	0.0000	0.0000	0.0000
369	369	370	0.1222	0.1219	0.0000	0.0000	0.0000	0.0000
370	370	371	0.1222	0.1220	0.0000	0.0000	0.0000	0.0000
371	371	372	0.1223	0.1221	0.0000	0.0000	0.0000	0.0000
372	372	373	0.1224	0.1222	44.6394	13.1793	0.0000	0.0000
373	370	374	0.1222	0.1220	0.0000	0.0000	0.0000	0.0000
374	374	375	0.1223	0.1220	0.0000	0.0000	0.0000	0.0000
375	375	376	0.1554	0.1551	0.0000	0.0000	0.0000	0.0000
376	376	377	0.1554	0.1551	0.0000	0.0000	0.0000	0.0000
377	377	378	0.1554	0.1551	0.0000	0.0000	0.0000	0.0000
378	378	379	0.1556	0.1554	0.0000	0.0000	0.0000	0.0000
379	379	380	0.1557	0.1554	0.0000	0.0000	0.0000	0.0000
380	380	381	0.1703	0.1700	0.0000	0.0000	0.0000	0.0000
381	381	382	0.1704	0.1701	0.0000	0.0000	0.0000	0.0000
382	377	383	0.6673	0.2089	0.0000	0.0000	0.0000	0.0000
383	383	384	0.1557	0.1554	25.5005	7.5287	0.0000	0.0000
384	377	385	0.1555	0.1552	0.0000	0.0000	0.0000	0.0000
385	370	386	0.1222	0.1220	0.0000	0.0000	0.0000	0.0000
386	386	387	0.1649	0.1646	0.0000	0.0000	0.0000	0.0000
387	387	388	0.1650	0.1647	0.0000	0.0000	0.0000	0.0000
388	388	389	0.1651	0.1648	0.0000	0.0000	0.0000	0.0000
389	389	390	0.1651	0.1648	0.0000	0.0000	0.0000	0.0000
390	390	391	0.1652	0.1649	30.3521	8.9611	0.0000	0.0000
391	388	392	0.1650	0.1647	0.0000	0.0000	0.0000	0.0000
392	392	393	0.1651	0.1648	0.0000	0.0000	0.0000	0.0000
393	393	394	0.1653	0.1650	0.0000	0.0000	0.0000	0.0000
394	394	395	0.3951	0.2207	0.0000	0.0000	0.0000	0.0000
395	395	396	0.1804	0.1800	0.4033	0.1191	0.0000	0.0000
396	394	397	0.1916	0.1913	0.0000	0.0000	0.0000	0.0000
397	397	398	0.1917	0.1913	0.0000	0.0000	0.0000	0.0000
398	398	399	0.1917	0.1914	0.0000	0.0000	0.0000	0.0000
399	399	400	0.2187	0.2183	0.0000	0.0000	0.0000	0.0000
400	400	401	0.2188	0.2184	0.0000	0.0000	0.0000	0.0000
401	401	402	0.2188	0.2184	0.0000	0.0000	0.0000	0.0000
402	401	403	0.2188	0.2184	0.0000	0.0000	0.0000	0.0000
403	403	404	0.2189	0.2185	0.0000	0.0000	0.0000	0.0000
404	404	405	0.2190	0.2186	16.9429	5.0022	0.0000	0.0000
405	401	406	0.2188	0.2184	0.0000	0.0000	0.0000	0.0000
406	406	407	0.2189	0.2185	0.0000	0.0000	0.0000	0.0000
407	398	408	0.1917	0.1914	0.0000	0.0000	0.0000	0.0000
408	408	409	0.1918	0.1914	0.0000	0.0000	0.0000	0.0000
409	409	410	0.1919	0.1915	21.8205	6.4422	0.0000	0.0000
410	398	411	0.1917	0.1914	0.0000	0.0000	0.0000	0.0000
411	411	412	0.1918	0.1914	0.0000	0.0000	0.0000	0.0000
412	412	413	0.4553	0.2543	0.0000	0.0000	0.0000	0.0000
413	413	414	0.2175	0.2171	0.0000	0.0000	0.0000	0.0000
414	414	415	0.2176	0.2172	0.0000	0.0000	0.0000	0.0000
415	415	416	0.2404	0.2399	0.0000	0.0000	0.0000	0.0000
416	416	417	0.2422	0.2418	0.0000	0.0000	0.0000	0.0000
417	417	418	0.2423	0.2419	2.0593	0.6080	0.0000	0.0000
418	415	419	0.2176	0.2172	0.0000	0.0000	0.0000	0.0000
419	419	420	0.2177	0.2173	0.9369	0.2766	0.0000	0.0000
420	394	421	0.3762	0.2101	0.0000	0.0000	0.0000	0.0000
421	421	422	0.1717	0.1714	1.6757	0.4947	0.0000	0.0000
422	359	423	0.0658	0.0656	0.0000	0.0000	0.0000	0.0000
423	423	424	0.0949	0.0947	0.0000	0.0000	0.0000	0.0000
424	424	425	0.0960	0.0958	0.0000	0.0000	0.0000	0.0000
425	425	426	0.0966	0.0964	0.0000	0.0000	0.0000	0.0000
426	426	427	0.0968	0.0966	0.0000	0.0000	0.0000	0.0000
427	427	428	0.0968	0.0967	0.0000	0.0000	0.0000	0.0000
428	428	429	0.0969	0.0967	0.0000	0.0000	0.0000	0.0000
429	429	430	0.0970	0.0968	66.2740	19.5666	0.0000	0.0000
430	427	431	0.0968	0.0966	0.0000	0.0000	0.0000	0.0000



UNIVERSIDAD DE CUENCA

431	431	432	0.0969	0.0967	0.0000	0.0000	0.0000	0.0000
432	432	433	0.0971	0.0969	0.0000	0.0000	0.0000	0.0000
433	433	434	0.2130	0.1190	0.0000	0.0000	0.0000	0.0000
434	434	435	0.2259	0.1262	0.0000	0.0000	0.0000	0.0000
435	435	436	0.4978	0.1558	0.0000	0.0000	0.0000	0.0000
436	436	437	0.1160	0.1158	0.0000	0.0000	0.0000	0.0000
437	437	438	0.1161	0.1159	0.5612	0.1657	0.0000	0.0000
438	436	439	0.4980	0.1559	0.0000	0.0000	0.0000	0.0000
439	439	440	0.5450	0.1706	0.0000	0.0000	0.0000	0.0000
440	440	441	0.5468	0.1712	0.0000	0.0000	0.0000	0.0000
441	441	442	0.5470	0.1712	6.8117	2.0111	0.0000	0.0000
442	433	443	0.2130	0.1190	0.0000	0.0000	0.0000	0.0000
443	443	444	0.2176	0.1215	0.0000	0.0000	0.0000	0.0000
444	444	445	0.2279	0.1273	0.0000	0.0000	0.0000	0.0000
445	445	446	0.4507	0.1411	0.0000	0.0000	0.0000	0.0000
446	446	447	0.1054	0.1052	29.7765	8.7912	0.0000	0.0000
447	445	448	0.1167	0.1165	0.0000	0.0000	0.0000	0.0000
448	448	449	0.1174	0.1172	0.0000	0.0000	0.0000	0.0000
449	449	450	0.1178	0.1176	1.9993	0.5903	0.0000	0.0000
450	427	451	0.0968	0.0967	0.0000	0.0000	0.0000	0.0000
451	424	452	0.2762	0.1161	0.0000	0.0000	0.0000	0.0000
452	452	453	0.1019	0.1017	0.0000	0.0000	0.0000	0.0000
453	453	454	0.1019	0.1017	2.3577	0.6961	0.0000	0.0000
454	356	455	0.0324	0.0324	0.0000	0.0000	0.0000	0.0000
455	455	456	0.0325	0.0324	0.0000	0.0000	0.0000	0.0000
456	356	457	0.0324	0.0324	0.0000	0.0000	0.0000	0.0000
457	457	458	0.0325	0.0324	0.0000	0.0000	0.0000	0.0000
458	458	459	0.0326	0.0325	0.0000	0.0000	0.0000	0.0000
459	459	460	0.0326	0.0325	45.6171	13.4679	0.0000	0.0000
460	459	461	0.0326	0.0325	0.0000	0.0000	0.0000	50.0000
461	461	462	0.0327	0.0326	0.0000	0.0000	0.0000	0.0000
462	354	463	0.1993	0.0624	0.0000	0.0000	0.0000	0.0000
463	463	464	0.1995	0.0624	0.0000	0.0000	0.0000	0.0000
464	464	465	0.1996	0.0625	3.0854	0.9109	0.0000	0.0000
465	87	127	0.2533	0.2528				
466	100	24	0.1394	0.1392				
467	338	221	0.2412	0.1014				
468	310	163	0.1561	0.1558				

Valores base: 6.3kV y 100MVA



UNIVERSIDAD DE CUENCA

6.1.8 Subestación Eléctrica 01 y 02

Tabla 6.1.8 Datos de la S/E01 y S/E02 pertenecientes a la EERCS

Fuente: Elaboración propia

Rama N°	Barra de envío	Barra receptoría	R(Ω)	X(Ω)	P(kW) – Barra r.	Q(kVAr) – Barra r.	Pg(kW) – Barra r.	Qg(kVAr) – Barra r.
1	1	2	0.0000	0.0000	0.0000	0.0000	0.0000	0.0000
2	1	3	0.0000	0.0000	0.0000	0.0000	0.0000	0.0000
3	3	4	0.0300	0.0299	0.0000	0.0000	0.0000	0.0000
4	4	5	0.0305	0.0304	0.0000	0.0000	0.0000	0.0000
5	5	6	0.0308	0.0307	0.0000	0.0000	0.0000	0.0000
6	6	7	0.0309	0.0309	0.0000	0.0000	0.0000	0.0000
7	7	8	0.1073	0.0599	18.0200	5.3300	0.0000	0.0000
8	8	9	0.1080	0.0603	0.0000	0.0000	0.0000	0.0000
9	5	10	0.0305	0.0305	0.0000	0.0000	0.0000	0.0000
10	10	11	0.0307	0.0306	0.0000	0.0000	0.0000	0.0000
11	11	12	0.0308	0.0308	39.7700	11.7700	0.0000	0.0000
12	12	13	0.0309	0.0308	0.0000	0.0000	0.0000	0.0000
13	12	14	0.0310	0.0309	0.0000	0.0000	0.0000	50.0000
14	14	15	0.0310	0.0310	0.0000	0.0000	0.0000	0.0000
15	5	16	0.0308	0.0307	0.0000	0.0000	0.0000	0.0000
16	16	17	0.0617	0.0616	0.0000	0.0000	0.0000	0.0000
17	17	18	0.0618	0.0617	0.0000	0.0000	0.0000	0.0000
18	18	19	0.0620	0.0618	0.0000	0.0000	0.0000	0.0000
19	19	20	0.0620	0.0619	46.7700	13.8400	0.0000	0.0000
20	20	21	0.0621	0.0620	0.0000	0.0000	0.0000	0.0000
21	18	22	0.0620	0.0619	0.0000	0.0000	0.0000	0.0000
22	22	23	0.0678	0.0677	0.0000	0.0000	0.0000	0.0000
23	23	24	0.0973	0.0971	0.0000	0.0000	0.0000	0.0000
24	24	25	0.0973	0.0971	0.0000	0.0000	0.0000	0.0000
25	25	26	0.0975	0.0973	0.0000	0.0000	0.0000	0.0000
26	26	27	0.0976	0.0974	0.0000	0.0000	0.0000	0.0000
27	27	28	0.0976	0.0975	50.7500	15.0200	0.0000	0.0000
28	28	29	0.0977	0.0975	0.0000	0.0000	0.0000	0.0000
29	25	30	0.0974	0.0972	0.0000	0.0000	0.0000	0.0000
30	30	31	0.0975	0.0973	0.0000	0.0000	0.0000	0.0000
31	31	32	0.0976	0.0975	0.0000	0.0000	0.0000	0.0000
32	32	33	0.0985	0.0983	0.0000	0.0000	0.0000	0.0000
33	33	34	0.1004	0.1002	0.0000	0.0000	0.0000	0.0000
34	34	35	0.1145	0.1143	0.0000	0.0000	0.0000	0.0000
35	35	36	0.1163	0.1161	0.0000	0.0000	0.0000	0.0000
36	36	37	0.1290	0.1288	0.0000	0.0000	0.0000	0.0000
37	37	38	0.1290	0.1288	0.0000	0.0000	0.0000	0.0000
38	38	39	0.1293	0.1290	0.0000	0.0000	0.0000	0.0000
39	39	40	0.1293	0.1291	0.0000	0.0000	0.0000	0.0000
40	40	41	0.1625	0.1622	0.0000	0.0000	0.0000	0.0000
41	41	42	0.1649	0.1646	0.0000	0.0000	0.0000	0.0000
42	42	43	0.1671	0.1668	0.0000	0.0000	0.0000	0.0000
43	43	44	0.1672	0.1669	0.0000	0.0000	0.0000	0.0000
44	38	45	0.1291	0.1289	0.0000	0.0000	0.0000	0.0000
45	45	46	0.1292	0.1290	0.0000	0.0000	0.0000	0.0000
46	46	47	0.3069	0.1714	0.0000	0.0000	0.0000	0.0000
47	47	48	0.3071	0.1716	0.0400	0.0100	0.0000	0.0000
48	48	49	0.3074	0.1717	0.0000	0.0000	0.0000	0.0000
49	47	50	0.3083	0.1722	15.8300	4.6800	0.0000	0.0000
50	50	51	0.3086	0.1724	0.0000	0.0000	0.0000	0.0000
51	38	52	0.1293	0.1290	0.0000	0.0000	0.0000	0.0000
52	52	53	0.1293	0.1291	39.7800	11.7700	0.0000	0.0000



UNIVERSIDAD DE CUENCA

53	53	54	0.1294	0.1292	0.0000	0.0000	0.0000	0.0000
54	32	55	0.2143	0.1197	0.0000	0.0000	0.0000	0.0000
55	55	56	0.2663	0.1488	0.0000	0.0000	0.0000	0.0000
56	56	57	0.2940	0.1642	0.0000	0.0000	0.0000	0.0000
57	57	58	0.2982	0.1666	5.1400	1.5200	0.0000	0.0000
58	58	59	0.1361	0.1359	0.0000	0.0000	0.0000	0.0000
59	56	60	0.1215	0.1212	1.4600	0.4300	0.0000	0.0000
60	60	61	0.1215	0.1213	0.0000	0.0000	0.0000	0.0000
61	25	62	0.0975	0.0973	0.0000	0.0000	0.0000	0.0000
62	62	63	0.0995	0.0993	0.0000	0.0000	0.0000	0.0000
63	63	64	0.1150	0.1148	0.0000	0.0000	0.0000	0.0000
64	64	65	0.1165	0.1163	0.0000	0.0000	0.0000	0.0000
65	65	66	0.1329	0.1327	0.0000	0.0000	0.0000	0.0000
66	66	67	0.1336	0.1334	0.0000	0.0000	0.0000	0.0000
67	67	68	0.1336	0.1334	0.0000	0.0000	0.0000	0.0000
68	68	69	0.1337	0.1335	0.0000	0.0000	0.0000	0.0000
69	69	70	0.1338	0.1335	0.0000	0.0000	0.0000	0.0000
70	70	71	0.1340	0.1338	0.0000	0.0000	0.0000	0.0000
71	71	72	0.2940	0.1642	0.0000	0.0000	0.0000	0.0000
72	72	73	0.3566	0.1992	0.5400	0.1600	0.0000	0.0000
73	73	74	0.3568	0.1993	0.0000	0.0000	0.0000	0.0000
74	71	75	0.5753	0.1801	0.0000	0.0000	0.0000	0.0000
75	75	76	0.6530	0.2044	5.3000	1.5700	0.0000	0.0000
76	76	77	0.6535	0.2046	0.0000	0.0000	0.0000	0.0000
77	71	78	0.1341	0.1338	0.0000	0.0000	0.0000	0.0000
78	78	79	0.1734	0.1731	0.0000	0.0000	0.0000	0.0000
79	68	80	0.1337	0.1335	0.0000	0.0000	0.0000	0.0000
80	80	81	0.1617	0.1614	0.0000	0.0000	0.0000	0.0000
81	81	82	0.1618	0.1615	0.0000	0.0000	0.0000	0.0000
82	82	83	0.1618	0.1615	0.0000	0.0000	0.0000	0.0000
83	83	84	0.2064	0.2061	0.0000	0.0000	0.0000	0.0000
84	84	85	0.2065	0.2061	0.0000	0.0000	0.0000	0.0000
85	85	86	0.2065	0.2062	0.0000	0.0000	0.0000	0.0000
86	86	87	0.2066	0.2062	0.0000	0.0000	0.0000	0.0000
87	87	88	0.2066	0.2063	54.1300	16.0200	0.0000	0.0000
88	88	89	0.2067	0.2063	0.0000	0.0000	0.0000	0.0000
89	85	90	0.2065	0.2061	0.0000	0.0000	0.0000	0.0000
90	90	91	0.2066	0.2062	0.0000	0.0000	0.0000	0.0000
91	91	92	0.2068	0.2064	0.0000	0.0000	0.0000	0.0000
92	93	92	0.3368	0.2286	0.0000	0.0000	0.0000	0.0000
93	94	93	0.3418	0.2321	0.0000	0.0000	0.0000	0.0000
94	95	94	1.0267	0.3214	0.0000	0.0000	0.0000	0.0000
95	95	96	1.0270	0.3214	6.2500	1.8500	0.0000	0.0000
96	96	97	1.0272	0.3215	0.0000	0.0000	0.0000	0.0000
97	92	98	0.8877	0.2778	0.0000	0.0000	0.0000	0.0000
98	98	99	0.9774	0.3059	0.2700	0.0800	0.0000	0.0000
99	99	100	0.9799	0.3067	0.0000	0.0000	0.0000	0.0000
100	92	101	0.9700	0.3036	16.8400	4.9800	0.0000	0.0000
101	101	102	0.2262	0.2257	0.0000	0.0000	0.0000	0.0000
102	92	103	0.8878	0.2779	0.0000	0.0000	0.0000	0.0000
103	103	104	0.9809	0.3070	0.5000	0.1500	0.0000	0.0000
104	104	105	0.2287	0.2283	0.0000	0.0000	0.0000	0.0000
105	85	106	0.2066	0.2062	0.0000	0.0000	0.0000	0.0000
106	106	107	0.2343	0.2339	0.0000	0.0000	0.0000	0.0000
107	107	108	0.2344	0.2339	0.0000	0.0000	0.0000	0.0000
108	108	109	0.2346	0.2341	0.0000	0.0000	0.0000	0.0000
109	109	110	0.2347	0.2343	60.7600	17.9800	0.0000	0.0000
110	110	111	0.2348	0.2344	0.0000	0.0000	0.0000	0.0000
111	108	112	0.2345	0.2341	0.0000	0.0000	0.0000	0.0000
112	112	113	0.2346	0.2342	0.0000	0.0000	0.0000	0.0000
113	113	114	0.5196	0.2902	0.0000	0.0000	0.0000	0.0000
114	114	115	0.5250	0.2933	0.0000	0.0000	0.0000	0.0000
115	115	116	0.5410	0.3022	0.0000	0.0000	0.0000	0.0000



UNIVERSIDAD DE CUENCA

116	116	117	0.2468	0.2464	0.1100	0.0300	0.0000	0.0000
117	82	118	0.1619	0.1616	0.0000	0.0000	0.0000	0.0000
118	118	119	0.1619	0.1616	0.0000	0.0000	0.0000	0.0000
119	119	120	0.1622	0.1619	0.0000	0.0000	0.0000	0.0000
120	120	121	0.3916	0.2187	0.0000	0.0000	0.0000	0.0000
121	121	122	0.1787	0.1784	0.7200	0.2100	0.0000	0.0000
122	120	123	0.2126	0.2122	0.0000	0.0000	0.0000	0.0000
123	120	124	0.4368	0.2440	0.0000	0.0000	0.0000	0.0000
124	124	125	0.5565	0.2339	0.0000	0.0000	0.0000	0.0000
125	125	126	0.5898	0.2479	0.0000	0.0000	0.0000	0.0000
126	126	127	0.2174	0.2170	0.0000	0.0000	0.0000	0.0000
127	127	128	0.2174	0.2170	4.7800	1.4200	0.0000	0.0000
128	126	129	0.5992	0.2519	0.0000	0.0000	0.0000	0.0000
129	129	130	0.6433	0.2704	0.0000	0.0000	0.0000	0.0000
130	130	131	0.2373	0.2369	1.6200	0.4800	0.0000	0.0000
131	125	132	0.5601	0.2354	0.0000	0.0000	0.0000	0.0000
132	132	133	0.2066	0.2062	1.0700	0.3200	0.0000	0.0000
133	120	134	0.6978	0.2184	0.0000	0.0000	0.0000	0.0000
134	134	135	0.7012	0.2195	0.0000	0.0000	0.0000	0.0000
135	135	136	0.7097	0.2221	0.0000	0.0000	0.0000	0.0000
136	136	137	0.7230	0.2263	0.0000	0.0000	0.0000	0.0000
137	137	138	0.7301	0.2285	0.0000	0.0000	0.0000	0.0000
138	138	139	0.7653	0.2395	0.0000	0.0000	0.0000	0.0000
139	139	140	0.7662	0.2398	0.0000	0.0000	0.0000	0.0000
140	140	141	0.7665	0.2399	0.0000	0.0000	0.0000	0.0000
141	141	142	0.7668	0.2400	0.0300	0.0100	0.0000	0.0000
142	82	143	0.1619	0.1616	0.0000	0.0000	0.0000	0.0000
143	143	144	0.1620	0.1617	0.0000	0.0000	0.0000	0.0000
144	144	145	0.1620	0.1617	0.0000	0.0000	0.0000	0.0000
145	145	146	0.1620	0.1617	0.0000	0.0000	0.0000	50.0000
146	146	147	0.1621	0.1618	61.8400	18.3000	0.0000	0.0000
147	146	148	0.1621	0.1618	0.0000	0.0000	0.0000	0.0000
148	68	149	0.1338	0.1336	0.0000	0.0000	0.0000	0.0000
149	149	150	0.1338	0.1336	0.0000	0.0000	0.0000	0.0000
150	150	151	0.1339	0.1337	62.9800	18.6400	0.0000	0.0000
151	66	152	0.5723	0.1308	0.0000	0.0000	0.0000	0.0000
152	152	153	0.5725	0.1309	0.0000	0.0000	0.0000	0.0000
153	153	154	0.5727	0.1309	0.0000	0.0000	0.0000	0.0000
154	65	155	0.1587	0.1003	0.0000	0.0000	0.0000	0.0000
155	155	156	0.5194	0.1187	0.0000	0.0000	0.0000	0.0000
156	156	157	0.5196	0.1188	0.0000	0.0000	0.0000	0.0000
157	18	158	0.0619	0.0618	0.0000	0.0000	0.0000	0.0000
158	158	159	0.0619	0.0618	0.0000	0.0000	0.0000	0.0000
159	1	160	0.0000	0.0000	0.0000	0.0000	0.0000	0.0000
160	1	161	0.0000	0.0000	0.0000	0.0000	0.0000	0.0000
161	161	162	0.0619	0.0618	0.0000	0.0000	0.0000	0.0000
162	162	163	0.0620	0.0619	0.0000	0.0000	0.0000	0.0000
163	163	164	0.0622	0.0620	0.0000	0.0000	0.0000	0.0000
164	164	165	0.0622	0.0621	0.0000	0.0000	0.0000	0.0000
165	165	166	0.0624	0.0623	0.0000	0.0000	0.0000	0.0000
166	166	167	0.0624	0.0623	49.7300	8.3500	0.0000	0.0000
167	166	168	0.0625	0.0624	0.0000	0.0000	0.0000	50.0000
168	168	169	0.0626	0.0625	0.0000	0.0000	0.0000	0.0000
169	163	170	0.0621	0.0620	0.0000	0.0000	0.0000	0.0000
170	170	171	0.0622	0.0621	0.0000	0.0000	0.0000	0.0000
171	171	172	0.0944	0.0943	0.0000	0.0000	0.0000	0.0000
172	163	173	0.0622	0.0621	0.0000	0.0000	0.0000	0.0000
173	173	174	0.0932	0.0930	0.0000	0.0000	0.0000	0.0000
174	174	175	0.0932	0.0931	0.0000	0.0000	0.0000	0.0000
175	175	176	0.0933	0.0931	0.0000	0.0000	0.0000	0.0000
176	175	177	0.0933	0.0932	0.0000	0.0000	0.0000	0.0000
177	177	178	0.0934	0.0932	0.0000	0.0000	0.0000	0.0000
178	178	179	0.0935	0.0933	66.3500	11.1400	0.0000	0.0000



UNIVERSIDAD DE CUENCA

179	175	180	0.0933	0.0931	0.0000	0.0000	0.0000	0.0000
180	180	181	0.1362	0.1360	0.0000	0.0000	0.0000	0.0000
181	181	182	0.1362	0.1360	0.0000	0.0000	0.0000	0.0000
182	182	183	0.1363	0.1360	0.0000	0.0000	0.0000	0.0000
183	183	184	0.1715	0.1712	0.0000	0.0000	0.0000	0.0000
184	184	185	0.1715	0.1712	0.0000	0.0000	0.0000	0.0000
185	185	186	0.2114	0.2111	0.0000	0.0000	0.0000	0.0000
186	186	187	0.2115	0.2111	0.0000	0.0000	0.0000	0.0000
187	187	188	0.2115	0.2111	0.0000	0.0000	0.0000	0.0000
188	188	189	0.2116	0.2112	0.0000	0.0000	0.0000	0.0000
189	189	190	0.2117	0.2113	84.3100	14.1500	0.0000	0.0000
190	187	191	0.2115	0.2111	0.0000	0.0000	0.0000	0.0000
191	191	192	0.2116	0.2112	0.0000	0.0000	0.0000	0.0000
192	192	193	0.2117	0.2114	0.0000	0.0000	0.0000	0.0000
193	193	194	0.2152	0.2148	0.0000	0.0000	0.0000	0.0000
194	194	195	0.2153	0.2149	0.1300	0.0200	0.0000	0.0000
195	193	196	0.2189	0.2185	0.0000	0.0000	0.0000	0.0000
196	196	197	0.2304	0.2300	0.0000	0.0000	0.0000	0.0000
197	197	198	0.2304	0.2300	0.0000	0.0000	0.0000	0.0000
198	198	199	0.2305	0.2301	1.0300	0.1700	0.0000	0.0000
199	197	200	0.2304	0.2300	0.0000	0.0000	0.0000	0.0000
200	200	201	0.2438	0.2434	0.0000	0.0000	0.0000	0.0000
201	201	202	0.2438	0.2434	0.0000	0.0000	0.0000	0.0000
202	202	203	0.2439	0.2435	12.7700	2.1400	0.0000	0.0000
203	201	204	0.2438	0.2434	0.0000	0.0000	0.0000	0.0000
204	204	205	0.2513	0.2509	0.0000	0.0000	0.0000	0.0000
205	205	206	0.2514	0.2510	19.5600	3.2800	0.0000	0.0000
206	196	207	0.9461	0.2961	0.0000	0.0000	0.0000	0.0000
207	207	208	0.9463	0.2962	0.0000	0.0000	0.0000	0.0000
208	208	209	0.9465	0.2962	3.1600	0.5300	0.0000	0.0000
209	193	210	0.2119	0.2115	0.0000	0.0000	0.0000	0.0000
210	210	211	0.2232	0.2228	0.0000	0.0000	0.0000	0.0000
211	211	212	0.2240	0.2236	0.0000	0.0000	0.0000	0.0000
212	212	213	0.2240	0.2236	12.8100	2.1500	0.0000	0.0000
213	211	214	0.2232	0.2228	0.0000	0.0000	0.0000	0.0000
214	214	215	0.2232	0.2228	2.9500	0.5000	0.0000	0.0000
215	211	216	0.2232	0.2228	0.0000	0.0000	0.0000	0.0000
216	193	217	0.9475	0.2966	0.0000	0.0000	0.0000	0.0000
217	217	218	0.9477	0.2966	0.0000	0.0000	0.0000	0.0000
218	218	219	0.9478	0.2967	0.0000	0.0000	0.0000	0.0000
219	219	220	0.9480	0.2967	0.0000	0.0000	0.0000	0.0000
220	220	221	0.9489	0.2970	0.0000	0.0000	0.0000	0.0000
221	221	222	0.9498	0.2973	0.0000	0.0000	0.0000	0.0000
222	222	223	0.2213	0.2209	14.3500	2.4100	0.0000	0.0000
223	221	224	0.9645	0.3019	0.0000	0.0000	0.0000	0.0000
224	224	225	0.2248	0.2244	21.2000	3.5600	0.0000	0.0000
225	219	226	0.9480	0.2967	0.0000	0.0000	0.0000	0.0000
226	226	227	0.2243	0.2239	0.0000	0.0000	0.0000	0.0000
227	227	228	0.2243	0.2239	0.0000	0.0000	0.0000	0.0000
228	228	229	0.2318	0.2314	0.0000	0.0000	0.0000	0.0000
229	229	230	0.2319	0.2314	1.0000	0.1700	0.0000	0.0000
230	228	231	0.2244	0.2240	0.0000	0.0000	0.0000	0.0000
231	231	232	0.2245	0.2240	1.4900	0.2500	0.0000	0.0000
232	219	233	0.9481	0.2967	0.0000	0.0000	0.0000	0.0000
233	233	234	0.2213	0.2209	0.0000	0.0000	0.0000	0.0000
234	234	235	0.9685	0.3032	0.0000	0.0000	0.0000	0.0000
235	235	236	0.9687	0.3032	0.3800	0.0600	0.0000	0.0000
236	234	237	0.2261	0.2257	0.0000	0.0000	0.0000	0.0000
237	237	238	0.2262	0.2258	2.7100	0.4600	0.0000	0.0000
238	187	239	0.2115	0.2111	0.0000	0.0000	0.0000	0.0000
239	239	240	0.2116	0.2112	0.0000	0.0000	0.0000	0.0000
240	185	241	0.1716	0.1713	0.0000	0.0000	0.0000	0.0000
241	241	242	0.1867	0.1863	0.0000	0.0000	0.0000	0.0000



UNIVERSIDAD DE CUENCA

242	242	243	0.1867	0.1864	0.0000	0.0000	0.0000	0.0000
243	243	244	0.1868	0.1864	0.0000	0.0000	0.0000	0.0000
244	243	245	0.4096	0.2288	0.0000	0.0000	0.0000	0.0000
245	243	246	0.4096	0.2288	0.0000	0.0000	0.0000	0.0000
246	246	247	0.4097	0.2288	0.0000	0.0000	0.0000	0.0000
247	247	248	0.4108	0.2294	0.0000	0.0000	0.0000	0.0000
248	248	249	0.4108	0.2295	13.5300	2.2700	0.0000	0.0000
249	185	250	0.1716	0.1713	0.0000	0.0000	0.0000	0.0000
250	250	251	0.1716	0.1713	0.0000	0.0000	0.0000	0.0000
251	251	252	0.1717	0.1714	55.0500	9.2400	0.0000	0.0000
252	185	253	0.1715	0.1712	0.0000	0.0000	0.0000	0.0000
253	253	254	0.1716	0.1713	0.0000	0.0000	0.0000	0.0000
254	254	255	0.1718	0.1715	0.0000	0.0000	0.0000	0.0000
255	255	256	0.1718	0.1715	0.0000	0.0000	0.0000	0.0000
256	256	257	0.1786	0.1783	0.0000	0.0000	0.0000	0.0000
257	257	258	0.1894	0.1891	0.0000	0.0000	0.0000	0.0000
258	258	259	0.1895	0.1891	0.0000	0.0000	0.0000	0.0000
259	259	260	0.1895	0.1891	4.8600	0.8200	0.0000	0.0000
260	258	261	0.1895	0.1891	0.0000	0.0000	0.0000	0.0000
261	257	262	0.1836	0.1833	0.0000	0.0000	0.0000	0.0000
262	262	263	0.1836	0.1833	2.8400	0.4800	0.0000	0.0000
263	255	264	0.1719	0.1715	0.0000	0.0000	0.0000	0.0000
264	264	265	0.1819	0.1816	0.0000	0.0000	0.0000	0.0000
265	265	266	0.1819	0.1816	19.8300	3.3300	0.0000	0.0000
266	255	267	0.1718	0.1715	0.0000	0.0000	0.0000	0.0000
267	267	268	0.1868	0.1865	0.0000	0.0000	0.0000	0.0000
268	268	269	0.1868	0.1865	2.6600	0.4500	0.0000	0.0000
269	255	270	0.1719	0.1715	0.0000	0.0000	0.0000	0.0000
270	270	271	0.1864	0.1861	0.0000	0.0000	0.0000	0.0000
271	271	272	0.1864	0.1861	0.0000	0.0000	0.0000	0.0000
272	272	273	0.2068	0.2064	0.0000	0.0000	0.0000	0.0000
273	273	274	0.2068	0.2064	0.0000	0.0000	0.0000	0.0000
274	274	275	0.2147	0.2143	0.0000	0.0000	0.0000	0.0000
275	275	276	0.2147	0.2143	1.6100	0.2700	0.0000	0.0000
276	273	277	0.2068	0.2064	0.0000	0.0000	0.0000	0.0000
277	277	278	0.2068	0.2065	16.7700	2.8100	0.0000	0.0000
278	273	279	0.2068	0.2064	0.0000	0.0000	0.0000	0.0000
279	279	280	0.2310	0.2306	0.0000	0.0000	0.0000	0.0000
280	271	281	0.1864	0.1861	0.0000	0.0000	0.0000	0.0000
281	281	282	0.1864	0.1861	2.3400	0.3900	0.0000	0.0000
282	255	283	0.1719	0.1716	0.0000	0.0000	0.0000	0.0000
283	283	284	0.1791	0.1788	0.0000	0.0000	0.0000	0.0000
284	284	285	0.1791	0.1788	0.0000	0.0000	0.0000	0.0000
285	285	286	0.1792	0.1788	0.0000	0.0000	0.0000	0.0000
286	286	287	0.1792	0.1789	0.1100	0.0200	0.0000	0.0000
287	285	288	0.1802	0.1799	0.0000	0.0000	0.0000	0.0000
288	288	289	0.1802	0.1799	0.0000	0.0000	0.0000	0.0000
289	289	290	0.1802	0.1799	0.0000	0.0000	0.0000	0.0000
290	290	291	0.1803	0.1799	6.7600	1.1300	0.0000	0.0000
291	289	292	0.1959	0.1955	0.0000	0.0000	0.0000	0.0000
292	292	293	0.1959	0.1956	0.5000	0.0800	0.0000	0.0000
293	182	294	0.1363	0.1360	0.0000	0.0000	0.0000	0.0000
294	294	295	0.1363	0.1361	0.0000	0.0000	0.0000	0.0000
295	295	296	0.1364	0.1362	0.0000	0.0000	0.0000	0.0000
296	296	297	0.1364	0.1362	41.1900	6.9100	0.0000	0.0000
297	296	298	0.1365	0.1362	0.0000	0.0000	0.0000	50.0000
298	298	299	0.1365	0.1363	0.0000	0.0000	0.0000	0.0000
299	182	300	0.1363	0.1361	0.0000	0.0000	0.0000	0.0000
300	300	301	0.1364	0.1361	0.0000	0.0000	0.0000	0.0000
301	301	302	0.1408	0.1405	0.0000	0.0000	0.0000	0.0000
302	302	303	0.1408	0.1406	0.0000	0.0000	0.0000	0.0000
303	303	304	0.1739	0.1736	0.0000	0.0000	0.0000	0.0000
304	304	305	0.7476	0.2340	0.0000	0.0000	0.0000	0.0000



UNIVERSIDAD DE CUENCA

305	305	306	0.7477	0.2340	0.0000	0.0000	0.0000	0.0000
306	306	307	0.1742	0.1739	1.9100	0.3200	0.0000	0.0000
307	306	308	0.7479	0.2341	0.0000	0.0000	0.0000	0.0000
308	308	309	0.8324	0.2605	0.0000	0.0000	0.0000	0.0000
309	309	310	0.8352	0.2614	26.8800	4.5100	0.0000	0.0000
310	304	311	0.1739	0.1736	0.0000	0.0000	0.0000	0.0000
311	311	312	0.1739	0.1736	13.2900	2.2300	0.0000	0.0000
312	302	313	0.1408	0.1405	0.0000	0.0000	0.0000	0.0000
313	313	314	0.1445	0.1443	0.0000	0.0000	0.0000	0.0000
314	314	315	0.1445	0.1443	0.0000	0.0000	0.0000	0.0000
315	315	316	0.5744	0.1313	0.0000	0.0000	0.0000	0.0000
316	316	317	0.5747	0.1313	1.4200	0.2400	0.0000	0.0000
317	315	318	0.1497	0.1494	0.0000	0.0000	0.0000	0.0000
318	318	319	0.1497	0.1494	0.0000	0.0000	0.0000	0.0000
319	319	320	0.1507	0.1505	0.0000	0.0000	0.0000	0.0000
320	320	321	0.1508	0.1505	6.4900	1.0900	0.0000	0.0000
321	318	322	0.1497	0.1494	0.0000	0.0000	0.0000	0.0000
322	322	323	0.1497	0.1495	2.9900	0.5000	0.0000	0.0000
323	315	324	0.1446	0.1443	0.0000	0.0000	0.0000	0.0000
324	324	325	0.1446	0.1443	7.5300	1.2600	0.0000	0.0000
325	302	326	0.1408	0.1405	0.0000	0.0000	0.0000	0.0000
326	326	327	0.1408	0.1406	15.3900	2.5800	0.0000	0.0000
327	1	328	0.0000	0.0000	0.0000	0.0000	0.0000	0.0000
328	1	329	0.0000	0.0000	0.0000	0.0000	0.0000	0.0000
329	329	330	0.0846	0.0845	0.0000	0.0000	0.0000	0.0000
330	330	331	0.0846	0.0845	0.0000	0.0000	0.0000	0.0000
331	331	332	0.0847	0.0846	0.0000	0.0000	0.0000	0.0000
332	332	333	0.1338	0.1336	0.0000	0.0000	0.0000	0.0000
333	333	334	0.1338	0.1336	0.0000	0.0000	0.0000	0.0000
334	334	335	0.1339	0.1337	0.0000	0.0000	0.0000	0.0000
335	335	336	0.1743	0.1740	0.0000	0.0000	0.0000	0.0000
336	336	337	0.1744	0.1740	0.0000	0.0000	0.0000	0.0000
337	337	338	0.1744	0.1741	0.0000	0.0000	0.0000	0.0000
338	338	339	0.2115	0.2111	0.0000	0.0000	0.0000	0.0000
339	339	340	0.2115	0.2111	0.0000	0.0000	0.0000	0.0000
340	340	341	0.2116	0.2112	0.0000	0.0000	0.0000	0.0000
341	341	342	0.2116	0.2113	0.0000	0.0000	0.0000	0.0000
342	342	343	0.2117	0.2113	33.2224	0.1630	0.0000	0.0000
343	340	344	0.2116	0.2112	0.0000	0.0000	0.0000	0.0000
344	344	345	0.2116	0.2112	0.0000	0.0000	0.0000	0.0000
345	345	346	0.2118	0.2114	0.0000	0.0000	0.0000	0.0000
346	346	347	0.9091	0.2846	0.0000	0.0000	0.0000	0.0000
347	347	348	0.9379	0.2936	0.0000	0.0000	0.0000	0.0000
348	348	349	0.2186	0.2182	6.1136	0.0300	0.0000	0.0000
349	346	350	0.2545	0.2541	0.0000	0.0000	0.0000	0.0000
350	340	351	0.2116	0.2112	0.0000	0.0000	0.0000	0.0000
351	337	352	0.1744	0.1741	0.0000	0.0000	0.0000	0.0000
352	352	353	0.1745	0.1742	0.0000	0.0000	0.0000	0.0000
353	353	354	0.1819	0.1816	0.0000	0.0000	0.0000	0.0000
354	354	355	0.1821	0.1818	8.4470	0.0414	0.0000	0.0000
355	337	356	0.1745	0.1742	0.0000	0.0000	0.0000	0.0000
356	356	357	0.1745	0.1742	0.0000	0.0000	0.0000	0.0000
357	357	358	0.1746	0.1743	83.2499	0.4084	0.0000	0.0000
358	337	359	0.7486	0.2343	0.0000	0.0000	0.0000	0.0000
359	359	360	0.8710	0.2726	0.0000	0.0000	0.0000	0.0000
360	360	361	0.8715	0.2728	0.0000	0.0000	0.0000	0.0000
361	361	362	0.8719	0.2729	0.0000	0.0000	0.0000	0.0000
362	334	363	0.1339	0.1336	0.0000	0.0000	0.0000	0.0000
363	363	364	0.1339	0.1337	0.0000	0.0000	0.0000	0.0000
364	364	365	0.1340	0.1338	43.0789	0.2113	0.0000	0.0000
365	334	366	0.1339	0.1337	0.0000	0.0000	0.0000	0.0000
366	366	367	0.1340	0.1337	0.0000	0.0000	0.0000	0.0000
367	367	368	0.1630	0.1627	0.0000	0.0000	0.0000	0.0000



UNIVERSIDAD DE CUENCA

368	368	369	0.1630	0.1627	0.0000	0.0000	0.0000	0.0000
369	369	370	0.1631	0.1628	0.0000	0.0000	0.0000	0.0000
370	369	371	0.1631	0.1628	0.0000	0.0000	0.0000	0.0000
371	371	372	0.1631	0.1628	0.0000	0.0000	0.0000	0.0000
372	369	373	0.1631	0.1628	0.0000	0.0000	0.0000	0.0000
373	373	374	0.1631	0.1628	0.0000	0.0000	0.0000	0.0000
374	374	375	0.1632	0.1629	24.6718	0.1210	0.0000	0.0000
375	331	376	0.0847	0.0845	0.0000	0.0000	0.0000	0.0000
376	376	377	0.0847	0.0846	0.0000	0.0000	0.0000	0.0000
377	377	378	0.0913	0.0912	0.0000	0.0000	0.0000	0.0000
378	378	379	0.1027	0.1025	0.0000	0.0000	0.0000	0.0000
379	379	380	0.1131	0.1129	0.0000	0.0000	0.0000	0.0000
380	380	381	0.1132	0.1130	0.0000	0.0000	0.0000	0.0000
381	381	382	0.1133	0.1130	0.0000	0.0000	0.0000	0.0000
382	382	383	0.1133	0.1131	0.0000	0.0000	0.0000	0.0000
383	383	384	0.1503	0.1500	0.0000	0.0000	0.0000	0.0000
384	384	385	0.1503	0.1500	0.0000	0.0000	0.0000	0.0000
385	385	386	0.1504	0.1502	0.0000	0.0000	0.0000	0.0000
386	386	387	0.1505	0.1502	0.0000	0.0000	0.0000	0.0000
387	387	388	0.1505	0.1502	0.0000	0.0000	0.0000	0.0000
388	388	389	0.1506	0.1503	61.2286	0.3004	0.0000	0.0000
389	388	390	0.6531	0.2044	0.0000	0.0000	0.0000	0.0000
390	390	391	0.6533	0.2045	21.2955	0.1045	0.0000	0.0000
391	385	392	0.1504	0.1501	0.0000	0.0000	0.0000	0.0000
392	392	393	0.1504	0.1502	0.0000	0.0000	0.0000	0.0000
393	393	394	0.1507	0.1505	0.0000	0.0000	0.0000	0.0000
394	394	395	0.1508	0.1505	0.0000	0.0000	0.0000	0.0000
395	395	396	0.1580	0.1577	0.0000	0.0000	0.0000	0.0000
396	396	397	0.1787	0.1784	0.0000	0.0000	0.0000	0.0000
397	397	398	0.1788	0.1784	0.0000	0.0000	0.0000	0.0000
398	398	399	0.1788	0.1785	6.0498	0.0297	0.0000	0.0000
399	396	400	0.1668	0.1665	0.0000	0.0000	0.0000	0.0000
400	400	401	0.1668	0.1665	1.6429	0.0081	0.0000	0.0000
401	394	402	0.1508	0.1505	0.0000	0.0000	0.0000	0.0000
402	402	403	0.6723	0.2104	0.0000	0.0000	0.0000	0.0000
403	403	404	0.6732	0.2107	3.4855	0.0171	0.0000	0.0000
404	385	405	0.1504	0.1501	0.0000	0.0000	0.0000	0.0000
405	405	406	0.1504	0.1501	0.0000	0.0000	0.0000	0.0000
406	381	407	0.1133	0.1131	0.0000	0.0000	0.0000	0.0000
407	407	408	0.1133	0.1131	0.0000	0.0000	0.0000	0.0000
408	408	409	0.1134	0.1132	6.5323	0.0320	0.0000	0.0000
409	331	410	0.0847	0.0845	0.0000	0.0000	0.0000	0.0000
410	410	411	0.0847	0.0846	0.0000	0.0000	0.0000	0.0000
411	411	412	0.0848	0.0847	0.0000	0.0000	0.0000	0.0000
412	412	413	0.0848	0.0847	55.5864	0.2727	0.0000	0.0000
413	412	414	0.0849	0.0847	0.0000	0.0000	0.0000	50.0000
414	414	415	0.0849	0.0848	0.0000	0.0000	0.0000	0.0000
415	416	417	0.0000	0.0000	0.0000	0.0000	0.0000	0.0000
416	416	418	0.0001	0.0001	0.0000	0.0000	0.0000	0.0000
417	418	419	0.0662	0.0660	0.0000	0.0000	0.0000	0.0000
418	419	420	0.1309	0.1307	0.0000	0.0000	0.0000	0.0000
419	420	421	0.1309	0.1307	0.0000	0.0000	0.0000	0.0000
420	421	422	0.1310	0.1307	0.0000	0.0000	0.0000	0.0000
421	422	423	0.1310	0.1308	0.0000	0.0000	0.0000	0.0000
422	423	424	0.3560	0.1497	0.0000	0.0000	0.0000	0.0000
423	424	425	0.3561	0.1497	22.1206	7.6511	0.0000	0.0000
424	424	426	0.1313	0.1310	0.0000	0.0000	0.0000	50.0000
425	426	427	0.1313	0.1311	0.0000	0.0000	0.0000	0.0000
426	421	428	0.1309	0.1307	0.0000	0.0000	0.0000	0.0000
427	428	429	0.1310	0.1308	0.0000	0.0000	0.0000	0.0000
428	429	430	0.5884	0.1842	7.8643	2.7201	0.0000	0.0000
429	421	431	0.1310	0.1307	0.0000	0.0000	0.0000	0.0000
430	431	432	0.5621	0.1759	0.0000	0.0000	0.0000	0.0000



UNIVERSIDAD DE CUENCA

431	432	433	0.1310	0.1307	0.0000	0.0000	0.0000	0.0000
432	433	434	0.1385	0.1383	0.0000	0.0000	0.0000	0.0000
433	434	435	0.1391	0.1389	0.0000	0.0000	0.0000	0.0000
434	435	436	0.1393	0.1390	0.0000	0.0000	0.0000	0.0000
435	436	437	0.0006	0.0005	0.0000	0.0000	0.0000	0.0000
436	437	438	0.0006	0.0005	0.0000	0.0000	0.0000	0.0000
437	438	439	0.0006	0.0005	0.0000	0.0000	0.0000	0.0000
438	437	440	0.0067	0.0064	0.0000	0.0000	0.0000	0.0000
439	440	441	0.0680	0.0649	0.0000	0.0000	0.0000	0.0000
440	441	442	0.0490	0.0468	0.0000	0.0000	0.0000	0.0000
441	442	443	0.0214	0.0204	0.0000	0.0000	0.0000	0.0000
442	443	444	0.0497	0.0475	0.0000	0.0000	0.0000	0.0000
443	444	445	0.0285	0.0272	0.0000	0.0000	0.0000	0.0000
444	444	446	0.8263	0.2586	0.0000	0.0000	0.0000	0.0000
445	446	447	0.8264	0.2587	0.0000	0.0000	0.0000	0.0000
446	444	448	0.5311	0.2232	0.0000	0.0000	0.0000	0.0000
447	448	449	0.5319	0.2236	34.9678	12.0947	0.0000	0.0000
448	443	450	0.0361	0.0219	0.0000	0.0000	0.0000	0.0000
449	450	451	0.0375	0.0228	0.0000	0.0000	0.0000	0.0000
450	451	452	0.0002	0.0001	0.0000	0.0000	0.0000	0.0000
451	452	453	0.0002	0.0001	10.0694	3.4828	0.0000	0.0000
452	442	454	0.0001	0.0001	0.0000	0.0000	0.0000	0.0000
453	454	455	0.0001	0.0001	28.1611	9.7404	0.0000	0.0000
454	441	456	0.0079	0.0093	0.0000	0.0000	0.0000	0.0000
455	456	457	0.0001	0.0002	0.0000	0.0000	0.0000	0.0000
456	457	458	0.2396	0.1627	0.0000	0.0000	0.0000	0.0000
457	458	459	0.1803	0.1800	0.0000	0.0000	0.0000	0.0000
458	459	460	0.2679	0.1819	0.0000	0.0000	0.0000	0.0000
459	440	461	0.0089	0.0085	0.0000	0.0000	0.0000	0.0000
460	461	462	0.0002	0.0002	12.3991	4.2886	0.0000	0.0000
461	440	463	0.0435	0.0416	0.0000	0.0000	0.0000	0.0000
462	463	464	0.0640	0.0611	0.0000	0.0000	0.0000	0.0000
463	464	465	0.0001	0.0001	0.0000	0.0000	0.0000	0.0000
464	465	466	0.0001	0.0001	16.4152	5.6777	0.0000	0.0000
465	464	467	0.3755	0.1918	0.0000	0.0000	0.0000	0.0000
466	467	468	0.3756	0.1918	1.7894	0.6189	0.0000	0.0000
467	463	469	0.0077	0.0074	0.0000	0.0000	0.0000	0.0000
468	463	470	0.0438	0.0418	0.0000	0.0000	0.0000	0.0000
469	470	471	0.0076	0.0073	0.0000	0.0000	0.0000	0.0000
470	471	472	0.0146	0.0139	0.0000	0.0000	0.0000	0.0000
471	472	473	0.0140	0.0134	0.0000	0.0000	0.0000	0.0000
472	473	474	0.0172	0.0164	0.0000	0.0000	0.0000	0.0000
473	474	475	0.0048	0.0045	0.0000	0.0000	0.0000	0.0000
474	475	476	0.0145	0.0139	0.0000	0.0000	0.0000	0.0000
475	476	477	0.0002	0.0002	0.0000	0.0000	0.0000	0.0000
476	477	478	0.0002	0.0002	6.0127	2.0797	0.0000	0.0000
477	474	479	0.0126	0.0120	0.0000	0.0000	0.0000	0.0000
478	479	480	0.0002	0.0002	0.0000	0.0000	0.0000	0.0000
479	480	481	0.0002	0.0002	3.1214	1.0796	0.0000	0.0000
480	474	482	0.0088	0.0084	0.0000	0.0000	0.0000	0.0000
481	472	483	0.0002	0.0002	0.0000	0.0000	0.0000	0.0000
482	483	484	0.0002	0.0002	3.2266	1.1160	0.0000	0.0000
483	470	485	0.0153	0.0146	0.0000	0.0000	0.0000	0.0000
484	485	486	0.0002	0.0002	0.0000	0.0000	0.0000	0.0000
485	486	487	0.0002	0.0002	6.7154	2.3227	0.0000	0.0000
486	485	488	0.0522	0.0498	0.0000	0.0000	0.0000	0.0000
487	488	489	0.0131	0.0126	0.0000	0.0000	0.0000	0.0000
488	488	490	0.0120	0.0115	0.0000	0.0000	0.0000	0.0000
489	490	491	0.0240	0.0229	0.0000	0.0000	0.0000	0.0000
490	491	492	0.0002	0.0002	0.0000	0.0000	0.0000	0.0000
491	492	493	0.0002	0.0002	4.8791	1.6876	0.0000	0.0000
492	490	494	0.7896	0.2472	0.0000	0.0000	0.0000	0.0000
493	494	495	0.7907	0.2475	0.0000	0.0000	0.0000	0.0000



UNIVERSIDAD DE CUENCA

494	495	496	0.8133	0.2546	0.0000	0.0000	0.0000	0.0000
495	496	497	0.8134	0.2546	0.0000	0.0000	0.0000	0.0000
496	497	498	0.8136	0.2547	3.4152	1.1813	0.0000	0.0000
497	488	499	0.0148	0.0141	0.0000	0.0000	0.0000	0.0000
498	499	500	0.1846	0.1843	0.0000	0.0000	0.0000	0.0000
499	500	501	0.2429	0.2425	0.0000	0.0000	0.0000	0.0000
500	501	502	0.2430	0.2425	0.0000	0.0000	0.0000	0.0000
501	499	503	0.7929	0.2482	0.0000	0.0000	0.0000	0.0000
502	503	504	0.7937	0.2484	0.0000	0.0000	0.0000	0.0000
503	504	505	0.8056	0.2522	0.0000	0.0000	0.0000	0.0000
504	505	506	0.8345	0.2612	0.0000	0.0000	0.0000	0.0000
505	506	507	0.8639	0.2704	0.0000	0.0000	0.0000	0.0000
506	507	508	0.8641	0.2705	0.0000	0.0000	0.0000	0.0000
507	508	509	0.0003	0.0002	2.5234	0.8728	0.0000	0.0000
508	506	510	0.8450	0.2645	0.0000	0.0000	0.0000	0.0000
509	510	511	0.8452	0.2645	0.0000	0.0000	0.0000	0.0000
510	511	512	0.0003	0.0002	2.9204	1.0101	0.0000	0.0000
511	505	513	0.8058	0.2522	0.0000	0.0000	0.0000	0.0000
512	513	514	0.0003	0.0002	4.6340	1.6028	0.0000	0.0000
513	435	515	0.1393	0.1390	0.0000	0.0000	0.0000	0.0000
514	432	516	0.1310	0.1307	0.0000	0.0000	0.0000	0.0000
515	516	517	0.1776	0.1773	0.0000	0.0000	0.0000	0.0000
516	517	518	0.1812	0.1809	0.0000	0.0000	0.0000	0.0000
517	518	519	0.1812	0.1809	0.0000	0.0000	0.0000	0.0000
518	519	520	0.1813	0.1810	0.0000	0.0000	0.0000	0.0000
519	520	521	0.2159	0.2155	0.0000	0.0000	0.0000	0.0000
520	521	522	0.2159	0.2155	0.0000	0.0000	0.0000	0.0000
521	522	523	0.2160	0.2156	0.0000	0.0000	0.0000	0.0000
522	523	524	0.2161	0.2157	0.0000	0.0000	0.0000	0.0000
523	524	525	0.2162	0.2158	41.0646	14.2035	0.0000	0.0000
524	522	526	0.2160	0.2156	0.0000	0.0000	0.0000	0.0000
525	526	527	0.2160	0.2156	0.0000	0.0000	0.0000	0.0000
526	527	528	0.2162	0.2158	0.0000	0.0000	0.0000	0.0000
527	528	529	0.9671	0.3027	0.0000	0.0000	0.0000	0.0000
528	529	530	0.9675	0.3028	12.7370	4.4055	0.0000	0.0000
529	528	531	0.9657	0.3023	0.0000	0.0000	0.0000	0.0000
530	531	532	0.9826	0.3075	0.0000	0.0000	0.0000	0.0000
531	532	533	1.0173	0.3184	3.7028	1.2807	0.0000	0.0000
532	532	534	1.0244	0.3206	0.0000	0.0000	0.0000	0.0000
533	534	535	1.0247	0.3207	12.0425	4.1653	0.0000	0.0000
534	531	536	1.0142	0.3175	0.0000	0.0000	0.0000	0.0000
535	536	537	1.0145	0.3176	0.0000	0.0000	0.0000	0.0000
536	537	538	1.0148	0.3176	3.2038	1.1081	0.0000	0.0000
537	528	539	0.2219	0.2215	0.0000	0.0000	0.0000	0.0000
538	539	540	0.2221	0.2217	0.6653	0.2301	0.0000	0.0000
539	528	541	0.2532	0.2527	0.0000	0.0000	0.0000	0.0000
540	541	542	0.2532	0.2527	0.0000	0.0000	0.0000	0.0000
541	542	543	0.2532	0.2528	0.0000	0.0000	0.0000	0.0000
542	543	544	0.2533	0.2528	0.0000	0.0000	0.0000	0.0000
543	544	545	0.2534	0.2530	15.7252	5.4391	0.0000	0.0000
544	542	546	0.2533	0.2528	0.0000	0.0000	0.0000	0.0000
545	546	547	0.2533	0.2529	0.0000	0.0000	0.0000	0.0000
546	547	548	0.2534	0.2529	0.0000	0.0000	0.0000	0.0000
547	528	549	0.2294	0.2289	0.0000	0.0000	0.0000	0.0000
548	549	550	0.2294	0.2290	0.0000	0.0000	0.0000	0.0000
549	550	551	1.0577	0.3311	0.0000	0.0000	0.0000	0.0000
550	551	552	0.2466	0.2461	0.9105	0.3149	0.0000	0.0000
551	549	553	0.2296	0.2292	0.0000	0.0000	0.0000	0.0000
552	553	554	0.2297	0.2293	0.0000	0.0000	0.0000	0.0000
553	554	555	0.2298	0.2294	3.0658	1.0604	0.0000	0.0000
554	522	556	0.2159	0.2155	0.0000	0.0000	0.0000	0.0000
555	556	557	0.2527	0.2522	0.0000	0.0000	0.0000	0.0000
556	557	558	0.2527	0.2523	0.0000	0.0000	0.0000	0.0000



UNIVERSIDAD DE CUENCA

557	558	559	0.2528	0.2523	0.0000	0.0000	0.0000	0.0000
558	559	560	0.2528	0.2523	0.0000	0.0000	0.0000	0.0000
559	560	561	0.2534	0.2530	0.0000	0.0000	0.0000	0.0000
560	561	562	1.0453	0.2389	0.0000	0.0000	0.0000	0.0000
561	562	563	1.0455	0.2390	0.0000	0.0000	0.0000	0.0000
562	563	564	1.0457	0.2390	1.1951	0.4134	0.0000	0.0000
563	561	565	0.5559	0.3105	0.0000	0.0000	0.0000	0.0000
564	565	566	0.6085	0.3399	0.0000	0.0000	0.0000	0.0000
565	566	567	1.2336	0.3861	0.0000	0.0000	0.0000	0.0000
566	567	568	1.2342	0.3863	0.0000	0.0000	0.0000	0.0000
567	568	569	0.2881	0.2876	1.2266	0.4243	0.0000	0.0000
568	566	570	0.2777	0.2772	0.0000	0.0000	0.0000	0.0000
569	561	571	0.5559	0.3105	0.0000	0.0000	0.0000	0.0000
570	571	572	0.5880	0.3284	0.0000	0.0000	0.0000	0.0000
571	572	573	0.2687	0.2682	5.8801	2.0338	0.0000	0.0000
572	558	574	0.2528	0.2523	0.0000	0.0000	0.0000	0.0000
573	574	575	0.2529	0.2524	0.0000	0.0000	0.0000	0.0000
574	575	576	0.2529	0.2524	44.5975	15.4255	0.0000	0.0000
575	519	577	0.1813	0.1809	0.0000	0.0000	0.0000	0.0000
576	577	578	0.1813	0.1810	0.0000	0.0000	0.0000	0.0000
577	519	579	0.1813	0.1810	0.0000	0.0000	0.0000	0.0000
578	579	580	0.1814	0.1810	0.0000	0.0000	0.0000	0.0000
579	580	581	0.1815	0.1811	45.4896	15.7340	0.0000	0.0000
580	416	582	0.0000	0.0000	0.0000	0.0000	0.0000	0.0000
581	582	583	0.0001	0.0001	0.0000	0.0000	0.0000	0.0000
582	583	584	0.0101	0.0101	0.0000	0.0000	0.0000	0.0000
583	584	585	0.0101	0.0101	0.0000	0.0000	0.0000	0.0000
584	585	586	0.0102	0.0102	0.0000	0.0000	0.0000	0.0000
585	586	587	0.0102	0.0102	0.0000	0.0000	0.0000	0.0000
586	587	588	0.0103	0.0103	0.0000	0.0000	0.0000	0.0000
587	588	589	0.0103	0.0103	41.8995	10.8497	0.0000	0.0000
588	588	590	0.0104	0.0104	0.0000	0.0000	0.0000	50.0000
589	590	591	0.0105	0.0104	0.0000	0.0000	0.0000	0.0000
590	585	592	0.0102	0.0102	0.0000	0.0000	0.0000	0.0000
591	592	593	0.0464	0.0145	0.0000	0.0000	0.0000	0.0000
592	593	594	0.0512	0.0160	0.0000	0.0000	0.0000	0.0000
593	594	595	0.0613	0.0192	0.0000	0.0000	0.0000	0.0000
594	595	596	0.0759	0.0238	0.0000	0.0000	0.0000	0.0000
595	596	597	0.0772	0.0241	0.0000	0.0000	0.0000	0.0000
596	597	598	0.0877	0.0275	0.0000	0.0000	0.0000	0.0000
597	598	599	0.0879	0.0275	0.0000	0.0000	0.0000	0.0000
598	599	600	0.0881	0.0276	0.8037	0.2081	0.0000	0.0000
599	585	601	0.0102	0.0102	0.0000	0.0000	0.0000	0.0000
600	601	602	0.0473	0.0472	0.0000	0.0000	0.0000	0.0000
601	602	603	0.0473	0.0472	0.0000	0.0000	0.0000	0.0000
602	603	604	0.0474	0.0473	0.0000	0.0000	0.0000	0.0000
603	604	605	0.0899	0.0897	0.0000	0.0000	0.0000	0.0000
604	605	606	0.0900	0.0899	0.0000	0.0000	0.0000	0.0000
605	606	607	0.0901	0.0899	0.0000	0.0000	0.0000	0.0000
606	607	608	0.0901	0.0900	0.0000	0.0000	0.0000	0.0000
607	608	609	0.0902	0.0900	0.0000	0.0000	0.0000	0.0000
608	609	610	0.0902	0.0901	43.6336	11.2987	0.0000	0.0000
609	609	611	0.0902	0.0901	0.0000	0.0000	0.0000	50.0000
610	611	612	0.0903	0.0901	0.0000	0.0000	0.0000	0.0000
611	606	613	0.0901	0.0899	0.0000	0.0000	0.0000	0.0000
612	614	613	0.0901	0.0899	0.0000	0.0000	0.0000	0.0000
613	615	614	0.0902	0.0900	0.0000	0.0000	0.0000	0.0000
614	615	616	0.0902	0.0900	0.0000	0.0000	0.0000	0.0000
615	615	617	0.0902	0.0901	0.0000	0.0000	0.0000	0.0000
616	617	618	0.1088	0.1086	0.0000	0.0000	0.0000	0.0000
617	618	619	0.4804	0.1504	0.0000	0.0000	0.0000	0.0000
618	619	620	0.4809	0.1505	2.1707	0.5621	0.0000	0.0000
619	618	621	0.1089	0.1087	41.0690	10.6346	0.0000	0.0000



UNIVERSIDAD DE CUENCA

620	621	622	0.1090	0.1088	0.0000	0.0000	0.0000	0.0000
621	622	623	0.1092	0.1090	0.0000	0.0000	0.0000	0.0000
622	618	624	0.1258	0.1256	0.0000	0.0000	0.0000	0.0000
623	624	625	0.1260	0.1257	4.9842	1.2906	0.0000	0.0000
624	615	626	0.0902	0.0900	0.0000	0.0000	0.0000	0.0000
625	626	627	0.0938	0.0936	0.0000	0.0000	0.0000	0.0000
626	627	628	0.0941	0.0939	2.1657	0.5608	0.0000	0.0000
627	615	629	0.0902	0.0901	0.0000	0.0000	0.0000	0.0000
628	629	630	0.1080	0.1078	0.0000	0.0000	0.0000	0.0000
629	630	631	0.1082	0.1080	0.0000	0.0000	0.0000	0.0000
630	631	632	0.1084	0.1082	2.3975	0.6208	0.0000	0.0000
631	630	633	0.1259	0.1256	0.0000	0.0000	0.0000	0.0000
632	633	634	0.1260	0.1258	0.6532	0.1691	0.0000	0.0000
633	635	615	0.0902	0.0901	0.0000	0.0000	0.0000	0.0000
634	636	635	0.0950	0.0949	0.0000	0.0000	0.0000	0.0000
635	615	637	0.3873	0.1212	0.0000	0.0000	0.0000	0.0000
636	637	638	0.4556	0.1426	0.0000	0.0000	0.0000	0.0000
637	638	639	0.4558	0.1427	3.1270	0.8097	0.0000	0.0000
638	606	640	0.0901	0.0899	0.0000	0.0000	0.0000	0.0000
639	640	641	0.1282	0.1279	0.0000	0.0000	0.0000	0.0000
640	641	642	0.1282	0.1280	0.0000	0.0000	0.0000	0.0000
641	642	643	0.1283	0.1281	0.0000	0.0000	0.0000	0.0000
642	643	644	0.1455	0.1452	0.0000	0.0000	0.0000	0.0000
643	644	645	0.1455	0.1452	0.0000	0.0000	0.0000	0.0000
644	645	646	0.1457	0.1454	0.0000	0.0000	0.0000	0.0000
645	646	647	0.1457	0.1454	0.0000	0.0000	0.0000	0.0000
646	647	648	0.1458	0.1455	46.4177	12.0196	0.0000	0.0000
647	645	649	0.1456	0.1454	0.0000	0.0000	0.0000	0.0000
648	649	650	0.1457	0.1454	0.0000	0.0000	0.0000	0.0000
649	650	651	0.1458	0.1455	0.0000	0.0000	0.0000	0.0000
650	651	652	0.1458	0.1456	0.0000	0.0000	0.0000	0.0000
651	652	653	0.1459	0.1456	0.0000	0.0000	0.0000	0.0000
652	653	654	0.1604	0.1601	0.0000	0.0000	0.0000	0.0000
653	654	655	0.1604	0.1601	0.0000	0.0000	0.0000	0.0000
654	655	656	0.1606	0.1603	9.4409	2.4447	0.0000	0.0000
655	654	657	0.7283	0.2280	0.0000	0.0000	0.0000	0.0000
656	657	658	0.7285	0.2280	0.0000	0.0000	0.0000	0.0000
657	658	659	0.7287	0.2281	2.3526	0.6092	0.0000	0.0000
658	653	660	0.7085	0.2218	0.0000	0.0000	0.0000	0.0000
659	660	661	0.7091	0.2220	0.0000	0.0000	0.0000	0.0000
660	661	662	0.7096	0.2221	0.0000	0.0000	0.0000	0.0000
661	651	663	0.1458	0.1456	0.0000	0.0000	0.0000	0.0000
662	663	664	0.1544	0.1541	0.0000	0.0000	0.0000	0.0000
663	664	665	0.1555	0.1552	0.0000	0.0000	0.0000	0.0000
664	665	666	0.1557	0.1554	0.0000	0.0000	0.0000	0.0000
665	664	667	0.1564	0.1561	0.0000	0.0000	0.0000	0.0000
666	667	668	0.1575	0.1572	0.0000	0.0000	0.0000	0.0000
667	668	669	0.1648	0.1645	0.0000	0.0000	0.0000	0.0000
668	669	670	0.1792	0.1789	0.0000	0.0000	0.0000	0.0000
669	670	671	0.1809	0.1805	0.0000	0.0000	0.0000	0.0000
670	671	672	0.1810	0.1807	3.9521	1.0234	0.0000	0.0000
671	670	673	0.1794	0.1791	0.0000	0.0000	0.0000	0.0000
672	673	674	0.1795	0.1792	1.0704	0.2772	0.0000	0.0000
673	669	675	0.1650	0.1647	0.0000	0.0000	0.0000	0.0000
674	675	676	0.1651	0.1648	2.5358	0.6566	0.0000	0.0000
675	668	677	0.1591	0.1589	0.0000	0.0000	0.0000	0.0000
676	677	678	0.1592	0.1589	0.0000	0.0000	0.0000	0.0000
677	678	679	0.1593	0.1590	43.7354	11.3250	0.0000	0.0000
678	677	680	0.1626	0.1623	0.0000	0.0000	0.0000	0.0000
679	680	681	0.1639	0.1636	0.0000	0.0000	0.0000	0.0000
680	681	682	0.1716	0.1713	0.0000	0.0000	0.0000	0.0000
681	682	683	0.1717	0.1714	0.0000	0.0000	0.0000	0.0000
682	683	684	0.1719	0.1715	0.0000	0.0000	0.0000	0.0000



UNIVERSIDAD DE CUENCA

683	684	685	0.1731	0.1728	0.0000	0.0000	0.0000	0.0000
684	685	686	0.1733	0.1730	4.0213	1.0413	0.0000	0.0000
685	683	687	0.1719	0.1716	0.0000	0.0000	0.0000	0.0000
686	687	688	0.2105	0.2101	0.0000	0.0000	0.0000	0.0000
687	683	689	0.1719	0.1716	0.0000	0.0000	0.0000	0.0000
688	689	690	0.1720	0.1717	11.7308	3.0376	0.0000	0.0000
689	683	691	0.1720	0.1717	0.0000	0.0000	0.0000	0.0000
690	681	692	0.1640	0.1637	51.7066	13.3891	0.0000	0.0000
691	692	693	0.1642	0.1639	0.0000	0.0000	0.0000	0.0000
692	693	694	0.1643	0.1640	0.0000	0.0000	0.0000	0.0000
693	667	695	0.1575	0.1572	0.0000	0.0000	0.0000	0.0000
694	695	696	0.1577	0.1574	0.7602	0.1968	0.0000	0.0000
695	651	697	0.1458	0.1456	0.0000	0.0000	0.0000	0.0000
696	697	698	0.1586	0.1583	0.0000	0.0000	0.0000	0.0000
697	645	699	0.1456	0.1453	0.0000	0.0000	0.0000	0.0000
698	699	700	0.1808	0.1805	0.0000	0.0000	0.0000	0.0000
699	642	701	0.1284	0.1282	0.0000	0.0000	0.0000	0.0000
700	701	702	0.1284	0.1282	0.0000	0.0000	0.0000	0.0000
701	702	703	0.1285	0.1283	29.7324	7.6990	0.0000	0.0000
702	642	704	0.1283	0.1281	0.0000	0.0000	0.0000	0.0000
703	704	705	0.6526	0.2043	0.0000	0.0000	0.0000	0.0000
704	705	706	0.6527	0.2043	0.0000	0.0000	0.0000	0.0000
705	706	707	0.6527	0.2043	0.0000	0.0000	0.0000	0.0000
706	707	708	0.6529	0.2044	0.1840	0.0476	0.0000	0.0000
707	603	709	0.0473	0.0472	0.0000	0.0000	0.0000	0.0000
708	709	710	0.0474	0.0473	0.0000	0.0000	0.0000	0.0000
709	710	711	0.0476	0.0475	0.0000	0.0000	0.0000	0.0000
710	711	712	0.0476	0.0476	0.0000	0.0000	0.0000	0.0000
711	712	713	0.0894	0.0892	0.0000	0.0000	0.0000	0.0000
712	713	714	0.0985	0.0983	0.0000	0.0000	0.0000	0.0000
713	714	715	0.0985	0.0983	0.0000	0.0000	0.0000	0.0000
714	715	716	0.0986	0.0984	0.0000	0.0000	0.0000	0.0000
715	716	717	0.0986	0.0984	0.0000	0.0000	0.0000	0.0000
716	717	718	0.0987	0.0985	31.7778	8.2287	0.0000	0.0000
717	715	719	0.0985	0.0984	0.0000	0.0000	0.0000	0.0000
718	719	720	0.0986	0.0984	0.0000	0.0000	0.0000	0.0000
719	715	721	0.0986	0.0984	0.0000	0.0000	0.0000	0.0000
720	721	722	0.1268	0.1266	0.0000	0.0000	0.0000	0.0000
721	722	723	0.1268	0.1266	0.0000	0.0000	0.0000	0.0000
722	723	724	0.1269	0.1267	0.0000	0.0000	0.0000	0.0000
723	724	725	0.1560	0.1557	0.0000	0.0000	0.0000	0.0000
724	725	726	0.7221	0.2260	0.0000	0.0000	0.0000	0.0000
725	726	727	0.7231	0.2263	6.8644	1.7775	0.0000	0.0000
726	723	728	0.1269	0.1266	0.0000	0.0000	0.0000	0.0000
727	728	729	0.1269	0.1267	0.0000	0.0000	0.0000	0.0000
728	723	730	0.1269	0.1267	0.0000	0.0000	0.0000	0.0000
729	730	731	0.1269	0.1267	0.0000	0.0000	0.0000	0.0000
730	731	732	0.1270	0.1268	37.7579	9.7772	0.0000	0.0000
731	711	733	0.2044	0.0640	0.0000	0.0000	0.0000	0.0000
732	733	734	0.2126	0.0666	0.0000	0.0000	0.0000	0.0000
733	734	735	0.2128	0.0666	0.0000	0.0000	0.0000	0.0000
734	735	736	0.2130	0.0667	0.0000	0.0000	0.0000	0.0000
735	711	737	0.1045	0.0584	0.0000	0.0000	0.0000	0.0000
736	737	738	0.1168	0.0652	0.0000	0.0000	0.0000	0.0000
737	738	739	0.2768	0.0866	0.0000	0.0000	0.0000	0.0000
738	739	740	0.0646	0.0645	0.7488	0.1939	0.0000	0.0000
739	603	741	0.0474	0.0473	0.0000	0.0000	0.0000	0.0000
740	741	742	0.0474	0.0473	0.0000	0.0000	0.0000	0.0000
741	742	743	0.0475	0.0474	71.4345	18.4976	0.0000	0.0000
742	583	744	0.0377	0.0376	0.0000	0.0000	0.0000	0.0000
743	744	745	0.1625	0.0509	0.0000	0.0000	0.0000	0.0000
744	745	746	0.1628	0.0510	0.0000	0.0000	0.0000	0.0000
745	746	747	0.2216	0.0694	0.0000	0.0000	0.0000	0.0000



UNIVERSIDAD DE CUENCA

746	747	748	0.0517	0.0516	0.0000	0.0000	0.0000	0.0000
747	748	749	0.0518	0.0517	0.6111	0.1583	0.0000	0.0000
748	744	750	0.0382	0.0382	0.0000	0.0000	0.0000	0.0000
749	750	751	0.0387	0.0386	1.2487	0.3233	0.0000	0.0000
750	744	752	0.0588	0.0587	0.0000	0.0000	0.0000	0.0000
751	752	753	0.0753	0.0752	0.0000	0.0000	0.0000	0.0000
752	752	754	0.0611	0.0610	2.5979	0.6727	0.0000	0.0000
753	583	755	0.0001	0.0001	0.0000	0.0000	0.0000	0.0000
754	755	756	0.0286	0.0286	0.0000	0.0000	0.0000	0.0000
755	756	757	0.0786	0.0439	0.0000	0.0000	0.0000	0.0000
756	757	758	0.0361	0.0360	0.0000	0.0000	0.0000	0.0000
757	758	759	0.0501	0.0500	0.0000	0.0000	0.0000	0.0000
758	759	760	0.0502	0.0501	3.9286	1.0173	0.0000	0.0000
759	757	761	0.0361	0.0360	0.0000	0.0000	0.0000	0.0000
760	761	762	0.2342	0.0733	0.0000	0.0000	0.0000	0.0000
761	762	763	0.2363	0.0740	2.3476	0.6079	0.0000	0.0000
762	757	764	0.0360	0.0359	0.0000	0.0000	0.0000	0.0000
763	764	765	0.0361	0.0360	6.3060	1.6329	0.0000	0.0000
764	416	766	0.0000	0.0000	0.0000	0.0000	0.0000	0.0000
765	416	767	0.0000	0.0000	0.0000	0.0000	0.0000	0.0000
766	416	768	0.0001	0.0001	0.0000	0.0000	0.0000	0.0000
767	768	769	0.0321	0.0320	0.0000	0.0000	0.0000	0.0000
768	769	770	0.0324	0.0323	0.0000	0.0000	0.0000	0.0000
769	770	771	0.0324	0.0323	0.0000	0.0000	0.0000	0.0000
770	771	772	0.0324	0.0324	0.0000	0.0000	0.0000	0.0000
771	772	773	0.0656	0.0655	0.0000	0.0000	0.0000	0.0000
772	773	774	0.0657	0.0655	0.0000	0.0000	0.0000	0.0000
773	774	775	0.0657	0.0656	0.0000	0.0000	0.0000	0.0000
774	775	776	0.0658	0.0656	0.0000	0.0000	0.0000	0.0000
775	776	777	0.0658	0.0657	0.0000	0.0000	0.0000	0.0000
776	777	778	0.0659	0.0657	26.1613	7.7238	0.0000	0.0000
777	776	779	0.2929	0.0917	0.0000	0.0000	0.0000	0.0000
778	779	780	0.2930	0.0917	0.0000	0.0000	0.0000	0.0000
779	780	781	0.2932	0.0918	31.7624	9.3775	0.0000	0.0000
780	774	782	0.0657	0.0656	0.0000	0.0000	0.0000	0.0000
781	782	783	0.0658	0.0657	0.0000	0.0000	0.0000	0.0000
782	783	784	0.1222	0.1219	0.0000	0.0000	0.0000	0.0000
783	784	785	0.1222	0.1219	0.0000	0.0000	0.0000	0.0000
784	785	786	0.1222	0.1220	0.0000	0.0000	0.0000	0.0000
785	786	787	0.1223	0.1221	0.0000	0.0000	0.0000	0.0000
786	787	788	0.1224	0.1222	44.6394	13.1793	0.0000	0.0000
787	785	789	0.1222	0.1220	0.0000	0.0000	0.0000	0.0000
788	789	790	0.1223	0.1220	0.0000	0.0000	0.0000	0.0000
789	790	791	0.1554	0.1551	0.0000	0.0000	0.0000	0.0000
790	791	792	0.1554	0.1551	0.0000	0.0000	0.0000	0.0000
791	792	793	0.1554	0.1551	0.0000	0.0000	0.0000	0.0000
792	793	794	0.1556	0.1554	0.0000	0.0000	0.0000	0.0000
793	794	795	0.1557	0.1554	0.0000	0.0000	0.0000	0.0000
794	795	796	0.1703	0.1700	0.0000	0.0000	0.0000	0.0000
795	796	797	0.1704	0.1701	0.0000	0.0000	0.0000	0.0000
796	792	798	0.6673	0.2089	0.0000	0.0000	0.0000	0.0000
797	798	799	0.1557	0.1554	25.5005	7.5287	0.0000	0.0000
798	792	800	0.1555	0.1552	0.0000	0.0000	0.0000	0.0000
799	785	801	0.1222	0.1220	0.0000	0.0000	0.0000	0.0000
800	801	802	0.1649	0.1646	0.0000	0.0000	0.0000	0.0000
801	802	803	0.1650	0.1647	0.0000	0.0000	0.0000	0.0000
802	803	804	0.1651	0.1648	0.0000	0.0000	0.0000	0.0000
803	804	805	0.1651	0.1648	0.0000	0.0000	0.0000	0.0000
804	805	806	0.1652	0.1649	30.3521	8.9611	0.0000	0.0000
805	803	807	0.1650	0.1647	0.0000	0.0000	0.0000	0.0000
806	807	808	0.1651	0.1648	0.0000	0.0000	0.0000	0.0000
807	808	809	0.1653	0.1650	0.0000	0.0000	0.0000	0.0000
808	809	810	0.3951	0.2207	0.0000	0.0000	0.0000	0.0000



UNIVERSIDAD DE CUENCA

809	810	811	0.1804	0.1800	0.4033	0.1191	0.0000	0.0000
810	809	812	0.1916	0.1913	0.0000	0.0000	0.0000	0.0000
811	812	813	0.1917	0.1913	0.0000	0.0000	0.0000	0.0000
812	813	814	0.1917	0.1914	0.0000	0.0000	0.0000	0.0000
813	814	815	0.2187	0.2183	0.0000	0.0000	0.0000	0.0000
814	815	816	0.2188	0.2184	0.0000	0.0000	0.0000	0.0000
815	816	817	0.2188	0.2184	0.0000	0.0000	0.0000	0.0000
816	816	818	0.2188	0.2184	0.0000	0.0000	0.0000	0.0000
817	818	819	0.2189	0.2185	0.0000	0.0000	0.0000	0.0000
818	819	820	0.2190	0.2186	16.9429	5.0022	0.0000	0.0000
819	816	821	0.2188	0.2184	0.0000	0.0000	0.0000	0.0000
820	821	822	0.2189	0.2185	0.0000	0.0000	0.0000	0.0000
821	813	823	0.1917	0.1914	0.0000	0.0000	0.0000	0.0000
822	823	824	0.1918	0.1914	0.0000	0.0000	0.0000	0.0000
823	824	825	0.1919	0.1915	21.8205	6.4422	0.0000	0.0000
824	813	826	0.1917	0.1914	0.0000	0.0000	0.0000	0.0000
825	826	827	0.1918	0.1914	0.0000	0.0000	0.0000	0.0000
826	827	828	0.4553	0.2543	0.0000	0.0000	0.0000	0.0000
827	828	829	0.2175	0.2171	0.0000	0.0000	0.0000	0.0000
828	829	830	0.2176	0.2172	0.0000	0.0000	0.0000	0.0000
829	830	831	0.2404	0.2399	0.0000	0.0000	0.0000	0.0000
830	831	832	0.2422	0.2418	0.0000	0.0000	0.0000	0.0000
831	832	833	0.2423	0.2419	2.0593	0.6080	0.0000	0.0000
832	830	834	0.2176	0.2172	0.0000	0.0000	0.0000	0.0000
833	834	835	0.2177	0.2173	0.9369	0.2766	0.0000	0.0000
834	809	836	0.3762	0.2101	0.0000	0.0000	0.0000	0.0000
835	836	837	0.1717	0.1714	1.6757	0.4947	0.0000	0.0000
836	774	838	0.0658	0.0656	0.0000	0.0000	0.0000	0.0000
837	838	839	0.0949	0.0947	0.0000	0.0000	0.0000	0.0000
838	839	840	0.0960	0.0958	0.0000	0.0000	0.0000	0.0000
839	840	841	0.0966	0.0964	0.0000	0.0000	0.0000	0.0000
840	841	842	0.0968	0.0966	0.0000	0.0000	0.0000	0.0000
841	842	843	0.0968	0.0967	0.0000	0.0000	0.0000	0.0000
842	843	844	0.0969	0.0967	0.0000	0.0000	0.0000	0.0000
843	844	845	0.0970	0.0968	66.2740	19.5666	0.0000	0.0000
844	842	846	0.0968	0.0966	0.0000	0.0000	0.0000	0.0000
845	846	847	0.0969	0.0967	0.0000	0.0000	0.0000	0.0000
846	847	848	0.0971	0.0969	0.0000	0.0000	0.0000	0.0000
847	848	849	0.2130	0.1190	0.0000	0.0000	0.0000	0.0000
848	849	850	0.2259	0.1262	0.0000	0.0000	0.0000	0.0000
849	850	851	0.4978	0.1558	0.0000	0.0000	0.0000	0.0000
850	851	852	0.1160	0.1158	0.0000	0.0000	0.0000	0.0000
851	852	853	0.1161	0.1159	0.5612	0.1657	0.0000	0.0000
852	851	854	0.4980	0.1559	0.0000	0.0000	0.0000	0.0000
853	854	855	0.5450	0.1706	0.0000	0.0000	0.0000	0.0000
854	855	856	0.5468	0.1712	0.0000	0.0000	0.0000	0.0000
855	856	857	0.5470	0.1712	6.8117	2.0111	0.0000	0.0000
856	848	858	0.2130	0.1190	0.0000	0.0000	0.0000	0.0000
857	858	859	0.2176	0.1215	0.0000	0.0000	0.0000	0.0000
858	859	860	0.2279	0.1273	0.0000	0.0000	0.0000	0.0000
859	860	861	0.4507	0.1411	0.0000	0.0000	0.0000	0.0000
860	861	862	0.1054	0.1052	29.7765	8.7912	0.0000	0.0000
861	860	863	0.1167	0.1165	0.0000	0.0000	0.0000	0.0000
862	863	864	0.1174	0.1172	0.0000	0.0000	0.0000	0.0000
863	864	865	0.1178	0.1176	1.9993	0.5903	0.0000	0.0000
864	842	866	0.0968	0.0967	0.0000	0.0000	0.0000	0.0000
865	839	867	0.2762	0.1161	0.0000	0.0000	0.0000	0.0000
866	867	868	0.1019	0.1017	0.0000	0.0000	0.0000	0.0000
867	868	869	0.1019	0.1017	2.3577	0.6961	0.0000	0.0000
868	771	870	0.0324	0.0324	0.0000	0.0000	0.0000	0.0000
869	870	871	0.0325	0.0324	0.0000	0.0000	0.0000	0.0000
870	771	872	0.0324	0.0324	0.0000	0.0000	0.0000	0.0000
871	872	873	0.0325	0.0324	0.0000	0.0000	0.0000	0.0000



UNIVERSIDAD DE CUENCA

872	873	874	0.0326	0.0325	0.0000	0.0000	0.0000	0.0000
873	874	875	0.0326	0.0325	45.6171	13.4679	0.0000	0.0000
874	874	876	0.0326	0.0325	0.0000	0.0000	0.0000	50.0000
875	876	877	0.0327	0.0326	0.0000	0.0000	0.0000	0.0000
876	769	878	0.1993	0.0624	0.0000	0.0000	0.0000	0.0000
877	878	879	0.1995	0.0624	0.0000	0.0000	0.0000	0.0000
878	879	880	0.1996	0.0625	3.0854	0.9109	0.0000	0.0000
879	44	108	0.2346	0.2342				
880	261	216	0.2029	0.2025				
881	381	172	0.1133	0.1131				
882	176	79	0.0934	0.0932				
883	502	542	0.2533	0.2528				
884	515	439	0.1394	0.1392				
885	753	636	0.2412	0.1014				
886	725	578	0.1561	0.1558				
887	558	123	0.2527	0.2523				
888	616	244	0.1195	0.1193				
889	570	280	0.2778	0.2773				
890	397	688	0.1788	0.1785				
891	803	350	0.1650	0.1647				

Valores base: 6.3kV y 100MVA

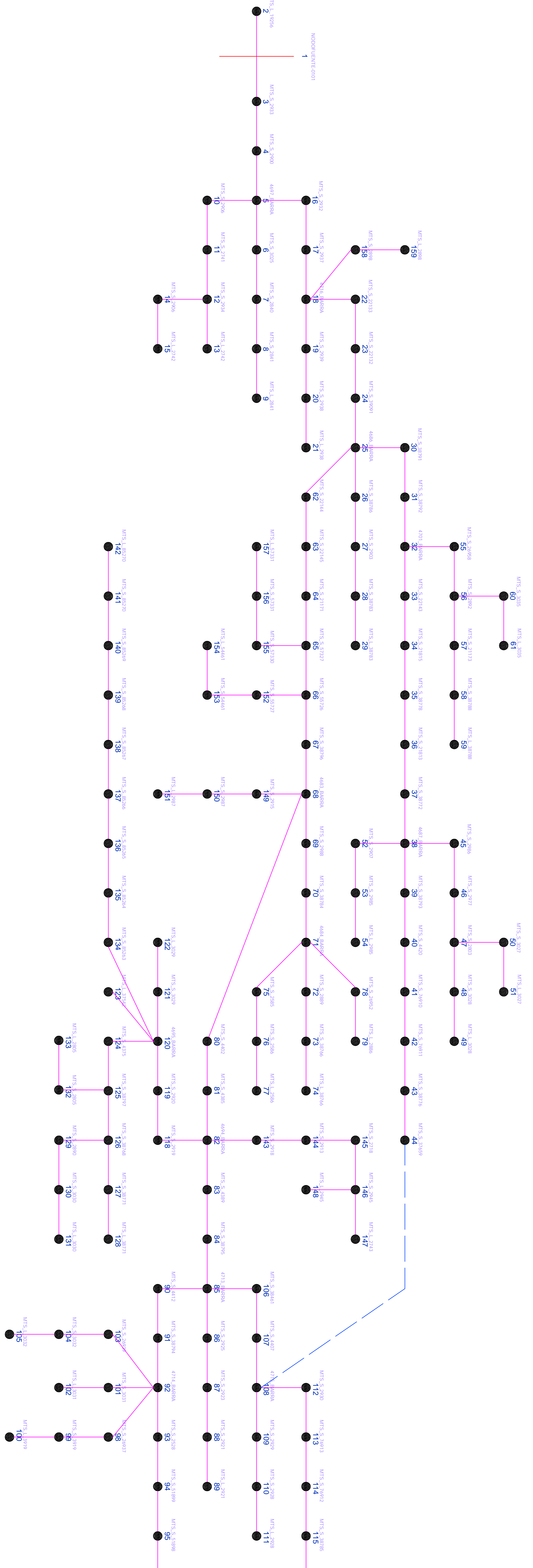


UNIVERSIDAD DE CUENCA

6.2 Diagramas unifilares utilizados de la EERCS.

ALIMENTADOR 0101 de la S/E 01
ANTES DE LA RECONFIGURACIÓN

FIGURA 6.2.1



SÍMBOLOGÍA	
●	Nodo
—	Tramo MT subterráneo
——	Rama de enlace
—	Subestación Eléctrica

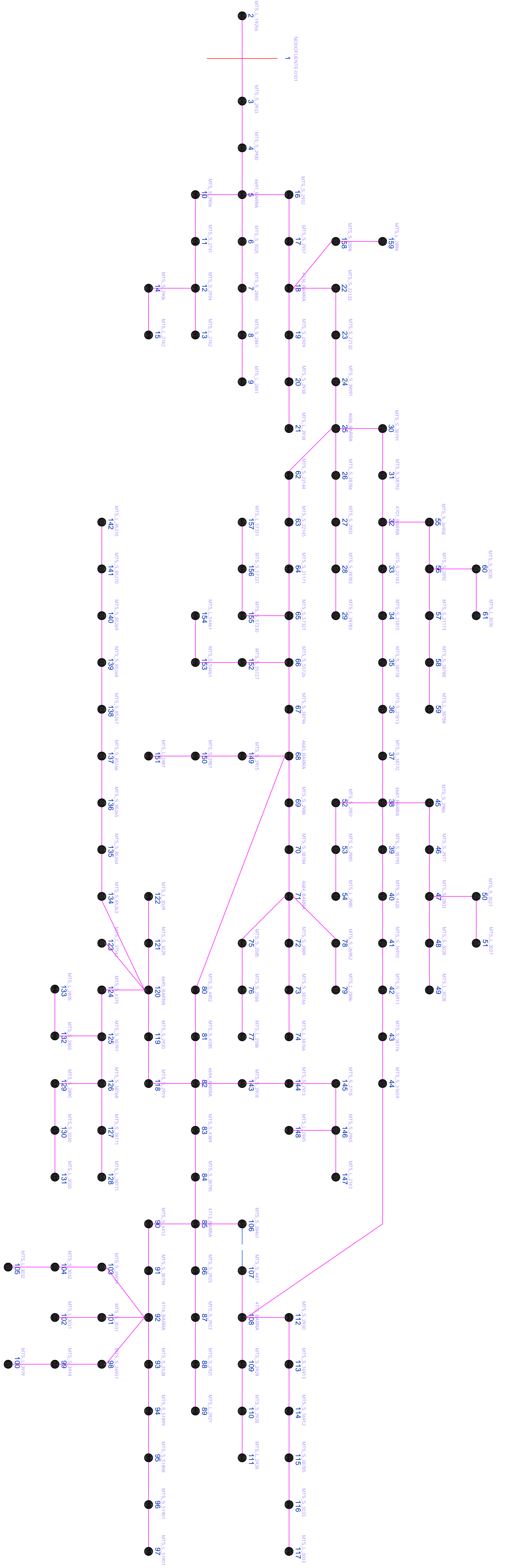
Notas:

- Sobre cada nodo el código en color morado indica su ubicación y es la nomenclatura utilizada por la EERCS.
- Sobre cada nodo el número en color negro indica su ubicación y es la nomenclatura usada por el programa de Algoritmos Genéticos implementado.

UNIVERSIDAD DE CUENCA FACULTAD DE INGENIERÍA ELÉCTRICA ESCUELA DE INGENIERÍA ELÉCTRICA	ESCALA: 1:4000
CONTIENE:	
Diagrama unifilar del alimentador 0101 de la sucesión 01 perteneciente a la EERCS antes de la reconfiguración.	
ÁREA: 2018	
ELABORA:	
John Eusebio Peñaranda Morán	
Jairo Gonzalo Yumbilla Romero	
REVISIÓN:	
LAMINA: 1 / 4	

**ALIMENTADOR 0101 de la S/E 01
DESPUÉS DE LA RECONFIGURACIÓN**

FIGURA 6.2.2



Notas:

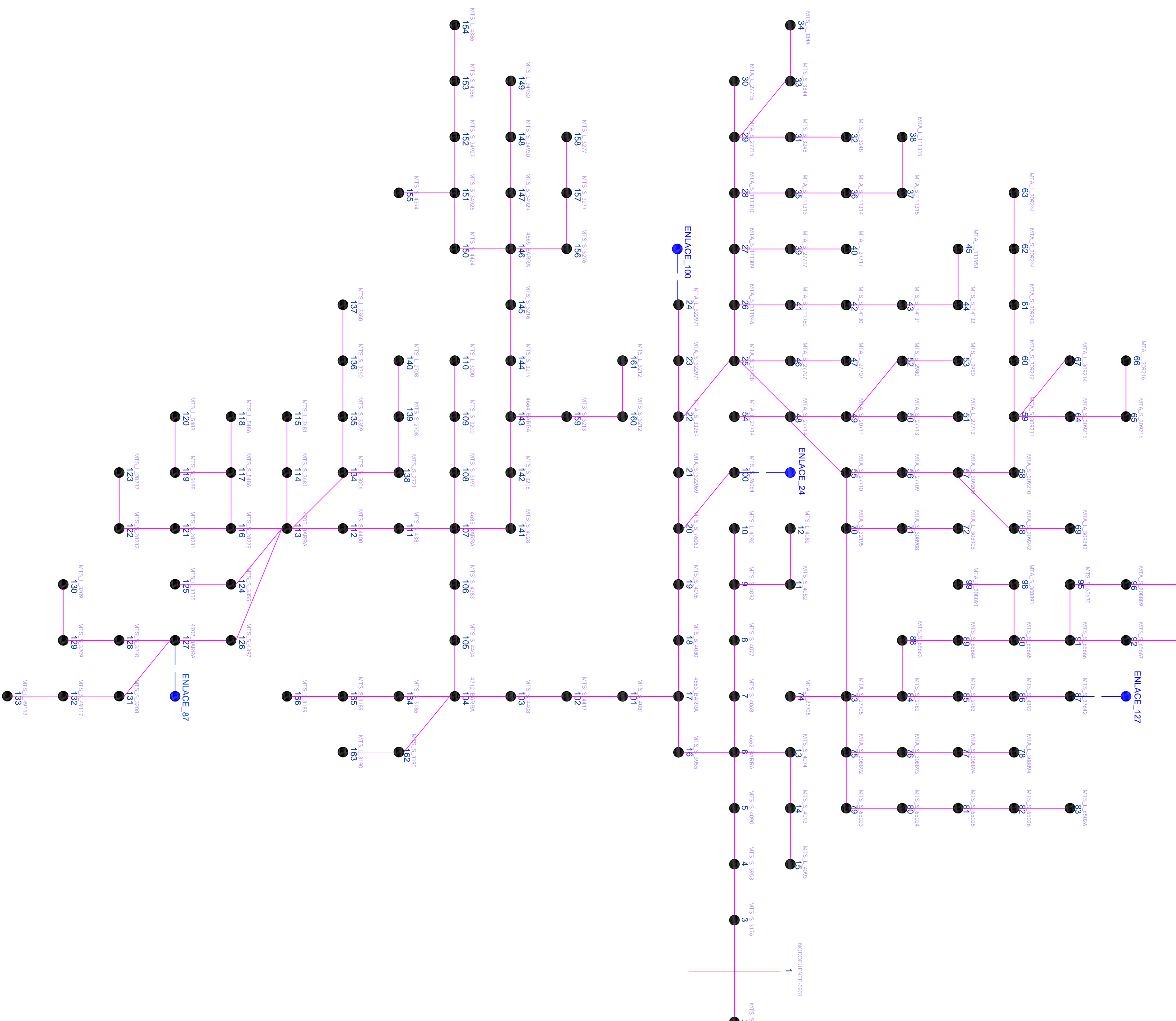
- Sobre cada nodo el código en color morado indica su ubicación y es la nomenclatura utilizada por la EERCs.
- Sobre cada nodo el número en color negro indica su ubicación y es la nomenclatura usada por el programa de Algoritmos Genéticos implementado.

SÍMBOLOGÍA	
●	Nodo
—	Tramo MT subterráneo
- - -	Rama de enlace
—	Subestación Eléctrica

<table border="1"> <tr> <td style="text-align: center;"> UNIVERSIDAD DE CUENCA FACULTAD DE INGENIERÍA ESCUELA DE INGENIERÍA ELÉCTRICA </td><td style="text-align: center;"> AÑO: 2018 ELABORA: John Eugenio Peralta Morán Jairo Gonzalo Yumbilla Romero </td><td style="text-align: center;"> ESCALA: 1:1000 </td></tr> </table> <p>CONTIENE:</p> <ol style="list-style-type: none"> Diagrama unifilar del alimentador 0101 de la subestación 01 perteneciente a la EERCs después de la reconfiguración. Sobre cada nodo el número en color negro indica su ubicación y es la nomenclatura usada por el programa de Algoritmos Genéticos implementado. 		 UNIVERSIDAD DE CUENCA FACULTAD DE INGENIERÍA ESCUELA DE INGENIERÍA ELÉCTRICA	AÑO: 2018 ELABORA: John Eugenio Peralta Morán Jairo Gonzalo Yumbilla Romero	ESCALA: 1:1000
 UNIVERSIDAD DE CUENCA FACULTAD DE INGENIERÍA ESCUELA DE INGENIERÍA ELÉCTRICA	AÑO: 2018 ELABORA: John Eugenio Peralta Morán Jairo Gonzalo Yumbilla Romero	ESCALA: 1:1000		
<p>NOTAS:</p> <ol style="list-style-type: none"> Sobre cada nodo el código en color morado indica su ubicación y es la nomenclatura utilizada por la EERCs. Sobre cada nodo el número en color negro indica su ubicación y es la nomenclatura usada por el programa de Algoritmos Genéticos implementado. 				

ALIMENTADOR 0201 de la S/E 02
ANTES DE LA RECONFIGURACIÓN

FIGURA 6.2.3



Notas:

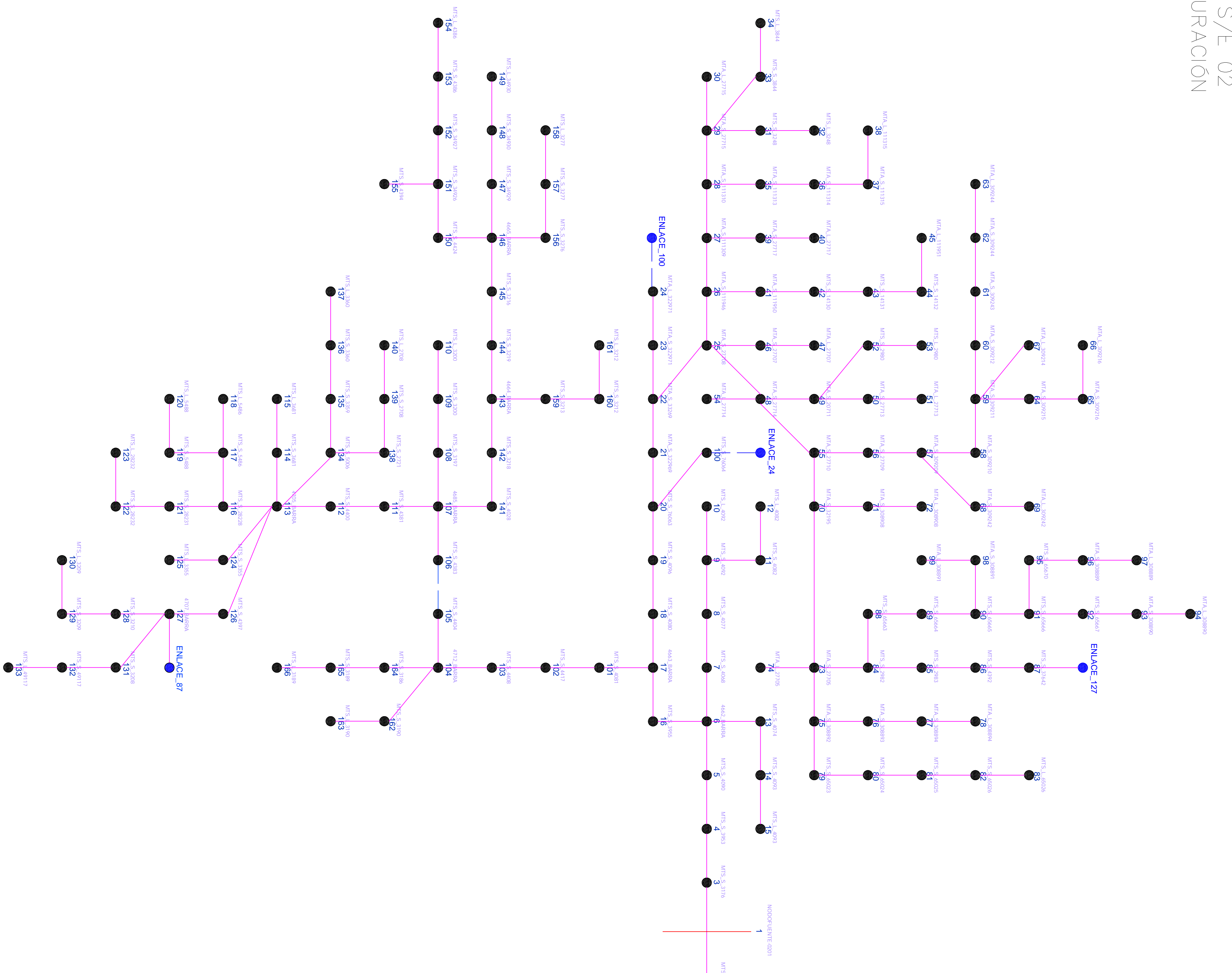
1. Sobre cada nodo el código en color morado indica su ubicación y es la nomenclatura utilizada por la EERCSC.
2. Sobre cada nodo el número en color negro indica su ubicación y es la nomenclatura usada por el programa de Algoritmos Genéticos implementado.

SÍMBOLOGÍA	
	Nodo
	Rama MT subterráneo
	Subestación Eléctrica

UNIVERSIDAD DE CUENCA FACULTAD DE INGENIERIA ESCUELA DE INGENIERIA ELECTRICA
CONTENEN:
Diagrama unifilar del alimentador 0201 de la subestación 02 perteneciente a la EERCSC antes de la reconfiguración.
AÑO: 2018 ELABORA: John Eugenio Pérez Olazára Morán Jairo Gonzalo Yumbia Romero REVISIÓN: LAMINA: 3/4

**ALIMENTADOR 0201 de la S/E 02
DESPUÉS DE LA RECONFIGURACIÓN**

FIGURA 6.2.4



Notas:

1. Sobre cada nodo el código en color morado indica su ubicación y es la nomenclatura utilizada por la EERCS después de la reconfiguración.
2. Sobre cada nodo el número en color negro indica su ubicación y es la nomenclatura usada por el programa de Algoritmos Genéticos implementado.

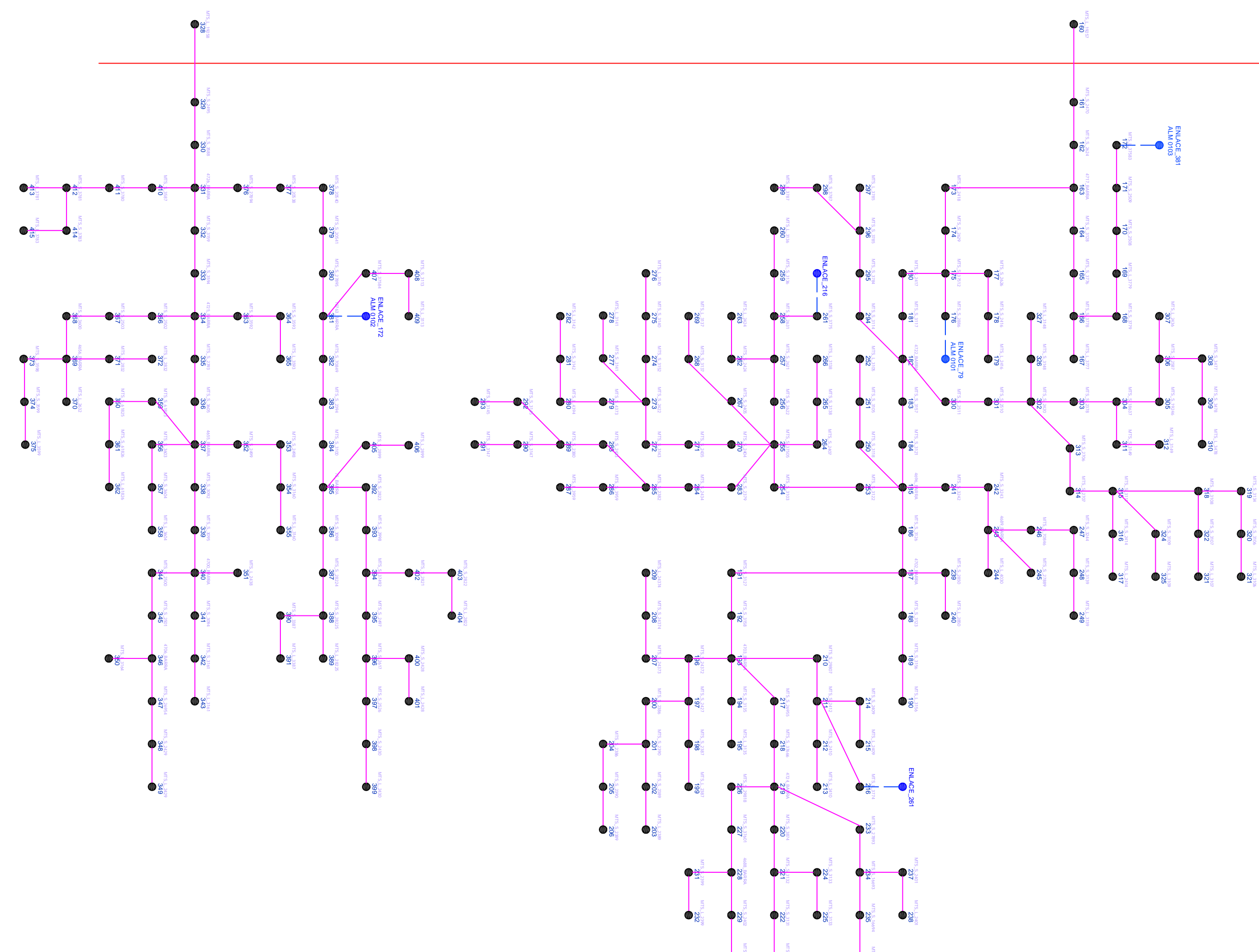
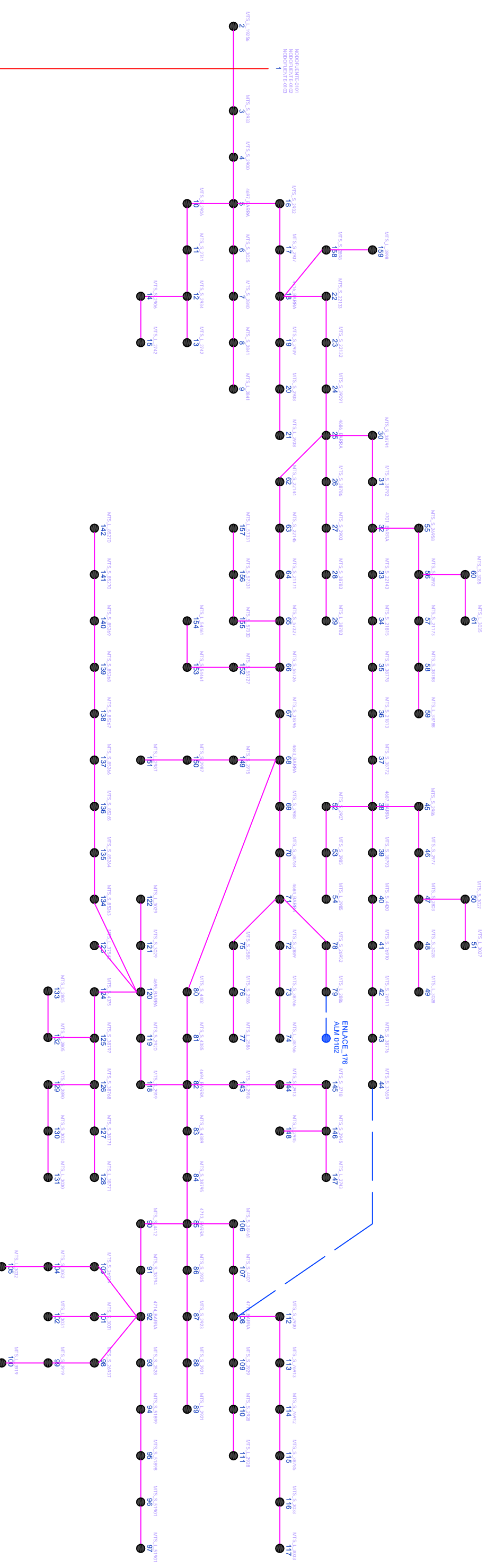
UNIVERSIDAD DE CUENCA	
FACULTAD DE INGENIERIA ELECTRICA	
ELABORA:	ESCALA:
John Eugenio Pefaloza Morón	
Jairo Gonzalo Yumbia Romero	
REVISÓN:	4/4
AMINAC:	

SÍMBOLOGIA

	Nodo
	Tramo MT subterráneo
	ENLACE
	Subestación Eléctrica

**ALIMENTADOR 0101, 0102 y 0103 de la S/E 01
ANTES DE LA RECONFIGURACIÓN**

FIGURA 6.2.5



Notas:

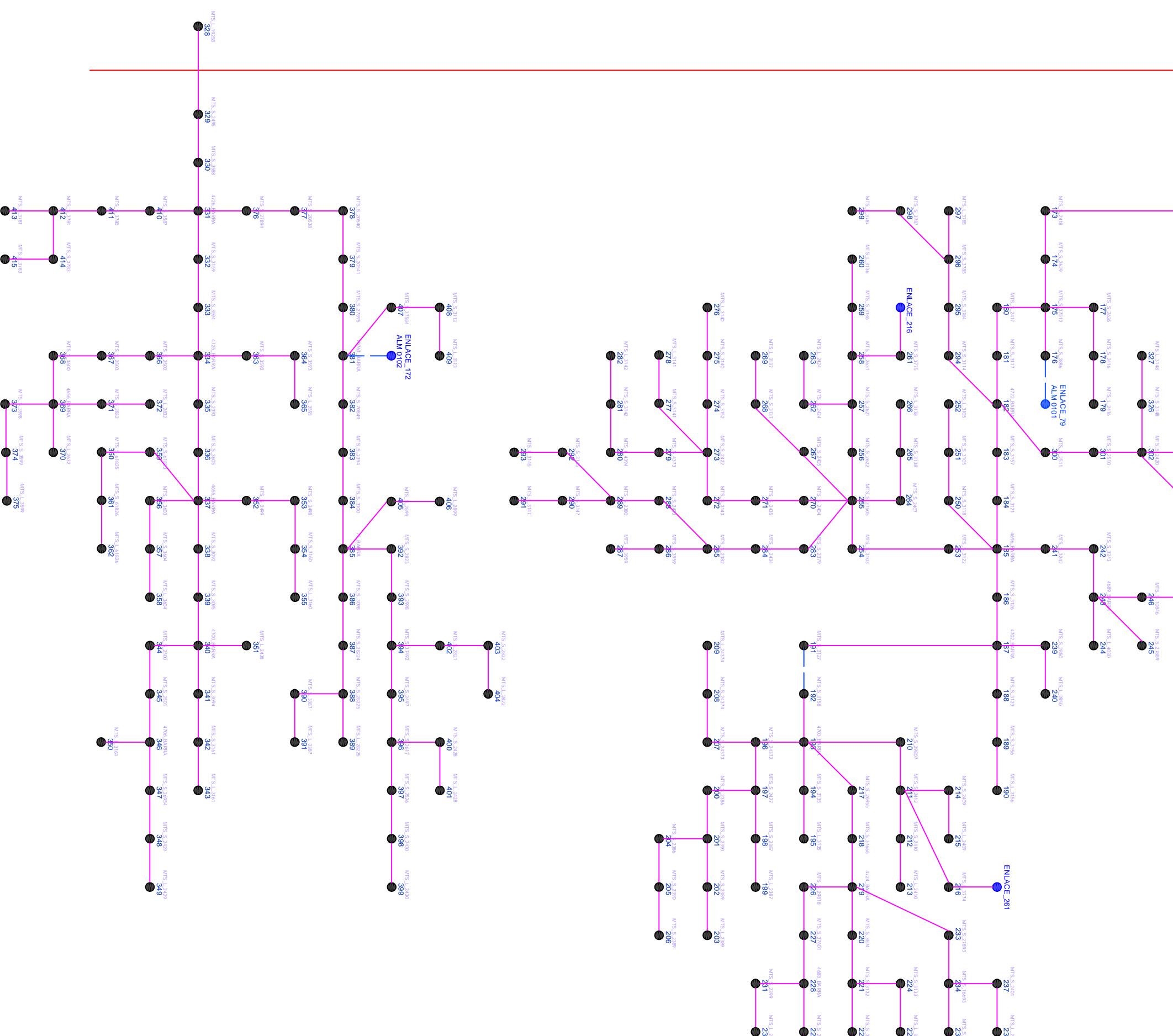
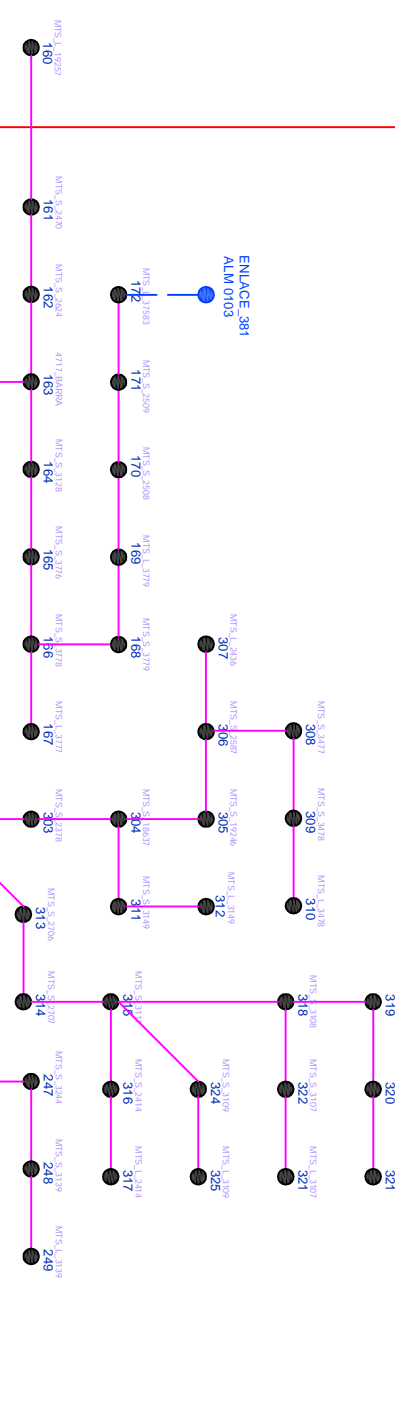
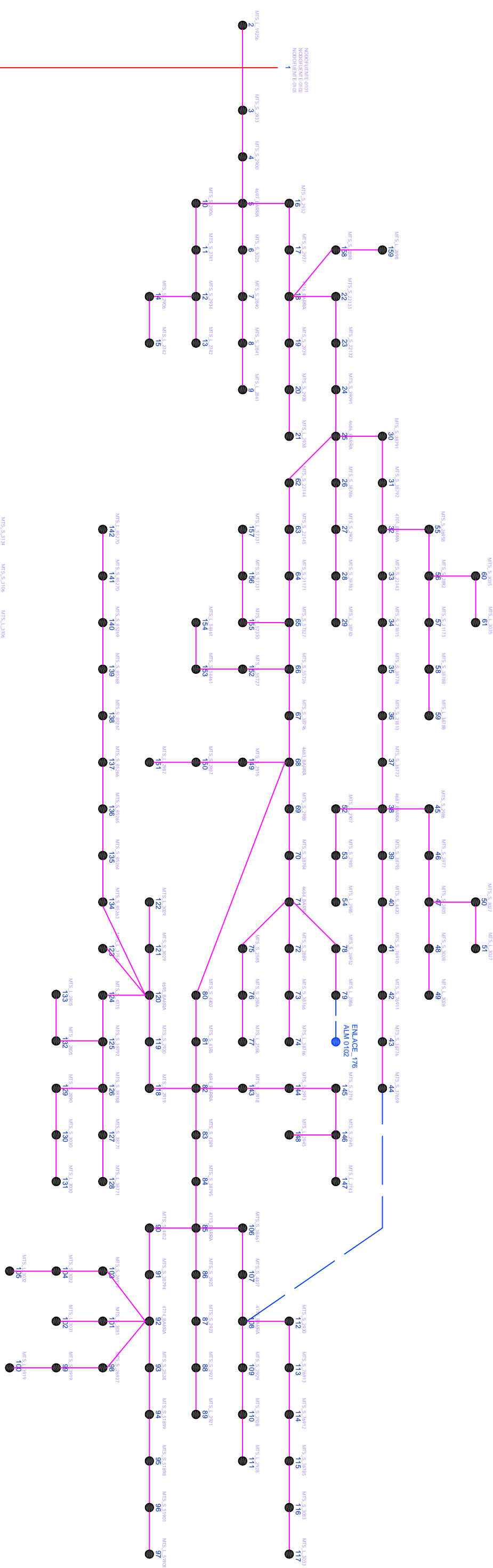
1. Sobre cada nodo el código en color morado indica su ubicación y en la nomenclatura utilizado por la ERCS.
2. Sobre cada nodo el número en color negro indica su ubicación y es la nomenclatura usada por el programa de Algoritmos Genéticos implementado.

SÍMBOLOGÍA	
●	Nodo
—	Tramo MT subterráneo
—	Rama de enlace
—	Subestación Eléctrica

ALIMENTADOR 0101, 0102 y 0103 de la S/E 01
DESPUÉS DE LA RECONFIGURACIÓN

FIGURA 6.2.6

SÍMBOLOGÍA	
●	Nodo
—	Tramo MT subterráneo
— — —	Rama de enlace
— — — — —	Subestación Eléctrica

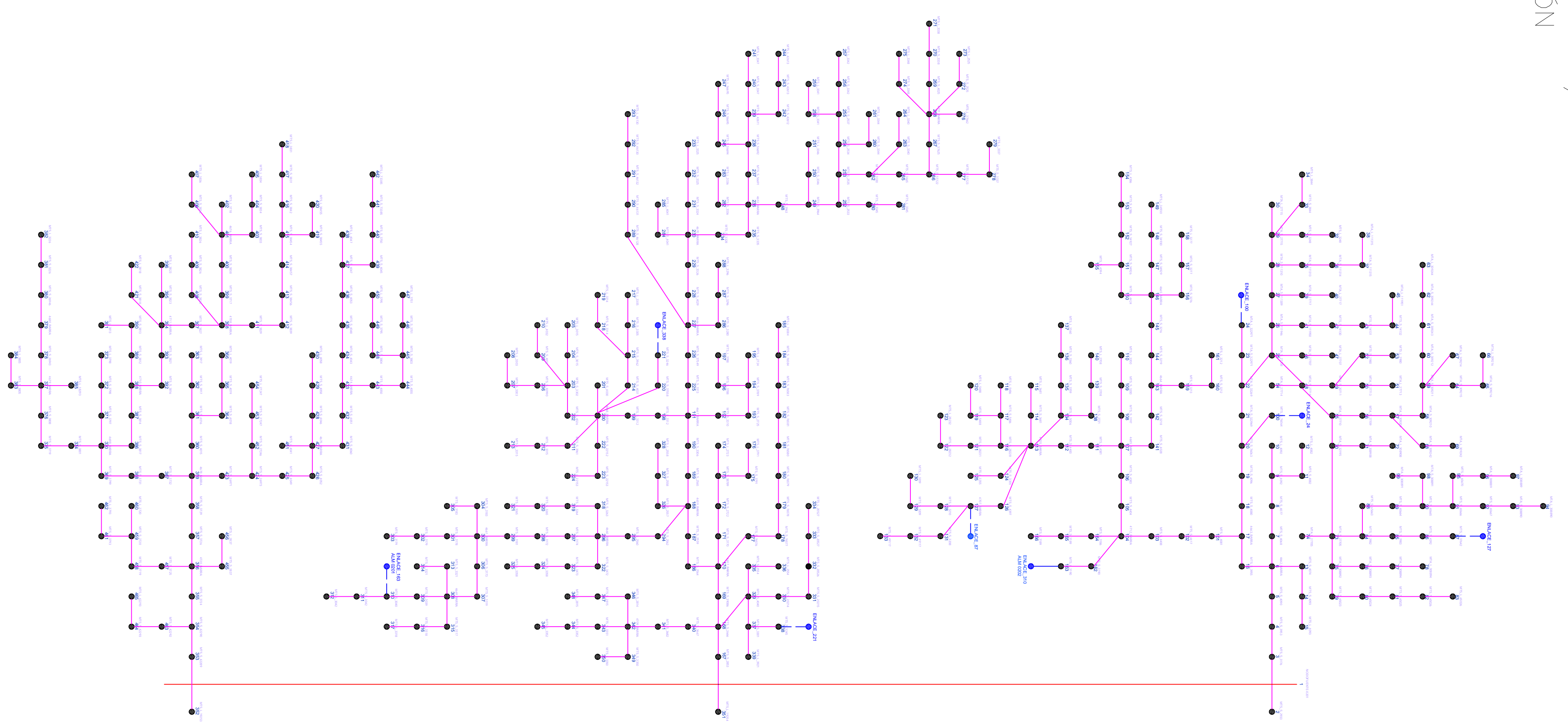


Notas:

- Sobre cada nodo el código en color morado indica su ubicación y es la nomenclatura utilizada por la EERCs.
- Sobre cada nodo el número en color negro indica su ubicación y es la nomenclatura usada por el programa de Algoritmos Genéticos implementado.

ALIMENTADORES 0201, 0202 Y 0203 DE LAS/E 02 ANTES DE LA RECONFIGURACIÓN

FIGURA 6.2.7



Notas

- Notas:

 1. Sobre cada nodo el código en color morado indica su ubicación y es la nomenclatura utilizada por la EERCS.
 2. Sobre cada nodo el número en color negro indica su ubicación y es la nomenclatura usada por el programa de Algoritmos Genéticos implementado.

SIMBOLOGÍA

Nodo

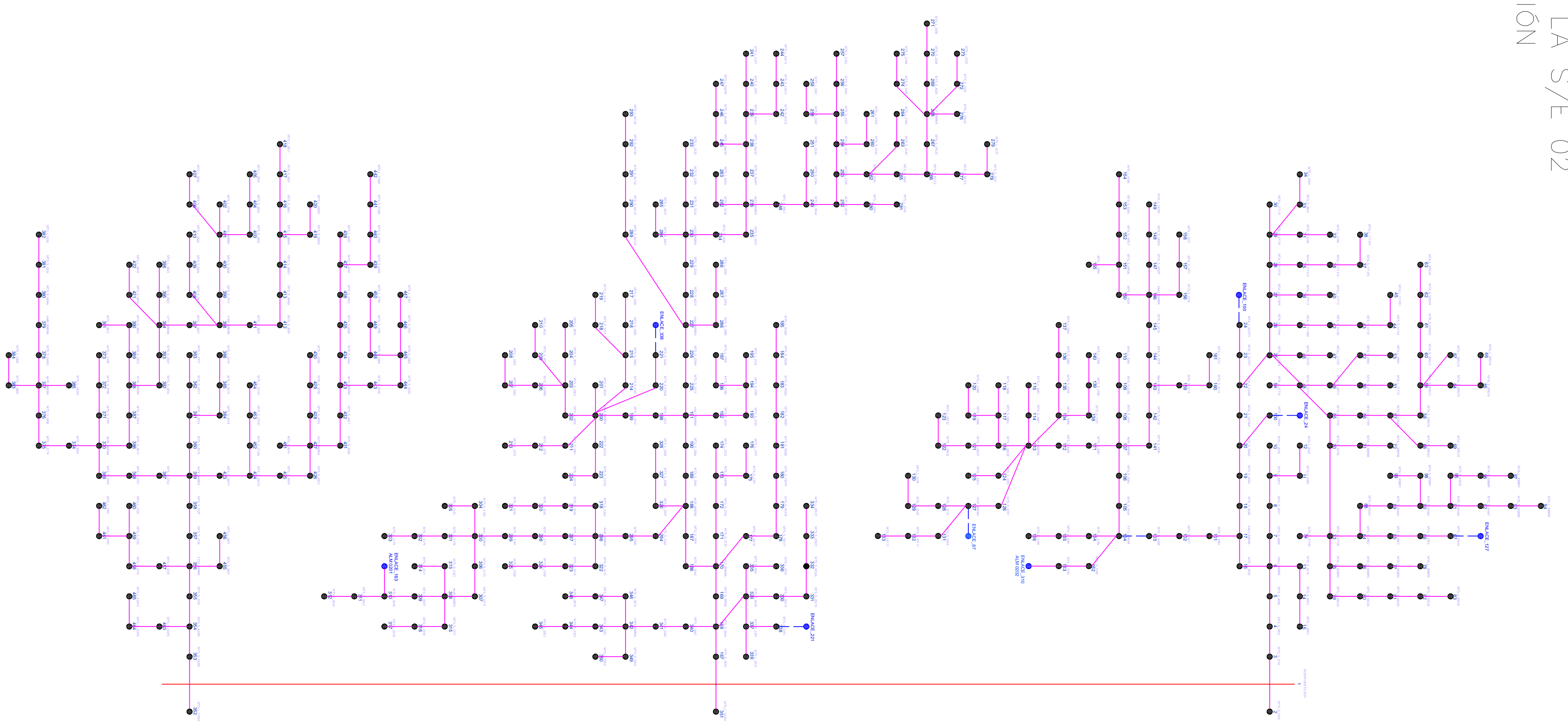
Tramo MT subterráneo

Rama de enlace

Subestación Eléctrica

ALIMENTADORES 0201, 0202 Y 0203 DE LA S/E 02
DESPUÉS DE LA RECONFIGURACIÓN

FIGURA 6.2.8



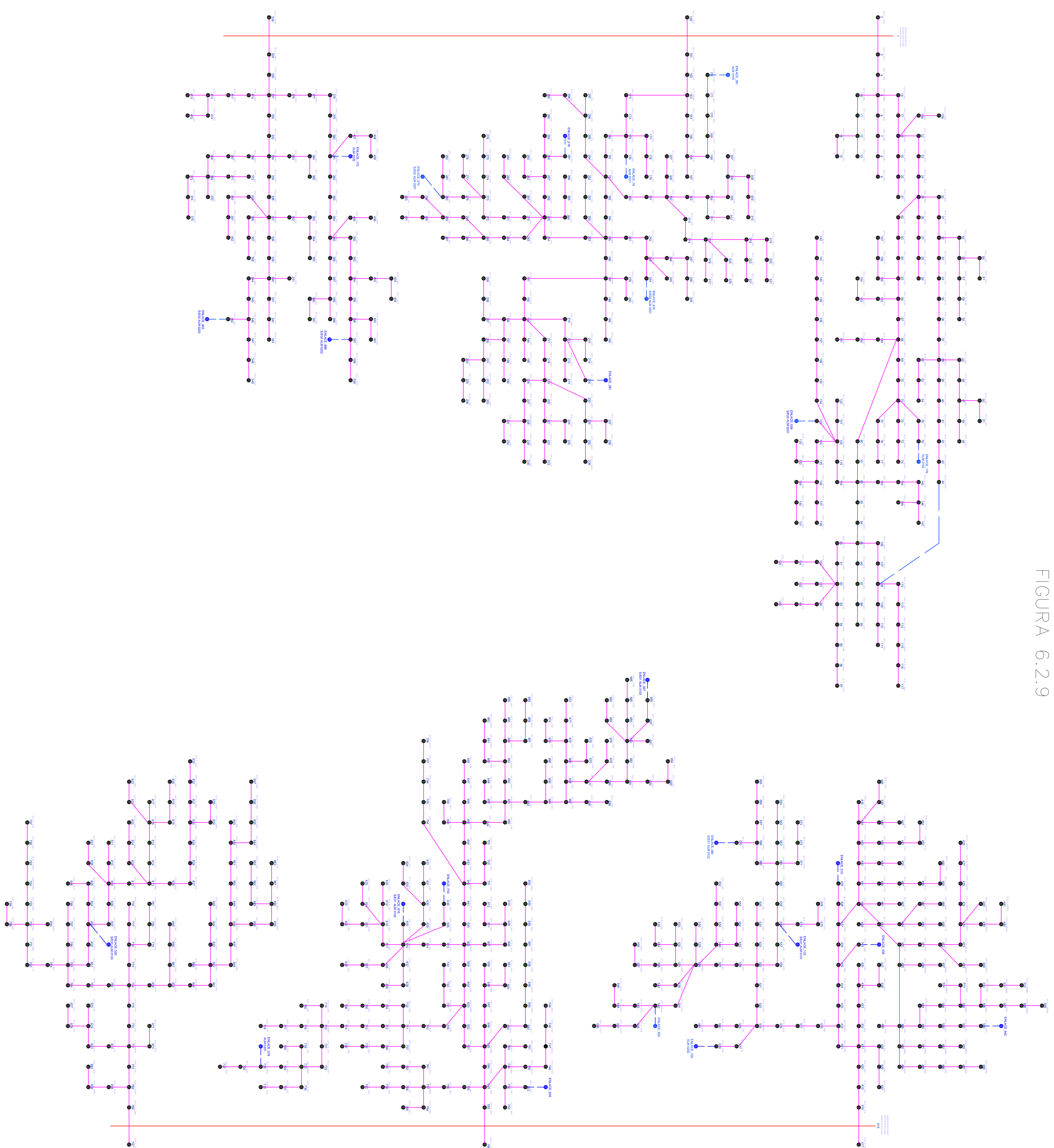
Notas:

- Sobre cada nodo el código en color morado indica su ubicación y es la nomenclatura utilizada por la TERCOS.
- Sobre cada nodo el número en color negro indica su ubicación y es la nomenclatura usada por el programa de Algoritmos Genéticos implementado.

SIMBOLOGÍA	
●	Nodo
—	Tramo MT subterráneo
— —	Rama de enlace
—	Subestación Eléctrica

SUBESTACIÓN 01 (0101, 0102, 0103) Y SUBESTACIÓN 02 (0201, 0202, 0203)
ANTES DE LA RECONFIGURACIÓN

FIGURA 6.2.9



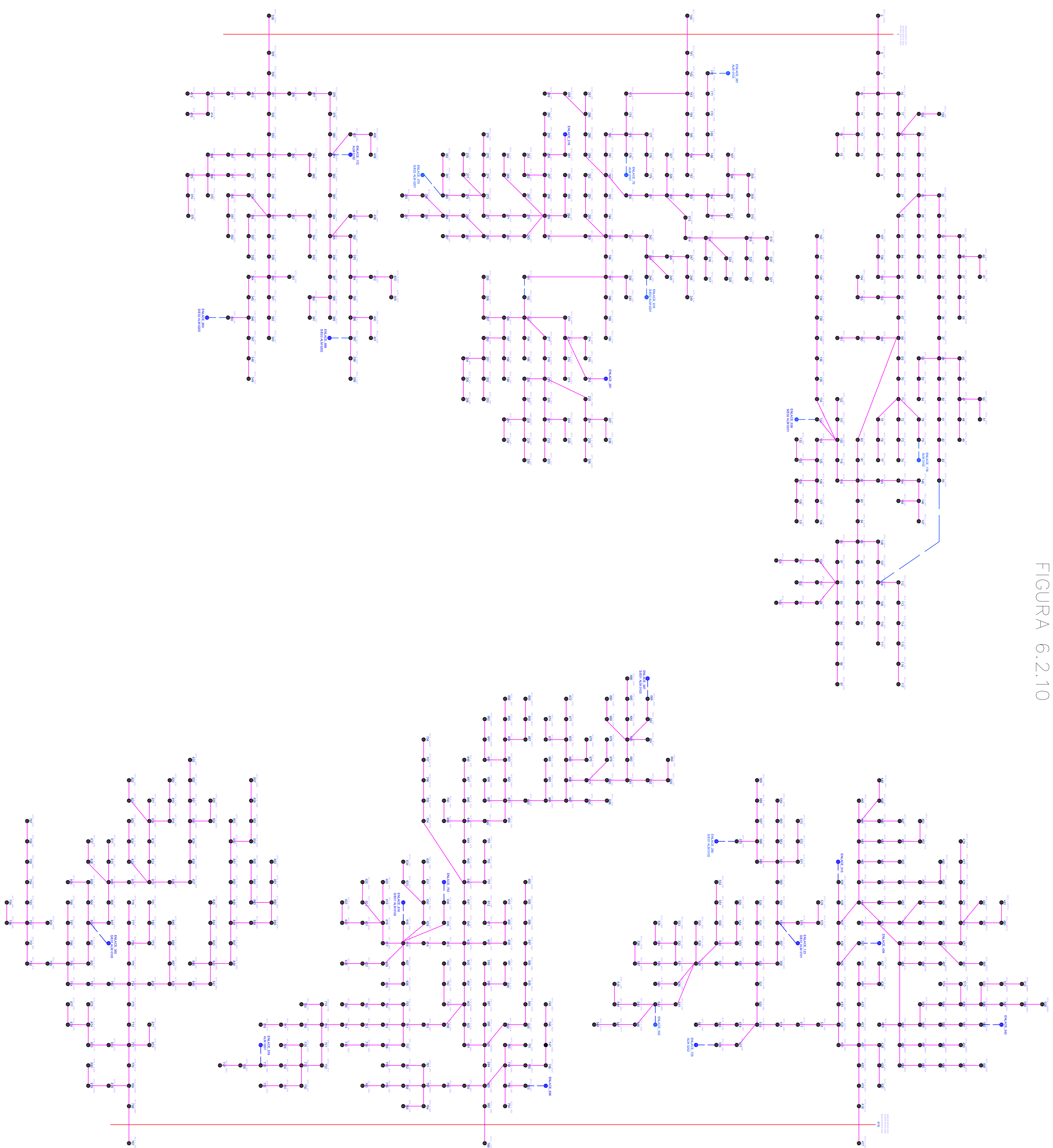
Notas:

1. Sobre cada nodo el código en color morado indica su ubicación y es la nomenclatura utilizado por la EERCS.
2. Sobre cada nodo el número en color negro indica su ubicación y es la nomenclatura usada por el programa de Algoritmos Genéticos implementado.

UNIVERSIDAD DE CUEQUA FACULTAD DE INGENIERIA ESCUELA DE INGENIERIA ELECTRICA	SÍMBOLOGIA
CONTEÑE: Diagrama unifilar de la subestación 01 (0101, 0102, 0103) y subestación 02 (0201, 0202, 0203) perteneciente a la EERCS antes de la reconfiguración.	<ul style="list-style-type: none"> ● Nodo — Tramo MT subterráneo - - - Rama de enlace — Subestación Eléctrica
AÑO:2018 ELABORA: John Eugenio Peñaloza Morán Jairo Gonzalo Yumbao Romero	ESCALA: 1/2

SUBESTACIÓN 01 (0101, 0102, 0103) Y SUBESTACIÓN 02 (0201, 0202, 0203)
DESPUÉS DE LA RECONFIGURACIÓN

FIGURA 6.2.10



UNIVERSIDAD DE CUCHUMATÁN
FACULTAD DE INGENIERÍA
ESCUELA DE INGENIERÍA ELÉCTRICA

CONTENEN:

- Diágrafo unifilar de la subestación 01 (0101, 0102, 0103) y subestación 02 (0201, 0202, 0203) perteneciente a la EERCS después de la reconfiguración.

AÑO: 2018	ESCALA:
ELABORA:	
John Eugenio Peñalosa Morán	
Jairo Gonzalo Yumbia Romero	